



การศึกษาขดลักษณะพืชไร่ข้าว  
ในข้าวแปลงพันธุ์บางชนิด

STUDY ON CYTOLOGY, PHYSIOLOGY, MORPHOLOGY AND GENE  
EXPRESSION IN SOME TRANSGENIC RICE (*ORYZA SATIVA L.*)

นางสาวนพพร พิพัฒนาภรณ์

วิทยานิพนธ์ปริญญาปรีดุษฎีบัณฑิต  
มหาวิทยาลัยขอนแก่น

พ.ศ. 2547

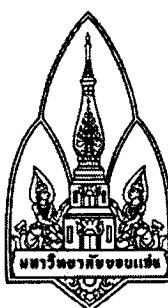
ISBN 974-659-111-8

P  
59

26 ๐. ๒๕๔๗



โครงการพัฒนาอุตสาหกรรมป่าไม้และการจัดการทรัพยากริมฝั่งแม่น้ำเจ้าพระยา  
c/o ศูนย์ศึกษาและอบรมธรรมชาติและเทคโนโลยีป่าไม้ฯ  
ศักยภาพสำหรับการเพิ่มผลิตภัณฑ์ทางเศรษฐกิจจากสัตว์และเทคโนโลยีป่าไม้ฯ  
73/1 ถนนพหลโยธิน แขวงลาดพร้าว กรุงเทพฯ ๑๐๔๐๐



การศึกษาเชลล์พันธุศาสตร์ สปรีวิทยา สัมฐานวิทยาและการแสดงออกของยีน  
ในข้าวแปลงพันธุ์บางชนิด

STUDY ON CYTOLOGY, PHYSIOLOGY, MORPHOLOGY AND GENE  
EXPRESSION IN SOME TRANSGENIC RICE (*ORYZA SATIVA L.*)

นางสาวทศพร พิพัฒน์กานูกูล

วิทยานิพนธ์ปริญญาปรัชญาดุษฎีบัณฑิต  
มหาวิทยาลัยขอนแก่น

พ.ศ. 2547

ISBN 974-659-111-8

การศึกษาเซลล์พันธุศาสตร์ สปรีวิทยา สัมฐานวิทยาและการแสดงออกของยีน  
ในข้าวแปลงพันธุ์บางชนิด

นางสาวทศพร พิพัฒน์ภานุกูล

วิทยานิพนธ์นี้เป็นส่วนหนึ่งของการศึกษาตามหลักสูตรปริญญาปรัชญาดุษฎีบัณฑิต  
สาขาวิชาชีววิทยา  
บัณฑิตวิทยาลัย มหาวิทยาลัยขอนแก่น  
พ.ศ. 2547

ISBN 974-659-111-8

**STUDY ON CYTOLOGY, PHYSIOLOGY, MORPHOLOGY AND GENE  
EXPRESSION IN SOME TRANSGENIC RICE (*ORYZA SATIVA L.*)**

**MISS THODSAPORN PIPATPANUKUL**

**A THESIS SUBMITTED IN PARTIAL FULFILLMENT OF THE  
REQUIREMENTS FOR THE DEGREE OF DOCTOR OF PHILOSOPHY  
IN BIOLOGY**

**GRADUATE SCHOOL KHON KAEN UNIVERSITY**

**2004**

**ISBN 974-659-111-8**



ในรับรองวิทยานิพนธ์  
มหาวิทยาลัยขอนแก่น  
ปริญญา  
ปรัชญาดุษฎีบัณฑิต  
สาขาวิทยา

ชื่อเรื่องวิทยานิพนธ์ : การศึกษาเชลล์พันธุ์ศาสตร์ สรีวิทยา สัณฐานวิทยา และการแสดงออก  
ของยืนในข้าวเปลงพันธุ์บางชนิด

ชื่อผู้ทำวิทยานิพนธ์ : นางสาวศพร พิพัฒน์ภานุกูล  
อาจารย์ที่ปรึกษาวิทยานิพนธ์ :

.....  
(รองศาสตราจารย์ ดร. สุมนพิพิธ บุนนาค)

.....  
(รองศาสตราจารย์ ดร. ปิยะดา อีระกุลพิศุทธิ์)

.....  
(รองศาสตราจารย์ ดร. มนต์ ไชยตระกูล)

.....  
(รองศาสตราจารย์ ดร. สมหมาย ปรีเปรม)  
คณบดีบัณฑิตวิทยาลัย  
มหาวิทยาลัยขอนแก่น

.....  
(ผู้ช่วยศาสตราจารย์ วันชัย สุเมือง)  
คณบดีคณะวิทยาศาสตร์  
มหาวิทยาลัยขอนแก่น

ลิขสิทธิ์ของมหาวิทยาลัยขอนแก่น

ทศพร พิพัฒน์ภานุกูล. 2547. การศึกษาเซลล์พันธุ์ศาสตร์ สรีริวิทยา สัณฐานวิทยาและ  
การแสดงออกของยีนในข้าวแปลงพันธุ์บางชนิด. วิทยานิพนธ์ปริญญาปรัชญาดุษฎีบัณฑิต<sup>๑</sup>  
สาขาวิชาชีววิทยา บัณฑิตวิทยาลัย มหาวิทยาลัยขอนแก่น. [ISBN 974-659-111-8]  
อาจารย์ที่ปรึกษาวิทยานิพนธ์: รศ.ดร. สุมนทิพย์ บุนนาค, รศ.ดร. ปิยะดา ธีระกุลพิสุทธิ์,  
รศ.ดร. มนิตร โภษิตตระกูล

### บทคัดย่อ

ความเข้มข้นของแคลเซียมไฮโปคลอไรต์และระยะเวลาฟอกที่มีประสิทธิภาพสูงสุดสำหรับการฟอกกำจัดเชื้อผิวภายนอกของเมล็ดข้าวพันธุ์หอมสุวรรณบุรี และชั้นนานา 1 คือ 1.5% (w/v) 45 นาที และ 2% (w/v) 45 นาที ตามลำดับ การเพาะเลี้ยงเมล็ดข้าวให้เจริญเป็นแคลลัสพบว่า อาหารสูตร N<sub>6</sub> ที่เติมน้ำตาลซูโครส 2% (w/v), 2,4-D 22.5 μM และผงวุ่น 0.8% (w/v) ภายใต้สภาวะที่มีแสงมีประสิทธิภาพในการซักน้ำเมล็ดข้าวพันธุ์ชั้นนานา 1 ให้เจริญเป็นแคลลัสสูงที่สุด โดยเมล็ดมีการเกิดแคลลัสเท่ากับ 92.67% และเมล็ดข้าวพันธุ์หอมสุวรรณบุรีเจริญเป็นแคลลัสได้ตีที่สุดเท่ากับ 90.9% เมื่อเพาะเลี้ยงบนอาหารสูตร N<sub>6</sub> ที่เติมน้ำตาลซูโครส 2% (w/v), 2,4-D 18 μM และผงวุ่น 0.8% (w/v) ภายใต้สภาวะที่มีแสง การศึกษาอิทธิพลของ NAA และ BA ต่อการเพาะเลี้ยงแคลลัสข้าวให้เจริญเป็นตันใหม่พบว่า อาหารสูตร N<sub>6</sub> ที่เติมน้ำตาลซูโครส 2% (w/v) ร่วมกับ NAA 2.5 μM และ BA 13.5 μM เป็นสูตรอาหารที่เหมาะสม-สมต่อการซักน้ำแคลลัสข้าวพันธุ์ชั้นนานา 1 ให้เจริญเป็นตัน โดยแคลลัสสมีการเจริญเป็นตัน 46.76% และมีจำนวนตันต่อแคลลัสเท่ากับ 9.7 ตัน และสูตรอาหารที่เหมาะสมสมต่อการซักน้ำแคลลัสข้าวพันธุ์หอมสุวรรณบุรีให้เจริญเป็นตันคืออาหารสูตร N<sub>6</sub> ที่เติมน้ำตาลซูโครส 2% (w/v), NAA 2.5 μM, BA 18 μM และผงวุ่น 0.8% (w/v) โดยแคลลัสสมีการเจริญเป็นตันได้เท่ากับ 53.3% และมีจำนวนตันต่อแคลลัสเท่ากับ 7.8 ตัน การศึกษาอิทธิพลของสารปฏิชีวนะ gamma-mycin และซีไฟแทคซิมต่อการเจริญเป็นตันของแคลลัสข้าวพันธุ์ชั้นนานา 1 พบร่วมกับอาหาร เพาะเลี้ยงที่เติม gamma-mycin 50 mg./l. เหมาะสมสำหรับการคัดเลือกต้นข้าวแปลงพันธุ์ชั้นนานา 1 ที่ต้านทานต่อ gamma-mycin และซีไฟแทคซิม 250 mg./l. เป็นความเข้มข้นต่ำที่สุดที่มีผลยับยั้งการเจริญเป็นตันของแคลลัส

การศึกษาอิทธิพลของสารปฏิชีวนะซีไฟแทคซิมและ carbеничинลินต่อการเจริญของ *Agrobacterium tumefaciens* พบร่วมกับ carbеничинลิน มีประสิทธิภาพในการกำจัด *A. tumefaciens* สูงกว่า carbеничинลิน และความเข้มข้นของซีไฟแทคซิมที่เหมาะสมสำหรับกำจัด *A. tumefaciens* คือ 200 mg./l. การส่งถ่ายยีนสู่เมล็ดข้าวพันธุ์ชั้นนานา 1 โดย *A. tumefaciens* LBA4404 (pBI121) ที่มียีน *nptII* เป็นยีนคัดเลือก และยีน *gus* เป็นยีนรายงานผล และ EHA105 (pCAMBIA1301) ที่มียีน *hptII* เป็นยีนคัดเลือก และยีน *gus* เป็นยีนรายงานผล พบร่วมกับ

การเกิดแคลลัสของข้าวพันธุ์ชัยนาท 1 และหอนสุพรรณบุรีที่ต้านทานต่อภานมัยชินเท่ากับ 5.8% และ 3.7% ตามลำดับ การเกิดแคลลัสข้าวของพันธุ์ชัยนาท 1 และหอนสุพรรณบุรีที่ต้านทานต่อไฮโกรมัยชินคือ 2.8% และ 3.5% ตามลำดับ และตรวจพบการแสดงออกของยีน *gus* ในแคลลัสที่เกิดจากเมล็ดข้าวที่ผ่านการบ่มร่วมกับ *A. tumefaciens* การส่งถ่ายยีนเข้าสู่เมล็ดข้าวพันธุ์ชัยนาท 1 โดย *A. tumefaciens* LBA4404 (pBI121) พบว่ามีการเกิดต้นข้าวพันธุ์ชัยนาท 1 แปลงพันธุ์ที่ต้านทานต่อภานมัยชินเท่ากับ 3.2% และสามารถยืนยันผลการส่งถ่ายยีนด้วยเทคนิค PCR

การนำต้นข้าวพันธุ์ กข 6 แปลงพันธุ์ที่ต้านทานต่อไฮโกรมัยชินรุ่น  $T_0$  และ  $T_1$  ลงปลูกพบว่าต้นข้าวแปลงพันธุ์สามารถเจริญเติบโตและอกรวงให้ผลผลิตได้ โดยตรวจพบการแสดงออกของยีน *gus* ในเมล็ดและต้นข้าวแปลงพันธุ์รุ่นลูก และสามารถยืนยันการสอดแทรกของ T-DNA ในจีโนมข้าวรุ่น  $T_0$ ,  $T_1$  และ  $T_2$  ด้วยเทคนิค PCR การศึกษาการถ่ายทอดลักษณะต้านทานต่อไฮโกรมัยชินในเมล็ดข้าวพันธุ์ กข 6 ที่ต้านทานต่อไฮโกรมัยชิน รุ่น  $T_0$  และ  $T_1$  พบว่า เมล็ดข้าวมีอัตราส่วนจำนวนเมล็ดที่ต้านทานไฮโกรมัยชินต่อจำนวนเมล็ดที่ไม่ต้านทานไฮโกรมัยชินเท่ากับ 3:1 และ 1:1 การศึกษาลักษณะทางสรีรવิทยาและสัณฐานวิทยาของข้าวพันธุ์ กข 6 แปลงพันธุ์ที่ต้านทานต่อไฮโกรมัยชินรุ่น  $T_0$ ,  $T_1$  และ  $T_2$  เปรียบเทียบกับข้าวพันธุ์ กข 6 ปกติพบว่า ไม่แตกต่างกันที่ระดับนัยสำคัญ 0.05 การศึกษาจำนวนโครโนโซมจากเซลล์ปลายรากของเมล็ดข้าวพันธุ์ กข 6 แปลงพันธุ์ที่ต้านทานต่อไฮโกรมัยชินรุ่น  $T_0$ ,  $T_1$  และ  $T_2$  เปรียบเทียบกับจำนวนโครโนโซมของข้าวพันธุ์ กข 6 ปกติพบว่ามีจำนวนโครโนโซมเท่ากันคือ  $2n=24$

Thodsaporn Pipatpanukul. 2004. Study on Cytology, Physiology, Morphology and Gene Expression in Some Transgenic Rice(*Oryza sativa L.*). Doctor of Philosophy Thesis in Biology, Graduate School, Khon Kaen University. [ISBN 974-659-111-8]

Thesis Advisors : Assoc. Prof. Sumontip Bunnag, Assoc. Prof. Piyada Theerakulpisut,  
Assoc. Prof. Manit Kosittrakun

## ABSTRACT

The seeds of surface-sterilized Homsupanburee rice with 1.5%(w/v) calcium hypochlorite for 45 min showed no microbial contamination. The most effective condition for surface-sterilization of Chainat 1 rice seeds was 45 min in 2%(w/v) calcium hypochlorite. The highest percentage of callus induction at 92.67% was obtained when seeds of Homsupanburee rice were cultured on N<sub>6</sub> medium supplemented with 2%(w/v) sucrose, 18 μM 2,4-D and 0.8% bacto agar under light condition. The highest percentage of callus induction at 90.9% was obtained when seeds of Chainat1 rice were cultured on modified N<sub>6</sub> medium supplemented with 2%(w/v) sucrose, 22.5 μM 2,4-D and 0.8% bacto agar under light condition. The suitable regeneration medium for Homsupanburee rice was an N<sub>6</sub> medium supplemented with 2%(w/v) sucrose, 2.5 μM NAA ,18 μM BA and 0.8% bacto agar. Regeneration percentage was 53.3 and number of shoots/callus was 7.8. The suitable regeneration medium for Chainat1 rice was N<sub>6</sub> medium supplemented with 2%(w/v) sucrose, 2.5 μM NAA, 13.5 μM BA and 0.8% bacto agar. Regeneration percentage was 46.7 and number of shoots/callus was 9.7. A test was performed to determine the effect of kanamycin and cefotaxime on the regeneration of Chainat 1 rice calli. It was found that kanamycin at 50 mg/l was effective for the selection of transgenic rice and the minimum concentration of cefotaxime which was toxic to rice callus regeneration was 250 mg/l.

Experiments were performed to choose the best antibiotics for eliminating *Agrobacterium tumefaciens* LBA4404(pBI121) and EHA105 (pCAMBIA1301). The results showed that cefotaxime was more effective in eliminating *A. tumefaciens* than carbenicillin. The suitable concentration of cefotaxime that was effective for eliminating *Agrobacterium* was 200 mg/l. Transformation of Homsupanburee and Chainat1 rice by *A. tumefaciens* were performed. *A. tumefaciens* strain LBA4404 harbored plasmid pBI121

containing *nptII* gene and *gus* gene and strain EHA105 harbored plasmid pCAMBIA1301 containing *hptII* gene and *gus* gene were used in this experiment. The results of transformation showed the generation of kanamycin-resistant Chainat1 and Homsupanburee rice calli at 5.8% and 3.7%, respectively. The generation of hygromycin-resistant Chainat1 and Homsupanburee rice calli were 2.8% and 3.5%, respectively. After co-cultivation with *A. tumefaciens*, *gus* activities were found in callus-derived seeds. The regeneration of kanamycin-resistant Chainat1 rice occurred at 3.2%. Integration of T-DNA in rice genome was confirmed by PCR.

Fertile transgenic RD6 rice was normally grown and self-pollinated seeds of  $T_1$  and  $T_2$  plants were obtained. In  $T_0$ ,  $T_1$  and  $T_2$  generations, transgene integration were confirmed by PCR analysis. The study of inheritance of transgenes in  $T_1$  and  $T_2$  progenies showed that the transgenes were inherited and segregated in 3:1 and 1:1 ratios. Physiological and morphological studies in some hygromycin-resistant rice in comparison with non-transgenic rice exhibited no significant difference. A cytological study in root tip cells in  $T_0$ ,  $T_1$  and  $T_2$  seeds showed that the chromosome number was  $2n=24$ .

## กิตติกรรมประกาศ

ขอขอบพระคุณ รศ.ดร. สุมนทิพย์ บุนนาค ประธานกรรมการที่ปรึกษาวิทยานิพนธ์ ที่ได้ให้ความรู้ และคำปรึกษาแนะนำในการทำวิทยานิพนธ์อย่างดีเยี่ยม

ขอขอบพระคุณ รศ.ดร. ปิยะดา ธีระกุลพิสุทธิ์ รศ.ดร. มนิตร โภษิตตระกูล กรรมการสอบวิทยานิพนธ์ และกรรมการที่ปรึกษาวิทยานิพนธ์ ดร. อนวัช สุวรรณกุล กรรมการสอบวิทยานิพนธ์ที่ให้คำแนะนำและตรวจแก้ไขวิทยานิพนธ์ให้สมบูรณ์ยิ่งขึ้น

ขอขอบพระคุณผู้ให้ทุนสนับสนุนการทำวิจัย โครงการพัฒนาองค์ความรู้และศึกษานโยบายการจัดการทรัพยากรชีวภาพในประเทศไทย (BRT 542075)

ขอขอบพระคุณโครงการพัฒนาครุภัณฑ์และเทคโนโลยี สถาบันราชภัฏ (พวส.) ที่ให้ทุนสนับสนุนค่าใช้จ่ายในระหว่างการศึกษา

ขอขอบพระคุณอาจารย์ทุกท่านที่ให้ความรู้และคำแนะนำต่อต่องด้วยการศึกษา  
ขอขอบคุณเจ้าหน้าที่ทุกคนที่อ่านวยความสะดวกในการทำงาน

ขอขอบพระคุณภาควิชาชีววิทยา มหาวิทยาลัยขอนแก่นที่เอื้ออำนวยสถานที่ อุปกรณ์และเครื่องมือวิทยาศาสตร์ในการทำวิจัย

ขอขอบพระคุณสถานีทดลองข้าวจังหวัดขอนแก่น และเจ้าหน้าที่ทุกท่านที่เอื้ออำนวยสถานที่และอุปกรณ์ในการทำวิจัย

ขอขอบพระคุณครอบครัวที่ให้การสนับสนุนการศึกษาและให้กำลังใจ

ทศพร พิพัฒน์ภานุกูล

## สารบัญ

	หน้า
บทคัดย่อภาษาไทย	ก
บทคัดย่อภาษาอังกฤษ	ค
กิตติกรรมประกาศ	จ
สารบัญตาราง	ช
สารบัญภาพ	ญ
คำอธิบายสัญลักษณ์และคำย่อ	ท
บทที่ 1 บทนำ	1
บทที่ 2 การตรวจเอกสาร	2
ลักษณะทางพุกามศาสตร์ของข้าว	2
ประเภทของข้าว	2
การซักนำการสร้างแคลลัสและการเกิดต้นใหม่ในข้าว (Induction and Regeneration in Rice)	4
ลักษณะทางชีววิทยาของ <i>A. tumefaciens</i>	10
ชีววิทยาโนเมเลกุลของ <i>A. tumefaciens</i>	10
การส่งถ่ายยีนสู่พืชใบเลี้ยงเดี่ยวโดย <i>A. tumefaciens</i>	15
ปัจจัยส่งเสริมการส่งถ่ายยีนโดย <i>A. tumefaciens</i>	16
การส่งถ่ายยีนสู่พืชโดยวิธีรัง	18
ยีนรายงานผล (reporter gene)	21
ยีนคัดเลือก (selectable marker)	23
การนำยีนเครื่องหมายออกจากพืชแปลงพันธุ์	25
โพรโมเตอร์ (promotor)	27
การแสดงออกของยีน (gene expressing)	28
บทที่ 3 การเพาะเลี้ยงเนื้อเยื่อข้าว	30
บทนำ	30
อุปกรณ์และวิธีการทดลอง	31
ผลการทดลอง	33
สรุปและวิจารณ์ผลการทดลอง	48

## สารบัญ (ต่อ)

	หน้า
บทที่ 4 การส่งถ่ายยืน	53
บทนำ	53
อุปกรณ์และวิธีการทดลอง	54
ผลการทดลอง	59
สรุปและวิจารณ์ผลการทดลอง	77
บทที่ 5 การศึกษาเซลล์พันธุศาสตร์ สรีรัตน์ฯและสัณฐานวิทยาในข้าวแปลงพันธุ์	82
บทนำ	82
อุปกรณ์และวิธีการทดลอง	82
ผลการทดลอง	87
สรุปและวิจารณ์ผลการทดลอง	131
เอกสารยังอิง	135
ภาคผนวก	155
ภาคผนวก ก การเตรียมสารเคมี	156
ภาคผนวก ข การวิเคราะห์ผลทางสถิติ	159
ประวัติผู้เขียน	183

## สารบัญตาราง

	หน้า
ตารางที่ 1 จำนวนเมล็ดข้าวที่เกิดแคลลัสโดยปราศจากการปนเปื้อนของเชื้อจุลทรรศ์ภายหลังการฟอกฆ่าเชื้อด้วยสารละลายแคลเซียมไฮโป-คลอไรต์ที่ความเข้มข้นและระยะเวลาต่าง ๆ	34
ตารางที่ 2 การเกิดแคลลัสจากเมล็ดข้าวที่บ่มร่วมกับ <i>A. tumefaciens</i> และ transformation rate ในการส่งถ่ายยีนสู่ข้าวพันธุ์ชัยนาท 1 และ homosuppressors	64
ตารางที่ 3 Segregation pattern ในเมล็ดข้าวพันธุ์ชัยนาท 1 ที่เป็นรุ่นลูกของต้นข้าวพันธุ์ชัยนาท 1 แปลงพันธุ์ที่ด้านท่านต่อ基因มัยชิน	76
ตารางที่ 4 Segregation pattern ในเมล็ดข้าวรุ่นลูกของต้นข้าวพันธุ์ กข 6 แปลงพันธุ์ที่ด้านท่านต่อไฮโกรมัยชินรุ่น $T_0$	103
ตารางที่ 5 Segregation pattern ของเมล็ดข้าวรุ่นลูกของต้นข้าวแปลงพันธุ์ กข 6 ที่ด้านท่านต่อไฮโกรมัยชินรุ่น $T_1$	104
ตารางที่ 6 ลักษณะความสูงต้นเฉลี่ย ความกว้างใบธง ความยาวใบธง อัตราส่วนระหว่างความยาวใบธงต่อความกว้างใบธงของต้นข้าวพันธุ์ กข 6 แปลงพันธุ์ที่ ด้านท่านต่อไฮโกรมัยชินรุ่น $T_0$	109
ตารางที่ 7 ลักษณะความสูงต้นเฉลี่ย ความกว้างใบธง ความยาวใบธง อัตราส่วนระหว่างความยาวใบธงต่อความกว้างใบธงของต้นข้าวพันธุ์ กข 6 แปลงพันธุ์ที่ ด้านท่านต่อไฮโกรมัยชินรุ่น $T_1$	109
ตารางที่ 8 ลักษณะความกว้างเมล็ด ความยาวเมล็ด และอัตราส่วนระหว่างความยาวเมล็ดต่อความกว้างเมล็ดข้าวพันธุ์ กข 6 แปลงพันธุ์ที่ด้านท่านต่อไฮโกรมัยชินรุ่น $T_0$	115
ตารางที่ 9 ลักษณะความกว้างเมล็ด ความยาวเมล็ด และอัตราส่วนระหว่างความยาวเมล็ดต่อความกว้างเมล็ดข้าวพันธุ์ กข 6 แปลงพันธุ์ที่ด้านท่านต่อไฮโกรมัยชินรุ่น $T_1$	115
ตารางที่ 10 จำนวนกิ่งปฐมภูมิ จำนวนเมล็ดต่อรวง และความยาวรวงของข้าวพันธุ์ กข 6 แปลงพันธุ์ที่ด้านท่านต่อไฮโกรมัยชินรุ่น $T_0$	121
ตารางที่ 11 จำนวนกิ่งปฐมภูมิ จำนวนเมล็ดต่อรวง และความยาวรวงของข้าวพันธุ์ กข 6 แปลงพันธุ์ที่ด้านท่านต่อไฮโกรมัยชินรุ่น $T_1$	121

## สารบัญตาราง(ต่อ)

	หน้า
ตารางที่ 12 ค่าเฉลี่ยจำนวนเซลล์ในระยะเมตาเฟส โดยนับจากปลายรากข้าว พันธุ์ กข 6 และพันธุ์ชัยนาท 1 ที่ผ่านการ pretreatment ในสาร- ละลายน้ำและระยะเวลาต่าง ๆ	129

สารบัญภาพ

## สารบัญภาพ(ต่อ)

	หน้า
ภาพที่ 10 แผนภูมิแสดงเปอร์เซ็นต์การเกิดต้นใหม่จากแคลลัสข้าวพันธุ์หอม-สุพรรณบุรีที่เพาะเลี้ยงบนอาหารสูตร N6 ที่เติม NAA ร่วมกับ BA ความเข้มข้นต่าง ๆ	43
ภาพที่ 11 แผนภูมิแสดงจำนวนต้นต่อแคลลัสที่เจริญจากแคลลัสข้าวพันธุ์หอม-สุพรรณบุรีที่เพาะเลี้ยงบนอาหารสูตร N6 ที่เติม NAA ร่วมกับ BA ความเข้มข้นต่าง ๆ	43
ภาพที่ 12 ลักษณะการเจริญเป็นต้นใหม่ของแคลลัสข้าวพันธุ์ชัยนาท 1 ที่เพาะเลี้ยงบนอาหารที่เติมก้าน้ำให้เกิดต้นที่เติมก้าน้ำความเข้มข้นต่าง ๆ	45
ภาพที่ 13 แผนภูมิแสดงเปอร์เซ็นต์การเกิดต้นของแคลลัสข้าวพันธุ์ชัยนาท 1 ที่เพาะเลี้ยงบนอาหารสูตรซักนำให้เกิดต้นที่เติมก้าน้ำความเข้มข้นต่าง ๆ	45
ภาพที่ 14 แผนภูมิแสดงจำนวนต้นต่อแคลลัสของแคลลัสข้าวพันธุ์ชัยนาท 1 ที่เพาะเลี้ยงบนอาหารสูตรซักนำให้เกิดต้นที่เติมก้าน้ำความเข้มข้นต่าง ๆ	46
ภาพที่ 15 ลักษณะการเจริญเป็นต้นใหม่ของแคลลัสข้าวพันธุ์ชัยนาท 1 ที่เพาะเลี้ยงบนอาหารที่เติมซีฟอแทคซีนที่ความเข้มข้นต่าง ๆ	46
ภาพที่ 16 แผนภูมิแสดงเปอร์เซ็นต์การเกิดต้นของแคลลัสข้าวพันธุ์ชัยนาท 1 ที่เพาะเลี้ยงบนอาหารสูตร ซักนำให้เกิดต้นที่เติมซีฟอแทคซีนความเข้มข้นต่าง ๆ	47
ภาพที่ 17 แผนภูมิแสดงจำนวนต้นต่อแคลลัสของข้าวพันธุ์ชัยนาท 1 ที่เพาะเลี้ยงบนอาหารสูตรซักนำให้เกิดต้นที่เติมซีฟอแทคซีนความเข้มข้นต่าง ๆ	47
ภาพที่ 18 โครงสร้าง T-DNA ของพลาสมิด pBI121	56
ภาพที่ 19 โครงสร้าง T-DNA ของพลาสมิด pCAMBIA1301	56
ภาพที่ 20 ลักษณะวงไส้ที่เกิดขึ้นรอบกระดูกกรองที่เกิดจากอิทธิพลของสารปฏิชีวนะซีฟอแทคซีนความเข้มข้นต่าง ๆ บนจานเพาะเชื้อ	60
A. <i>tumefaciens</i> LBA4404(pBI121)	
ก. 0 มก./ล. ข. 50 มก./ล. ค. 100 มก./ล. ง. 150 มก./ล.	
จ. 200 มก./ล. ฉ. 250 มก./ล. ช. 300 มก./ล. ช. 400 มก./ล.	

## สารบัญภาพ(ต่อ)

	หน้า
ภาพที่ 21 แผนภูมิแสดงความยาวจากขอบกระดาษกรองถึงขอบของวงไส้ที่เกิดจากอิทธิพลของสารปฏิชีวนะซีฟแทคซีมและคาบินิชินลินบันจานเพาะเชื้อ <i>A. tumefaciens</i>	61
ภาพที่ 22 ก. ลักษณะเมล็ดข้าวภายหลังการบ่มร่วมกับ <i>A. tumefaciens</i> เป็นเวลา 3 วัน ข. ลักษณะแคลลัสที่เกิดจากเมล็ดข้าวพันธุ์ชัยนาท 1 ที่บ่มร่วมกับ <i>A. tumefaciens</i> และเพาะเลี้ยงบนอาหารคัดเลือก เป็นเวลา 7 วัน ค. แคลลัสของข้าวพันธุ์ชัยนาท 1 ที่ด้านหน้าต่อภายนอกมั่นคง ง. แคลลัสของข้าวพันธุ์หอมสุพรรรณบุรีที่ด้านหน้าต่อไขโกร้มั่นคง	63
ภาพที่ 23 ก. ผลตรวจสอบการแสดงออกของยีน <i>gus</i> ในแคลลัสที่เกิดจากเมล็ดข้าวพันธุ์ชัยนาท 1 ที่ไม่ได้บ่มร่วมกับ <i>A. tumefaciens</i> ข. ผลตรวจสอบการแสดงออกของยีน <i>gus</i> ในแคลลัสที่เกิดจากเมล็ดข้าวพันธุ์ชัยนาท 1 ภายหลังการบ่มร่วมกับ <i>A. tumefaciens</i> LBA4404 pBI121 เป็นเวลา 5 วัน ค. ผลตรวจสอบการแสดงออกของยีน <i>gus</i> ในแคลลัสที่เกิดจากเมล็ดข้าวพันธุ์ชัยนาท 1 ภายหลังการบ่มร่วมกับ <i>A. tumefaciens</i> EHA105 pCAMBIA1301 เป็นเวลา 5 วัน ง. ผลตรวจสอบการแสดงออกของยีน <i>gus</i> ในแคลลัสที่เกิดจากเมล็ดข้าวพันธุ์หอมสุพรรรณบุรีภายหลังการบ่มร่วมกับ <i>A. tumefaciens</i> LBA4404 pBI121 เป็นเวลา 5 วัน จ. ผลตรวจสอบการแสดงออกของยีน <i>gus</i> ในแคลลัสที่เกิดจากเมล็ดข้าวพันธุ์หอมสุพรรรณบุรีภายหลังการบ่มร่วมกับ <i>A. tumefaciens</i> EHA105 pCAMBIA1301 เป็นเวลา 5 วัน	65
ภาพที่ 24 ลักษณะต้นข้าวพันธุ์ชัยนาท 1 ที่ด้านหน้าต่อภายนอกมั่นคง อายุ 2 สัปดาห์ และเจริญบนอาหารสูตรซักนำให้เกิดต้นที่เติมภายนอกมั่นคงความเข้มข้น 50 มก./ล.	66
ภาพที่ 25 ลักษณะต้นข้าวพันธุ์ชัยนาท 1 อายุ 45 วัน ที่ด้านหน้าต่อภายนอกมั่นคงและเพาะเลี้ยงบนอาหารสูตร N <sub>6</sub> ที่ไม่เติมสารควบคุมการเจริญเติบโตและเติมภายนอกมั่นคงความเข้มข้น 50 มก./ล.	66

## สารบัญภาพ(ต่อ)

	หน้า
ภาพที่ 26 ผลตรวจสอบการแสดงออกของยีน gus ในต้นข้าวพันธุ์ชัยนาท 1 ที่ต้านทานต่อภานามัยชิน	67
ก. ในข้าวอายุ 2 สัปดาห์, ข. ต้นข้าวอายุ 2 สัปดาห์, ค. ต้นข้าวอายุ 1 เดือน	
ภาพที่ 27 ผลการตรวจสอบการแสดงออกของยีน gus ในรากและแผ่นใบของข้าวพันธุ์ชัยนาท 1 ที่ต้านทานต่อภานามัยชิน (ข และ ง) เปรียบเทียบกับรากและแผ่นใบของต้นข้าวควบคุม (ก และ ค)	67
ภาพที่ 28 ผลการตรวจสอบการส่งถ่ายยีนด้วยเทคนิค PCR โดยมี CaMV35S เป็นตีเอนเอเริ่มต้น	68
lane 1: 100 bp, lane 2: pCaMV35S, lane 3-5: ตีเอนเอสกัดจากต้นข้าวพันธุ์ชัยนาท 1 แปลงพันธุ์ที่ต้านทานต่อภานามัยชิน, lane 6: ตีเอนเอสกัดจากต้นข้าวพันธุ์ชัยนาท 1 ปกติ(ชุดควบคุม)	
ภาพที่ 29 ลักษณะต้นข้าวพันธุ์ชัยนาท 1 แปลงพันธุ์ที่ต้านทานต่อภานามัยชินระยะอ่อนกวาว	69
ภาพที่ 30 ลักษณะแคลลัสข้าวพันธุ์ชัยนาท 1 หลังจากยิงด้วยกระสุนที่เคลือบด้วยพลาสมิด pBI121 และเพาะเลี้ยงบนอาหารคัดเลือกที่เติมภานามัยชิน 50 มก./ล.	70
ภาพที่ 31 ผลการตรวจสอบกิจกรรมของยีน gus ในแคลลัสข้าวพันธุ์ชัยนาท 1 (ก) และหอนสุพรพรรณบุรี(ข) ที่ได้รับการส่งถ่ายยีน pBI121 ด้วยวิธียิงกระสุน	71
ภาพที่ 32 ลักษณะการออกของเมล็ดข้าวพันธุ์ชัยนาท 1 ที่เพาะเลี้ยงบนอาหารสูตร N <sub>6</sub> ที่เติมภานามัยชินความเข้มข้นต่างๆ(ก. 0 มก./ล., ข. 50 มก./ล., ค. 100 มก./ล., ง. 150 มก./ล., จ. 200 มก./ล.)	73
ภาพที่ 33 แผนภูมิแสดงการงอกของเมล็ดข้าวพันธุ์ชัยนาท 1 บนอาหารสูตร N <sub>6</sub> ที่เติมภานามัยชินความเข้มข้นต่างๆ	74
ภาพที่ 34 แผนภูมิแสดงน้ำหนักสดเฉลี่ยของต้นและรากข้าวพันธุ์ชัยนาท 1 ที่เพาะเลี้ยงบนอาหารสูตร N <sub>6</sub> ที่เติมภานามัยชินความเข้มข้นต่างๆ	74
ภาพที่ 35 ลักษณะการออกของเมล็ดข้าวพันธุ์ชัยนาท 1 แปลงพันธุ์ที่ต้านทานต่อภานามัยชินรุ่น T <sub>0</sub> เปรียบเทียบกับเมล็ดข้าวจากต้นข้าวพันธุ์ชัยนาท 1 ปกติ บนอาหารสูตร N <sub>6</sub> ที่เติมภานามัยชินความเข้มข้น 50 มก./ล.	75

## สารบัญภาพ(ต่อ)

	หน้า
ภาพที่ 36 ผลตรวจสอบการแสดงออกของยีน gus ในต้นข้าวพันธุ์ต้นข้าวพันธุ์ชัยนาท 1 ปกติ(ชุดควบคุม) (ก) เปรียบเทียบกับต้นข้าวพันธุ์ชัยนาท 1 แปลง-พันธุ์ที่งอกบนอาหารที่เติมกามัยชินความเข้มข้น 50 มก./ล. (ข)	76
ภาพที่ 37 แผนผังแสดงขั้นตอนการนำข้าวพันธุ์ กข6 แปลงพันธุ์ ที่ต้านทานต่อไข่ไกรมัยชินลงปลูก	86
ภาพที่ 38 ลักษณะต้นข้าวพันธุ์ กข6 แปลงพันธุ์ที่ต้านทานต่อไข่ไกรมัยชินรุ่น $T_0$ อายุ 1 เดือน เมื่อนำลงปลูกในดินกระถาง	88
ภาพที่ 39 ผลตรวจสอบการแสดงออกของยีน gus ในใบข้าวพันธุ์ กข6 ปกติ (ก) และใบข้าวพันธุ์ กข6 ที่ต้านทานต่อไข่ไกรมัยชินรุ่น $T_0$ (ข)	88
ภาพที่ 40 ลักษณะต้นข้าวพันธุ์ กข6 ปกติ อายุ 3 เดือน (ช้าย) เปรียบเทียบกับต้นข้าวพันธุ์ กข6 แปลงพันธุ์ที่ต้านทานต่อไข่ไกรมัยชินรุ่น $T_0$ อายุ 3 เดือน (ช้า)	89
ภาพที่ 41 ลักษณะต้นข้าวพันธุ์ กข6 ปกติระยะออกกลาง (ช้าย) เปรียบเทียบกับต้นข้าวพันธุ์ กข6 แปลงพันธุ์ที่ต้านทานต่อไข่ไกรมัยชินรุ่น $T_0$ ระยะออกกลาง (ช้า)	90
ภาพที่ 42 ลักษณะรวงข้าวพันธุ์ กข6 แปลงพันธุ์ที่ต้านทานต่อไข่ไกรมัยชินรุ่น $T_0$	91
ภาพที่ 43 ลักษณะต้นข้าวพันธุ์ กข6 แปลงพันธุ์ที่ต้านทานต่อไข่ไกรมัยชินรุ่น $T_1$ ระยะออกกลาง	92
ภาพที่ 44 ลักษณะต้นข้าวพันธุ์ กข6 ปกติระยะออกกลาง(ก) เปรียบเทียบกับต้นข้าวพันธุ์ กข6 แปลงพันธุ์ที่ต้านทานต่อไข่ไกรมัยชินรุ่น $T_2$ (ข)	92
ภาพที่ 45 ผลตรวจสอบการแสดงออกของยีน gus ในเมล็ดข้าวแปลงพันธุ์ที่ต้านทานต่อไข่ไกรมัยชินรุ่น $T_0$ (ก) เปรียบเทียบกับเมล็ดข้าวพันธุ์ กข6 ปกติ (ข)	93
ภาพที่ 46 ผลตรวจสอบการแสดงออกของยีน gus ในเมล็ดข้าวแปลงพันธุ์ที่ต้านทานต่อไข่ไกรมัยชินรุ่น $T_1$ (ก) เปรียบเทียบกับเมล็ดข้าวพันธุ์ กข6 ปกติ (ข)	93
ภาพที่ 47 ผลตรวจสอบการแสดงออกของยีน gus ในแคลลัสที่ซักนำให้เกิดจากเมล็ดข้าวพันธุ์ กข6 ปกติ(ก)เปรียบเทียบกับแคลลัสที่ซักนำให้เกิดจากเมล็ดข้าวแปลงพันธุ์ที่ต้านทานต่อ ไข่ไกรมัยชินรุ่น $T_0$ (ข)	94

## สารบัญภาพ(ต่อ)

	หน้า
ภาพที่ 48 การแสดงออกของยีนในใบข้าวจากต้นข้าวพันธุ์ กข 6 แปลงพันธุ์ที่ต้านทานต่อไฮโกรมัยซินรุ่น T <sub>1</sub>	94
ภาพที่ 49 ผลการตรวจสอบดีเอ็นเอที่สกัดจากใบข้าวแปลงพันธุ์ที่ต้านทานต่อไฮโกรมัยซินรุ่น T <sub>0</sub> ด้วยเทคนิค PCR โดยมี CaMV35S เป็นดีเอ็นเอเริ่มต้น <ul style="list-style-type: none"> <li>ก. Lane 1: 100 bp, Lane 2: pCaMV35S, Lane 3-5: ดีเอ็นเอจากใบข้าวรหัส RD6-hpt-1, RD6-hpt-2 และ RD6-hpt-3 ตามลำดับ, Lane 6: ดีเอ็นเอจากต้นข้าวพันธุ์ กข 6 (ชุดควบคุม)</li> <li>ข. Lane 1 : 100 bp, Lane 2 : pCaMV35S, Lane 3-5 : ดีเอ็นเอจากใบข้าวรหัส RD6-hpt-4, RD6-hpt-5 และ RD6-hpt-6 ตามลำดับ Lane 6 : ดีเอ็นเอจากต้นข้าวพันธุ์ กข 6 (ชุดควบคุม)</li> </ul>	95
ภาพที่ 50 ผลการตรวจสอบดีเอ็นเอที่สกัดจากใบข้าวแปลงพันธุ์ที่ต้านทานต่อไฮโกรมัยซินรุ่น T <sub>1</sub> ด้วยเทคนิค PCR โดยมี CaMV35S เป็นดีเอ็นเอเริ่มต้น <ul style="list-style-type: none"> <li>Lane 1 : 100 bp, Lane 2 : pCaMV35S, Lane 3 : RD6-hpt2-3, Lane 4 : RD6-hpt4-4, Lane 3 : RD6-hpt4-5, Lane 6 : RD6-hpt5-1, Lane7 : ต้นข้าวพันธุ์ชัยนาท 1(ชุดควบคุม)</li> </ul>	96
ภาพที่ 51 ผลการตรวจสอบดีเอ็นเอที่สกัดจากใบข้าวแปลงพันธุ์ที่ต้านทานต่อไฮโกรมัยซินรุ่น T <sub>2</sub> ด้วยเทคนิค PCR โดยมี CaMV35S เป็นดีเอ็นเอเริ่มต้น <ul style="list-style-type: none"> <li>Lane 1 : 100 bp, Lane 2 : pCaMV35S, Lane 3 : RD6-hpt2-3-3, Lane 4 : RD6-hpt3-3-1, Lane 5 : RD6-hpt4-2-5, Lane 6 : RD6-hpt9-7-1, Lane7 : ต้นข้าวพันธุ์ กข 6 (ชุดควบคุม)</li> </ul>	96
ภาพที่ 52 ลักษณะการออกของเมล็ดข้าวพันธุ์ กข 6 บนอาหารสูตร N <sub>6</sub> ที่เติมไฮโกรมัยซินความเข้มข้นต่าง ๆ	98
ภาพที่ 53 แผนภูมิแสดงอัตราการออกของเมล็ดข้าวพันธุ์ กข 6 บนอาหารสูตร N <sub>6</sub> ที่เติมไฮโกรมัยซินความเข้มข้นต่าง ๆ	99
ภาพที่ 54 แผนภูมิแสดงน้ำหนักสดเฉลี่ยของต้นและรากของต้นข้าวพันธุ์ กข 6 ที่เพาะเลี้ยงบนอาหารสูตร N <sub>6</sub> ที่เติมไฮโกรมัยซินความเข้มข้นต่าง ๆ	99

## สารบัญภาพ(ต่อ)

	หน้า
ภาพที่ 55 ลักษณะการออกของเมล็ดข้าวพันธุ์ กช 6 แปลงพันธุ์ที่ด้านหน้าต่อไฮโกร- มัยชินรุ่น T <sub>0</sub> เปรียบเทียบกับเมล็ดข้าวจากต้นข้าวพันธุ์ กช 6 ปกติ บน อาหารสูตร N <sub>6</sub> ที่เติมไฮโกรมัยชินความเข้มข้น 20 มก./ล. ก. RD6-hpt1, ข. RD6-hpt2, ค. RD6-hpt3, ง. RD6-hpt4 (C=เมล็ดข้าวพันธุ์ กช 6 ปกติบนอาหารไม่เติมไฮโกรมัยชิน, C+Hm= เมล็ดข้าวพันธุ์ กช 6 ปกติ บนอาหารเติมไฮโกรมัยชิน 20 มก./ล., T+Hm= เมล็ดข้าวพันธุ์ กช 6 แปลงพันธุ์บนอาหารเติมไฮโกรมัยชิน 20 มก./ล.)	101
ภาพที่ 56 ลักษณะการออกของเมล็ดข้าวพันธุ์ กช 6 แปลงพันธุ์ที่ด้านหน้าต่อ ไฮโกรมัยชินรุ่น T <sub>0</sub> เปรียบเทียบกับเมล็ดข้าวจากต้นข้าวพันธุ์ กช 6 ปกติ บนอาหารสูตร N <sub>6</sub> ที่เติมไฮโกรมัยชินความเข้มข้น 20 มก./ล. ก. RD6-hpt5, ข. RD6-hpt6, ค. RD6-hpt7, ง.RD6-hpt8 (C=เมล็ดข้าวพันธุ์ กช 6 ปกติบนอาหารไม่เติมไฮโกรมัยชิน, C+Hm= เมล็ดข้าวพันธุ์ กช 6 ปกติ บนอาหารเติมไฮโกรมัยชิน 20 มก./ล., T+Hm= เมล็ดข้าวพันธุ์ กช 6 แปลงพันธุ์บนอาหารเติมไฮโกรมัยชิน 20 มก./ล.)	102
ภาพที่ 57 ผลตรวจสอบการแสดงออกของยีน gus ในต้นข้าวพันธุ์ กช 6 แปลงพันธุ์ที่ ด้านหน้าต่อไฮโกรมัยชินรุ่น T <sub>1</sub> อายุ 7 วัน	103
ภาพที่ 58 แผนภูมิแสดงค่าศักย์օโซโนซิสของน้ำคั้นจากใบข้าวพันธุ์ กช 6 ปกติ เปรียบเทียบกับใบข้าวพันธุ์ กช 6 แปลงพันธุ์ที่ด้านหน้าต่อไฮโกรมัยชินรุ่น T <sub>2</sub> อายุ 1 เดือน และ 2 เดือน	106
ภาพที่ 59 แผนภูมิแสดงปริมาณคลอโรฟิลล์เอ, คลอโรฟิลล์บ และคลอโรฟิลล์รวม ของใบข้าวพันธุ์ กช 6 ปกติเปรียบเทียบกับใบข้าวพันธุ์ กช 6 แปลงพันธุ์ที่ ด้านหน้าต่อไฮโกรมัยชินรุ่น T <sub>2</sub>	107
ภาพที่ 60 แผนภูมิแสดงอัตราส่วนระหว่างปริมาณคลอโรฟิลล์เอต่oclอโรฟิลล์บใน ใบข้าวพันธุ์ กช 6 ปกติ เปรียบเทียบกับใบข้าวพันธุ์ กช 6 แปลงพันธุ์ที่ด้าน- หน้าต่อไฮโกรมัยชินรุ่น T <sub>2</sub>	108
ภาพที่ 61 แผนภูมิแสดงความสูงเฉลี่ยของต้นข้าวพันธุ์ กช 6 ปกติ เปรียบเทียบกับข้าว พันธุ์ กช 6 แปลงพันธุ์ที่ด้านหน้าต่อไฮโกรมัยชินรุ่น T <sub>0</sub>	109

สารบัญภาพ (ต่อ)

หน้า	
109	ภาพที่ 62 แผนภูมิแสดงความสูงเฉลี่ยของต้นข้าวพันธุ์ กช 6 ปกติ เปรียบเทียบกับ ข้าวพันธุ์ กช 6 แปลงพันธุ์ที่ต้านทานต่อไข่โกรนัยชินรุ่น $T_1$
111	ภาพที่ 63 ลักษณะในลงของต้นข้าวพันธุ์ กช 6 ปกติ(ก) เปรียบเทียบกับในลงของ ต้นข้าวพันธุ์ กช 6 แปลงพันธุ์รุ่น $T_1$ , (ข)
112	ภาพที่ 64 แผนภูมิแสดงความกว้างในลงและความยาวในลงของข้าวพันธุ์ กช 6 ปกติ เปรียบเทียบกับข้าวพันธุ์ กช 6 แปลงพันธุ์ที่ต้านทานต่อไข่โกรนัยชินรุ่น $T_0$
113	ภาพที่ 65 แผนภูมิแสดงความกว้างในลงและความยาวในลงของข้าวพันธุ์ กช 6 ปกติ เปรียบเทียบกับข้าวพันธุ์ กช 6 แปลงพันธุ์ที่ต้านทานต่อไข่โกรนัยชินรุ่น $T_1$
114	ภาพที่ 66 แผนภูมิแสดงอัตราส่วนระหว่างความยาวในลงต่อความกว้างในลงของข้าว พันธุ์ กช 6 ปกติ เปรียบเทียบกับข้าวพันธุ์ กช 6 แปลงพันธุ์ที่ต้านทานต่อ ไข่โกรนัยชินรุ่น $T_0$
114	ภาพที่ 67 แผนภูมิแสดงอัตราส่วนระหว่างความยาวในลงต่อความกว้างในลงของ ข้าวพันธุ์ กช 6 ปกติ เปรียบเทียบกับข้าวพันธุ์ กช 6 แปลงพันธุ์ที่ต้านทาน ต่อไข่โกรนัยชินรุ่น $T_1$
116	ภาพที่ 68 ลักษณะเมล็ดข้าวพันธุ์ กช 6 ปกติ (ซ้าย) เปรียบเทียบกับเมล็ดข้าวพันธุ์ กช 6 แปลงพันธุ์ที่ต้านทานต่อไข่โกรนัยชิน (กลางและขวา)
116	ภาพที่ 69 ลักษณะเมล็ดข้าวกล้องของข้าวพันธุ์ กช 6 ปกติ (ด้านบน) เปรียบเทียบกับ เมล็ดข้าวกล้องของข้าวพันธุ์ กช 6 แปลงพันธุ์ที่ต้านทานต่อไข่โกรนัยชิน (ด้านล่าง)
117	ภาพที่ 70 ลักษณะเมล็ดข้าวพันธุ์ กช 6 ปกติ เปรียบเทียบกับเมล็ดข้าวพันธุ์ กช 6 แปลงพันธุ์ที่ต้านทานต่อไข่โกรนัยชินรุ่น $T_0$
118	ภาพที่ 71 ลักษณะเมล็ดข้าวพันธุ์ กช 6 ปกติ เปรียบเทียบกับเมล็ดข้าวพันธุ์ กช 6 แปลงพันธุ์ที่ต้านทานต่อไข่โกรนัยชินรุ่น $T_1$
119	ภาพที่ 72 แผนภูมิแสดงความกว้างเมล็ด, ความยาวเมล็ด และอัตราส่วนระหว่าง ความยาวเมล็ดต่อความกว้างเมล็ดข้าวพันธุ์ กช 6 ปกติ เปรียบเทียบกับ เมล็ดข้าวรุ่นลูกของข้าวพันธุ์ กช 6 แปลงพันธุ์ที่ต้านทานต่อไข่โกรนัยชินรุ่น $T_0$

## สารบัญภาพ(ต่อ)

	หน้า
ภาพที่ 73 แผนภูมิแสดงความกว้างเมล็ด, ความยาวเมล็ด และอัตราส่วนระหว่างความยาวเมล็ดต่อความกว้างเมล็ดข้าวพันธุ์ กช 6 ปกติ เปรียบเทียบกับเมล็ดข้าวรุ่นลูกของข้าวพันธุ์ กช 6 แปลงพันธุ์ที่ต้านทานต่อไฮโกรมัยชินรุ่น T <sub>1</sub>	120
ภาพที่ 74 ลักษณะรวงของข้าวพันธุ์ กช 6 ปกติ(ก) เปรียบเทียบกับรวงของข้าวพันธุ์ กช 6 แปลงพันธุ์ที่ต้านทานต่อไฮโกรมัยชิน รุ่น T <sub>1</sub> (ช ค และ ง)	122
ภาพที่ 75 ลักษณะรวงของข้าวพันธุ์ กช 6 แปลงพันธุ์ที่ต้านทานต่อไฮโกรมัยชินรุ่น T <sub>1</sub> (จ ฉ และ ช)	123
ภาพที่ 76 แผนภูมิแสดงจำนวนกิ่งปฐมภูมิต่อรวงของข้าวพันธุ์ กช 6 ปกติเปรียบเทียบกับข้าวพันธุ์ กช 6 แปลงพันธุ์ที่ต้านทานต่อไฮโกรมัยชินรุ่น T <sub>0</sub>	124
ภาพที่ 77 แผนภูมิแสดงจำนวนเมล็ดต่อรวงของข้าวพันธุ์ กช 6 ปกติ เปรียบเทียบกับข้าวพันธุ์ กช 6 แปลงพันธุ์ที่ต้านทานต่อไฮโกรมัยชินรุ่น T <sub>0</sub>	124
ภาพที่ 78 แผนภูมิแสดงความยาวรวงของข้าวพันธุ์ กช 6 ปกติเปรียบเทียบกับข้าวพันธุ์ กช 6 แปลงพันธุ์ที่ต้านทานต่อไฮโกรมัยชินรุ่น T <sub>0</sub>	125
ภาพที่ 79 แผนภูมิแสดงจำนวนกิ่งปฐมภูมิต่อรวงของข้าวพันธุ์ กช 6 ปกติเปรียบเทียบกับข้าวพันธุ์ กช 6 แปลงพันธุ์ที่ต้านทานต่อไฮโกรมัยชินรุ่น T <sub>1</sub>	125
ภาพที่ 80 แผนภูมิแสดงจำนวนเมล็ดต่อรวงของข้าวพันธุ์ กช 6 ปกติเปรียบเทียบกับข้าวพันธุ์ กช 6 แปลงพันธุ์ที่ต้านทานต่อไฮโกรมัยชินรุ่น T <sub>1</sub>	126
ภาพที่ 81 แผนภูมิแสดงความยาวรวงของข้าวพันธุ์ กช 6 ปกติเปรียบเทียบกับข้าวพันธุ์ กช 6 แปลงพันธุ์ที่ต้านทานต่อไฮโกรมัยชินรุ่น T <sub>1</sub>	126
ภาพที่ 82 ลักษณะต้นกล้าข้าวพันธุ์ กช 6 ปกติอายุ 4 วัน (ก)เปรียบเทียบกับกับต้นกล้าข้าวพันธุ์ กช 6 แปลงพันธุ์ที่ต้านทานต่อไฮโกรมัยชินรุ่น T <sub>1</sub> และ T <sub>2</sub> (ช และ ค)	127
ภาพที่ 83 ลักษณะต้นกล้าข้าวพันธุ์ กช 6 ปกติอายุ 10 วัน(ก) เปรียบเทียบกับต้นกล้าข้าวพันธุ์ กช 6 แปลงพันธุ์ที่ต้านทานไฮโกรมัยชิน(ช)	127
ภาพที่ 84 แผนภูมิความสูงต้นข้าวพันธุ์ กช 6 ปกติ เปรียบเทียบกับต้นข้าวพันธุ์ กช 6 แปลงพันธุ์ที่ต้านทานต่อไฮโกรมัยชินรุ่น T <sub>1</sub> อายุ 10 วัน	128

## สารบัญภาพ(ต่อ)

หน้า	ก. โครงโน้มระยะเมตาเฟสของข้าวพันธุ์ กข 6 ปกติ (2n=24)	130
	ช. โครงโน้มระยะเมตาเฟสของข้าวพันธุ์ กข 6 แปลงพันธุ์ที่ต้านทาน ต่อไข่ไกรมัยชินรุ่น T <sub>1</sub> (2n=24)	
	ค. โครงโน้มระยะเมตาเฟสของข้าวพันธุ์ กข 6 แปลงพันธุ์ที่ต้านทาน ต่อไข่ไกรมัยชินรุ่น T <sub>2</sub> (2n=24)	
	ง. โครงโน้มระยะเมตาเฟสของข้าวพันธุ์ กข 6 แปลงพันธุ์ที่ต้านทาน ต่อไข่ไกรมัยชินรุ่น T <sub>3</sub> (2n=24)	
ก. โครงโน้มระยะเมตาเฟสของข้าวพันธุ์ชัยนาท 1 ปกติ (2n=24)	130	ก. โครงโน้มระยะเมตาเฟสของข้าวพันธุ์ชัยนาท 1 ปกติ (2n=24)
ก. โครงโน้มระยะเมตาเฟสของข้าวพันธุ์ชัยนาท 1 ปกติ (2n=24)		ช. โครงโน้มระยะเมตาเฟสของข้าวพันธุ์ชัยนาท 1 แปลงพันธุ์ ที่ต้านทานต่อภัยแมลงศรีษะ (2n=24)

## คำอธิบายสัญลักษณ์และคำย่อ

ก.	= กรัม
ก./ล.	= กรัมต่อลิตร
ซม.	= ซ์มิเมตร
ซม.	= เซนติเมตร
°ซ.	=องศาเซลเซียส
มม.	= มิลลิเมตร
มล.	= มิลลิลิตร
มก./ล.	= มิลลิกรัมต่อลิตร
M	= มิลลาร์
mM	= มิลลิมิลลาร์
nm	= นาโนเมตร
rpm	= รอบต่อนาที
w/v	= น้ำหนักต่อบริมาตร
$\mu\text{g}$	= ไมโครกรัม
$\mu\text{M}$	= ไมโครมิลลาร์
$\mu\text{m}$	= ไมโครเมตร
$\mu\text{l}$	= ไมโครลิตร
ABA	= abscisic acid
BA	= benzyladenine
BAP	= benzylaminopurine
GUS	= beta-glucuronidase
GA	= gibberellic acid
HCl	= hydrochloric acid
KI	= kinetin
NAA	= naphthaleneacetic acid
psi	= pounds per square inch
2,4-D	= 2,4-dichlorophenoxyacetic acid
IAA	= indole-3-acetic acid
X-gluc	= 5-bromo-4chloro-3-indole- $\beta$ -D-glucoronides

## บทที่ 1 บทนำ

ข้าว (*Oryza sativa L.*) เป็นพืชเศรษฐกิจที่สำคัญ เนื่องจากประชากรจำนวนมากกว่าหนึ่งในสามของโลกบริโภคข้าวเป็นอาหารหลัก พื้นที่การเพาะปลูกของข้าวมีประมาณ 11% ของพื้นที่เพาะปลูกทั่วโลก โดยเป็น พื้นที่ในทวีปเอเชียมากกว่า 90% ประเทศไทยเป็นประเทศผู้ผลิตและส่งออกข้าวที่สำคัญประเทศหนึ่ง แต่ในปัจจุบันประเทศไทยผลิตข้าวได้น้อยลง อันมีสาเหตุมาจากการโรค แมลงศัตรูข้าวและสภาพภูมิอากาศที่ไม่เหมาะสม นอกจากนี้จำนวนประชากรที่เพิ่มขึ้นอย่างรวดเร็วส่งผลให้พื้นที่การเพาะปลูกลดลง ปัจจุบันการปรับปรุงพันธุ์พืชเพื่อให้ได้พืชสายพันธุ์ที่มีลักษณะพิเศษโดยวิธีทางพันธุวิศวกรรม (genetic engineering) ซึ่ง ได้แก่ พืชที่ให้ผลผลิตสูง ทนทานต่อโรคและแมลงศัตรูพืชและสภาพแวดล้อมที่ไม่เหมาะสมสามารถกระทำได้ในระยะเวลาอันสั้นเมื่อเปรียบเทียบกับการปรับปรุงพันธุ์พืชแบบดั้งเดิม (conventional breeding) การใช้แบคทีเรีย *Agrobacterium tumefaciens* เป็นเทคนิคทางพันธุวิศวกรรมวิธีหนึ่งที่มีประสิทธิภาพสูงในการส่งถ่ายยีนสู่พืช *A. tumefaciens* เป็นแบคทีเรียแกรมลบที่อาศัยในดิน จัดอยู่ในวงศ์ Rhizobiaceae *A. tumefaciens* สามารถส่งถ่ายชิ้นส่วนยีนที่มีรหัสสำหรับการสังเคราะห์ฮอร์โมนออกซินและไซโตไนโนเจ็กซ์โดยไม่ต้องผ่านพืช ทำให้เซลล์พืชสังเคราะห์ฮอร์โมนเหล่านี้ในปริมาณสูงมากผิดปกติ ส่งผลให้พืชแบ่งเซลล์มากขึ้น ทำให้บริเวณที่ได้รับเชื้อมีลักษณะเป็นปุ่มปุ่น (crown gall) ความสามารถตามธรรมชาติของ *A. tumefaciens* ที่สามารถส่งถ่ายข้อมูลทางพันธุกรรมเข้าสู่เซลล์พืชทำให้เกิดแนวคิดในการสร้างพืชแปลงพันธุ์ โดยตัดยีนบริเวณที่มีรหัสการสังเคราะห์ฮอร์โมนออกซินและไซโตไนโนเจ็กซ์แล้วนำยีนที่ต้องการเข้าไปแทนที่ *A. tumefaciens* จะสามารถส่งยีนเหล่านี้เข้าไปในครองโนไซม์พืชและทำให้พืชมีลักษณะตามที่ต้องการได้ การส่งถ่ายยีนสู่พืชโดย *A. tumefaciens* เป็นเทคนิคทางพันธุวิศวกรรมที่มีประสิทธิภาพสูง เนื่องจากบริเวณที่ส่งเข้าสู่พืชเป็นบริเวณที่มีการกำหนดขอบเขตที่แน่นอน ดังนั้นจึงไม่มีการจัดเรียงตัวใหม่ของชุดยีนที่สอดแทรกเข้าสู่จีโนมพืช (Dong et al., 1996) มีรายงานความสำเร็จในการส่งถ่ายยีนสู่ข้าวสายพันธุ์ต่าง ๆ โดยใช้เทคนิคนี้

งานวิจัยนี้มีวัตถุประสงค์เพื่อศึกษาความรู้เบื้องต้นในการส่งถ่ายยีนสู่ข้าวบางสายพันธุ์ ได้แก่ หอมสุพรรณบุรี และชัยนาท 1 ซึ่งยังไม่มีรายงานความสำเร็จในการสร้างข้าวแปลงพันธุ์ดังกล่าว เพื่อใช้เป็นข้อมูลพื้นฐานสำหรับการปรับปรุงพันธุ์ข้าวในประเทศไทยต่อไป

## บทที่ 2

### การตรวจเอกสาร

#### ลักษณะทางพฤกษาศาสตร์ของข้าว

ข้าวเป็นพืชตระกูลหญ้า จัดอยู่ในวงศ์ Gramineae มีจำนวนโครโมโซม  $2n=24$  ข้าวที่ปลูกในปัจจุบันมี 2 ชนิด คือ *O. sativa* และ *O. glaberrima* ข้าวทั้งสองชนิดมีต้นกำเนิดมาจากข้าวป่า *O. perennis*

ลำต้นข้าวมีลักษณะเป็นโพรงตรงกลางและแบ่งเป็นปล้อง ๆ โดยมีขอกั้นระหว่างปล้องในข้าวมีลักษณะบางแคบและเรียวยวาย ปลายใบแหลมคล้ายปลายหอก และมีเส้นใบขนาดกันในประกอบด้วยกาบใบและแผ่นใบ กาบใบคือส่วนที่ติดอยู่กับข้อของลำต้นและห่อหุ้มต้นข้าว แผ่นใบคือส่วนที่อยู่เหนือข้อของใบและมีลักษณะเป็นแผ่นแบนบาง กาบใบและแผ่นใบเชื่อมติดกันด้วยข้อต่อใบ ในข้าวในสุดท้ายที่อยู่ติดกับรากข้าวซึ่งมีความกว้างและสั้นมากกว่าใบอื่น ๆ เรียกว่า ใบธง และปล้องอันสุดท้ายที่เป็นก้านของวงเรียกว่า คอรวง ชื่อดอกข้าวเรียกว่าวง เป็นชื่อดอกแบบราชิน ดอกข้าวเป็นดอกสมบูรณ์เพศ ประกอบด้วยกลีบดอกใหญ่ (lemma) และกลีบดอกเล็ก (palea) ส่วนปลายสุดของกลีบดอกใหญ่มีปลายแหลมยื่นออกมาเรียกว่าหาง (awn) ภายในกลีบดอกประกอบด้วยอับเรณูตัวผู้ 6 อัน ยอดเกสรตัวเมีย 2 อัน และรังไข่ 1 อัน การผสมเกสรของข้าวส่วนใหญ่เป็นแบบผสมตัวเอง เมล็ดข้าวประกอบด้วยส่วนคัพกะ (embryo) ที่สามารถออกเป็นต้นข้าว และส่วนเอนโดสเปอร์ม (endosperm) ซึ่งเป็นที่สะสมแป้งสำหรับการบริโภค

#### ประเภทของข้าว

*O. sativa* ปลูกในเขตต่าง ๆ ทั่วโลก เช่น เอเชีย ยุโรป อเมริกาใต้ และออสเตรเลีย ส่วน *O. glaberrima* ปลูกในทวีปแอฟริกาเขตตะวันตก ในปัจจุบันมีพื้นที่การปลูก *O. glaberrima* ลดลง เนื่องจากถูกแทนที่ด้วย *O. sativa* *O. sativa* แบ่งออกได้ 3 ประเภท ได้แก่ อินดิกา จาโนนิกา และ javanica ข้าวอินดิกาเป็นข้าวที่ปลูกในเขตร้อน (tropical zone) เช่น ศรีลังกา จีนตอนกลางและตอนใต้ อินเดีย อินโดนีเซีย บังคลาเทศ ไทย และฟิลิปปินส์ ข้าวจาโนนิกา ปลูกมากในเขตตอบอุ่น (temperate zone) เช่น จีนตอนเหนือและตะวันออก ญี่ปุ่น และเกาหลี นอกจากนี้พบมีการปลูกข้าว javanica มากในประเทศไทย พันธุ์ข้าวที่ปลูกในประเทศไทย ส่วนใหญ่เป็นข้าวอินดิกา

พันธุ์ข้าวในประเทศไทยแบ่งตามสภาพพื้นที่การปลูกได้ 3 ประเภท คือ ข้าวไร่ ข้าวนานาส่วน และข้าวขี้นน้ำ ข้าวไร่คือข้าวที่เจริญเติบโตได้ในที่ดอนหรือที่สูงโดยไม่ต้องมีน้ำซึ่ง มีความทนแล้งได้ดี ปลูกมากในเขตภาคเหนือ ภาคตะวันออกเฉียงเหนือและบางส่วนของภาคใต้ ข้าวนานาส่วน

คือข้าวที่เจริญเติบโตได้ในพื้นที่มีน้ำซึ่ง และระดับน้ำลึกไม่เกิน 1 เมตร มีพื้นที่การปลูกทั่วประเทศ และข้าวขึ้นน้ำคือข้าวที่สามารถเจริญเติบโตได้ในระดับน้ำลึก เนื่องจากสามารถยึดปล้องให้ลำต้นยาวขึ้นตามระดับน้ำที่สูงขึ้นได้ ส่วนใหญ่ปลูกในเขตภาคกลาง

การแบ่งข้าวตามชนิดของแป้งที่เป็นองค์ประกอบในเมล็ดอาจแบ่งข้าวได้ 2 ชนิด ได้แก่ ข้าวเหนียว (glutinous rice หรือ waxy rice) และข้าวเจ้า (nonglutinous rice) ข้าวเหนียวและข้าวเจ้ามีลักษณะของต้นและลักษณะอื่น ๆ เหมือนกัน ต่างกันที่เมล็ดข้าวเหนียวประกอบด้วยแป้งอะไมโลเพกตินเป็นส่วนใหญ่ และมีอะไมโลสเป็นส่วนอย่างประมาณ 5-7% เมล็ดมีสีขาวซึ่งนิยมปลูกในเขตภาคตะวันออกเฉียงเหนือ และภาคเหนือของประเทศไทย เมล็ดข้าวเจ้าประกอบด้วยแป้งอะไมโลสประมาณ 15-30% เมล็ดมีสีขาวใส ปลูกในทุกภาคของประเทศไทย

นอกจากนี้สามารถแบ่งประเภทของข้าวตามความไวต่อช่วงแสง โดยแบ่งได้เป็น 2 ประเภท คือ ข้าวไวแสงและข้าวไม่ไวแสง ข้าวไวแสงคือพันธุ์ข้าวที่ต้องการช่วงแสงสั้นกว่า 12 ชั่วโมงต่อวันในการออกดอก จึงปลูกได้เฉพาะในฤดูฝน ข้าวประเภทนี้แบ่งออกได้ 3 พาก คือ ข้าวເບາ ข้าวກລາງ และข้าวหนัก ข้าวເບາออกดอกอกรหัสว่างเดือนกันยายน-ตุลาคม ข้าวກລາງออกดอกอกรหัสว่างเดือนตุลาคม-พฤษภาคม และข้าวหนักออกดอกอกรหัสว่างเดือนธันวาคม-กุมภาพันธ์ ข้าวพันธุ์พื้นเมืองของไทยส่วนใหญ่จัดเป็นข้าวหนัก ส่วนข้าวไม่ไวต่อช่วงแสงคือพันธุ์ข้าวที่ออกดอกได้ทุกฤดูการเมืองอายุครบตามกำหนด และปลูกได้ตลอดปีถ้ามีน้ำเพียงพอ

ข้าวพันธุ์ กช 6 เป็นข้าวเหนียวหอมคุณภาพดีพันธุ์แรกที่ได้จากการปรับปรุงพันธุ์ด้วยการซักน้ำให้เกิดการเปลี่ยนแปลงทางพันธุกรรม โดยนำเมล็ดข้าวพันธุ์ข้าวดอกมะลิ 105 อาบด้วยรังสีแกมนานาด 20 กิโลแพรต แล้วนำมาปลูกคัดเลือกเพื่อให้ได้พันธุ์ที่ให้ผลผลิตสูงที่สุด คือพันธุ์ข้าวดอกมะลิ 105,65-G2U-68-254 คณะกรรมการพิจารณาพันธุ์ให้ใช้ขยายพันธุ์ เมื่อวันที่ 4 พฤษภาคม พ.ศ. 2520 และให้ชื่อว่าพันธุ์ กช 6 ข้าวพันธุ์ กช 6 เป็นข้าวที่ไวต่อช่วงแสงมีทรงกอกระจาด ใบยาวสีเขียวเข้ม สูงประมาณ 154 ซม. เมล็ดยาวเรียวเปลือกสีน้ำตาลยาวประมาณ 7.23 มน. เมล็ดกว้างประมาณ 2.28 มน. และหนาประมาณ 1.77 มน. มีผลผลิตต่อไร่ 670 กิโลกรัมต่อไร่ (สำนัก บุญวัฒนา, 2537) เนื่องจากข้าวพันธุ์ กช 6 มีความทนแล้งได้ดีและให้ผลผลิตสูง กรรมวิชาการเกษตรจึงแนะนำให้เป็นข้าวนาสวนพันธุ์ที่เหมาะสมสำหรับนำไปในภาคตะวันออกเฉียงเหนือ นอกจากนี้ยังมีความต้านทานต่อโรคไข้โรคใบจุดสีน้ำตาล แต่ไม่ต้านทานต่อโรคขอบใบแห้ง เพลี้ยกระโดดสีน้ำตาลและแมลงบัว (ระรื่นบุญดวง และสมพล อุชชิน, 2533)

ข้าวพันธุ์ชัยนาท 1 เป็นข้าวเจ้าที่ได้มาจากการผสม 3 ทาง ระหว่างข้าวพันธุ์ IR13146-158-1 IR15314-43-2-3-3 และ BKN 6995-16-1-1-2 ที่สถานทดลองข้าวจังหวัดชัยนาท ในปี พ.ศ. 2525 และได้รับการรับรองให้ใช้ขยายพันธุ์เมื่อวันที่ 9 กันยายน พ.ศ. 2536 เป็นข้าวไม่ไวต่อช่วงแสง มีลักษณะใบธงค่อนข้างยาวและตั้งตรง ใบแก่ช้า ต้นแข็งแรง คงร่องสั้น เมื่อปลูกในฤดูฝนมีอายุเก็บเกี่ยวประมาณ 119 วัน และมีอายุเก็บเกี่ยวประมาณ 130 วัน

เมื่อปลูกในถุงแล้ง ในถุงแล้งให้ผลผลิตเฉลี่ย 754 กก./ไร่ และในถุงฟันให้ผลผลิตเฉลี่ย 725 กก./ไร่ เมล็ดมีลักษณะยาวเรียว เปลือกสีฟาง ห้องไข่น้อย มีปริมาณแป้งอะไมโลสสูง ข้าวเมื่อหุงสุกมีลักษณะร่วนแข็งคล้ายข้าวเส้าให้ สามารถนำไปแปรรูปเป็นเส้นกวยเตี๋ยว เส้นหมี่ กวยจีบและขนมจีนได้ มีความต้านทานต่อโรคและแมลงศัตรुข้าวหลายชนิด เช่น เพลี้ยกระโดดสิน้ำตาล เพลี้ยกระโดดหลังขาว โรคใบหงิก และโรคไหม้ ให้ผลผลิตสูงและตอบสนองต่อการใช้ปุ๋ยในโตรเจนดี แต่ไม่ต้านทานโรคขอบใบแห้งและโรคใบสีลม (กรมวิชาการเกษตร, 2546)

ข้าวพันธุ์หอมสุพรรณบุรีเป็นข้าวเจ้าหอมที่ได้มาจากการผสม 3 ทาง และคัดเลือกข้าวพันธุ์ผสมแบบสืบตระกูล ระหว่างถุงผสมชั้วที่ 1 ของ SPR84177-8-2-2-2-1 และ SPR85091-13-1-1-4 (แม่) กับข้าวดอกมะลิ 105 (พ่อ) เมื่อปี พ.ศ. 2532 ที่สถานทดลองข้าวสุพรรณบุรี จากการประเมินผลผลิตตามขั้นตอนการปรับปรุงพันธุ์ของกรมวิชาการเกษตร ในระหว่างปี พ.ศ. 2533-2540 พบว่าให้ผลผลิตสูงกว่าพันธุ์รับรองที่มีอยู่ กรมวิชาการเกษตรจึงรับรองให้ใช้ขยายพันธุ์เมื่อวันที่ 27 ตุลาคม พ.ศ. 2540 ลักษณะดีคือมีคุณภาพเมล็ดทางกายภาพและทางเคมีคล้ายข้าวพันธุ์ข้าวดอกมะลิ 105 ปลูกได้ตลอดปีเนื่องจากเป็นข้าวไม่ไวต่อช่วงแสง อายุเก็บเกี่ยวประมาณ 120 วันเมื่อปลูกแบบปักต่า ค่อนข้างต้านทานต่อโรคขอบใบแห้ง และเพลี้ยกระโดดหลังขาวดีกว่าข้าวดอกมะลิ 105 แต่ค่อนข้างไม่ต้านทานต่อโรคไหม้ และเพลี้ยกระโดดสิน้ำตาล (กรมวิชาการเกษตร, 2546)

### การซักนำการสร้างแคลลัสและการเกิดต้นใหม่ในข้าว (Induction and Regeneration in Rice)

#### 1. การเพาะเลี้ยงคัพภะ

รายงานการเพาะเลี้ยงคัพภะข้าวส่วนใหญ่เสนอว่าอาหารที่เติม 2,4-dichlorophenoxy acetic acid (2,4-D) ที่ความเข้มข้น 1-2 มก./ล. เหมาะสมต่อการซักนำคัพภะข้าวให้สร้างแคลลัส (ปราภา ศรีพิจิตต์ และพรทิพย์ ชีวะเศรษฐธรรม, 2537; สุรินทร์ ปิยะโชคนาคุล และคณะ, 2537; Raman et al., 1994 และ Pandey et al., 1994) การเติม 2,4-D ร่วมกับสารชนิดอื่นสามารถส่งเสริมการซักนำคัพภะให้สร้างแคลลัสได้ เช่น อาหารสังเคราะห์สูตร MS ที่เติม 2,4-D ความเข้มข้น 2 มก./ล. ร่วมกับ ไคเนติน (K1) ทริปโทเฟน(tryptophan) เดเชิน-ไฮโดรไลสे�ท (casein hydrolysate) และน้ำมะพร้าว (ปราภา ศรีพิจิตต์ และคณะ, 2537) อาหารสังเคราะห์สูตร MS ที่เติม 2,4-D NAA KI น้ำมะพร้าว และเดเชินไฮโดรไลสेट (สุรินทร์ ปิยะโชคนาคุล และคณะ, 2537) Cho et al.(1998) ศึกษาการเพาะเลี้ยงเนื้อเยื่อ scutellum ที่ยังไม่เจริญเต็มวัยของข้าวบาร์เลียพันธุ์ Golden Promise Galena และ Harrington ให้เกิดเป็นแคลลัสบนอาหารที่เติม 2,4-D ความเข้มข้น 2.5 มก./ล ร่วมกับ benzylaminopurine(BAP) ความเข้มข้น 0.01 μM หรือ 0.1 μM และ cupric sulfate ความ-

เข้มข้น 5  $\mu\text{M}$  ผลการศึกษาพบว่าแคลลัสที่เพาะเลี้ยงบนอาหารที่เติม BAP และ copper ร่วมกับ 2,4-D เจริญเป็นตันใหม่ได้ดีกว่าแคลลัสที่เลี้ยงบนอาหารที่เติม 2,4-D เพียงอย่างเดียว Komamine et al.(1992) เสนอว่า 2,4-D มีผลชักนำให้มีการเจริญของแคลลัส แต่ยังยังการเจริญเป็นยอดและการกำเนิดคัพกะ(embryogenesis)ของแคลลัส Mitsuoka et al. (1994) รายงานว่า 2,4-D ชักนำเนื้อเยื่อของข้าวให้เกิดแคลลัสแบบ embryogenic callus แต่มีผลด้านลบต่อกระบวนการเจริญเป็นตันใหม่ของแคลลัส โดยการเจริญเป็นตันใหม่ของแคลลัสข้าวแปรพกผันกับความเข้มข้นของ 2,4-D ที่แคลลัสได้รับในช่วงเริ่มต้นของการเพาะเลี้ยง Morita et al.(1999) ศึกษาความสัมพันธ์ระหว่างระดับความเข้มข้นของ 2,4-D ภายนอกเซลล์ของแคลลัสข้าวกับการเจริญเป็นตันใหม่จากแคลลัส และรายงานว่าการควบคุมระดับความเข้มข้นของ 2,4-D ภายนอกเซลล์ของแคลลัสให้อยู่ในระดับ  $2.6 \times 10^{-2}$  ในโครงรัมต่อกรัม(น้ำหนักสด) สามารถเพิ่มการเจริญเป็นตันใหม่จากแคลลัสให้สูงเท่ากับการเจริญเป็นตันจากเมล็ดข้าวได้ Nuutila et al.(2002) รายงานว่าพืชในสปีชีส์เดียวกันอาจมีความต้องการองค์ประกอบของธาตุ-อาหารสำหรับกระบวนการกำเนิดคัพกะแตกต่างกัน Zhao et al.(1999) รายงานว่าการเติมน้ำมะพร้าวและกรดอะมิโนในอาหารเพาะเลี้ยงสามารถส่งเสริมการพัฒนาของ proembryo ให้เจริญเป็นคัพกะที่สมบูรณ์ ซึ่งสอดคล้องกับรายงานของ Pons et al. (2000) ที่กล่าวว่าการเติมกรดอะมิโนบางชนิด เช่น โพรลีน กลูตามีน และเชซินไไฮโดร ilaเซน สามารถส่งเสริมการเกิด embryogenic callus ในข้าวพันธุ์ Senia, Tebre และ Bahia Pons et al. (2000) ศึกษาเปรียบเทียบอิทธิพลของสารควบคุมการเจริญเติบโตออกซิน (NAA และ IAA) และไซโทคินิน (BA และ KI) ต่อการเพาะเลี้ยงแคลลัสข้าวพันธุ์ Sepia, Tebre และ Bahia ให้เจริญเป็นตันใหม่ และรายงานว่าแคลลัสที่เพาะเลี้ยงบนอาหารที่เติม BA เกิดยอดมากกว่าแคลลัสที่เพาะเลี้ยงบนอาหารที่เติมไคเนติน ส่วนอาหารที่เติม NAA และ IAA มีผลต่อการเจริญของแคลลัสแตกต่างกันไปโดยขึ้นอยู่กับสายพันธุ์ข้าว นอกจากนี้ยังพบว่าการเพาะเลี้ยงแคลลัสข้าวบนอาหารที่เติม ABA ความเข้มข้น 10 mg./l. เป็นเวลาหนึ่งสัปดาห์ก่อนนำไปชักนำให้เกิดตันมีผลเพิ่มการเจริญเป็นตันใหม่ได้ Rueb et al. (1994) รายงานว่าแคลลัสอายุ 6 เดือนหรือมากกว่า 6 เดือนมีการเจริญเป็นตันใหม่ต่ำกว่า แคลลัสอายุน้อย Yang et al. (1999) รายงานการเพาะเลี้ยงแคลลัสข้าวพันธุ์ Taipei309 อายุ 6 เดือน ให้เจริญเป็นตันใหม่ได้บนอาหารที่เติม BA ความเข้มข้น 8.88  $\mu\text{M}$  และ NAA ความเข้มข้น 5.37  $\mu\text{M}$  ร่วมกับ ABA และการเติมโพรลีน ความเข้มข้น 8.69 mM ในอาหารเพาะเลี้ยงแคลลัส ทำให้การเกิดแคลลัสเพิ่มขึ้น 50% และมีการเจริญเป็นตันใหม่เพิ่มขึ้น 60%

## 2. การเพาะเลี้ยงอับเรณู

การเพาะเลี้ยงอับเรณูและละอองเรณูมีประโยชน์ต่อการสร้างพืชที่มีจำนวนโครโนไมซ์ชุดเดียว (haploid plant) สูตรอาหารและจีโนไทป์ของพืชเป็นปัจจัยสำคัญของการเพาะเลี้ยงอับเรณูพืชให้สร้างแคลลัส (Bishnoi et al., 2000) Wassom et al. (2001) รายงานว่าสภาวะแวดล้อมขณะเพาะเลี้ยง รวมทั้งการเติมสารควบคุมการเจริญเติบโต ABA ร่วมกับ gibberellic acid (GA) ในอาหารเพาะเลี้ยงและมีผลต่อการซักนำอับเรณูให้เกิดแคลลัส Komamine et al. (1992) เสนอว่า 2,4-D เป็นสารควบคุมการเจริญเติบโตที่จำเป็นสำหรับการเพาะเลี้ยงละอองเรณูของข้าวให้เกิดแคลลัสและการเพิ่มจำนวนแคลลัส แต่มีผลยับยั้งการเจริญเป็นยอด และการกำเนิดคัพภะของแคลลัส Sun et al. (1992) รายงานว่าการเพาะเลี้ยงอับเรณูของข้าวในสภาวะที่แตกต่างกันมีผลให้อับเรณูของข้าวมีการเกิดแคลลัสและต้นได้แตกต่างกัน โดยอับเรณูที่เพาะเลี้ยง ณ อุณหภูมิ 25.7°ซ. และได้รับแสงนาน 14 ชั่วโมงต่อวัน สามารถเกิดแคลลัสได้ดีที่สุด และอับเรณูที่เพาะเลี้ยงที่อุณหภูมิ 25.7°ซ. ได้รับแสงนาน 13.25 ชั่วโมงต่อวันมีการเจริญเป็นต้นสูงกว่า 20% Sun et al. (1993) ศึกษาเปรียบเทียบอิทธิพลของน้ำตาลชนิดต่าง ๆ ที่มีต่อการเพาะเลี้ยงอับเรณูข้าว ได้แก่ ซูโคส ฟรุคโตส กากแลคโตส กลูโคส แมนโนส ซูโนส ส่วนผสมระหว่างแมนโนทอลและซูโคส และส่วนผสมระหว่างซูบิทอลและซูโคส และรายงานว่าอาหารเพาะเลี้ยงที่เติมน้ำตาล mol โลสสามารถซักนำอับเรณูของข้าวอินดิกาให้มีการเกิดแคลลัสได้ดีกว่าอาหารเพาะเลี้ยงที่เติมน้ำตาลชนิดอื่น ๆ Scott and Lyne (1994) รายงานว่าการบ่มละอองเกรษข้าวนาร์เลย์พันธุ์ Igri (*Hordeum vulgaris L.*) ในอาหารที่เติมน้ำตาล mol โลสความเข้มข้น 175 mM เหมาะสมต่อการพัฒนาละอองเรณูให้เป็นแคลลัส และเอ็มบริอยด์ (embryoids) แต่ละอองเรณูที่บ่มในอาหารที่เติมน้ำตาลซูโคส กลูโคส หรือฟรุกโตส ตายภายในเวลา 3 วัน Lentini et al. (1995) ศึกษาการเพาะเลี้ยงอับเรณูของข้าวในอาหารเพาะเลี้ยงที่เติมน้ำตาลชนิดต่าง ๆ และรายงานว่าอาหารที่เติมน้ำตาล mol โลสและ AgNO<sub>3</sub> สามารถเพิ่มการเกิดแคลลัสได้ 20.6% แต่อาหารที่เติมน้ำตาลกลูโคสทำให้การเกิดแคลลัสลดลง ส่วนอาหารเพาะเลี้ยงที่เติมน้ำตาล mol โลสความเข้มข้น 351 mM ทำให้แคลลัสมีการเจริญเป็นต้นใหม่เพิ่มขึ้น 15 เท่า Jahne and Lorz (1995) รายงานว่าอาหารเพาะเลี้ยงที่เติมน้ำตาล mol โลสเหมาะสมต่อการเพาะเลี้ยงอับเรณูของข้าวพืชหล่ายชนิด เนื่องจากการแตก-สลาย(degradation) น้ำตาล mol โลสในพืชเกิดขึ้นช้ากว่าการแตกสลายน้ำตาลซูโคสจึงรักษาค่าศักย์อสโนมิชิก (osmotic potential) ของอาหารไว้ได้ดีกว่า นอกจากนี้การแตกสลายของน้ำตาลซูโคร์สยังก่อให้เกิดสารพิษ (toxin) ที่มีผลเสียต่อละอองเรณูอีกด้วย Pande and Bhojwani (1999) รายงานว่าการเติมน้ำตาล mol โลสในอาหารเพาะเลี้ยงละอองเรณูข้าวมีประสิทธิภาพในการซักนำละอองเรณูให้มีกระบวนการ androgenesis ได้ดีกว่าน้ำตาลซูโคส 4 เท่า Zapata et al. (1990) รายงานว่าละอองเรณูของข้าวที่มีนิวเคลียสเดียว (uninucleate) สามารถเกิดแคลลัสได้ดีกว่าละอองเรณูที่มีสองนิวเคลียส (binucleate) ซึ่งสอดคล้องกับรายงานของ Afza et al.

(2000) ที่ศึกษาพบว่าการเพาะเลี้ยงละองเรณูที่มีนิวเคลียสเดียวมีการเกิดแคลลัสสูงกว่า การเพาะเลี้ยงละองเรณูที่มีสองนิวเคลียส นอกจากนี้ยังรายงานว่าตำแหน่งของอับเรณูบนรัง- ข้าวของข้าวจาโปนิกาพันธุ์ Taipei309 มีผลต่อการเพาะเลี้ยงอับเรณูให้เกิดแคลลัสได้แตกต่างกัน โดยอับเรณูที่อยู่ตำแหน่งด้านล่างของรังให้เปอร์เซ็นต์การเกิดแคลลัสสูงกว่าอับเรณูที่อยู่ตำแหน่ง ส่วนกลางและส่วนบนของรัง ประภา ศรีพิจิตต์ และคณะ (2537) รายงานว่าละองเรณู ของข้าวลูกผสมระหว่างพันธุ์ข้าวດอกมะลิ 105/IR 841-85-1-2 และพันธุ์ข้าวດอกมะลิ 105/ นาสามัติ 370 ที่มีนิวเคลียสเดียวในระยะแรกเริ่ม (early uninucleate) และนำมานำจากต้นข้าวที่มี ระยะห่างระหว่างข้อใบธงกับข้อใบที่ถัดลงมาอยกว่า 5 ซม. ไม่เหมาะสมสำหรับการเพาะเลี้ยงให้ เกิดแคลลัส ละองเรณูที่มีการเจริญเข้าสู่ระยะสองนิวเคลียสและนำมานำจากต้นข้าวที่มีระยะห่าง ของข้อใบธงมากกว่า 12 ซม. เป็นระยะที่แก่เกินไป ไม่เหมาะสมต่อการนำมามาเพาะเลี้ยงเช่นกัน ประดิษฐ์ พงษ์ทองคำ และคณะ (2538) รายงานว่าแคลลัสที่เกิดจากอับเรณูของข้าวพันธุ์ ลูกผสมระหว่างพันธุ์ข้าวດอกมะลิ 105 และพันธุ์สีคอบอนเนท ขนาดประมาณ 1-2 มม. สามารถ เจริญไปเป็นต้นอ่อนได้ดีกว่าแคลลัสที่มีขนาดใหญ่ Davinder et al. (1993) รายงานว่าการเติม น้ำมันพร้าวในอาหารเพาะเลี้ยงสามารถเพิ่มการเกิดแคลลัสจากอับเรณูข้าวพันธุ์ Basmati 370 และพันธุ์ Pusa Basmati 1 ได้ Zheng et al. (2002) ประสบความสำเร็จในการเพาะเลี้ยง ละองเรณูของข้าวสาลีให้เกิดเป็นแคลลัส และเสนอว่าการเติมรังไข่ข้าวสาลีที่มีชีวิตในอาหาร เพาะเลี้ยงเพื่อเป็นอาหารแก่ละองเรณูสามารถเพิ่มเปอร์เซ็นต์การกำเนิดคัพภะจากแคลลัสได้ โดยการเพาะเลี้ยงละองเรณูบนอาหารที่เติมรังไข่ในอัตราส่วน 10 รังไข่ต่ออาหาร 1 มล. เป็น เวลา 7-10 วัน ส่งเสริมให้แคลลัสเกิดคัพภะได้ดีที่สุด

### 3. การเพาะเลี้ยงเซลล์ไซโgotoe (zygote) และเซลล์ไข่ (ovule)

Zhao et al. (2000) ศึกษาการเพาะเลี้ยงเซลล์ไซโgotoe ของข้าวพันธุ์ Chun-jiang05 และ Xiao-gan01 และรายงานว่าการแยกเซลล์ไซโgotoe จากรังไข่โดยวิธีไม่ใช้อเอนไซม์ (non-enzymatic method) ทำให้เซลล์ไซโgotoe มีการแบ่งตัวได้ดีและมีอัตราการรอดชีวิตสูง โดยเซลล์ไซโgotoe ของ ข้าวพันธุ์ Chun-jiang05 และ Xiao-gan01 มีการแบ่งตัวได้ดีเมื่อเลี้ยงบนอาหารที่เติม 2,4-D ความเข้มข้น 25-40 มก./ล. Kranz et al. (1995) รายงานการเพาะเลี้ยงเซลล์ไข่ที่ยังไม่ได้รับ การผสมของข้าวสาลีให้แบ่งตัวและเปลี่ยนรูปร่างไปเป็นโครงสร้างที่มีเซลล์จำนวนมากได้บน อาหารที่เติม 2,4-D ความเข้มข้น 2 มก./ล. Holm et al. (1994) รายงานว่าเซลล์ไซโgotoe ของ ข้าวบาร์เลีย์ที่เลี้ยงบนในอาหารที่เติม 2,4-D ความเข้มข้น 1 มก./ล. เจริญเป็นคัพภะได้ดีกว่า การเลี้ยงบนอาหารที่ไม่เติมสารควบคุมการเจริญเติบโต Zhang et al. (1999) ศึกษาการเพาะ- เลี้ยงเซลล์ไข่และเซลล์ไซโgotoe ของข้าวพันธุ์ Taipei309 และพันธุ์ IR39 ให้เกิดแคลลัสบนอาหารที่ เติม 2,4-D ความเข้มข้น 1 มก./ล., ซีอีทีน (zeatin) ความเข้มข้น 0.2 มก./ล. ร่วมกับน้ำตาล

มอลโทสที่ความเข้มข้นต่าง ๆ และพบว่าเซลล์ไซโภตมีการแบ่งตัวได้ดีที่สุดบนอาหารที่เติมน้ำตาล  
มอลโทสความเข้มข้น 90 ก./ล. (pH 5.6)

#### 4. การเพาะเลี้ยงโพโรโทพลาสต์ (protoplast)

โพโรโทพลาสต์หมายถึงเซลล์ที่ปราศจากผนังเซลล์ การแยกโพโรโทพลาสต์จากเนื้อเยื่อพืชนิยมแยกจากแผ่นใบ ใบเลี้ยง แคลลัสและเซลล์แขวนลอย อาหารเพาะเลี้ยงโพโรโทพลาสต์มีองค์ประกอบธาตุอาหารใกล้เคียงกับอาหารเพาะเลี้ยงเนื้อเยื่อหัวไป โดยมีปริมาณวิตามินและสารอินทรีย์บางชนิดมากกว่าปกติ และมีปริมาณแคลเซียมสูงเพื่อควบคุมความเสถียรของเยื่อหุ้มเซลล์ มีรายงานความสำเร็จในการเพาะเลี้ยงโพโรโทพลาสต์ที่แยกได้จากเนื้อเยื่อต่าง ๆ ของข้าวให้เจริญเป็นตันใหม่ เช่น โพโรโทพลาสต์ของเซลล์แขวนลอย (Biswas, 1994; Datta et al., 1992(a); Umoto et al., 1995; Zhang and Zhang, 1995; Tang et al., 2000) โพโรโทพลาสต์ของเซลล์มีโซฟิลล์ (Gupta and Pattanayak, 1993) และโพโรโทพลาสต์ของเนื้อเยื่อ scutellar (Biswas, 1994) Lee et al. (1999) ศึกษาเปรียบเทียบการเพาะเลี้ยงโพโรโทพลาสต์ของข้าวด้วยวิธีต่าง ๆ และรายงานว่าโพโรโทพลาสต์สามารถเจริญเป็นตันได้ดีที่สุดเมื่อเพาะเลี้ยงด้วยวิธี one layer of nylon mesh รองลงมาคือวิธี double layer of nylon mesh, membrane filter และวิธี agarose embedding ตามลำดับ Tang et al. (2000) ศึกษาการแยกโพโรโทพลาสต์จากเซลล์แขวนลอยของข้าว jawsan กับ Azucena และนำใส่ในเพาะเลี้ยงด้วยวิธี membrane filter nurse culture ซึ่งเป็นวิธีเลี้ยงโพโรโทพลาสต์โดยอาศัยสารที่จำเป็นต่อการเจริญเติบโตจากเซลล์แขวนลอยของ *Lolium multiflorum* และเซลล์แขวนลอยของข้าวเป็นตัวช่วยโพโรโทพลาสต์ในการเจริญเติบโต (nurse cells) และอาหารที่เติม NAA 0.5 มก./ล., KI 2.0 มก./ล. และน้ำตาลมอลโทส 3% (w/v) ซักนำโพโรโทพลาสต์ให้เกิดแคลลัสได้

#### 5. ปัจจัยอื่น ๆ นอกจากอาหารและสารควบคุมการเจริญเติบโต

นอกจากระดับความเข้มข้นของสารควบคุมการเจริญเติบโตและสูตรอาหารจะมีผลต่อการเพาะเลี้ยงเนื้อเยื่อพืชให้เกิดแคลลัสและเจริญเป็นตันใหม่แล้ว ยังมีปัจจัยอื่น ๆ ที่มีผลต่อการเกิดแคลลัสและการเจริญเป็นตันด้วย เช่น สารสกัดจากเยลล์ (yeast extract) สามารถกระตุ้นการแบ่งเซลล์ของแคลลัส (Raman et al., 1994) และเพิ่มจำนวนตันต่อแคลลัสได้ (ประภา ศรีพิจิตต์ และคณะ, 2537) Mandal and Gupta (1995) รายงานว่าอาหารเพาะเลี้ยงที่เติมน้ำตาลความเข้มข้น 3-5% (w/v) เท่านะสมต่อการเจริญเติบโตของข้าว แต่การเติมน้ำตาลความเข้มข้นสูงมากเกินไปอาจมีผลเสียต่อการเพาะเลี้ยงแคลลัสและการซักนำแคลลัสให้เจริญเป็นตันใหม่ Xue et al. (1995) รายงานว่าการเพาะเลี้ยงแคลลัสข้าวพันธุ์ Yakkara ในอาหารสังเคราะห์ที่เติม ABA ความเข้มข้น 10 มก./ล. ก่อนนำไปเลี้ยงในอาหารสูตรซักนำไปให้เจริญเป็นตันใหม่

เกิดต้นสามารถเพิ่มประสิทธิภาพการเจริญเป็นต้นของแคลลัสได้ Kunanuvatchaidach et al. (1995) รายงานว่าการเพาะเลี้ยงแคลลัสในอาหารสั่งเคราะห์สูตร R-2 ที่เติม polyethylene glycol (PEG) ความเข้มข้น 100 g./l. สามารถเพิ่มประสิทธิภาพการซักน้ำแคลลัสข้าวพันธุ์ Nam Sagui 19 ให้เจริญเป็นต้นได้มากกว่าปกติ 2 เท่า แต่พบว่าการเติม PEG ในอาหารเพาะเลี้ยงไม่มีผลใด ๆ ต่อการเจริญเป็นต้นของแคลลัสข้าวพันธุ์ข้าวดอกมะลิ 105 การทำให้แคลลัสแห้ง (partial desiccation) ก่อนนำไปเพาะเลี้ยงในอาหารสูตรซักน้ำให้เกิดต้นสามารถเพิ่มประสิทธิภาพการเจริญเป็นต้นใหม่จากแคลลัสข้าวได้ (ประภา ศรีพิจิตต์ และคณะ, 2537; Rance et al., 1994) Jain et al. (1996) รายงานว่าการทำให้แคลลัสของข้าว 2 พันธุ์ คือ Basmati 385 และ Pusa Basmati 1 อยู่ในสภาวะขาดน้ำ (water stress treatment) โดยเปลี่ยนความเข้มข้นของอาหารเพาะเลี้ยงจาก 0.5% (w/v) ไปเป็น 1.0% (w/v) สามารถเพิ่มประสิทธิภาพการซักน้ำแคลลัสให้เจริญเป็นต้นใหม่ และทำให้การสร้างยอดในข้าวพันธุ์ Pusa Basmati เพิ่มขึ้นเป็น 86% แต่การเปลี่ยนแปลงความเข้มข้นของอาหารเพาะเลี้ยงไม่มีผลใด ๆ ต่อการสร้างยอดในแคลลัสข้าวพันธุ์ Basmati 385 ประภา ศรีพิจิตต์ (2532) ซักน้ำเมล็ดข้าวพันธุ์ข้าวดอกมะลิ 105 ให้สร้างยอดจำนวนมากโดยนำเมล็ดข้าวเพาะเลี้ยงในอาหารสั่งเคราะห์สูตร MS ที่เติม BA, KI หรือ 2-isopentenyladenine (2-ip) และพบว่า เมล็ดที่เพาะเลี้ยงบนอาหารที่เติม BA ความเข้มข้น 25 mg./l. สามารถเจริญเป็นยอดได้ 68% มีจำนวนยอดต่อเมล็ดเท่ากับ 10.3 ยอด นอกจากนี้ยังเสนอว่าการเพาะเลี้ยงเมล็ดข้าวน้ำอาหารสูตร MS ที่เติม BA ความเข้มข้นสูงสามารถซักน้ำเมล็ดให้สร้างต้นที่มีลักษณะปกติและมีจำนวนยอดสูงภายในระยะเวลาอันรวดเร็วเมื่อเปรียบเทียบกับการเพาะเลี้ยงแคลลัสหรือเซลล์แขวนลอยของข้าวให้เกิดต้น Lutts et al. (1999) รายงานว่าการเติมสารบางชนิดในอาหารเพาะเลี้ยงแคลลัส ได้แก่ ABA, PEG, โพรลีน(proline), ทริปโตเฟน และ IAA มีผลให้แคลลัสข้าวจากินกาพันธุ์ I Kong Pao และ Aiwan ที่ได้รับความเครียดจากการเพาะเลี้ยงบนอาหารที่เติมเกลือในปริมาณสูง มีการเจริญเป็นต้นสูงขึ้น Hossain et al. (1997) รายงานว่าการเติมธาตุสังกะสี (zinc) ความเข้มข้น 520 μM ในอาหารเพาะเลี้ยงเซลล์แขวนลอยของข้าวสามารถเพิ่มการเจริญเติบโตของแคลลัสได้ 146% เมื่อเปรียบเทียบกับแคลลัสที่เลี้ยงบนอาหารปกติ เนื่องจากสังกะสีกระตุ้น กลไกการทำงานของออกซินจิงทำให้การเจริญของเซลล์แขวนลอยเพิ่มขึ้น Sahasrabodhe et al. (1999) รายงานว่าการเติม boric acid ในอาหารเพาะเลี้ยงมีผลซักน้ำให้แคลลัสข้าวมีกระบวนการเกิดคัพกะเพิ่มขึ้น โดยการแคลลัสที่เจริญจากเนื้อเยื่อใบและรากมีกระบวนการเกิดคัพกะเพิ่มขึ้น 94% และ 80% เมื่อเลี้ยงในอาหารที่เติม boric acid ความเข้มข้น 161.29 μM และ 241.93 μM ตามลำดับ ส่วนแคลลัสที่เจริญจากเนื้อเยื่อ scutellum มีกระบวนการเกิดคัพกะเพิ่มขึ้น 83% เมื่อเลี้ยงบนอาหารที่เติม boric acid ความเข้มข้น 161.29 μM Tsugawa and Suzuki (2000) รายงานว่าการเก็บรักษาแคลลัสของข้าวพันธุ์ Nipponbare และ Koshihikari ที่อุณหภูมิ 5°ช. เป็นเวลา 5 เดือน ก่อนนำมาเพาะเลี้ยงให้เจริญเป็นต้นใหม่

ทำให้แคลลัสมีเปอร์เซ็นต์การเจริญเป็นต้นใหม่สูงกว่าแคลลัสที่ไม่ได้รับความเย็นมาก่อน Pullman et al.(2003) รายงานว่าอาหารเพาะเลี้ยงที่เติม brassinolide ความเข้มข้น 0.1  $\mu\text{M}$  ร่วมกับ 2,4-D สามารถชักนำแคลลัสข้าวให้มีกระบวนการกำเนิดคัพกะเพิ่มขึ้น 10%

### ลักษณะทางชีววิทยาของ *A. tumefaciens*

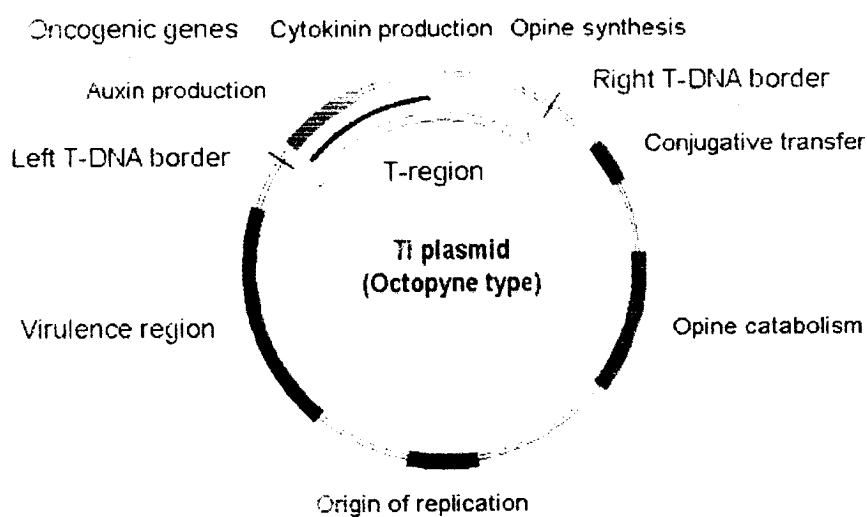
*Agrobacterium* เป็นแบคทีเรียแกรมลบที่อาศัยในดิน จัดอยู่ในแฟมิลี Rhizobiaceae มีรูปร่างเป็นห่อหุ้น มีขนาดประมาณ  $0.6-1.0 \times 1.0-3.0 \mu\text{m}$  หายใจแบบใช้ออกซิเจน เคลื่อนที่โดยใช้แฟลกเจลและไม่สร้างสปอร์ (Davey et al., 1994) *Agrobacterium* ที่สำคัญพบมี 2 ชนิด ได้แก่ *A. tumefaciens* ก่อให้เกิดโรค crown gall และ *A. rhizogenes* ก่อให้เกิดโรค hairy root *A. tumefaciens* ผลิตสารโอดีฟินซึ่งเป็นสารประกอบที่เป็นอนุพันธ์ของกรดอะมิโน และน้ำตาลเพื่อใช้เป็นแหล่งของคาร์บอนและในต่อเจนสำหรับการเจริญเติบโต และสามารถแบ่งประเภทของ *A. tumefaciens* ตามชนิดของสารโอดีฟินที่สร้างสารโอดีฟินที่พบใน *A. tumefaciens* มีห้ายานะ ได้แก่ ออกโทพิน (octopine), โนพาลีน (nopaline), ลิวซิโนพีน (leucinopine) และซัคชินามีพีน (succinamopine) (สุมนันพิพัฒน์ บุนนาค, 2541)

### ชีววิทยาโมเลกุลของ *A. tumefaciens*

ภายในเซลล์ *A. tumefaciens* มี extrachromosomal plasmid ขนาดใหญ่ ประมาณ 200 กิโลคู่เบส (kilobasepair) เเรียกว่า tumor inducing (Ti) plasmid Ti plasmid ประกอบด้วย ส่วนสำคัญต่าง ๆ ได้แก่ transferred DNA (T-DNA) region และ Virulence (vir) region T-DNA มีขนาดประมาณ 20-23 กิโลเบส ล้อมรอบด้วยลำดับเบสอนุรักษ์และมีลักษณะเป็น เบสซ้ำ ๆ กัน 25 คู่เบส (25 basepair conserved direct repeat) (Citovsky et al., 1988; Tinland et al., 1994) ทางด้าน upstream หรือ downstream ของ T-DNA มีลำดับดีเอ็นเอ ขนาด 24 คู่เบส เเรียกว่า overdrive ทำหน้าที่กระตุ้นให้เกิดการขนส่งชั้นส่วนดีเอ็นเอสู่พืช (Peralta et al., 1986; Zambryski, 1992) บริเวณ T-DNA ประกอบด้วยยีนที่มีรหัสสำหรับ การสร้างออกซินและไซโทไนนิน ได้แก่ ยีน *iaaM*, ยีน *iaaH* และยีน *ipt* *A. tumefaciens* จะส่ง T-DNA เข้าสู่เซลล์พืชและสอดแทรกในโครงโน้มของพืช ทำให้เซลล์พืชที่ได้รับ T-DNA มีการสังเคราะห์ออกซินและไซโทไนนินเพิ่มขึ้น และมีการแบ่งเซลล์มากผิดปกติ ดังนั้นบริเวณที่ ติดเชื้อจึงมีลักษณะเป็นปุ่มปุ่มเรียกว่า crown gall (Chilton et al., 1997) และเซลล์ที่แบ่งตัว เป็น crown gall นี้ยังคงรักษาสภาพที่เป็นปุ่มปุ่มไว้ได้ แม้ว่า *A. tumefaciens* ซึ่งเป็นสาเหตุของ โรคได้ถูกทำลายไปแล้วก็ตาม (Braun, 1958)

ยีน *iaaM* ชักนำให้เกิดการสร้าง IAA ได้ เมื่อจากมีรหัสสำหรับการสร้างเอนไซม์ mono-oxygenase ที่ทำหน้าที่เปลี่ยนทริปโตเฟนให้เป็น indole acetamide (IAM) ยีน *iaaH* มี รหัสสำหรับการสร้างเอนไซม์ซึ่งทำหน้าที่เปลี่ยน IAM ให้เป็น IAA วิถีการสร้าง IAA จาก IAM

ที่เกิดขึ้นใน *A. tumefaciens* จะไม่พบในพืชปกติ โดยพืชปกติจะสร้าง IAA จาก indole pyruvic acid ยืน *ipt* มีรหัสสำหรับการสร้าง isopentenyl-transferase ซึ่งทำหน้าที่เร่งปฏิกิริยาการสร้าง cytokinin isopentenyl-AMP จาก isopentenyl-pyrophosphate และ AMP จำนวนสี่นา (*copy*) ของ T-DNA ที่สอดแทรกในจีโนมพืช ตำแหน่งที่สอดแทรกและ methylation pattern จะมีอิทธิพลต่อปริมาณของออกซินและไซโตคินที่ถูกสังเคราะห์ในเซลล์พืช (Davey et al., 1994) จากการศึกษาลำดับเบสของ T-DNA พบว่า T-DNA มี expression signal เหมือนในยูคาริโอต และ transcriptional factor บางชนิดของพืช เช่น TATA BOX (transcription initiation) AATAAA(transcription termination) และ polyadenylation (Barker et al., 1983)



ภาพที่ 1 ลักษณะ Ti plasmid

*vir* region เป็นชั้นส่วนดีเอ็นเอขนาดประมาณ 40 กิโลเบส ประกอบด้วยโอบีรอ่อนที่สำคัญ 7 โอบีรอ่อน ได้แก่ *virA*, *virB*, *virC*, *virD*, *virE*, *virG* และ *virH* ซึ่งร่วมกันทำหน้าที่ในการส่งถ่าย T-DNA เข้าสู่เซลล์พืช (Hoekas and Schilperoort, 1992) ยืน *vir* เหล่านี้มีรหัสสำหรับการสร้างโปรตีน *virulence* (*Vir*) ซึ่งจะตอบสนองต่อสารประกอบฟินอลที่หลังจากบาดแผลของพืช แล้วชักนำให้เกิดการส่งถ่าย T-DNA เข้าสู่เซลล์พืช บนโครโมโซมของ *A. tumefaciens* มียืน chromosomal *virulence* (*chv*) ทำหน้าที่เกี่ยวข้องกับการเคลื่อนที่ของแบคทีเรีย (bacterial chemotaxis) โดย ยืน *chvV* และ *chvB* มีความสำคัญต่อการเกาะของ *A. tumefaciens* ที่ผนังเซลล์พืช (Douglas et al., 1985) Canglossi et al. (1989) รายงานว่า

ยืน *chvA* มีรหัสสำหรับการสร้างโปรตีนที่เป็นองค์ประกอบของเยื่อหุ้มเซลล์ชั้นในของ *A. tumefaciens* และมีหน้าที่เกี่ยวข้องกับการขันสั่ง beta-1,2 glucan เข้าสู่ periplasm ของแบคทีเรีย ยืน *chv* มีการแสดงออกตลอดเวลาแต่ยืน *vir* จะแสดงออกเมื่อได้รับการกระตุ้นจากสารประกอบฟินอลที่หลังจากพืช (Hooakaas, 1989) เมื่อพืชเกิดบาดแผลพืชจะหลังสารประกอบที่มีองค์ประกอบส่วนใหญ่เป็นสารประกอบฟินอล (pH 5.0–5.8) และเป็นสารตั้งต้นสำหรับการสังเคราะห์ลิกนินและฟลาโวนอยด์ สารประกอบฟินอลที่มีประสิทธิภาพสูงในการกระตุ้นการแสดงออกของยืน *vir* ได้แก่ acetosyringone และ alpha-hydroxyacetosyringone ซึ่งพบมากในเนื้อเยื่อพืชที่เกิดบาดแผล (Hooakaas, 1989; Stachel et al., 1985) Ditt et al. (2001) ศึกษาการตอบสนองของพืช *Ageratum conyzoids* ต่อการก่อโรคของ *A. tumefaciens* ด้วยเทคนิค transcription-PCR analysis และพบว่า *A. tumefaciens* ชักนำให้พืชเปลี่ยนแปลงการควบคุมการแสดงออกของยืนที่เกี่ยวข้องกับ plant signal transduction และการตอบสนองป้องกัน(defense response)ได้

ยืน *virA* และ *virG* มีการแสดงออกตลอดเวลาและทำหน้าที่ควบคุมการลอกรหัสของยืน *vir* อีก ๑ และ *A. tumefaciens* กล้ายพันธุ์ที่มีความผิดปกติของยืน *virA* และ *virG* จะสูญเสียความสามารถในการก่อโรค (Lewin, 1990) โปรตีน VirA เป็นองค์ประกอบของเยื่อหุ้มเซลล์ชั้นในของ *A. tumefaciens* ทำหน้าที่เป็นตัวรับสัญญาณพิเศษที่ส่งมาจากพืชในรูปของสาร-ประกอบฟินอล เมื่อ *A. tumefaciens* ได้รับสารประกอบฟินอลแล้ว โปรตีน VirA จะทำหน้าที่เป็น protein kinase และ phosphorylase เติมหมู่ฟอสเฟตให้กับตัวเอง (autophosphorylation) ที่ตำแหน่งชีสติดีนที่ไม่เปลี่ยนแปลง (conserved histidine residue) จากนั้น phosphohistidine จะส่งหมู่ฟอสเฟตต่อให้กับโปรตีน VirG ที่ตำแหน่งแอบสปาเตอนูรักซ์ (conserved aspartate residue) แล้วโปรตีน VirG จะเข้าเกะที่บริเวณโปรโนเมเตอร์ของยืน *vir* เพื่อชักนำให้มีการตอบรับเพื่อสังเคราะห์โปรตีน Vir ชนิดอีก ๑ ต่อไป (Jin et al., 1990; Zambryski, 1992) Liu et al. (1992) รายงานว่าการเพิ่มจำนวนสำเนา (copy) ของยืน *virG* ใน Ti plasmid สามารถเพิ่มประสิทธิภาพการส่งถ่ายยืนสู่ผักชีฟรั่ง แครอท และเนื้อเยื่อข้าวโดย *A. tumefaciens* ได้

การส่งถ่าย T-DNA เริ่มจากบริเวณขอบด้านซ้าย (left border) ของ Ti plasmid (Ramannathand and Veluthambi, 1995 ; Ramannathand and Veluthambi , 1996) โปรตีน VirD1 และ VirD2 ที่สร้างจากโอเปอรอน *virD* จะร่วมกันทำหน้าที่เป็น endonuclease ที่มีตำแหน่งจดจำบริเวณ T-DNA border และตัดที่ตำแหน่งระหว่างเบสคู่ที่ 3 และ 4 ของ T-DNA border สายล่าง ทำให้เกิดตีเอนเอกสารเดี่ยวขึ้น จากนั้นโปรตีน VirD2 จะยึดเกาะกับปลายด้าน 5' ของ T-DNA ด้วยพันธะโคเวเลนท์ แล้วนำ T-DNA สายเดี่ยว หรือ T-strand ออกจากพลาสมิด (Ward และ Barnest, 1988) โปรตีน VirD2 ทำหน้าที่ป้องกันไม่ให้ T-DNA ถูกทำลายโดยเอนไซม์ exonuclease ภายในเซลล์พืช และอาจมีส่วนร่วมในการนำ T-DNA เข้าสู่

เซลล์พิชและแทรกตัวเข้าสู่จีโนมพิช ระบบการทำงานของ VirD system มีลักษณะคล้ายกับกระบวนการคุณจุเกชั่น (conjugation) ที่พบในแบคทีเรียหลายชนิด โดยในแบคทีเรียจะมีโปรตีน Mob หรือ Tra ทำหน้าที่เป็นเอนไซม์ตัดที่บริเวณ origin of transfer และมีกลไกซ่อมแซมดีเอนเอสายเดียวที่ขาดหายไปด้วยกระบวนการ displacement synthesis (Buchanan-Wollaston et al., 1987) โปรตีน VirC ทำหน้าที่เกาะกับบริเวณ overdrive ของ T-DNA เพื่อส่งเสริมการสร้าง T-strand (van Haaren et al., 1987) โปรตีน VirE2 มีน้ำหนักโมเลกุลประมาณ 69 กิโลดالتัน สร้างจากโอลิペอรอน virE ทำหน้าที่เกาะอยู่ที่ตลอดสายของ T-DNA (single strand binding protein) เพื่อป้องกัน ไม่ให้ T-DNA ถูกทำลายเมื่อเข้าสู่เซลล์พิชและรักษาปริมาณของ T-DNA ไม่ให้ม้วนงอ เพื่อความเหมาะสมในการเข้าสู่เซลล์พิช (Citovsky et al., 1988) T-strand ที่รวมเป็น complex กับโปรตีน VirD2 และ VirE2 เรียกว่า T-complex (Zupan and Zambriski, 1995) โปรตีน VirE2 มีบริเวณที่เรียกว่า nuclear localization signal(NLS) ทำหน้าที่ชักนำให้มีการเคลื่อนตัวของ T-complex เข้าสู่นิวเคลียสของพิช (Howard et al., 1992; Tinland et al., 1994) โปรตีน VirB สร้างจากโอลิペอรอน virB (ประกอบด้วย 11 open reading frame) โปรตีน VirB เป็นองค์ประกอบในผนังเซลล์ของ *A. tumefaciens* และเชื่อว่าร่วมกันทำหน้าที่เป็นโครงสร้าง multiprotein channel ที่บริเวณผนังเซลล์เพื่อให้ T-DNA เข้าสู่เซลล์พิชได้ (Sheng and Citovsky, 1996) โอลิペอรอน virH ประกอบด้วยยีน 2 ชนิด มีรหัสกำหนดการสร้างโปรตีนที่อาจมีหน้าที่เกี่ยวข้องกับการขับพิช (detoxification) จากสารประกอบที่ *A. tumefaciens* ได้รับจากพืชบางชนิด และอาจมีผลยับยั้งการเจริญของ *A. tumefaciens* ได้ โอลิペอรอน virF มีรหัสกำหนดการสังเคราะห์โปรตีนขนาด 20 กิโลดالتัน หน้าที่ของโปรตีน VirF ในปราการ virF ไม่ปรากฏแต่ชัด แต่พบว่าสามารถส่งเสริมประสิทธิภาพการส่งถ่าย T-DNA ในยาสูบและพืชหลายชนิด Narashihulu et al. (1996) รายงานว่าการส่งถ่ายยีนในยาสูบและข้าวโพดโดย *A. tumefaciens* กล้ายพันธุ์ที่มีความผิดปกติของยีน virC และ virE ทำให้การแสดงออกของยีน gus ซึ่งเป็นยีนรายงานผลในต้นยาสูบและต้นข้าวโพดแปลงพันธุ์เกิดขึ้นช้า และน้อยกว่าปกติ

การแทรกตัวของ T-DNA ในจีโนมพิชเป็นขั้นตอนสุดท้ายของการส่งถ่ายยีน และเป็นขั้นตอนที่ยังไม่ทราบกลไกส่วนใหญ่อย่างแน่ชัด Mayerhofer et al. (1991) เสนอรูปแบบการแทรกตัวของ T-DNA ในจีโนมพิช เรียกว่า illegitimate recombination โดยกล่าวว่า การแทรกตัวของ T-DNA ในจีโนมพิชอาจเป็นการแทรกตัวของ T-DNA สายเดียว (single stranded gap-repair) หรือ T-DNA สายคู่(double stranded break-repair) อย่างใดอย่างหนึ่ง โดยการแทรกตัวของ T-DNA สายคู่เริ่มขึ้นเมื่อก่อตัวของ double strand break บนดีเอนเอพิช ต่อมา ด้านปลายของ T-DNA จะจับคู่กับบริเวณที่มีไฮโดรเจนไนโตรเจนออฟฟิช ส่วนด้านปลายของ T-DNA ที่เกินออกไป (single strand overhangs) จะถูกตัดออกด้วยเอนไซม์ exonuclease หรือ endonuclease และเอนไซม์ ligase จะเชื่อมด้านปลายของ T-DNA ทั้งสองสายและดีเอนเอพิช

เข้าด้วยกัน สำหรับการแทรกตัวของ T-DNA สายเดี่ยวในจีโนมพืชเริ่มขึ้นเมื่อมีการตัด (nick) เกิดขึ้นบนดีเอ็นเอพีชสายหนึ่ง ต่อมาเอนไซม์ 5'-3' exonuclease จะทำหน้าที่ตัดปลายด้าน 5' ของรอยตัดนั้นจนกระทั่งรอยตัดพัฒนาไปเป็น gap เนื่องจาก T-DNA และดีเอ็นเอพีชมี partial pairing ระหว่างกัน T-DNA สายเดี่ยวจะสามารถแทรกตัวเข้าสู่บริเวณ gap ได้ และปลายด้าน 5' และ 3' ของ T-DNA ที่เกินออกไปจะถูกตัดออกไปแล้วเชื่อมต่อเข้ากับดีเอ็นเอพีชด้วยการทำงานของเอนไซม์ ligase เนื่องจากการจับคู่กันของ T-DNA และดีเอ็น-เอพีชมีลักษณะเป็น partial pairing จึงทำให้เกิดเป็นโครงสร้าง heteroduplex ขึ้น โครงสร้างนี้ส่งผลให้เกิดการตัดขึ้นบนดีเอ็นเอพีชสายที่สอง จากนั้นจึงมีการสร้าง T-DNA สายใหม่บนดีเอ็นเอพีชสายที่สองโดยกระบวนการ repair synthesis โดยเริ่มจากปลาย 3' ของดีเอ็นเอพีช

ปัจจุบันเชื่อว่าปัจจัยภายในพืชมีส่วนร่วมในกระบวนการแทรกตัวของ T-DNA ในจีโนมพืช Deng et al. (1998) รายงานว่าโปรตีน cyclophilin ซึ่งพบเป็นโปรตีนอนุรักษ์ (conserved protein) ในสิ่งมีชีวิตหลายชนิด เช่น แบคทีเรีย ยีสต์ พืชและสัตว์ มีส่วนร่วมในการแทรกตัวของ T-DNA โดย cyclophilin มีปฏิสัมพันธ์ (interaction) ต่อโปรตีน VirD2 ทำให้โปรตีน VirD2 เปลี่ยนแปลงรูปร่าง (conformation) เพื่อทำหน้าที่นำ T-DNA เข้าสู่จีโนมพืช และการยับยั้งการทำงานของโปรตีน cyclophilin ส่งผลให้เกิดการยับยั้งการส่งถ่ายยีนใน *Arabidopsis thaliana* และต้นยาสูบอีกด้วย Ziemienovicz et al. (2000) ศึกษาพบว่ากลไกการแทรกตัวของ T-DNA ในจีโนมพืชเกิดจากการทำงานของเอนไซม์ภายในพืชบางชนิด เช่น T4 DNA ligase ซึ่งทำหน้าที่เชื่อมปลายด้าน 5' ของ T-DNA เข้ากับดีเอ็นเอพีชโดยมี ATP เป็น cofactor และเสนอว่าโปรตีน VirD2 ไม่มีส่วนเกี่ยวข้องกับกระบวนการแทรกตัวของ T-DNA ในจีโนมพืช Bako et al. (2003) รายงานว่าปัจจัยอนุรักษ์ (conserved nuclear factors) บางชนิดที่พบภายในนิวเคลียสของยูเคริโอดีแท็กต์ TATA-box binding protein และ CAK2M kinase มีบทบาทสำคัญในกระบวนการแทรกตัวของ T-DNA เข้าสู่จีโนมพืช Brunaud et al. (2002) เสนอว่าการแทรกตัวของ T-DNA เข้าสู่จีโนมพืชเกิดขึ้นบริเวณ promoter และบริเวณ transcribed chromatin domain ที่มีลำดับเบสอะดีนีนและไทมีนอยู่มาก (A-T rich sequence) หลังจากนั้นโปรตีน VirD2 จะทำหน้าที่เชื่อมปลายด้าน 5' ของ T-strand เข้ากับปลาย 3' ของ gap บนดีเอ็นเอพีช Pawlowski and Somers (1998) ทำการส่งถ่ายยีนเข้าสู่ข้าวโอ๊ตโดย *A. tumefaciens* เพื่อศึกษาการแทรกตัวของยีนแปลกปลอม (transgene) ในจีโนมข้าวโอ๊ต แปลงพันธุ์และเสนอว่าการแทรกตัวของยีนแปลกปลอมตรงตำแหน่ง DNA replication forks จะทำให้ยีนแปลกปลอมมีการแทรกตัวอยู่ทั่วไปในจีโนมพืช Stahl et al. (2002) เสนอว่ารูปแบบการแทรกตัวของ T-DNA ในจีโนมข้าวบาร์เลีย์มีลักษณะคล้ายกับการแทรกตัวของ T-DNA ที่พบในพืชใบเลี้ยงคู่แต่แตกต่างกันที่การแทรกตัวของ T-DNA ในจีโนมข้าวบาร์เลีย์เป็นการแทรกแบบ tandem direct repeat และเป็นการแทรกแบบ adjacent integration ที่เกิดขึ้นภายในโลคัสเดียวกัน Iglesias et al. (1997) และ Ansari and Gartenberg (1999) รายงานว่า

การแทรกตัวของยีนแปลกปลอมในต่าແහນ່ງທີມະຍະທາງໄກລຈາກເຊັນໂທຣເມີຍ໌ ທ່າໃຫ້ ຍືນແປລກປ່ອມມີກາຮແສດງອອກສູງແລະເສດີຍ໌ ແຕ່ກາຮແກຣກຕັວໃນຕໍາແහນ່ງທີມະຍະທາງໄກລກັນ ເຊັນໂທຣເມີຍ໌ ຍືນຈະມີກາຮແສດງອອກຕໍ່າແລະໄມ່ເສດີຍ໌ ທັນນີ້ເນື່ອຈາກບໍລິເວລີກລັ້ນໂທຣເມີຍ໌ມີ heterochromatin ມາກກວ່າ ຜຸລກຄືກາພານີ້ຂັດແຍ້ງກັບຮາຍງານຂອງ Jin et al. (2002) ຜຶ່ງຮາຍງານ ວ່າຕໍາແහນ່ງຂອງກາຮແກຣກຕັວໄມ້ມີຜລຕ່ອກກາຮແສດງອອກຂອງຍືນແປລກປ່ອມ ແລະກາຮແກຣກຕັວຂອງ T-DNA ສາມາດເກີດຂຶ້ນທົ່ວໄປໃນໂຄຣໂນໂໂນມີພື້ນ ແຕ່ພບວ່າກາຮແກຣກຕັວໃນຕໍາແහນ່ງທີມະຍະທາງໄກລ ຈາກເຊັນໂທຣເມີຍ໌ຈະເກີດຂຶ້ນມາກວ່າກາຮແກຣກຕັວໃນຕໍາແහນ່ງໄກລເຊັນໂທຣເມີຍ໌ Ramannath and Veluthambi (1996) ເສນວ່າ T-DNA ທີ່ເຂົ້າຜ່ານສູ່ນິວເຄລີຍສພື້ນແລະໄມ້ສາມາດແກຣກຕັວໃນ ຈິໂນພື້ນໄດ້ ອາຈັດຄອງຢູ່ໃນນິວເຄລີຍສໄຕໃນຮະເວລາທີ່ນີ້

#### ກາຮສ່າງຍືນສູ່ພື້ນໃນເລື່ອງເດືອນໂດຍ *A. tumefaciens*

ໃນອົດຕືເຊື່ອວ່າພື້ນໃນເລື່ອງເດືອນໄມ້ຈັດເປັນພື້ນໃຫ້ອາສີຍ(host) ຂອງ *A. tumefaciens* ທັນນີ້ ເນື່ອຈາກພື້ນໃຫ້ອາສີຍຂອງ *A. tumefaciens* ຈະຕ້ອງເປັນພື້ນທີ່ເກີດໂຮກ crown gall ເນື້ອ *A. tumefaciens* ເຂົ້າຮູກຮານເທົ່ານັ້ນ ແຕ່ໄມ່ພບມີລັກນະດັກລ່າວເກີດຂຶ້ນໃນພື້ນໃນເລື່ອງເດືອນ Hooykaas-Van Slooteren et al. (1984) ຄືກາພາບວ່າ *A. tumefaciens* ສາມາດຮູກຮານພື້ນໃນເລື່ອງເດືອນໄດ້ ແຕ່ພື້ນໄມ້ມີກາຮສ້າງ crown gall ແລະຮາຍງານວ່າ *Chlorophyllum capense* (Liliaceae) ແລະ *Narcissus* (Amaryllidaceae) ທີ່ສ່າງຄ່າຍດ້ວຍພລາສມືດທີ່ມີຢືນກໍາທຳການສ້າງອອກໂທພື້ນແລະໂນປາລີນສາມາດສັງເຄຣະທີ່ອອກໂທພື້ນແລະໂນປາລີນໄດ້ຕາມລໍາດັບ ຜຸລກກາຮດລອງນີ້ ແສດໃຫ້ເຫັນວ່າສາມາດສ່າງຍືນສູ່ພື້ນໃນເລື່ອງເດືອນໂດຍ *A. tumefaciens* ໄດ້ ແລະເຊື່ອວ່າກລໄກກາຮສ່າງຍືນໂດຍ *A. tumefaciens* ທີ່ເກີດຂຶ້ນໃນພື້ນໃນເລື່ອງເດືອນມີຮູບແບບຄລ້າຍກັບທີ່ພບໃນພື້ນໃນເລື່ອງຄູ່ Hernalsteens et al. (1984) ຄືກາພາບວ່າທີ່ນໍ້າໄມ້ຜ່ານທີ່ຕິດເຊື່ອ *A. tumefaciens* ມີກາຮເຈີຍເຕີບໂຕຂອງເໜີລົບບໍລິເວລີກທີ່ຕິດເຊື່ອໃນລັກນະເດີຍກັບທີ່ພບໃນເໜີລົບເນື້ອອກ(tumor cell) ແລະຕຽບພບວ່າເນື້ອເຢືອພື້ນສາມາດສັງເຄຣະທີ່ສາຣໂໂພນ ຜຶ່ງເປັນສາຣທີ່ພບໃນເໜີລົບ crown gall

Raineri et al. (1990) ປະສບຄວາມສໍາເລັງໃນກາຮສ່າງຍືນສູ່ຂ້າວຈາໂປນິກາໂດຍ *A. tumefaciens* Gould et al. (1991) ສ່າງຍືນທີ່ຕ້ານທານຕ່ອກການນັຍືນ (NPTII) ແລະ  $\beta$ -glucuronidase (gus) ສູ່ຂ້າວໂພດ (*Zea may*) ໂດຍ *A. tumefaciens* ສາຍພັນຖຸ EHA1 pGUS3 ແລະສາມາດສັກນໍາໄຫ້ເກີດຕັນຂ້າວໂພດທີ່ຕ້ານທານຕ່ອກການນັຍືນໄດ້ 25 ຕັນ Chan et al. (1992) ສ່າງຍືນ gus ແລະ neomycin phosphotransferase(NPTII) ສູ່ຂ້າວອິນດີກາດ້ວຍວິທີກາເຊີຍກັນ ແລະສາມາດສັກນໍາແຄລລັສທີ່ເຈີຍຈາກຮາກທີ່ໄດ້ຮັບກາຮສ່າງຍືນໄຫ້ເຈີຍເປັນຕັນໄດ້ 37.5% Chan et al. (1993) ປະສບຄວາມສໍາເລັງໃນກາຮສ້າງຂ້າວຈາໂປນິກາແປ່ງພັນຖຸທີ່ຕ້ານທານຕ່ອກສາ-ປົງສົວນະ geneticin (G418) ໄດ້ 4 ຕັນ ໂດຍນໍາເອັນບໍລິໂອທີ່ຍັງໄມ່ເຈີຍເຕີມວ້າ (immature embryo) ຂອງຂ້າວນໍ້າມັນກັບ *A. tumefaciens* ສາຍພັນຖຸ A281 ແລະຕຽບພບກາຮແສດງອອກຂອງຍືນ gus ແລະ NPTII ໃນຂ້າວຮຸນ R1 ແລະ R2 Dong et al. (1996) ສ່າງຍືນສູ່ຂ້າວຈາວິກາ

พันธุ์ Gulfmont และ Jefferson โดย *A. tumefaciens* สายพันธุ์ LBA4404:pTOK233 และ EHA105:plG121hm โดยพากษาสามารถชักนำให้เกิดแคลลัสและต้นข้าวที่ต้านทานต่อไขโกร-มัยชินและตรวจพบการแสดงออกของยีนที่ส่งถ่ายในข้าวรุ่น R1 และ R2 Park et al. (1996) ส่งถ่ายยีนต้านทานต่อสารกำจัดวัชพืช phosphinotricin (PPT) สู่ปลายยอดของข้าวจาโปนิกาพันธุ์ Maybelle โดย *A. tumefaciens* EHA101 และสามารถสร้างต้นข้าวที่ต้านทานต่อ PPT ได้ Nishizawa et al. (1999) ศึกษาการส่งถ่ายยีน *Chi2* หรือ *Chi3* ที่กำหนดการสังเคราะห์เอนไซม์ chitinase เข้าสู่ ข้าวจาโปนิกาพันธุ์ Nipponbare และ Koshihikari โดย *A. tumefaciens* ผลการศึกษาสามารถสร้างข้าวแปลงพันธุ์มีความทนทานต่อโรคใหม่ที่เกิดจากเชื้อ *Magnaporthe grisea* ได้มากกว่าต้นข้าวปกติ และลักษณะดังกล่าวสามารถถ่ายทอดไปสู่รุ่นลูกได้ Yara et al. (2001) รายงานการส่งถ่ายยีน *luc* ในข้าวพันธุ์ Taichung 65 และ Notohikari โดย *A. tumefaciens* และพบวิการแสดงออกของยีน *luc* ในข้าวแปลงพันธุ์รุ่น T<sub>0</sub> และ T<sub>1</sub> นอกจากนี้ระยะเวลาการเพาะเลี้ยงแคลลัสก่อนนำแคลลัสมาบ่มร่วมกับ *A. tumefaciens* ไม่มีผลใด ๆ ต่อประสิทธิภาพการส่งถ่ายยีน Lucca et al. (2001) ศึกษาการสร้างต้นข้าวแปลงพันธุ์ที่สามารถดูดธาตุเหล็กได้มากกว่าต้นข้าวปกติโดยส่งถ่ายยีนที่มีรหัสสังเคราะห์ ferritin ที่โคลนได้จาก *Phaseolus vulgaris* และยีนที่มีรหัสสังเคราะห์ cysteine เข้าสู่ข้าวพันธุ์จาโปนิกาพันธุ์ โดย *A. tumefaciens* และพบว่าต้นข้าวแปลงพันธุ์ที่มีการแสดงออกของยีนที่มีรหัสสังเคราะห์ ferritin สามารถดูดธาตุเหล็กได้มากกว่าต้นข้าวปกติ 2 เท่า ส่วนต้นข้าวแปลงพันธุ์ที่มีการแสดงออกของยีนที่มีรหัสสังเคราะห์ cysteine และ ferritin ดูดธาตุเหล็กได้มากกว่าต้นข้าวปกติ เช่นกัน Hoa et al. (2003) รายงานการส่งถ่ายยีน *psy* ที่มีรหัสสำหรับการสังเคราะห์เอนไซม์ phytoene synthase ภายใต้การควบคุมของโปรโนเมเตอร์ *Gt1* เข้าสู่ข้าวอินดิกาพันธุ์ IR64 และ MTL250 และข้าวจาโปนิกาพันธุ์ Taipei309 โดย *A. tumefaciens* pCAMBIA1200 ผลการศึกษาพบการแสดง-ออกของยีนแปลงปลอมในเมล็ดข้าวและทำให้เมล็ดข้าวมีปริมาณเบต้าแคโรทีนสูงกว่าเมล็ดข้าวปกติ โดยเมล็ดข้าวแปลงพันธุ์รุ่น T<sub>1</sub> มีปริมาณแคโรทีนอยู่ 0.1–0.9 ในครอรัมต่อกรัมน้ำหนักสด Horvath et al. (2003) ประสบความสำเร็จในการสร้างข้าวสาลีแปลงพันธุ์ที่ต้านทานต่อโรคราสนิมที่เกิดจากเชื้อรา *Puccinia graminis* ได้ด้วยการส่งถ่ายยีน *mpg1* เข้าสู่คัพกะอ่อนของข้าวสาลีพันธุ์ Golden Promise โดยใช้ *A. tumefaciens* H228 ผลการศึกษาพบว่าข้าวสาลีแปลงพันธุ์มีความต้านทานต่อโรคราสนิมได้ในระดับสูงกว่าพืชปกติ

### ปัจจัยส่งเสริมการส่งถ่ายยีนโดย *A. tumefaciens*

Schafer et al. (1987) รายงานการกระตุ้นการทำงานของยีน *vir* (*vir region*) บน Ti plasmid ได้ด้วยสารที่หลังจากบาดแผลของพืชใบเลี้ยงคู่ และจากการใช้สารชนิดนี้ทำให้สามารถชักนำการสร้าง crown gall tumor ในพืชใบเลี้ยงเดียวโดย *A. tumefaciens* ได้ การลอกรหัสของยีน *vir* ถูกชักนำได้ด้วยสารประกอบฟินอลอลายชนิด เช่น acetosyringone และ alpha-

hydroxyacetosyringone ซึ่งปลดปล่อยออกจาก bardetaperoxidase ของพืช และจากการศึกษาในเวลาต่อมาพบว่าวนอกจาก acetosyringone แล้วยังมี phenolic compounds ชนิดอื่นที่สามารถกระตุ้นการทำงานของยีน vir ได้ เช่น coniferyl alcohol และ sinapinic acid (Hooykass and Schilperoort, 1992) และการบ่มเซลล์พืชหรือเนื้อเยื่อพืชที่มี bardetaperoxidase ร่วมกับ *A. tumefaciens* บนอาหารที่มี acetosyringone เป็นองค์ประกอบสามารถชักนำให้ยีน vir มี การทำงานแบบ *in vitro* ได้ Godwin et al. (1991) ได้ทำการทดลองเพื่อศึกษาอิทธิพลของ acetosyringone และ pH ของอาหารที่มีต่อการส่งถ่ายยีนโดย *A. tumefaciens* ผลการศึกษาพบว่า acetosyringone สามารถเพิ่มประสิทธิภาพการก่อโรคของ *A. tumefaciens* ได้ James et al. (1993) รายงานการเติม acetosyringone ร่วมกับสาร osmoprotectant เช่น betain phosphate หรือฟอร์ลินในอาหารที่ใช้สำหรับบ่มเนื้อเยื่อพืชร่วมกับ *A. tumefaciens* เพื่อเพิ่มกิจกรรมของยีน gus ในต้นแอปเปิลแปลงพันธุ์ ปัจจัยอื่น ๆ ที่มีผลส่งเสริมประสิทธิภาพของการกระตุ้นยีนได้แก่ การบ่ม *A. tumefaciens* ในอาหารที่มี pH ต่ำกว่า 5.7 และอุณหภูมิต่ำกว่า 30°ช. (Stachel et al., 1985) และการบ่ม *A. tumefaciens* ใน potato suspension culture (PSC) ก่อนนำไปร่วมกับเนื้อเยื่อพืชสามารถเพิ่มประสิทธิภาพการส่งถ่ายยีนในข้าวอินเดีย (Gould et al., 1991, Chan et al., 1992) และข้าวจาปอนิกา (Chan et al., 1993) ได้ Li et al. (1992) ศึกษาปัจจัยที่มีอิทธิพลต่อการแสดงออกของยีน gus ในข้าวแปลงพันธุ์ และเสนอว่าสายพันธุ์ของ *A. tumefaciens* ที่แตกต่างกันมีผลต่อการการแสดงออกของยีน gus ในข้าวได้แตกต่างกัน และเสนอว่าการเพิ่มจำนวนส้านาเนาของยีน virG ในพลาสมิดของ *A. tumefaciens* ชนิด agropine ทำให้เพิ่มประสิทธิภาพการแสดงออกของยีน gus ในข้าวแปลงพันธุ์และผักชีฝรั่งแปลงพันธุ์ได้ดีoen เอโนในเซลล์พืชสามารถเกิด cytosine methylation ได้ในอัตราสูง ซึ่งรวมถึงยีนที่ก่อให้เกิดโรคปูนปมที่พืชได้รับจาก *A. tumefaciens* ด้วย (Palmgren et al., 1993) เนื่องจากเบส cytosine ในบริเวณโปรโนเตอร์มักถูกเติมหมู่เมทิล ดังนั้นการแสดงออกบางส่วนหรือทั้งหมดของยีนแปลงปลอมและยีนเจ้าบ้านอาจถูกยับยั้ง (Mandal et al., 1994) Mandal et al. (1993) และ Mandal et al. (1994) รายงานการใช้ 5'-azacytidine (azaC) ซึ่งเป็นสาร demethylation agent เพิ่มประสิทธิภาพการสร้าง *Arabidopsis thaliana* แปลงพันธุ์ได้ และพบว่า azaC เพิ่มการเจริญเป็นต้นของ *Arabidopsis* ได้ 3-96% Uze et al. (1997) รายงานการส่งถ่ายยีนโดย *A. tumefaciens* เช้าสู่ข้าวพันธุ์ Taipei309 โดยนำคัพกะข้าวเลี้ยงบนที่เติมน้ำตาลซูโครส 3% และ 10% เป็นเวลา 30 นาที ถึง 1 ชั่วโมง เพื่อให้เซลล์พืชเกิดพลาสโนไลชิส ก่อนนำไปยิงด้วยกระสุนทองคำเพื่อให้คัพกะเกิดบาดแผล จากนั้นนำคัพกะดังกล่าวไปบ่มร่วมกับ *A. tumefaciens* ผลการศึกษาพบว่าคัพกะข้าวมีการแสดงออกของยีน gus เพิ่มขึ้น Salas et al. (2001) ศึกษาเปรียบเทียบการบ่มเนื้อเยื่อยาสูบร่วมกับ *A. tumefaciens* LBA4404 ที่อุณหภูมิต่าง ๆ คือ 15, 19, 25 และ 32°ช. ผลการศึกษาพบว่าการส่งถ่ายยีนนี้ประสิทธิภาพดีที่สุด เมื่อบ่มเนื้อเยื่อพืชยาสูบร่วมกับ *A. tumefaciens* ที่อุณหภูมิ 19°ช. ส่วนที่อุณหภูมิ 25°ช. เซลล์พืชมีภูมิไวรับ

(susceptibility) ต่อ *A. tumefaciens* ได้ดีและทำให้การแทรกของ T-DNA ในจีโนมพิชมีความเสถียรกว่าที่อุณหภูมิอื่น แต่ไม่พบมีการส่งถ่ายยีนที่อุณหภูมิ 32°C. การศึกษานี้แตกต่างจาก การทดลองของ Dillen et al. (1997) ซึ่งรายงานว่าการบ่มเนื้อเยื่อพิชร่วมกับ *A. tumefaciens* ที่ อุณหภูมิ 19°C. และ 22°C. ไม่ทำให้ประสิทธิภาพในการส่งถ่ายยีนแตกต่างกัน แต่การบ่ม เนื้อเยื่อพิชร่วมกับ *A. tumefaciens* ที่อุณหภูมิ 25°C. ทำให้การแสดงออกของยีน gusลดลง Enriquez-Obregon et al. (1999) รายงานการเพาะเลี้ยงแคลลัสในอาหารที่เติมสาร antinecrotic เช่น ascorbic acid, cysteine และ silver nitrate ก่อนและหลังการ co-cultivation เพื่อลดการ- ตายของแคลลัสเช่นเดียวกับ Frame et al. (2002) ซึ่งรายงานว่าการเพาะเลี้ยงคัพพะข้าวโพดใน อาหารที่เติม cysteine ความเข้มข้น 400 mg./l. ก่อนการ co-cultivation ร่วมกับ *A. tumefaciens* EHA101 ทำให้คัพพะมีการแสดงออกของยีน gus 56% และมีประสิทธิภาพในการ ส่งถ่ายยีนเท่ากับ 5.5% ส่วนคัพพะที่เลี้ยงบนอาหารที่ไม่เติม cysteine มีการแสดงออกของ ยีน gus 15% และมีประสิทธิภาพในการส่งถ่ายยีนเท่ากับ 0.2% และต้นข้าวโพดแปลงพันธุ์ สามารถถ่ายทอดการแสดงออกของยีนคัดเลือกและยืนรายงานผลไปสู่รุ่น T<sub>1</sub>, T<sub>2</sub> และ T<sub>3</sub> ได้ Comejido et al. (1993) รายงานว่าการเพิ่มอุณหภูมิเพื่อทำให้พิชเกิดความเครียด (thermal stress) สามารถเพิ่มประสิทธิภาพการแสดงออกของยีน gus ในพิชแปลงพันธุ์ได้ Ke et al. (2001) รายงานการส่งถ่ายยีนเข้าสู่ต้นถั่วและแคลลัสข้าวโดย *A. tumefaciens* pAD1339 พลาสมิด pAD1339 ประกอบด้วยยีน virG ที่มีการแสดงออกสูงและมีการแสดงออกตลอดเวลา โดยไม่จำเป็นต้องได้รับการซักนำ ผลการตรวจสอบการแสดงออกของยีน gus ในพิชแปลงพันธุ์ พบว่ามีการแสดงออกของยีน gus สูงมากกว่าการใช้พลาสมิดปกติ 2-7 เท่า

### การส่งถ่ายยีนสู่พิชโดยวิธีตรง

#### 1. การส่งถ่ายยีนโดยใช้สารเคมี polyethylene glycol (PEG)

คือการนำโพโรโทพลาสต์บ่มในสารละลายดีเอ็นเอและ polyethylene glycol (PEG) PEG มีคุณสมบัติซักนำให้เกิดการรวมตัวของเซลล์จึงกระตุ้นให้เกิดการรับดีเอ็นเอเข้าสู่เซลล์พิช ได้ Hayashimoto et al. (1990) สร้างข้าวพันธุ์ Nipponbare และพันธุ์ Taipei309 แปลงพันธุ์ ที่ต้านทานต่อไข่โกรมัยชิน โดยบ่มโพโรโทพลาสต์ข้าวร่วมกับพลาสมิด pLG90 ที่มียีน hpt เป็น ยีนเครื่องหมาย ในสารละลาย PEG ความเข้มข้น 20%(w/v) เป็นเวลา 10 นาที และสามารถ ซักนำโพโรโทพลาสต์ข้าวพันธุ์ Nipponbare และพันธุ์ Taipei 309 ให้เจริญเป็นต้นข้าวที่ต้านทาน ต่อไข่โกรมัยชินได้ 4 ตันและ 39 ตันตามลำดับ Datta et al. (1992a) รายงานว่าสามารถสร้าง ข้าวอินดิกาพันธุ์ IR72 แปลงพันธุ์ที่ต้านทานต่อ PPT และไข่โกรมัยชินโดยบ่มโพโรโทพลาสต์ข้าว ร่วมกับพลาสมิด pShi943 ในสารละลาย PEG ความเข้มข้น 40% (w/v) ที่อุณหภูมิ 20°C. เป็น เวลา 10 นาที และสามารถซักนำโพโรโทพลาสต์ให้เกิดต้นข้าวแปลงพันธุ์ที่ต้านทานต่อ PPT และ ไข่โกรมัยชินได้ 170 และ 92 ตันตามลำดับ Stark-Lorenzen et al. (1997) รายงานการส่งถ่าย

ยืน *vst1* ที่มีรหัสสำหรับการสังเคราะห์เอนไซม์ stilbene synthase เข้าสู่ข้าวโดยใช้เทคนิคนี้ โดยนำโพโรโทพลาสต์บ่มรวมกับพลาสมิดในสารละลายน้ำPEG เช่นชัน 40% (w/v) เป็นเวลา 15 นาที ผลการศึกษาพบว่าข้าวแปลงพันธุ์ในรุ่นที่  $T_0$  ถึง  $T_2$  มีความทนทานต่อโรคใหม่ที่เกิดจากเชื้อ *Pyricularia oryzae* แต่เมล็ดข้าวในรุ่นลูกส่วนใหญ่ไม่สมบูรณ์พ้องจะเจริญเป็นต้นใหม่ได้

## 2. การส่งถ่ายยืนโดยใช้กระแสไฟฟ้า (Electroporation)

คือการนำโพโรโทพลาสต์บ่มรวมกับสารละลายน้ำ แล้วใช้กระแสไฟฟ้าชักนำให้เกิดช่องว่างขึ้นที่เยื่อหุ้มเซลล์ ทำให้โนเกลูลติโอนเอกสารสามารถผ่านเข้าสู่เซลล์ได้ โพโรโทพลาสต์จะถูกบ่มอยู่ระหว่างอิเล็กโทรดในสารละลายน้ำอ่อนนิ่มที่มีดีเอ็นเอ และนิยมใช้สารละลายน้ำPEG ร่วมด้วยเพื่อเพิ่มประสิทธิภาพ การแสดงออกของยืนที่ถูกส่งเข้าสู่เซลล์พิชชันอยู่กับความต่างศักย์กระแสไฟฟ้า, ค่าเก็บประจุ (capacitance), จำนวนพลาสมิดและดีเอ็นเอ และระยะเวลาที่ใช้ในการบ่ม (Rathore et al., 1993) ปัญหาสำคัญของการส่งถ่ายยืนโดยใช้กระแสไฟฟ้า ได้แก่ ขั้นตอนการแยกโพโรโทพลาสต์และการเพาะเลี้ยงโพโรโทพลาสต์ให้เจริญเป็นต้น โดยเฉพาะอย่างยิ่งโพโรโทพลาสต์ของพิชไบเลี้ยงเดี่ยว Chaudhury et al. (1995) ชักนำพลาสมิดที่มียืน *gus* และ CaMV 35S promotor เข้าสู่คัพภะของข้าวอินดิกาได้ด้วยกระแสไฟฟ้าขนาด 1,600 โวลต์/เซนติเมตร และค่าเก็บประจุ 100 ในโครฟารัด เป็นเวลา 0.075 วินาที และตรวจพบการแสดงออกของยืน *gus* ในใบ ลำต้น และรากของต้นกล้าที่เจริญจากคัพภะได้ Rao (1995) ใช้เทคนิคนี้ในการส่งถ่ายพลาสมิด pAG35bar ที่มีпромोเตอร์ CaMV35S โปรโมเตอร์ *actin* ยืน *bar* และ *gusA* เข้าสู่คัพภะอ่อนของข้าวโดยใช้กระแสไฟฟ้าขนาด 90 โวลต์/เซนติเมตร และค่า-เก็บประจุ 960 ในโครฟารัด Hoshida et al. (2000) ส่งถ่ายยืนที่มีรหัสสำหรับการสังเคราะห์เอนไซม์ chloroplastic glutamine synthetase (GS) เข้าสู่ข้าวพันธุ์ Kinuhikari โดยเทคนิคนี้โดยต้นข้าวแปลงพันธุ์ที่มีปริมาณเอนไซม์ GS สูงกว่าพิชปกติมีอัตราการสังเคราะห์แสงสูงทันต่อ-ความหนาเย็นและสภาพดินเดิมมากกว่าพิชปกติ

## 3. การส่งถ่ายยืนโดยวิธีขิงกระสุน (Particle bombardment)

คือเทคนิคที่นำดีเอ็นเอเคลือบบนกระสุนทั้งสูตรหรือกระสุนทองคำขนาดเล็ก แล้วขิงกระสุนให้เคลื่อนที่ด้วยความเร็วสูงสู่เซลล์พิช ทำให้ดีเอ็นเอเข้าสู่นิวเคลียสของพิชได้ โดยทั่วไปกระสุนที่ใช้มีขนาดเล็กกว่าศูนย์กลางประมาณ 1-4  $\mu\text{m}$  และเคลื่อนที่สู่เซลล์ด้วยการระเบิดประจุ หรือการใช้คลื่นกระแทก (shock wave) ที่เกิดจากกระแสไฟฟ้าที่มีความต่างศักย์สูง เทคนิคนี้สามารถปฏิบัติกับเนื้อเยื่อพิชได้โดยตรง Yuan et al. (2002) ส่งถ่ายยืน *tcs* ซึ่งมีรหัสสำหรับการสร้าง trichosanthin เข้าสู่แคลลัสข้าวพันธุ์ Zhonghua 8 โดยวิธีขิงกระสุน จากการทดสอบความทนทานต่อโรคพบว่าต้นข้าวแปลงพันธุ์รุ่น  $T_1$  และ  $T_2$  สามารถทนทานต่อโรคใหม่ที่เกิดจากเชื้อรา *Pyricularia oryzae* ได้ Bidney et al. (1992) รายงานว่าการนำเนื้อเยื่อใบยาสูบไปยิง

ด้วยกระสุนหังสเตนเพื่อให้เกิดบาดแผลก่อนนำไปบ่มร่วมกับ *A. tumefaciens* สามารถเพิ่มประสิทธิภาพการส่งถ่ายยีนโดย *A. tumefaciens* ได้ และการส่งถ่ายยีนด้วยวิธีนี้สามารถสร้างต้นยาสูบที่ต้านทานต่อการมัยชินได้มากกว่าวิธียิงกระสุนแบบปกติ Biswa et al.(1998) ศึกษาการสร้างข้าวแปลงพันธุ์ด้วยการยิงแคลลัสข้าวด้วยกระสุนทองคำที่เคลือบด้วยพลาสมิด pGH ที่มียีนต้านทานต่อไฮโกรมัยชินและยีน gus เป็นยีนคัดเลือกและยีนรายงานผลตามลำดับ และพบว่าการยิงแคลลัสหน้าหัก 1.5 กรัมต่อครั้ง ทำให้สามารถคัดเลือกแคลลัสที่ต้านทานต่อไฮโกรมัยชินได้ 4.6 แคลลัส และเพาะเลี้ยงแคลลัสนั้นให้เจริญเป็นต้นข้าวแปลงพันธุ์ได้ Breitler et al.(2002) ศึกษาการส่งถ่ายยีนโดยวิธีนี้ในแคลลัสข้าวพันธุ์ Taipei 309 และ Nipponbare โดยเปรียบเทียบโครงสร้างของยีนที่ใช้ยิงเข้าสู่แคลลัส ได้แก่ พลาสมิดดีเอ็นเอ และชุดของยีน (gene cassette DNA) ผลการศึกษาพบว่าการยิงกระสุนที่เคลือบด้วยชุดของยีนเข้าสู่แคลลัสมีประสิทธิภาพในการส่งถ่ายยีนไม่แตกต่างจากกระสุนที่เคลือบด้วยพลาสมิดดีเอ็นเอ Pellegrineschi et al.(2002) ศึกษาการเพิ่มประสิทธิภาพการส่งถ่ายยีนในคัพภะและเนื้อเยื่อ scutellum ข้าวสาลีพันธุ์ Durum ด้วยการทำให้ต้นข้าวสาลีเกิดความเครียดจากการขาดน้ำและความร้อนสูงเป็นเวลา 1 วัน ก่อนนำไปส่งถ่ายยีนโดยวิธียิงกระสุน และเสนอว่าจีโนไทป์และสภาวะทางสรีรวิทยาของพืชมีอิทธิพลต่อประสิทธิภาพการส่งถ่ายยีน Alfonso-Rubi et al.(1999) ศึกษาระยะห่างที่เหมาะสมสำหรับการยิงแคลลัสด้วยกระสุนที่เคลือบด้วยยีน gus และรายงานว่าระยะห่างระหว่าง stopping plate และแคลลัสข้าวที่ระยะ 6 ซม. และ 9 ซม. ทำให้แคลลัสมีการแสดงออกของยีน gus สูงที่สุด และการทำให้แคลลัสได้รับสารที่มีค่าศักย์ออกซิโนซิสสูง (เช่น แม่นนิทอความเข้มข้น 0.4 M) เป็นเวลา 4 ชั่วโมง ก่อนนำไปแคลลัสนั้นไปส่งถ่ายยีนด้วยการยิงกระสุน และให้แคลลัสได้รับสารนี้อีกครั้งหลังจากการยิงอีก 16 ชั่วโมง ทำให้แคลลัสมีการแสดงออกของยีน gus เพิ่มขึ้น แต่พบว่าแคลลัสเหล่านั้นมีเปอร์เซ็นต์การเจริญเป็นต้นใหม่ลดลง Nandadeva et al.(1999) รายงานการนำเซลล์แขวนลอยของข้าวพันธุ์ Taipei 309 ไปเพาะเลี้ยงบนอาหารที่เติมสาร osmoticum ชนิดต่างๆ เช่น ชูโคร์ส молโทส ชอบิทอล และแม่นนิทอ เพื่อให้เซลล์เกิดพลาสมิลไซส์เป็นเวลา 4 ชั่วโมงก่อนนำไปส่งถ่ายยีนด้วยวิธียิงกระสุน พบว่าวิธีนี้ทำให้เซลล์มีโอกาสลดชีวิตจากคลื่นกระแสไฟฟ้าที่เกิดขึ้นระหว่างการยิง และแคลลัสที่เลี้ยงบนอาหารที่เติมแม่นนิทอไม่การแสดงออกของยีน gus ดีที่สุด นอกจากนี้ยังพบว่าการให้ความร้อนแก่พลาสมิดที่อุณหภูมิ 95° ซ. เพื่อให้พลาสมิดเกิด denaturation ก่อนนำไปยิงสามารถเพิ่มประสิทธิภาพการส่งถ่ายยีนได้ 2.6 เท่า เมื่อเปรียบเทียบกับพลาสมิดที่ไม่ได้ให้ความร้อน Ingram et al.(1999) ศึกษาปัจจัยต่างๆ ที่มีผลต่อการส่งถ่ายยีนเข้าสู่คัพภะที่เจริญจากกลไกของเรณูของข้าวสาลีพันธุ์ Pavon ด้วยวิธียิงกระสุนทองคำน้ำหนัก 200  $\mu\text{g}$  เคลือบด้วยพลาสมิด 0.5  $\mu\text{g}$  ต่อการยิงหนึ่งครั้ง นอกจากนี้ยังรายงานว่าการเพาะเลี้ยงคัพภะในอาหารที่เติมน้ำตาล molto ความเข้มข้น 0.4 M เป็นเวลา

4 ขั้นตอนนำไปยิง ทำให้คัพภาคีการแสดงออกของยีน *gus* มากกว่าคัพภาคีไม่ได้เลี้ยงบนอาหารที่เติมмолโทส 3 เท่า

### ยีนรายงานผล (reporter gene)

คือยีนที่ใช้เป็นเครื่องยืนยันให้ทราบว่ายีนแปลงปลอมได้เข้าสู่เซลล์พืช และมีการแสดงออกได้จริงภายหลังการส่งถ่ายยีนสู่เซลล์พืชแล้ว การใช้ยีนรายงานผลช่วยประหยัดเวลาและค่าใช้จ่ายในการพิจารณาเป็นอย่างมาก และทำให้ขั้นตอนการส่งถ่ายยีนรวดเร็วขึ้น ยีนรายงานผลที่นิยมใช้ในปัจจุบัน ได้แก่

#### 1. Beta-glucuronidase (*gus*) gene

Jefferson et al. (1986) สามารถโคลนยีน beta-glucuronidase(*gus*)ที่กำหนดการสร้างเอนไซม์ beta-glucuronidase (*gus*) จากแบคทีเรีย *Escherichia coli* มาประยุกต์ใช้เป็นยีนรายงานผลในพืชชั้นสูงได้สำเร็จ ซึ่งต่อมาได้เป็นที่ยอมรับและนิยมใช้กันอย่างแพร่หลาย การตรวจสอบผลการแสดงออกของยีน *gus* สามารถทำได้โดยนำเนื้อเยื่อพืชที่ต้องการทดสอบแช่ในสารละลายสับสเตรท X-gluc (5-bromo-4-chloro-3-indole- $\beta$ -D-glucuronides) เอนไซม์ GUS จะทำหน้าที่เร่งปฏิกิริยาไฮโดรไลซิสของสับสเตรทให้เป็นสาร 5-bromo-4-chloro-indigo ซึ่งเป็นสารอินโดลิล (indoyl derivative) ที่มีสีฟ้า Jefferson et al. (1987) ได้ทำการทดลองเพื่อศึกษาภิกรรมของ intrinsic GUS ในราก ลำต้น และใบของพืชหลายชนิด เช่น ข้าวสาลี ยาสูบ มะเขือเทศ มันฝรั่ง *Brassica napus* และ *Arabidopsis thaliana* รวมทั้งหัวมันฝรั่ง เมล็ดข้าวสาลีและเมล็ดยาสูบโดยวิธี fluorescence assay และพบว่าเนื้อเยื่อพืชทุกชนิดมีภิกรรมของ endogenous GUS ในปริมาณต่ำเกินกว่าจะตรวจพบได้ Hu et al. (1990) ตรวจพบภิกรรมของ intrinsic GUS ในพืชเมล็ดเปลือย (gymnospermy) และพืชดอก (angiospermy) จำนวน 52 ชนิด ด้วยวิธี histochemical assay, fluorometric assays และ ELISA GUS assay แต่ไม่พบภิกรรมของ intrinsic GUS ซึ่งตรงกับผลการทดลองของ Jefferson et al. (1987) และเสนอว่าการใช้ยีน *gus* เป็นยีนรายงานผลที่มีความนำเข้าอีก Li et al. (1992) ศึกษาปัจจัยที่มีอิทธิพลต่อการแสดงออกของยีน *gus* ในแคลลัสข้าว และพบว่าการเติม 2,4-D ในอาหารเพาะเลี้ยงเมล็ดยังมีผลการแสดงออกของยีน *gus* แต่การเติม 2,4-D ความเข้มข้น 6 mg./l. สามารถส่งเสริมการแสดงออกของยีน *gus* ในพืชแปลงพันธุ์ได้เล็กน้อย

#### 2. Chloramphenicol acetyltransferase (*cat*) gene

คือยีนที่กำหนดการสร้างเอนไซม์ chloramphenicol acetyltransferase (CAT) โคลนจากแบคทีเรีย *E. coli* และนิยมใช้เป็นยีนรายงานผลสำหรับการส่งถ่ายยีนสู่พืช การตรวจสอบเอนไซม์ CAT ในพืชแปลงพันธุ์กระทำได้ง่ายและนำเข้าอีก เนื่องจากไม่พบภิกรรมของเอนไซม์

นี้ในพืช วิธีการตรวจสอบโดยทั่วไปนิยมบ่มเออนไซม์ CAT ร่วมกับ chloramphenicol และ acetyl coenzyme A ที่ติดฉลากด้วย  $^{14}\text{C}$  เพื่อให้เกิดปฏิกิริยา acetylation แล้วแยก acetylated chloramphenicol ออกภายหลังด้วยเทคนิค thin layer chromatography

### 3. Luciferase (*luc*) gene

คือยีนเรืองแสงที่กำหนดการสร้างเอนไซม์ luciferase พบรูปในหิงห้อย (*Photinus pyralis*) และ bioluminescent bacteria (*Vibrio haveyii* และ *V. fischeri*) นำมาประยุกต์ใช้เป็นยืนรายงานผลที่มีประสิทธิภาพสูงในแบคทีเรีย พืช และสัตว์ เอนไซม์ luciferase ทำหน้าที่เร่งปฏิกิริยา ATP-dependent oxidation ของ luciferin ทำให้เกิดการเรืองแสงซึ่งสามารถมองเห็นได้โดยตรงด้วยตา Baruah-Wolff et al.(1999) ศึกษาการส่งถ่ายยีนในข้าวพันธุ์ TN1 ด้วยวิธียิงกระสุนเข้าสู่เนื้อเยื่อ scutella ของตัวพะอ่อน โดยมียีน *luc* และ *hpt* เป็น ยืนรายงานผลและยืนคัดเลือกตามลำดับ ผลการศึกษาพบว่าสารสกัดจากแคลลัสและส่วนต่างๆ จำกัดน้ำข้าวแปลงพันธุ์รุ่นลูกมีการเรืองแสงเมื่อได้รับ luciferin Yara et al.(2001) รายงานการส่งถ่ายยีนในข้าวจากโปนิกาพันธุ์ Taichung 65 โดย *A. tumefaciens* EHA101 ที่มียีน *luc* เป็น ยืนรายงานผล และ CaMV35S เป็นโพรโมเตอร์ และพบว่าข้าวแปลงพันธุ์ในรุ่น  $T_1$  มีการแสดงออกของยีน *luc* 60%

### 4. Green fluorescent protein (GFP)

คือยีนกำหนดการสร้างโปรตีนเรืองแสง โคลนได้จากแมงกะพรุน (*Aequorea victoria*) ปัจจุบันนำมาประยุกต์ใช้เป็นยืนรายงานผลแทนยีน *gus* เนื่องจากเป็นยืนรายงานผลที่ไม่มีผลเสียต่อการเจริญของพืช และสามารถมองเห็นการแสดงออกของยีนในเนื้อเยื่อพืชได้ด้วยตาเปล่าเมื่อนำเนื้อเยื่อพืชไปวางภายใต้แสงญี่วี จึงสามารถนำมาเป็นยืนคัดเลือกแทนยีนต้านทานต่อสาร-ปฏิกิริวะหรือสารกำจัดวัชพืชได้ (Stewart, 2001) มีรายงานการนำยีน GFP มาใช้เป็นยืนรายงานผลในพืชหลายชนิด เช่น ข้าวสาลี (McCormac et al., 1998), ส้มเกลี้ยง (*Citrus aurantium*) (Ghorbel and Juarez, 1999) และถั่วลิสง (Ponappa et al., 2000) Vain et al.(2000) ประสบความสำเร็จในการใช้ยีน GFP เป็นยืนรายงานผลในส่งถ่ายยีนสู่ข้าวโดย *A. tumefaciens* และรายงานว่าการนำยีน GFP มาใช้เป็นยืนรายงานผลสามารถเพิ่มประสิทธิภาพการส่งถ่ายยีนในข้าวได้

## ยืนคัดเลือก (selectable marker)

คือ ยืนที่ใช้ในการคัดเลือกพืชแปลงพันธุ์ (transformant) ออกจากพืชปกติ (untransformant) หลักการคัดเลือกพืชแปลงพันธุ์คือ ยับยั้งการเจริญของพืชปกติโดยไม่ทำให้เกิดอันตรายใด ๆ แก่พืชแปลงพันธุ์ (Vasil, 1994)

### 1. Negative marker

#### 1.1 ยืนต้านทานต่อสารปฏิชีวนะ

ยืนต้านทานต่อสารปฏิชีวนะที่นิยมนำมาเป็นยืนคัดเลือกสำหรับการส่งถ่ายยืนสู่ข้าว ได้แก่ ยืน *aphA2* โดยเฉพาะ *Tn5* ที่พบใน *E. coli* ยืน *aphA2* มีรหัสสำหรับการสร้างเอนไซม์ *neomycin phosphotransferaseII* (NPTII) หรือ *aminoglycoside-3'-phosphotransferaseII* (APH(3')II) (Herrera-Estrella et al., 1999) ซึ่งมีฤทธิ์ยับยั้งการทำงานของสารปฏิชีวนะประเทกอะมิโนไกลโคไซด์ (aminoglycoside) สารปฏิชีวนะประเทกนี้สามารถจับกับ 30S subunit ของไรโบโซมในโปรดักต์ทำให้เซลล์ไม่สามารถแปลงรหัสเพื่อการสร้างโปรตีน ส่วนในเซลล์พืชอะมิโนไกลโคไซด์มีฤทธิ์ต่อในโทคอนเดรียและคลอโรพลาสต์ โดยยับยั้งการสร้างโปรตีน เช่นเดียวกับที่พบในโปรดักต์ พืชจะแสดงอาการใบเหลืองชีดเนื่องจากไม่สามารถสังเคราะห์คลอโรฟิลล์ได้ และตายในที่สุด เอนไซม์ NPTII ยับยั้งการทำงานของสารปฏิชีวนะประเทกนี้ได้ด้วยการเติมหมู่ฟอสเฟตให้กับหมู่ไฮดรอกซิล (OH-group) ของสารปฏิชีวนะอะมิโนไกลโคไซด์ที่นิยมใช้เป็นสารคัดเลือก (selective agent) มีหลายชนิดได้แก่ กานามัยซิน(kanamycin), neomycin, G418 และ พาราโนมัยซิน (paranomycin)

รายงานการทดลองจำนวนมากเห็นตรงกันว่าพืชในเลี้ยงเดียวหลายชนิดรวมทั้งข้าว มีความต้านทานตามธรรมชาติต่อภานามัยซิน Hauptmann et al. (1988) ศึกษาพบว่าพืชในวงศ์ Gramineae หลายชนิด เช่น ข้าวสาลี และหญ้ากินนี (*Panicum*) มีความต้านทานตามธรรมชาติต่อภานามัยซินในปริมาณสูงถึง 800 มก./ล. ดังนั้นภานามัยซินจึงไม่เหมาะสมต่อการใช้เป็นสารคัดเลือก(selecting agent) สำหรับแคลลัสข้าว Dekeyser et al. (1989) รายงานผลการทดลองที่สนับสนุนการศึกษาของ Hauptmann et al. (1988) โดยรายงานว่าแคลลัสของข้าวสาลีสามารถเจริญบนอาหารที่เติมภานามัยซินในปริมาณสูงถึง 500 มก./ล. ได้ แต่อย่างไรก็ตามมีรายงานการทดลองที่ประสบความสำเร็จในการใช้ภานามัยซินเป็นสารคัดเลือกสำหรับการส่งถ่ายยืนในพืชในเลี้ยงเดียวหลายชนิด เช่น ข้าวโพด (Gould et al., 1991; Lysnik et al., 1989), ข้าวสาลี (Hauptmann et al., 1988) และข้าว (Dekeyser et al., 1989; Gould et al., 1991; Peng et al., 1992) Libiakova et al.(2001) รายงานการนำยืน *nptII* เชื่อมต่อกับ *intron2* จากยืน ST-LS1 ที่โคลนได้จากมันผ่องน้ำใช้เป็นยืนคัดเลือกในการส่งถ่ายยืนเข้าสู่มันผ่อง และยาสูบโดย *A. tumefaciens* เพื่อทำให้ยืน *nptII* มีการแสดงออกเฉพาะในยูคาริโอตเท่านั้น และเสนอว่ายืนคัดเลือกดังกล่าวมีประสิทธิภาพสำหรับการส่งถ่ายยืน

ยีน *hptII* โคลนได้จาก *E. coli* มีรหัสสำหรับการสร้างเอนไซม์ hygromycin phosphotransferase (HPT) หรือ aminoglycoside 4'- phosphotransferase (APH(4')) มีฤทธิ์ต้านทานต่อไฮโกรมัยซินบี (hygromycin B) ในprocariot ไฮโกรมัยซินจะเกาะกับ binding site ของ elongation factor 2 (EF-2) เพื่อยับยั้ง peptide chain elongation ทำให้เซลล์ไม่สามารถสังเคราะห์โปรตีนได้ เอนไซม์ HPT มิกกลไกต้านทานต่อไฮโกรมัยซินด้วยการเติมหมู่ฟอสเฟต (phosphorylation) ให้แก่หมู่ไฮดรอกซิลของไฮโกรมัยซิน มีรายงานการคัดเลือกพืชใบเลี้ยงเดี่ยวแปลงพันธุ์หลายชนิดโดยใช้ไฮโกรมัยซิน เช่น ข้าวสาลี (Hauptmann et al., 1988), ข้าว (Dekeyser et al., 1989; Shimamoto et al., 1989; Tu et al., 2000) และ ข้าวโพด (Hayashimoto et al., 1990) นอกจากจะใช้คุณสมบัติต้านทานต่อสารปฏิชีวนะในการคัดเลือกพืชแปลงพันธุ์ออกจากพืชปกติแล้ว อาจคัดเลือกโดยตรวจสอบการทำงานของเอนไซม์ที่เป็นผลผลิตของยีนเครื่องหมายในพืชแปลงพันธุ์ได้อีกด้วย (Sporlein, 1991)

## 1.2 ยีนต้านทานต่อสารกำจัดวัชพืช

ยีน *bar* และยีน *pat* เป็นยีนที่โคลนได้จาก *Streptomyces hygroscopicus* และ *S. viridochromogene* ตามลำดับ มีรหัสสำหรับการสร้างเอนไซม์ phosphinotricin-N-acetyltransferase (PAT) ซึ่งมีคุณสมบัติต้านทานต่อสารกำจัดวัชพืชที่มี phosphinotricin(PPT) เป็นสารออกฤทธิ์ ซึ่งทางการค้าของสารกำจัดวัชพืชที่มี PTT เป็นสารออกฤทธิ์มีหลายชนิดได้แก่ ได้แก่ Basta, Liberty และ Herbiace PTT มีลักษณะโครงสร้างคล้ายกับชับสเตรตของเอนไซม์ glutamate synthetase (GS) จึงเป็นสารยับยั้งแบบแข่งขัน (competitive inhibitor) ไปยับยั้งการทำงานของ GS ในการเปลี่ยนกลูตามেตไปเป็นกลูตามีน ทำให้ระดับแอมโนเนียในเซลล์พืชเพิ่มขึ้น การสังเคราะห์แสงหยุดชะงักและส่งผลให้เซลล์พืชตาย เอนไซม์ PAT ยับยั้งฤทธิ์ของ PTT ได้ด้วยการเติมหมู่อะเซทิลให้แก่ PTT มีรายงานการนำยีน *bar* มาใช้เป็นยีนคัดเลือกสำหรับการส่งถ่ายยีนในข้าวและพืชใบเลี้ยงเดี่ยวหลายชนิด (Vasil, 1994) Harvey et al.(1999) ศึกษาการส่งถ่ายยีนในข้าวสาลีพันธุ์ Bob White โดยวิธียิงกระสุน โดยมียีน *bar* เป็นยีนคัดเลือก และรายงานการคัดเลือกแคลลัสข้าวสาลีแปลงพันธุ์ออกจากแคลลัสปกติได้บนอาหารที่เติม PTT ความเข้มข้น 3 มก./ล.

## 2. Positive marker

การคัดเลือกพืชแปลงพันธุ์โดยใช้ยีนเครื่องหมายที่มีคุณสมบัติต้านทานต่อสารปฏิชีวนะ หรือสารกำจัดวัชพืชอาจยับยั้งการเจริญเติบโต และพัฒนาการของเนื้อเยื่อพืชแปลงพันธุ์ที่มีความเปราะบาง เช่น protocon (protocorm) กลัวยไม้ (Chia et al., 1994) นอกจากนี้พืชแปลงพันธุ์ที่ใกล้ตายจะปล่อยสารบางอย่างที่ยับยั้งการดูดอาหารของพืชแปลงพันธุ์ต้นอื่น และมีผลเสียต่อการเจริญของพืชแปลงพันธุ์ต้นอื่นด้วย (Ebinuma et al., 2001) positive marker ที่

นิยมใช้ในการคัดเลือกพืชแปลงพันธุ์ ได้แก่ ยีน *man* หรือ ยีน *pmi* โคลนได้จาก *E. coli* มีรหัสกำหนดการสร้าง phosphomannose isomerase (PMI) ซึ่งเป็นเอนไซม์ที่ทำหน้าที่เปลี่ยน manose-6-phosphate ให้เป็น fructose-6-phosphate และไม่พบมียีนนี้ในพืชปกติ พืชแปลงพันธุ์ที่มียีน *man* เป็นยีนคัดเลือกจะสามารถเจริญบนอาหารที่เติมน้ำตาลmannitolได้ แต่พืชปกติไม่สามารถใช้น้ำตาลmannitolเป็นแหล่งエネルギーได้ จึงทำให้การเจริญหยุดชะงัก Negrotto et al.(2000) รายงานการส่งถ่ายยีน *pmi* เข้าสู่ข้าวโพดโดย *A. tumefaciens* และคัดเลือกข้าวโพดแปลงพันธุ์ที่สร้างเอนไซม์ PMI ได้บนอาหารที่เติมน้ำตาลmannitolแต่พืชปกติตายเมื่อเลี้ยงบนอาหารชนิดเดียวกัน Wang et al.(2000) รายงานการส่งถ่ายยีน *manA* เข้าสู่ข้าวโพดหวานพันธุ์ Black Mexican โดยวิธีใช้สารเคมี PEG และคัดเลือกข้าวโพดแปลงพันธุ์ออกจากพืชปกติได้บนอาหารที่เติมน้ำตาลmannitolในความเข้มข้น 20 g./l. และพบว่ามีการถ่ายทอดยีน *manA* ไปสู่ข้าวโพดแปลงพันธุ์รุ่น  $T_1$  และ  $T_2$  ได้

### การนำยีนเครื่องหมายออกจากพืชแปลงพันธุ์

ความวิตกกังวลในความปลอดภัยจากการนำยีนที่มีคุณสมบัติต้านทานต่อสารปฏิชีวนะมาใช้เป็นยีนเครื่องหมายในพืชแปลงพันธุ์ ส่งผลให้เกิดแนวคิดในการนำยีนเครื่องหมายออกจากพืชแปลงพันธุ์ภายหลังการส่งถ่ายยีนแล้ว นอกจากนี้ความต้องการพืชแปลงพันธุ์ที่มีลักษณะพิเศษ หลายอย่างรวมอยู่ภายใต้ในต้นเดียวกันทำให้มีสิ่งถ่ายยีนมากกว่าหนึ่งชนิดเข้าสู่พืช แต่เนื่องจากปัจจุบันยีนเครื่องหมายที่มีประสิทธิภาพและเป็นที่นิยมใช้มีจำนวนน้อย ทำให้มีการใช้ยีนเครื่องหมายที่ซ้ำซ้อนกัน (gene stacking) ก่อให้เกิดปัญหาในขั้นตอนการคัดเลือกพืชแปลงพันธุ์ ดังนั้นจึงมีการศึกษาเพื่อพัฒนาวิธีการนำยีนเครื่องหมายออกจากพืชแปลงพันธุ์ โดยยีนที่สนใจยังคงอยู่ ปัจจุบันการนำเครื่องหมายออกจากพืชแปลงพันธุ์มีหลายวิธี ได้แก่

#### 1. วิธี Co-transformation

เป็นการส่งถ่ายยีนโดย *A. tumefaciens* และให้ยีนคัดเลือกและยีนที่สนใจแยกอยู่ในต่างพลาสมิดกัน โดยพลาสมิดหงส์สองนี้อาจอยู่ใน *A. tumefaciens* เดียวกันหรือต่างกันก็ได้ และพืชแปลงพันธุ์ต้องมียีนคัดเลือกและยีนที่สนใจแทรกอยู่ในจีโนมพืชบนโลคัสที่ต่างกัน (unlinked loci) เท่านั้น เมื่อนำพืชแปลงพันธุ์ดังกล่าวมาผสมพันธุ์จะเกิด gene segregation ทำให้สามารถแยกยีนคัดเลือกและยีนที่สนใจออกจากกันได้ในรุ่นลูก

Komari et al.(1996) นำแคลลัสยาสูบและแคลลัสข้าวบ่มร่วมกับ *A. tumefaciens* LBA4404 ที่มียีนคัดเลือก (*nptII*) และยีน *gus* แยกอยู่บนต่างพลาสมิดกัน ผลการศึกษาพบมีต้นยาสูบที่ทนทานต่อการน้ำมันโซเดียมาร์กและมีการแสดงออกของยีน *gus* 35 และ 14% ตามลำดับ และพบมีต้นข้าวแปลงพันธุ์ที่ทนทานต่อการน้ำมันโซเดียมาร์กและมีการแสดงออกของยีน *gus* 12 และ

22% ตามลำดับ ผลการศึกษาพืชแปลงพันธุ์ในรุ่นลูกพบมีต้นยาสูบและต้นข้าวแปลงพันธุ์ที่มีการแสดงออกของยีน *gns* เพียงอย่างเดียว 14 และ 12% ตามลำดับ

## 2. วิธี Site-specific recombination system

เป็นวิธีที่มีพื้นฐานมาจากกระบวนการ recombination ที่พบในแบคเทอโรฟองเจ P1 ประกอบด้วยปัจจัยที่สำคัญ 2 อย่างคือ เอนไซม์รีคอมบินेश (Cre) และต่าแหน่งจดจำ (*loxP*) วิธีนี้มีการส่งถ่ายยีน 2 ครั้ง โดยครั้งแรกเป็นการส่งยีนที่สนใจและยีนคัดเลือกที่ล้อมรอบด้วยต่าแหน่งจดจำ (*loxP*-selectable marker-*loxP*) เข้าสู่พืช ครั้งที่สองเป็นการส่งถ่ายยีน *cre* เข้าสู่พืชแปลงพันธุ์ที่ได้จากการส่งถ่ายยีนครั้งแรก ยีน *cre* มีรหัสสำหรับการสังเคราะห์เอนไซม์รีคอมบินेशทำหน้าที่ตัดต่าแหน่งจดจำ *loxP* ออกไป และตัดยีนคัดเลือกออกไปด้วย ทำให้สามารถคัดเลือกพืชแปลงพันธุ์ที่มีเฉพาะยีนที่สนใจได้ในรุ่นลูก

Dale and Ow (1991) ศึกษาการส่งถ่ายยีนในยาสูบโดย *A. tumefaciens* โดยมียีน *luc* เป็นยีนรายงานผลและยีน *hptII* ที่ล้อมรอบด้วยต่าแหน่งจดจำ (*loxP-hptII-loxP*) เป็นยีนคัดเลือก จากนั้นนำยาสูบแปลงพันธุ์ที่มีการแสดงออกของยีน *luc* และยีน *hptII* มาส่งถ่ายด้วยยีน *cre* ที่ต่อกับยีน *nptII* อีกครั้ง ผลการศึกษาพบมีต้นยาสูบแปลงพันธุ์ที่ไม่มีกิจกรรมของยีน *hptII* 90.9% และเมื่อนำยาสูบแปลงพันธุ์เหล่านั้นมาผสานพันธุ์ตัวเอง เพื่อแยกยีน *nptII* และยีน *cre* ออกจากยีน *luc* พบร้อยยาสูบแปลงพันธุ์จำนวน 16% ไม่มีกิจกรรมของ *nptII*

## 3. วิธี *ipt* type MAT (multi-auto-transformation) vector system

เป็นการนำยีน *ipt* ซึ่งโคลนได้จาก Ti plasmid ของ *A. tumefaciens* มาใช้เป็นยีนคัดเลือก และให้ยีนนี้เชื่อมต่ออยู่กับบริเวณ Ac transposable element ยีน *ipt* มีรหัสสำหรับการสร้างเอนไซม์ isopentenyl phosphotransferase (IPT) ซึ่งทำหน้าที่เร่งปฏิกิริยาการสังเคราะห์ isopentenyl AMP ซึ่งเป็นสารตั้งต้นของสารควบคุมการเจริญเติบโตให้ไนโคนินที่ซักนำการสร้างยอดในพืช ดังนั้นพืชแปลงพันธุ์ที่มีการแสดงออกของยีน *ipt* จะสร้างยอดจำนวนมากทำให้สามารถคัดเลือกพืชแปลงพันธุ์ออกจากพืชปกติได้ด้วยการมองเห็น

*Ac transposable element* คือชิ้นส่วนเดียวกันที่สามารถตัดตัวเองออกจากต่าแหน่งเดิมแล้วย้ายตัวเองไปแทรกในต่าแหน่งอื่นในจีโนมพืชได้ ดังนั้นยีน *ipt* ที่เชื่อมต่อกับ *Ac transposable element* จะถูกตัดออกจากต่าแหน่งเดิมด้วย ทำให้สามารถแยกยีนคัดเลือกออกจากพืชแปลงพันธุ์ได้โดยไม่เสียเวลาในขั้นตอนการผสานพันธุ์เพื่อให้เกิด gene segregation ในรุ่นลูก Endo et al.(2002) รายงานการส่งถ่ายยีนในข้าวพันธุ์ Kitaake ด้วยวิธีนี้ ผลการศึกษาพบว่าเนื้อเยื่อ scutellum ของข้าวที่บ่มร่วมกับ *A. tumefaciens* จำนวน 25% สามารถเจริญเป็นต้นข้าวที่ปราศจากยีน *ipt* ภายในระยะเวลา 1 เดือน และเสนอว่าเทคนิคนี้มีประสิทธิภาพสูงและเหมาะสมต่อการนำไปใช้เพื่อผลิตอัญพืชแปลงพันธุ์ที่ปราศจากยีนคัดเลือก

## ໂປຣມເຕອຣ (promotor)

คือบริเวณบนดีเอ็นเอที่ RNA polymerase มาเกาะและซักนำให้เกิดการลอกรหัส(transcription) ได้ ความสำเร็จในการส่งถ่ายยีนสู่พืชขึ้นอยู่กับระดับการแสดงออกของยีนนั้นในพืชแปลงพันธุ์ โปรโนเมเตอร์ CaMV35S โคลนได้จากเชื้อไวรัสที่ทำให้เกิดโรคใบต่างขาวในกระหลาดอก (cauliflower mosaic virus) เป็นโปรโนเมเตอร์ที่สามารถทำงานได้อย่างมีประสิทธิภาพสูงในพืชส่วนใหญ่ จากการศึกษาพบว่ามีการแสดงออกของยีนแปลงกล่องภายในครัวเรือนของโปรโนเมเตอร์ CaMV35S ในรัญพืชน้อยกว่าในพืชใบเลี้ยงคุ้มมาก Pih et al. (1996) ได้ทำการศึกษาเพื่อเปรียบเทียบประสิทธิภาพการใช้โปรโนเมเตอร์ CaMV35S 3 ชนิดที่แตกต่างกัน ในการส่งถ่ายยีนสู่คัพพะของข้าวและโพโรโทพลาสต์ของใบยาสูบ ผลการทดลองพบว่า โปรโนเมเตอร์ CaMV35S ซักนำให้มีการแสดงออกของยีน gus ในใบยาสูบมากกว่าในคัพพะข้าว 14 เท่า พากษาเสนอว่าพืชใบเลี้ยงเดี่ยวและพืชใบเลี้ยงคุ้สร้างสัญญาณเพื่อซักนำให้เกิดการลอกรหัสของยีนได้แตกต่างกัน Christensen et al. (1992) รายงานว่ายีน polyubiquitine (Ubi1 และ Ubi2) จากข้าวโพดมีการแสดงออกได้อย่างต่อเนื่องในต้นอ่อนของข้าวโพดแปลงพันธุ์ที่อุณหภูมิ 25°ซ. นอกเหนือนี้ยังพบว่าเมื่อมียีน cat เป็นยีนรายงานผล โปรโนเมเตอร์ Ubi1 มีการแสดงออกสูงกว่าโปรโนเมเตอร์ CaMV 35S 10 เท่า Toki et al. (1992) ประสบความสำเร็จในการส่งยีนสู่ข้าวโดยมียีน ubiquitin (Ubi1) จากข้าวโพดเป็นโปรโนเมเตอร์ และมียีน gus และยีน bar เป็นยีนรายงานผลและยีนเครื่องหมายตามลำดับ Xu et al. (1993) รายงานว่าการนำยีน actin (Act1) ที่โคลนได้จากข้าวเป็นโปรโนเมเตอร์ร่วมกับ pin2-gus fusion gene สามารถเพิ่มประสิทธิภาพการแสดงออกของยีนแปลงกล่องในข้าวแปลงพันธุ์ได้มากกว่าการใช้โปรโนเมเตอร์ pin2 อย่างเดียว และพบว่า pin2-Act1 intron-gus fusion gene มีการแสดงออกได้ดีในข้าวสาลี ข้าวโพด ข้าวบาร์เลีย์และข้าวฟ่าง Higo and Higo(1996) นำยีน cat ซึ่งเป็นโปรโนเมเตอร์ที่โคลนได้จากพืชใบเลี้ยงเดี่ยวมาใช้เพื่อควบคุมการแสดงออกของยีนที่ส่งถ่ายสู่ข้าว และรายงานผลการทดลองว่ายีน cat เป็นโปรโนเมเตอร์ที่เหมาะสมและสามารถเพิ่มประสิทธิภาพการส่งถ่ายยีนในข้าวได้ Vain et al. (1996) รายงานว่าการเพิ่ม intron ubi1 (ubiquitin) ด้าน 5' untranslated leader สามารถเพิ่มประสิทธิภาพการแสดงออกของยีนที่ส่งถ่ายสู่ข้าวโพดและ bluegrass ให้มากกว่าปกติ 71 เท่า และ 26 เท่าตามลำดับ Yokoi et al. (1997) ประสบความสำเร็จในการส่งถ่ายยีน gus ที่อยู่ภายใต้การควบคุมการแสดงออกโดยโปรโนเมเตอร์ Osg6B เข้าสู่ข้าวพันธุ์ Yamahouushi โดย A. tumefaciens โดยข้าวแปลงพันธุ์มีการแสดงออกของยีน gus เฉพาะในอับเรกูเท่านั้น Hwang et al.(2001) นำโปรโนเมเตอร์ Lrd1(lipid transfer protein) ที่ควบคุมการแสดงออกของยีนในคัพพะ ต่อเข้ากับยีน Chi26(chitinase) จากข้าวบาร์เลีย์และยีน gus แล้วส่งถ่ายเข้าสู่ข้าว ทำให้พับการแสดงออกของยีน gus ในเฉพาะในเนื้อเยื่อคัพพะ และชั้นแอลิวะโรน (aluerone layer) ในเมล็ดข้าวเท่านั้น Wu et al. (1997) ประสบความสำเร็จในการส่งถ่ายยีน cryIA ที่เชื่อมต่อกับโปรโนเมเตอร์ Actin 1 ที่โคลนจากข้าว ทำให้ต้นข้าวแปลงพันธุ์

มีความต้านทานต่อแมลงศัตรูพืช yellow stem borer Hwang et al.(2002) รายงานการนำโปรตีน Glb(rice globulin) มาใช้ควบคุมการแสดงออกของยีนที่กำหนดการสร้างเอนไซม์ไลซิซิมของมนุษย์ (human lysozyme) ในต้นข้าวแปลงพันธุ์ และเสนอว่าโปรตีนเตอร์ดังกล่าวมีประสิทธิภาพในการควบคุมการแสดงออกของยีนที่กำหนดการสร้างเปปไทด์สังเคราะห์ (recombinant protein) ในเมล็ดธัญพืชแปลงพันธุ์

### การแสดงออกของยีน (gene expressing)

ดีเอ็นเอเป็นแหล่งเก็บข้อมูลทางพันธุกรรมของลิงมีชีวิต การแสดงออกของยีนจะเกิดขึ้นเมื่อเกิดกระบวนการลอกรหัส (transcription) จากดีเอ็นเอเป็นอาร์เอ็นเอ แล้วจึงมีกระบวนการแปลงรหัส(translation) จากอาร์เอ็นเอไปเป็นโปรตีน ซึ่งทำหน้าที่เป็นโครงสร้างหรือเอนไซม์ต่างๆ ภายในเซลล์ ส่งผลให้เซลล์ลิงมีชีวิตแสดงลักษณะพิเศษในไฟปีต่างๆ ได้ หน่วยอย่างของดีเอ็นเอและอาร์เอ็นเอคือนิวคลีโอไทด์ ซึ่งเชื่อมต่อกันด้วยพันธะฟอสฟอเดอสเตรอร์(phosphodiester) นิวคลีโอไทด์มีองค์ประกอบ 3 ส่วน ได้แก่ สารประกอบเบส น้ำตาลริบอส และหมู่ฟอสเฟต สารประกอบเบสแบ่งได้ 2 ประเภท คือ พิวริน(purine) และไพริมิดิน(pyrimidine) เบสพิวรินประกอบด้วยอะดีนีน(adenine) และกوانีน(guanine) ส่วนเบสไพริมิดินประกอบด้วยไซโตซีน(cytosine) ไทมีน(thymine) และยูราซิล(uracil) โดยพบไทมีนเฉพาะในดีเอ็นเอ และยูราซิลพบเฉพาะในอาร์เอ็นเอ โครงสร้างดีเอ็นเอเกิดจากสารโพลินิวคลีโอไทด์สองสายเรียงตัวขนาดกัน และกลับทิศทางกัน โดยเบสของนิวคลีโอไทด์ทั้งสองสายจับกันด้วยพันธะไฮโดรเจนและมีลักษณะเป็นเกลียวคู่ อาร์เอ็นเอมีหน้าที่เกี่ยวข้องกับกระบวนการสังเคราะห์โปรตีน ชนิดของอาร์เอ็นเอได้แก่ ribosomal RNA(rRNA), transfer RNA(tRNA) และ messenger RNA(mRNA) สำหรับโครงสร้างของอาร์เอ็นเอในเซลล์พืชเป็นสายเดี่ยว โครงโน้มของลิงมีชีวิตชั้นสูงประกอบด้วยดีเอ็นเอซึ่งอยู่รวมกับโปรตีนชีสโตน การสังเคราะห์อาร์เอ็นเอเกิดขึ้นจากการทำงานของเอนไซม์ RNA polymerase และต้องอาศัยดีเอ็นเอสายได้สายหนึ่งเป็นต้นแบบ เรียกว่า anticodind strand ส่วนสายที่ไม่ได้เป็นต้นแบบเรียกว่า coding strand นอกจากนี้ยังมีริบอโนวิคลีโอไซด์ไตรฟอสเฟต 4 ชนิด ได้แก่ ATP, GTP, CTP และ UTP รวมทั้งแมกนีเซียมไอออนเป็นส่วนประกอบในกระบวนการ และการสังเคราะห์อาร์เอ็นเอเป็นไปในทิศทาง 5'-3' ตำแหน่งควบคุมการเริ่มต้นลอกรหัสคือโปรตีนเตอร์เมื่อเอนไซม์ RNA polymerase เกาะที่โปรตีนเตอร์ การลอกรหัสจะเริ่มต้นขึ้นและหยุดการทำงานเมื่อพบบริเวณส่าหรับหยุด(terminator)

ภายหลังการส่งถ่ายยีนที่สนใจเข้าสู่พืชแล้ว การตรวจสอบพืชแปลงพันธุ์สามารถทำได้โดยอาศัยเทคนิค polymerase chain reaction (PCR) ซึ่งเป็นการเทคนิคเพิ่มจำนวนดีเอ็นเอเฉพาะบริเวณที่ตัดต่อเข้าสู่พืชแปลงพันธุ์เท่านั้น โดยมีดีเอ็นเอเริ่มต้น(primer) ที่สามารถจับกับดีเอ็นเอแม่แบบและเอนไซม์ DNA polymerase ที่ทำให้มีการสังเคราะห์ดีเอ็นเอสายใหม่ขึ้นได้ และวิเคราะห์ยีนเป้าหมายที่เพิ่มจำนวนได้ด้วยเทคนิค southern blot hybridization ซึ่งเป็นเทคนิคที่ใช้

ดีเอ็นเอตรวจจับ(probe) ซึ่งเป็นชิ้นส่วนของยีนหรือпромोเตอร์ที่จับตัวได้เฉพาะกับยีนเป้าหมายเท่านั้น นอกจากการตรวจสอบ hairy เผา mRNA ที่สังเคราะห์จากยีนแปลงปลอมที่สอดแทรกในจีโนมพืชแล้วยังสามารถตรวจสอบ mRNA ที่สังเคราะห์จากยีนแปลงปลอมได้ด้วยเทคนิค northern blot hybridization แต่ mRNA จะคงอยู่ได้ในระยะเวลาสั้น ๆ แต่โปรตีนที่สังเคราะห์จากยีนแปลงปลอมจะคงอยู่ได้นานกว่า ดังนั้นการตรวจวิเคราะห์โปรตีนของยีนเป้าหมายด้วยเทคนิค western blot hybridization จึงเป็นอีกวิธีหนึ่งที่ได้รับความนิยม Kanzaki et al. (2002) รายงานการส่งถ่ายยีนต้านทานต่อเชื้อรา *Magnaporthe grisea* ที่เป็นสาเหตุของโรคใหม่เข้าสู่ข้าวพันธุ์ Sasanishiki โดย *A. tumefaciens* และตรวจสอบพับยีนดังกล่าวในจีโนมของต้นข้าวแปลงพันธุ์โดยเทคนิค PCR และวิเคราะห์หาโปรตีนที่สังเคราะห์จากยีนแปลงปลอมได้โดยเทคนิค western blot hybridization Stark-Lorenzen et al. (2001) ส่งถ่ายยีนที่มีรหัสสังเคราะห์เอนไซม์ stilbene synthase เข้าสู่ข้าวพันธุ์ Nipponbare เพื่อทำให้ต้นข้าวแปลงพันธุ์มีคุณสมบัติต้านทานต่อโรคใหม่ และตรวจวิเคราะห์หายินแปลงปลอม และ mRNA ที่สังเคราะห์จากยีนแปลงปลอมในต้นข้าวแปลงพันธุ์ด้วยเทคนิค southern blot hybridization และ northern blot hybridization ตามลำดับ ความสำเร็จของการสร้างพืชแปลงพันธุ์ขึ้นอยู่กับปริมาณโปรตีนที่ยีนแปลงปลอมสามารถสังเคราะห์ได้ ดังนั้นปริมาณของ mRNA ต้องมีความเสถียร และสามารถเป็นต้นแบบสำหรับการสังเคราะห์โปรตีนในกระบวนการแปลกรหัสได้ และการแสดงออกของ mRNA ที่สูงเกินไปอาจทำให้ยีนเกิด silencing และทำให้พืชแปลงพันธุ์ไม่สามารถแสดงลักษณะที่ต้องการได้ (Iyer et al., 2000)

## บทที่ 3

### การเพาะเลี้ยงเนื้อเยื่อข้าว

#### บทนำ

การเพาะเลี้ยงเนื้อเยื่อพืชให้เกิดเป็นต้นใหม่สามารถทำได้โดยการนำเนื้อเยื่อเจริญจากพืชมาเลี้ยงให้เกิดเป็นแคลลัส และซักนำให้แคลลัสนั้นให้เกิดเป็นต้นที่สมบูรณ์ โดยแคลลัสเจริญเป็นต้นได้จาก 2 กระบวนการคือ กระบวนการกำนานิดคัพภาคจากเซลล์ร่างกาย (somatic embryogenesis) และกระบวนการกำนานิดอวัยวะ (organogenesis) แคลลัสที่เจริญเป็นต้นจากกระบวนการกำนานิดคัพภาคจากเซลล์ร่างกาย เซลล์ที่มีความพร้อมจะพัฒนาผ่านขั้นตอนของการเจริญจาก globular-shape stage ไปเป็น heart stage, torpedo stage จากนั้นจึงพัฒนาไปเป็นคัพภาคที่เจริญเต็มที่เรียกว่า somatic embryo หรืออี้มบริอยด์ ในกระบวนการกำนานิดคัพภาค แคลลัสจะมีการเจริญและพัฒนาไปเป็นยอดและรากพร้อมกัน ส่วนแคลลัสที่มีการเจริญเป็นต้นโดยกระบวนการกำนานิดอวัยวะ เซลล์จะเจริญเป็นยอดหรือต้นเพียงอย่างเดียว นอกจากสูตรอาหาร pH ของอาหาร ปัจจัยสภาพแวดล้อมในการเพาะเลี้ยง ชิ้นส่วนพืช และจินไหปีของพืช จะมีอิทธิพลต่อการเพาะเลี้ยงเนื้อเยื่อแล้ว ปัจจัยที่สำคัญที่สุดคือสารควบคุมการเจริญเติบโตของพืช สัดส่วนของออกซินและไซโทโคนินในอาหารเพาะเลี้ยงที่ แตกต่างกัน มีผลต่อการเปลี่ยนแปลงและพัฒนาของเนื้อเยื่อพืชได้ต่างกัน โดยเมื่อมีสัดส่วน ออกซินต่อไซโทโคนินสูงจะชักนำให้แคลลัสพัฒนาไปเป็นราก แต่เมื่อสัดส่วนออกซินต่อไซโทโคนินต่ำจะชักนำแคลลัสให้เจริญเป็นต้น และเมื่อสัดส่วนออกซินต่อไซโทโคนินมีความสมดุลจะ ชักนำการสร้างแคลลัส (Skoog and Miller, 1957)

การศึกษาสูตรอาหารที่เหมาะสมในการเพาะเลี้ยงเนื้อเยื่อพืชที่ใช้เป็นเป้าหมายสำหรับการส่งถ่ายยืนให้เจริญเป็นต้นใหม่เป็นขั้นตอนหนึ่งที่มีความสำคัญในกระบวนการสร้างพืชแปลงพันธุ์ และสามารถส่งเสริมความล้ำเร็วในการส่งถ่ายยืนเข้าสู่พืชได้ นอกจากนี้การศึกษาอิทธิพลของสารปฏิชีวนะที่ใช้สำหรับกำจัด *A. tumefaciens* จากเนื้อเยื่อพืชเป้าหมายหลังขั้นตอนการส่งถ่ายยืน และการศึกษาความเข้มข้นของสารปฏิชีวนะที่เหมาะสมสำหรับคัดเลือกพืชแปลงพันธุ์เป็นอีกส่วนหนึ่งที่ต้องมีการศึกษาด้วย

## อุปกรณ์และวิธีการทดลอง

### การทดลองที่ 3.1 การศึกษาความเข้มข้นของสารละลายน้ำ เมล็ดข้าวพันธุ์ชัยนาท 1 และห้อมสุพรรณบุรี ที่เหมาะสมสำหรับการฟอกกำจัดเชื้อผิวเมล็ดข้าว

แกะเปลือกเมล็ดข้าวพันธุ์ชัยนาท 1 และห้อมสุพรรณบุรี แล้วล้างบริเวณผิวภายนอกด้วย พงชักฟอกและน้ำประปาให้สะอาด แซ่เมล็ดข้าวในเอทานอล 70% (v/v) เป็นเวลา 1 นาที จากนั้นนำเมล็ดข้าวจำนวน 35 เมล็ดใส่ในชุดรูปชามพู่ที่มีสารละลายน้ำ เมล็ดข้าวพันธุ์ชัยนาท 1 และห้อมสุพรรณบุรี ที่ต้องการ จำนวน 2-3 หยดต่อสารละลายน้ำ เมล็ด 100 มล. เช่นเดียวกับเมล็ดข้าวพันธุ์ชัยนาท 15, 30 และ 45 นาที เมื่อครบเวลาที่กำหนด ล้างเมล็ดข้าวด้วยน้ำกลั่นน้ำมันเชื้อ 4 ครั้ง นานครั้งละ 5 นาที จากนั้นนำเมล็ดข้าววางบนอาหารสูตร N<sub>6</sub> ตัดแปลงที่เติมน้ำตาลซูโคโรสความเข้มข้น 2% (w/v), 2,4-D ความเข้มข้น 9 μM และผงวุ้น 0.8% (w/v) โดยวางให้คัพกะสัมผัสกับอาหาร นำเมล็ดไปเพาะเลี้ยงภายใต้ความชื้น 95% ที่อุณหภูมิ 25°C. เป็นเวลา 5 วัน บันทึกจำนวนเมล็ดที่รอดชีวิตและเจริญเป็นแคลลัสโดยปราศจากการปนเปื้อนของเชื้อจุลทรรศน์

### การทดลองที่ 3.2 การศึกษาอิทธิพลของสารควบคุมการเจริญเติบโต 2,4-D ใน การซักนำเมล็ดข้าวพันธุ์ชัยนาท 1 และห้อมสุพรรณบุรีให้เกิดแคลลัส

นำเมล็ดข้าวพันธุ์ชัยนาท 1 และห้อมสุพรรณบุรีที่แกะเปลือกแล้วมาล้างบริเวณผิวภายนอกด้วยพงชักฟอกและน้ำประปาให้สะอาด ฟอกกำจัดเชื้อเมล็ดข้าวโดยแซ่ในเอทานอล 70% (v/v) เป็นเวลา 1 นาที แล้วนำไปใส่ในชุดรูปชามพู่ที่มีสารละลายน้ำ เมล็ดข้าวพันธุ์ชัยนาท 1 และห้อมสุพรรณบุรี ที่ต้องการ จำนวน 2-3 หยดต่อสารละลายน้ำ เมล็ด 100 มล. เช่นเดียวกับเมล็ดข้าวพันธุ์ชัยนาท 45 นาที จากนั้นล้างเมล็ดด้วยน้ำกลั่นน้ำมันเชื้อ 4 ครั้ง นำเมล็ดข้าวที่ผ่านการฟอกนำเชื้อวางบนอาหารสูตร N<sub>6</sub> ที่เติมน้ำตาลซูโคโรส 2% (w/v) และ 2,4-D ความเข้มข้น 4.5, 9, 13.5, 18 และ 22.5 μM อาหารทุกสูตรเติมผงวุ้น 0.8% (w/v) และปรับ pH เท่ากับ 5.7 โดยวางให้คัพกะสัมผัสกับอาหาร นำเมล็ดไปเพาะเลี้ยงภายใต้ความชื้น 95% ที่อุณหภูมิ 25°C. เป็นเวลา 16 ชั่วโมง/วัน บันทึกจำนวนเมล็ดที่สร้างแคลลัสและน้ำหนักแคลลัส

### การทดลองที่ 3.3 การศึกษาอิทธิพลของสารควบคุมการเจริญเติบโต NAA และ BA ใน การซักนำแคลลัสข้าวพันธุ์ชัยนาท 1 และห้อมสุพรรณบุรีให้เกิดตันใหม่

นำแคลลัสข้าวพันธุ์ชัยนาท 1 และห้อมสุพรรณบุรี อายุ 3 สัปดาห์ ขนาด 5 ㎟. ซึ่งซักนำให้เกิดจากการเพาะเลี้ยงเมล็ดข้าวนานอาหารสูตร N<sub>6</sub> ที่เติม 2,4-D ไปเลี้ยงบนอาหารสูตร N<sub>6</sub> ที่เติมน้ำตาลซูโคโรส 2% (w/v) และเติม NAA ร่วมกับ BA ที่ความเข้มข้นต่างๆ กัน โดยเลี้ยง

แคลลัสข้าวพันธุ์ชัยนาท 1 บนอาหารสูตรที่ 1-9 และเลี้ยงแคลลัสข้าวพันธุ์หอมสุพรรรณบุรีบนอาหารสูตรที่ 1-5

สูตรอาหาร	ความเข้มข้น NAA ( $\mu\text{M}$ )	ความเข้มข้น BA ( $\mu\text{M}$ )
1	0	0
2	2.5	4.5
3	2.5	9
4	2.5	13.5
5	2.5	18
6	5	4.5
7	5	9
8	5	13.5
9	5	18

อาหารทุกสูตรปรับ pH เท่ากับ 5.7 และเติมผงวุ้น 0.8% (w/v) จากนั้นนำแคลลัสไปเพาะเลี้ยงภายใต้ความเข้มแสง 1,000 ลักซ์ ช่วงแสง 16 ชั่วโมง/วัน อุณหภูมิ 25°C. เมื่อครบ 45 วัน บันทึกจำนวนแคลลัสที่สร้างต้นใหม่และจำนวนต้นต่อแคลลัส

#### การทดลองที่ 3.4 ศึกษาอิทธิพลของสารปฏิชีวนะการนามัยชินและซีฟォแทคซีมต่อแคลลัสข้าวพันธุ์ชัยนาท 1 ในการเกิดต้นใหม่

นำแคลลัสข้าวพันธุ์ชัยนาท 1 อายุ 3 สัปดาห์ ขนาด 5 มม. ซึ่งซักน้ำให้เกิดจากการเพาะเลี้ยงเมล็ดข้าวพันธุ์ชัยนาท 1 บนอาหารสูตร N<sub>6</sub> ที่เติม 2,4-D มาเลี้ยงบนอาหารสูตร N<sub>6</sub> ที่เติมน้ำตาลซูโครส 2 % (w/v), NAA ความเข้มข้น 2.5  $\mu\text{M}$ , BA ความเข้มข้น 13.5  $\mu\text{M}$  ร่วมกับสารปฏิชีวนะการนามัยชินและซีฟォแทคซีมที่ความเข้มข้นต่าง ๆ ดังต่อไปนี้ การนามัยชินความเข้มข้น 0, 50, 100, 150, 200 และ 250 มก./ล.

ซีฟォแทคซีมความเข้มข้น 0, 50, 150, 200, 250, 300 และ 400 มก./ล.

จากนั้นนำแคลลัสไปเพาะเลี้ยงภายใต้ความเข้มแสง 1,000 ลักซ์ ช่วงแสง 16 ชั่วโมง/วัน อุณหภูมิ 25°C. เมื่อครบ 1 เดือน บันทึกจำนวนแคลลัสที่สร้างต้นใหม่และจำนวนต้นต่อแคลลัส

## ผลการทดลอง

### ผลการทดลองที่ 3.1 การศึกษาความเข้มข้นของแคลเซียมไฮโปคลอไรต์ที่เหมาะสมสำหรับการฟอกกำจัดเชื้อผิวเมล็ดข้าว

การศึกษาความเข้มข้นของแคลเซียมไฮโปคลอไรต์ที่เหมาะสมสำหรับการฟอกกำจัดเชื้อผิวเมล็ดข้าวพันธุ์ชัยนาท 1 และห้อมสุวรรณบุรีพบว่าจำนวนเมล็ดที่ปราศจากการปนเปื้อนของเชื้อจุลทรรศน์มีเพิ่มขึ้นเมื่อความเข้มข้นของแคลเซียมไฮโปคลอไรต์และระยะเวลาที่ใช้ฟอกเพิ่มขึ้น โดยแคลเซียมไฮโปคลอไรต์ความเข้มข้น 2% (w/v) ระยะเวลาฟอก 45 นาที มีประสิทธิภาพสูงที่สุดสำหรับการฟอกกำจัดเชื้อผิวภายนอกของเมล็ดข้าวพันธุ์ชัยนาท 1 โดยเมล็ดข้าวเกิดแคลลัสที่ไม่มีการปนเปื้อนของจุลทรรศน์เท่ากับ 91.4% ( $32 \pm 1.52$  เมล็ด) และแคลเซียมไฮโปคลอไรต์ความเข้มข้น 1.5% (w/v) ระยะเวลาฟอก 45 นาที, 2% (w/v) ระยะเวลาฟอก 30 นาที และ 2% (w/v) ระยะเวลาฟอก 45 นาที มีประสิทธิภาพสูงที่สุดสำหรับการฟอกกำจัดเชื้อผิวภายนอกของเมล็ดข้าวพันธุ์ห้อมสุวรรณบุรี โดยเมล็ดข้าวสามารถเจริญเป็นแคลลัสโดยไม่มีการปนเปื้อน 100% ( $35 \pm 0.00$  เมล็ด) จากการทดสอบประสิทธิภาพระหว่างความเข้มข้นของแคลเซียมไฮโปคลอไรต์ร่วมกับระยะเวลาฟอกทุกคู่ โดยวิธี Duncan's new multiple range test (DMRT) ที่ระดับนัยสำคัญ 0.05 พบว่าค่าเฉลี่ยที่กำกับด้วยตัวอักษรอังกฤษที่ต่างกัน มีค่าทางสถิติที่แตกต่างกันดังแสดงผลในตารางที่ 1

ตารางที่ 1 จำนวนแมลงศัตรูที่กินและเคลล์โดยปราศจากการปนเปื้อนของเชื้อจุลินทรีย์ภายในตัวยานห้องทดลองต่อตัวยานห้องทดลองโดยเชื้อมีอิปโภคกล่าวไว้ที่ความชื้นและระยะเวลาต่างๆ

ความชื้น แคลเซียมไฮโปคลอโรต์% (w/v)	ความชื้นชนิด แคลเซียมไฮโปคลอโรต์% (w/v)	เวลาที่ใช้ในการพอก(นาที)			
		15	30	45	45
0.5	9.67±0.89A	14.00±1.52a	14.00±1.12AB	6.67±1.18ab	13.33±1.45B
1.0	18.67±1.76C	24.67±0.33c	20.00±1.15CD	26.00±2.08c	23.33±1.20DE
1.5	23.67 ±0.88E	29.67±2.02d	24.00±1.15E	33.33±0.82de	29.33±0.67FG
2.0	27.67 ±1.45F	30.00±1.73e	30.33 ± 0.89G	35.00 ± 0.00e	32± 1.52G
					35.00 ±0.00e

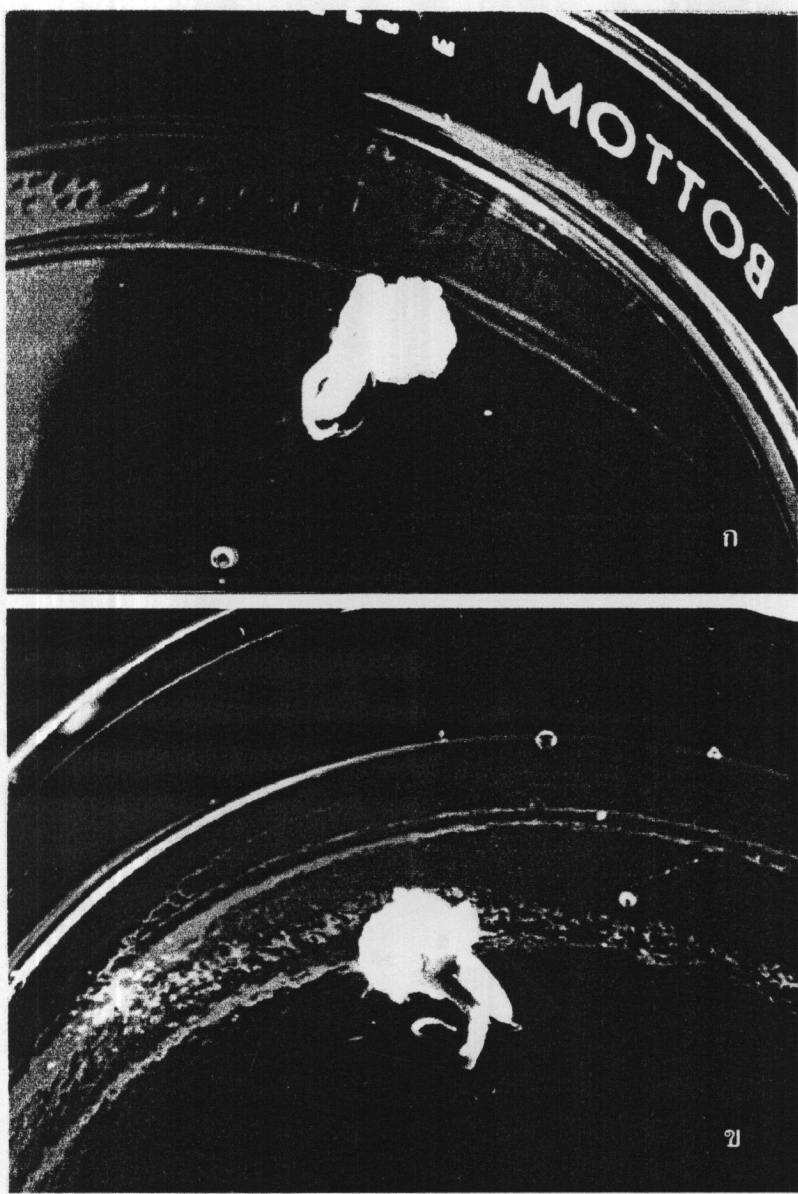
หมายเหตุ ค่าเฉลี่ยในทดสอบเม็ดยาหันที่กำนัตัวด้วยตัวอักษรอังกฤษต่อตัวกันทางสถิติที่ระดับนัยสำคัญ 0.05 เมื่อเปรียบเทียบค่าเฉลี่ยโดยวิธี DMRT

**ผลการทดลองที่ 3.2 การศึกษาอิทธิพลของสารควบคุมการเจริญเติบโต 2,4-D ในการชักนำเมล็ดข้าวพันธุ์ชัยนาท 1 และหอนสุพรรณบุรีให้เกิดแคลลัส**

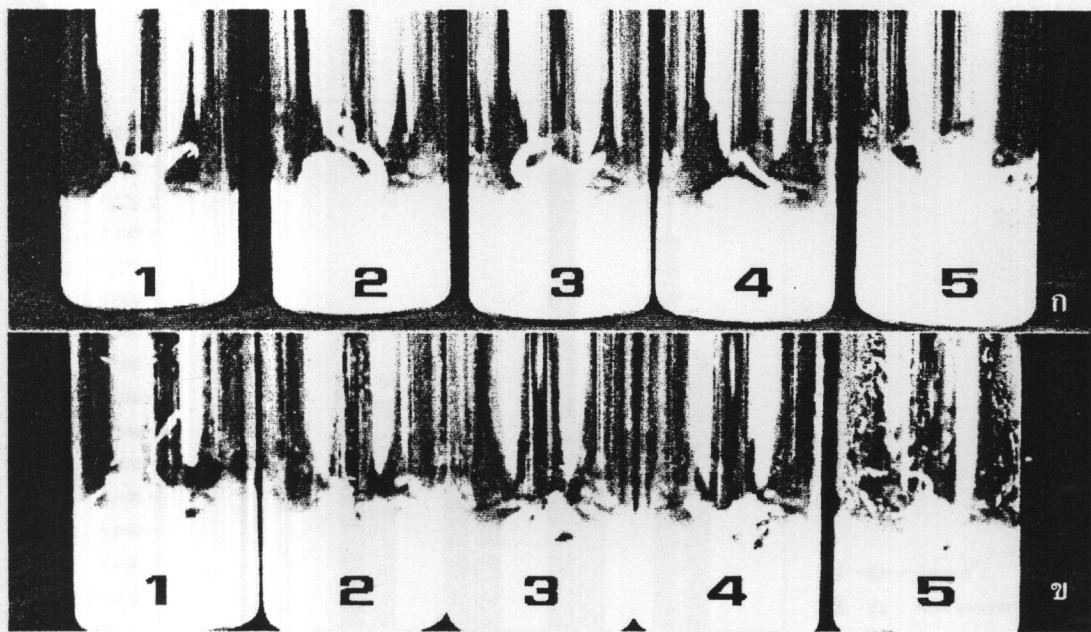
การศึกษาอิทธิพลของสารควบคุมการเจริญเติบโต 2,4-D ในการชักนำเมล็ดข้าวพันธุ์ชัยนาท 1 และหอนสุพรรณบุรีให้เกิดแคลลัสพบว่าเมล็ดข้าวที่เพาะเลี้ยงในที่มีแสง บนอาหารสูตร N<sub>6</sub> ที่เติมน้ำตาลซูโครส 2%(w/v) และเติม 2,4-D ทุกความเข้มข้นสามารถเกิดแคลลัสได้โดยเมื่อเพาะเลี้ยงเมล็ดข้าวนบนอาหารเป็นเวลา 1-2 วัน สังเกตพบบริเวณคัพภะมีลักษณะบวมขึ้นเล็กน้อย และพัฒนาไปเป็นยอดอ่อนสีเขียวและแคลลัสสีเหลืองภายใน 3-4 วัน ต่อมาแคลลัสเพิ่มขนาดขึ้นและมีลักษณะเกะดัดตัวกัน ในขณะที่ยอดอ่อนมีขนาดคงที่ ดังแสดงในภาพที่ 2

เมล็ดข้าวพันธุ์ชัยนาท 1 มีการเกิดแคลลัสสูงที่สุดเท่ากับ 92.67% เมื่อเพาะเลี้ยงบนอาหารสูตร N<sub>6</sub> ที่เติม 2,4-D ความเข้มข้น 22.5 μM และเมล็ดข้าวสร้างแคลลัสที่มีน้ำหนักสูงที่สุดเท่ากับ  $0.138 \pm 0.016$  ก. เมื่อเพาะเลี้ยงบนอาหารสูตร N<sub>6</sub> ที่เติม 2,4-D ความเข้มข้น 18 μM อาหารที่มีประสิทธิภาพสูงสุดในการชักนำเมล็ดข้าวพันธุ์หอนสุพรรณบุรีให้มีเกิดแคลลัสคืออาหารสูตร N<sub>6</sub> ตัดแปลงที่เติม 2,4-D ความเข้มข้น 18 μM โดยเมล็ดมีการเกิดแคลลัสเท่ากับ  $90.91 \pm 5.12$  % และแคลลัสที่มีน้ำหนักสูงเฉลี่ยสูงที่สุดเท่ากับ  $0.083 \pm 0.017$  ก. (ภาพที่ 3,4 และ 5)

จากการทดสอบประสิทธิภาพระหว่างความเข้มข้นของ 2,4-D ทุกคู่ต่อเปอร์เซ็นต์การสร้างแคลลัสและน้ำหนักสูงสุดโดยวิธี DMRT ที่ระดับนัยสำคัญ 0.05 พนบว่าค่าเฉลี่ยที่กำกับด้วยตัวอักษรอังกฤษที่ต่างกัน มีค่าทางสถิติที่แตกต่างกัน(ภาพที่ 4 และ 5)



ภาพที่ 2 แคลลัสข้าวพันธุ์ชัยนาท 1 (ก) และหอนสุพรรณบุรี (ข) ที่เพาะเลี้ยงบนอาหารที่เติม 2,4-D  
ความเข้มข้น  $22.5 \mu\text{M}$  และ  $18 \mu\text{M}$  ตามลำดับ



ภาพที่ 3 แคลลัสข้าวพันธุ์ชัยนาท 1 (ก) และห้อมสุพรรณบุรี (ข) ที่เพาะเลี้ยงบนอาหารที่เติม 2,4-D ความเข้มข้นต่างๆ

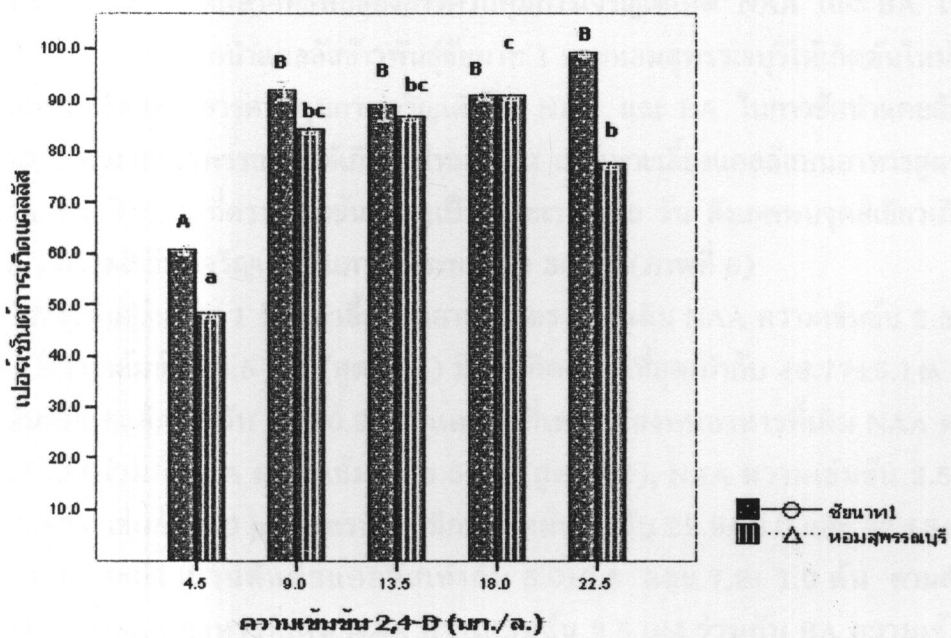
สูตรที่ 1 = 2,4-D 4.5  $\mu\text{M}$

สูตรที่ 2 = 2,4-D 9  $\mu\text{M}$

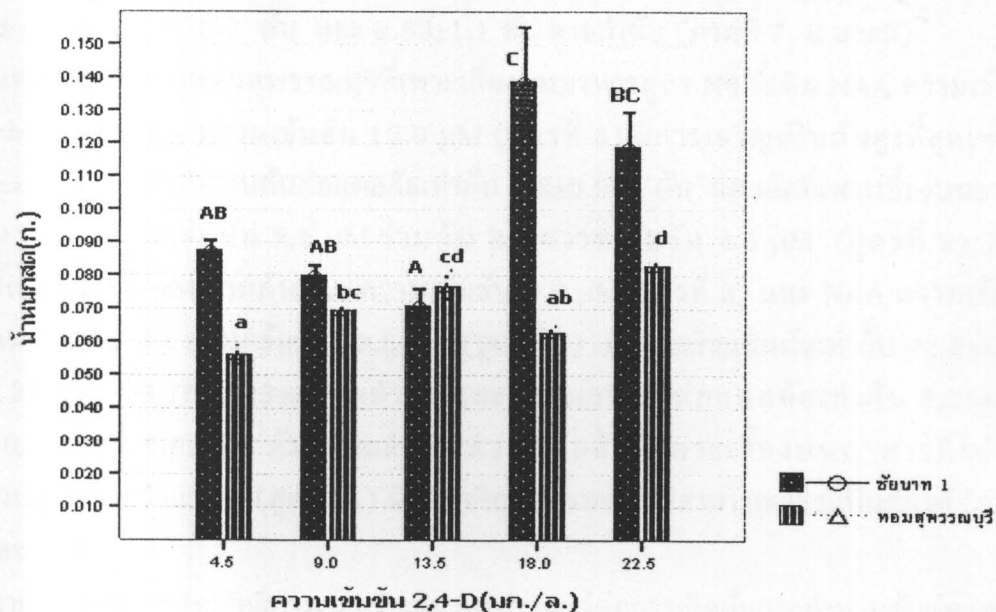
สูตรที่ 3 = 2,4-D 13.5  $\mu\text{M}$

สูตรที่ 4 = 2,4-D 18  $\mu\text{M}$

สูตรที่ 5 = 2,4-D 22.5  $\mu\text{M}$



ภาพที่ 4 แผนภูมิแสดงเปอร์เซ็นต์การเกิดแคลลัสจากเมล็ดข้าวพันธุ์ชัยนาท 1 และห้อมสุพรรณบุรี ที่เพาะเลี้ยงบนอาหารที่เติม 2,4-D ความเข้มข้นต่างๆ



ภาพที่ 5 แผนภูมิแสดงน้ำหนักสตดของแคลลัสที่เจริญจากเมล็ดข้าวพันธุ์ชัยนาท 1 และหอมสุพรรณบุรี ที่เพาะเลี้ยงบนอาหารที่เติม 2,4-D ความเข้มข้นต่าง ๆ

ผลการทดลองที่ 3.3 การศึกษาอิทธิพลของสารควบคุมการเจริญเติบโต NAA และ BA ใน การซักนำแคลลัสข้าวพันธุ์ชัยนาท 1 และหอมสุพรรณบุรีให้เกิดตันใหม่

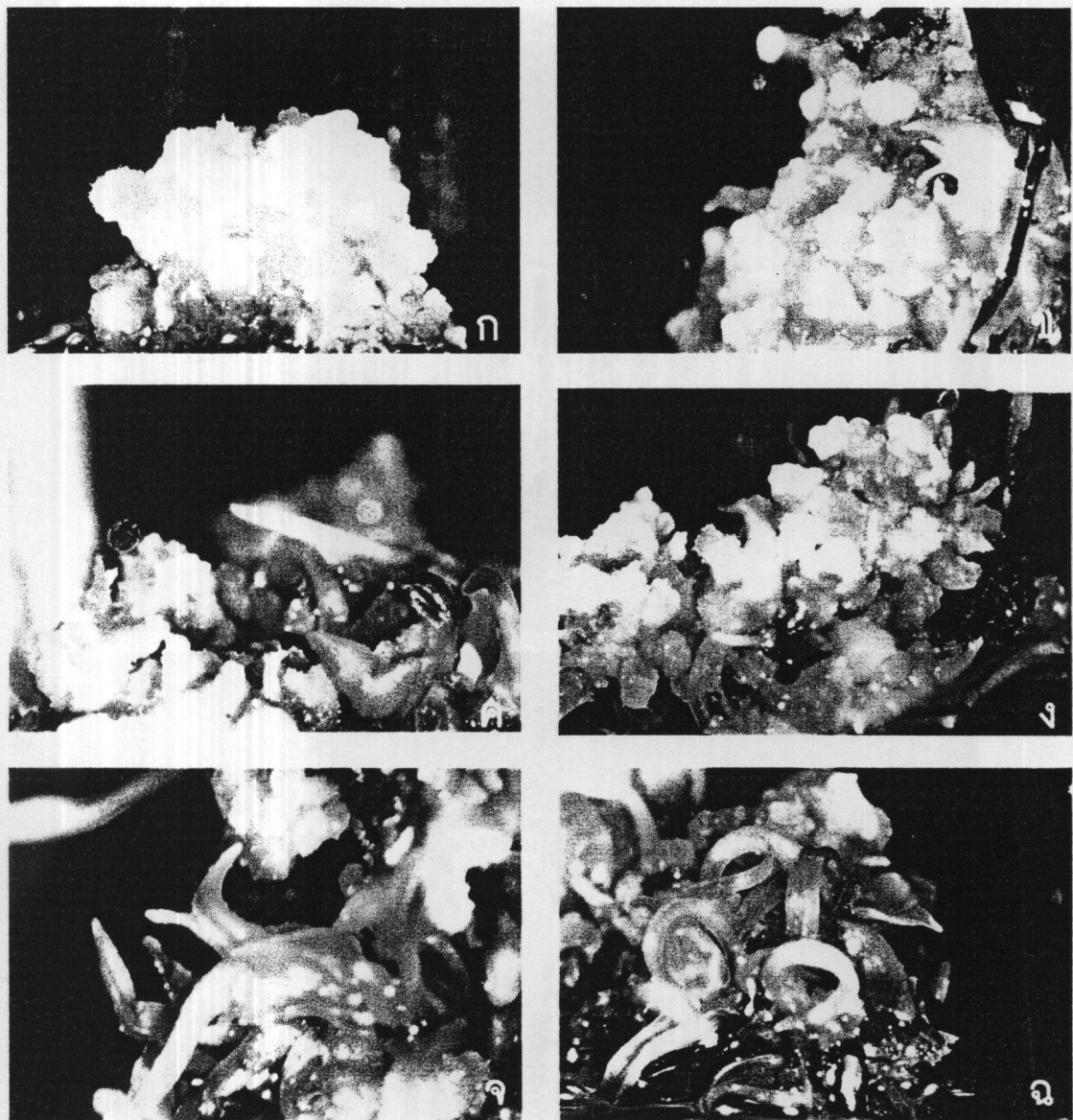
การศึกษาอิทธิพลของสารควบคุมการเจริญเติบโต NAA และ BA ใน การซักนำแคลลัสข้าวพันธุ์ชัยนาท 1 และหอมสุพรรณบุรีให้เกิดตันใหม่พบว่า เมื่อเพาะเลี้ยงแคลลัสบนอาหารสูตร N<sub>6</sub> ที่เติม NAA ร่วมกับ BA ที่ความเข้มข้นต่าง ๆ เป็นระยะเวลา 10 วัน สังเกตพบจุดสีเขียวเกิดขึ้นบนแคลลัส และจุดสีเขียวเจริญเป็นตันภายในระยะเวลา 30 วัน (ภาพที่ 6)

แคลลัสข้าวพันธุ์ชัยนาท 1 ที่เพาะเลี้ยงบนอาหารสูตร N<sub>6</sub> ที่เติม NAA ความเข้มข้น 2.5 μM ร่วมกับ BA ความเข้มข้น 13.5 μM (สูตรที่ 4) มีการเกิดตันสูงที่สุดเท่ากับ  $46.77 \pm 5.1\%$  และ มีจำนวนตันต่อแคลลัสเท่ากับ  $9.7 \pm 0.9$  ตัน แคลลัสที่เพาะเลี้ยงบนอาหารที่เติม NAA ความเข้มข้น 2.5 μM ร่วมกับ BA ความเข้มข้น 4.5 μM(สูตรที่ 2), NAA ความเข้มข้น 2.5 μM ร่วมกับ BA ความเข้มข้น 9.0 μM(สูตรที่ 3) มีการเกิดตันเท่ากับ  $22.9 \pm 3.0$  และ  $32.13 \pm 3.6$  ตัน ตามลำดับและมีจำนวนตันต่อแคลลัสเท่ากับ  $5.0 \pm 0.6$  และ  $7.2 \pm 1.0$  ตัน ตามลำดับ แคลลัสที่เพาะเลี้ยงบนอาหารที่เติม NAA ความเข้มข้น 2.5 μM ร่วมกับ BA ความเข้มข้น 18.0 μM (สูตรที่ 5), NAA ความเข้มข้น 5.0 μM ร่วมกับ BA ความเข้มข้น 4.5 μM(สูตรที่ 6), NAA ความเข้มข้น 5.0 μM ร่วมกับ BA ความเข้มข้น 9.0 μM (สูตรที่ 7) และ NAA 5.0 μM ร่วมกับ BA 13.5 μM (สูตรที่ 8) และ NAA 5.0 μM ร่วมกับ BA ความเข้มข้น 18.0 μM

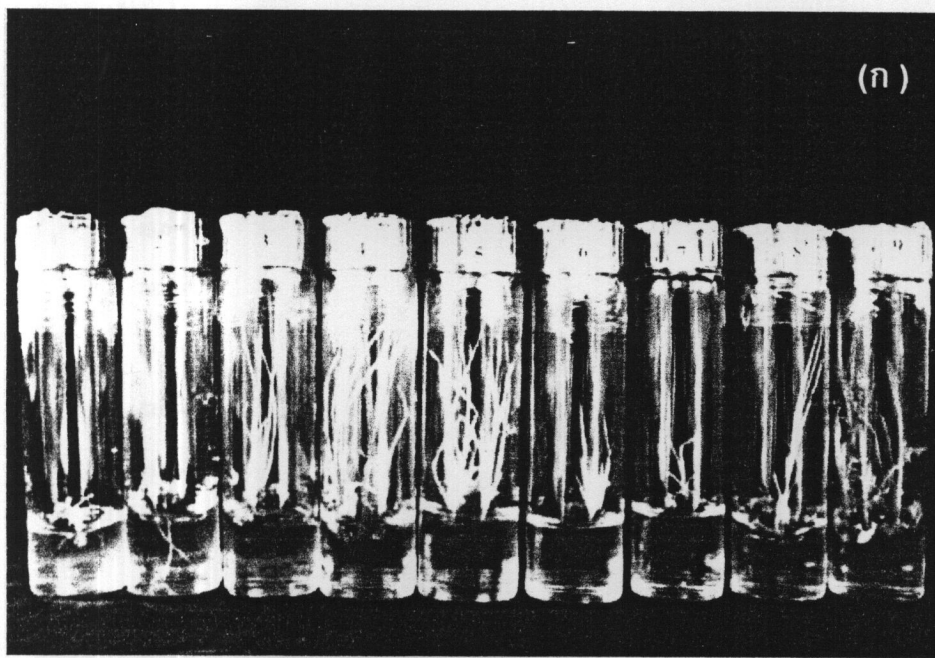
(สูตรที่ 9) มีการเจริญเป็นต้นเท่ากับ  $28.6 \pm 4.44$ ,  $17.36 \pm 1.37$ ,  $28.73 \pm 1.21$ ,  $31.63 \pm 4.9$  และ  $37.76 \pm 3.6\%$  ตามลำดับและมีจำนวนต้นต่อแคลลัสเท่ากับ  $4.9 \pm 0.5$  ต้น,  $2.7 \pm 0.1$  ต้น,  $4.67 \pm 0.8$  ต้น,  $4.3 \pm 0.7$  ต้น และ  $8.83 \pm 1.1$  ต้น ตามลำดับ (ภาพที่ 7, 8 และ 9)

แคลลัสข้าวพันธุ์หอมสุพรรรณบุรีที่เพาะเลี้ยงบนอาหารสูตร N6 ที่เติม NAA ความเข้มข้น  $2.5 \mu\text{M}$  ร่วมกับ BA ความเข้มข้น  $18.0 \mu\text{M}$  (สูตรที่ 5) มีการเจริญเป็นต้นสูงที่สุดเท่ากับ  $53.3 \pm 1.51\%$  และมีจำนวนต้นต่อแคลลัสเท่ากับ  $7.8 \pm 0.961$  ต้น แคลลัสที่เพาะเลี้ยงบนอาหารที่เติม NAA ความเข้มข้น  $2.5 \mu\text{M}$  ร่วมกับ BA ความเข้มข้น  $4.5 \mu\text{M}$  (สูตรที่ 2), NAA ความเข้มข้น  $2.5 \mu\text{M}$  ร่วมกับ BA ความเข้มข้น  $9.0 \mu\text{M}$  (สูตรที่ 3) และ NAA ความเข้มข้น  $2.5 \mu\text{M}$  ร่วมกับ BA ความเข้มข้น  $13.5 \mu\text{M}$  (สูตรที่ 4) มีการเจริญเป็นต้นเท่ากับ  $22.2 \pm 1.63$ ,  $32 \pm 2.31$  และ  $39.76 \pm 2.23\%$  ตามลำดับและมีจำนวนต้นต่อแคลลัสเท่ากับ  $5.23 \pm 0.6$ ,  $6.0 \pm 0.93$  และ  $6.8 \pm 0.9$  ต้น ตามลำดับ ส่วนแคลลัสที่เพาะเลี้ยงบนอาหารที่ไม่เติมน้ำสารควบคุมการเจริญเติบโต(สูตรที่ 1) มีการเจริญของรากแต่ไม่สามารถเจริญเป็นต้นได้ (ภาพที่ 10 และ 11)

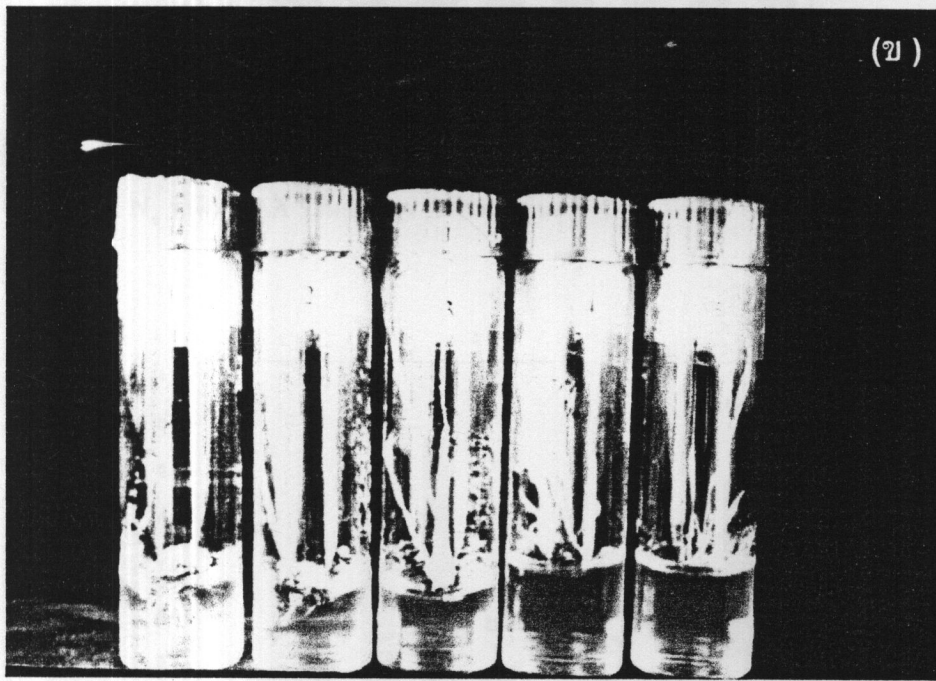
จากการทดสอบประสิทธิภาพระหว่างสูตรอาหารทุกคู่ต่อการเกิดต้นและจำนวนต้นต่อแคลลัสโดยวิธี DMRT ที่ระดับนัยสำคัญ  $0.05$  พบร่วมค่าเฉลี่ยที่กำกับด้วยตัวอักษรอังกฤษที่ต่างกันมีค่าทางสถิติที่แตกต่างกัน(ภาพที่ 8, 9, 10 และ 11)



ภาพที่ 6 ลักษณะการเจริญเป็นต้นใหม่ของแคลลัสข้าวที่เพาะเลี้ยงบนอาหารสูตร N<sub>6</sub> ที่เติม NAA ร่วมกับ BA เป็นเวลา 10 วัน (ก และ ข) 15-20 วัน (ค และ ง) และ 30 วัน (จ และ ฉ)

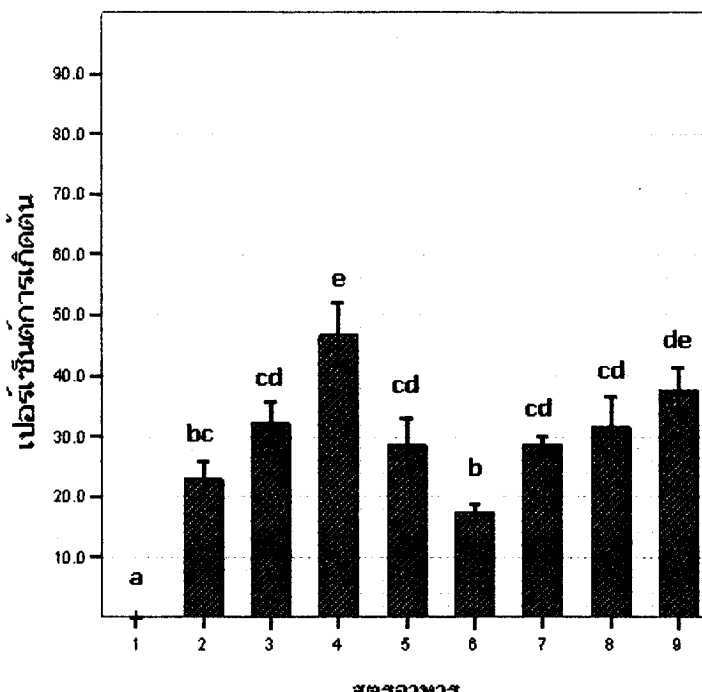


(ก)

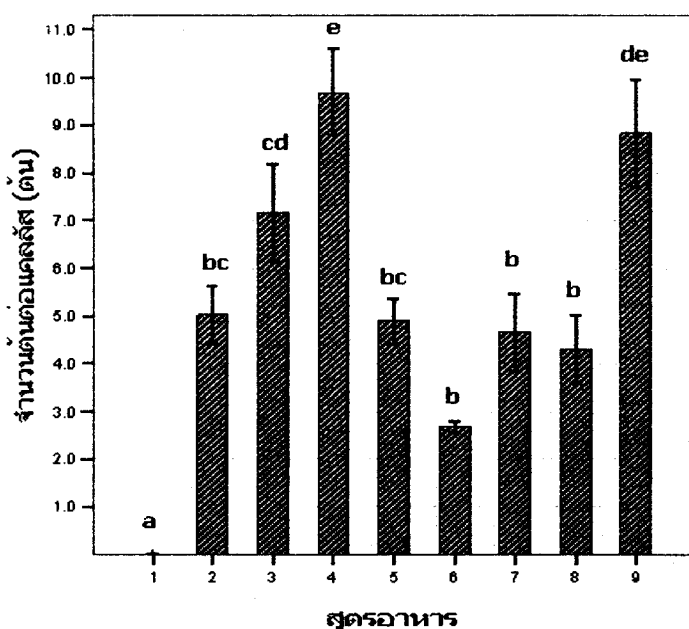


(ข)

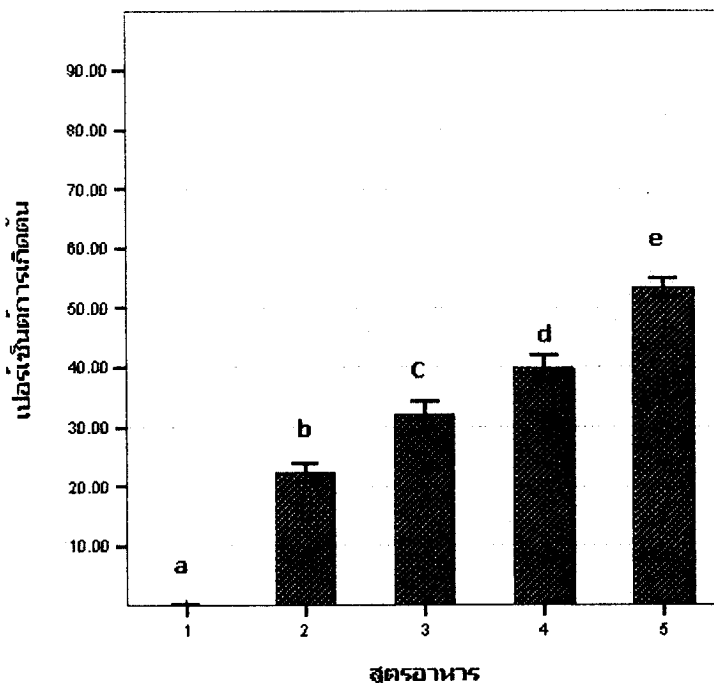
ภาพที่ 7 ลักษณะการเจริญเป็นต้นใหม่ของแคลลัสข้าวพันธุ์ชั้นนาท 1 (ก) และห้อมสุพรรณบุรี (ข) บนอาหารสูตร N<sub>6</sub> ที่เติม NAA ร่วมกับ BA ความเข้มข้นต่างๆ เป็นเวลา 45 วัน  
 สูตรที่ 1=ไม่เติมสารควบคุมการเจริญเติบโต  
 สูตรที่ 3= NAA 2.5  $\mu$ M +BA 9  $\mu$ M  
 สูตรที่ 5= NAA 2.5  $\mu$ M +BA 18  $\mu$ M  
 สูตรที่ 7= NAA 5  $\mu$ M +BA 9  $\mu$ M  
 สูตรที่ 9= NAA 5  $\mu$ M +BA 18  $\mu$ M  
 สูตรที่ 2= NAA 2.5  $\mu$ M +BA 4.5  $\mu$ M  
 สูตรที่ 4= NAA 2.5  $\mu$ M +BA 13.5  $\mu$ M  
 สูตรที่ 6= NAA 5  $\mu$ M +BA 4.5  $\mu$ M  
 สูตรที่ 8= NAA 5  $\mu$ M +BA 13.5  $\mu$ M



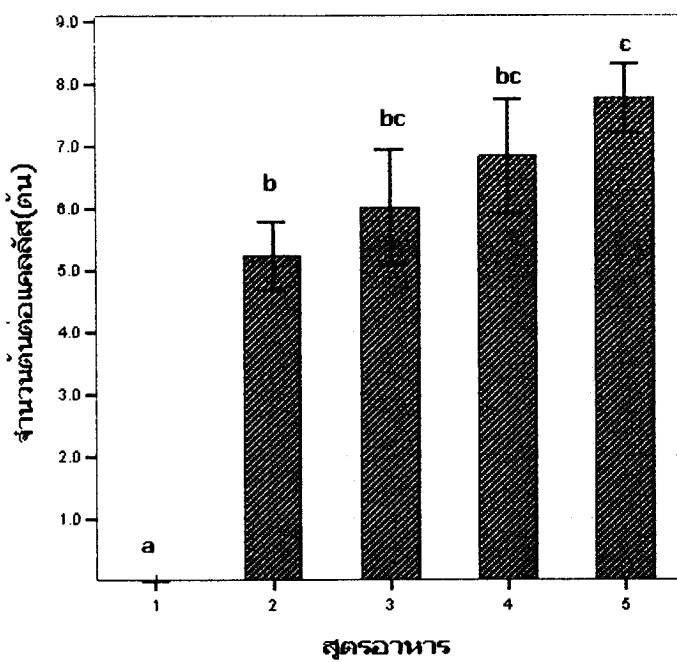
ภาพที่ 8 แผนภูมิแสดงเปอร์เซ็นต์การเกิดต้นใหม่จากการเพาะเลี้ยงแคลลัสข้าวพันธุ์ชัยนาท 1 บนอาหารสูตร N<sub>6</sub> ที่เติม NAA ร่วมกับ BA ความเข้มข้นต่างๆ



ภาพที่ 9 แผนภูมิแสดงจำนวนต้นต่อแคลลัสที่เจริญจากการเพาะเลี้ยงแคลลัสข้าวพันธุ์ชัยนาท 1 บนอาหารสูตร N<sub>6</sub> ที่เติม NAA ร่วมกับ BA ความเข้มข้นต่างๆ



ภาพที่ 10 แผนภูมิแสดงเปอร์เซ็นต์การเกิดต้นใหม่จากการเพาะเลี้ยงแคลลัสข้าวพันธุ์หอนสุพรรณบุรีบนอาหารสูตร N<sub>6</sub> ที่เติม NAA ร่วมกับ BA ความเข้มข้นต่างๆ



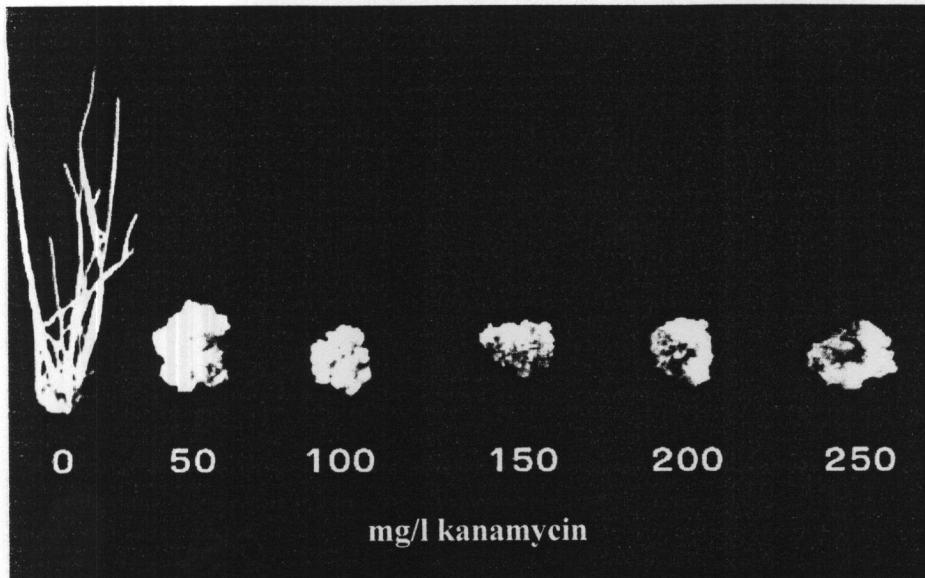
ภาพที่ 11 แผนภูมิแสดงจำนวนต้นต่อแคลลัสที่เจริญจากการเพาะเลี้ยงแคลลัสข้าวพันธุ์หอนสุพรรณบุรีบนอาหารสูตร N<sub>6</sub> ที่เติม NAA ร่วมกับ BA ความเข้มข้นต่างๆ

ผลการทดลองที่ 3.4 การศึกษาอิทธิพลของสารปฏิชีวนะก้านมัยชินและซีฟ์แทคซีนต่อแคลลัส  
ข้าวพันธุ์ชัยนาท 1 ในการเกิดต้นใหม่

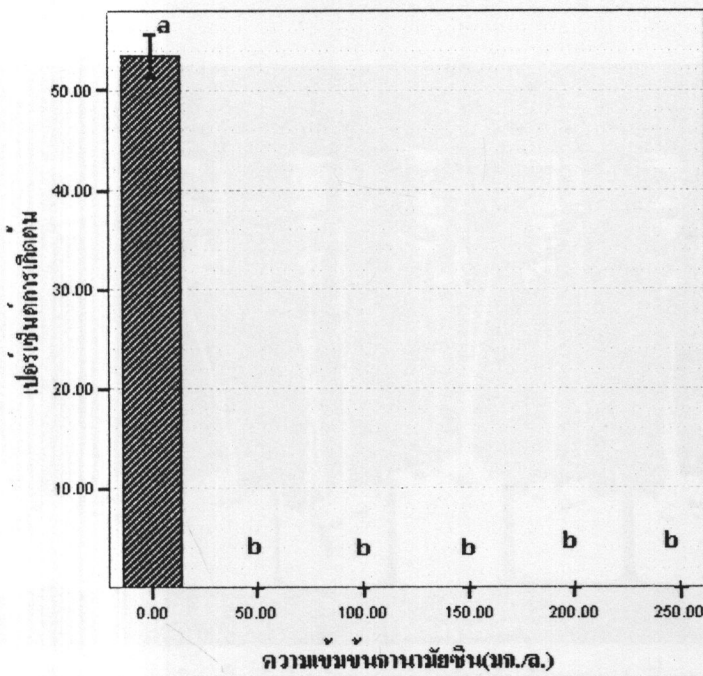
การเพาะเลี้ยงแคลลัสข้าวพันธุ์ชัยนาท 1 บนอาหารสูตรซักน้ำให้เกิดต้นที่เติมก้านมั่ยชินความเข้มข้นต่างๆ พบว่าแคลลัสที่เพาะเลี้ยงบนอาหารที่เติมก้านมั่ยชินความเข้มข้น 50 และ 100 มก./ล. ไม่สามารถเจริญเป็นต้นใหม่ได้แต่แคลลัสยังคงมีชีวิตรอด และแคลลัสที่เพาะเลี้ยงบนอาหารที่เติมก้านมั่ยชินที่ความเข้มข้น 150, 200 และ 250 มก./ล. เปเลี้ยงแปลงลักษณะเป็นสินั่ตตาลภัยในระยะเวลา 5-7 วัน และตายในที่สุด ดังแสดงผลในภาพที่ 12 จากการทดสอบอิทธิพลระหว่างความเข้มข้นของก้านมั่ยชินทุกคู่ต่ออัตราการเกิดต้นและจำนวนต้นต่อแคลลัสของข้าวพันธุ์ชัยนาท 1 โดยวิธี DMRT ที่ระดับนัยสำคัญ 0.05 พบร่วค่าเฉลี่ยที่กำกับด้วยตัวอักษรร่องกุ้งที่ต่างกัน มีค่าทางสถิติที่แตกต่างกัน (ภาพที่ 13 และ 14)

การเพาะเลี้ยงแคลลัสข้าวพันธุ์ชัยนาท 1 บนอาหารสูตรซักน้ำให้เกิดต้นที่เติมซีโฟแทคซึมความเข้มข้นต่างๆ พบว่าเมื่อเพาะเลี้ยงแคลลัสบนอาหารที่เติมซีโฟแทคซึมความเข้มข้น 50, 100 และ 150 มก./ล. เป็นเวลา 10-14 วัน แคลลัสเริ่มมีจุดสีเขียวเกิดขึ้นและเจริญเป็นต้นได้ภายใน 45 วัน โดยแคลลัสมีการเกิดต้นเท่ากับ  $53.03 \pm 1.6$ ,  $50.00 \pm 2.6$  และ  $45.00 \pm 2.7\%$  ตามลำดับ และมีจำนวนต้นต่อแคลลัสเท่ากับ  $8.67 \pm 0.7$ ,  $4.90 \pm 0.3$  และ  $5.30 \pm 0.4$  ต้นตามลำดับ ส่วนแคลลัสข้าวที่เพาะเลี้ยงบนอาหารที่เติมซีโฟแทคซึมความเข้มข้น 200, 250, 300 และ 350 มก./ล. เปลี่ยนแปลงลักษณะเป็นสีน้ำตาลเมื่อเพาะเลี้ยงเป็นระยะเวลา 10 วัน และแคลลัสบางส่วนตายในเวลาต่อมา โดยแคลลัสมีการเจริญเป็นต้นเท่ากับ  $37.53 \pm 4.4$ ,  $17.63 \pm 1.2$ ,  $14.26 \pm 1.4$  และ  $12.13 \pm 1.5\%$  ตามลำดับ และมีจำนวนต้นต่อแคลลัสเท่ากับ  $4.63 \pm 0.7$ ,  $3.10 \pm 0.4$ ,  $2.53 \pm 0.3$  และ  $1.33 \pm 0.3$  ต้น ตามลำดับ ตั้งแสดงผลในภาพที่ 15, 16 และ 17 จากการทดสอบอิทธิพลระหว่างความเข้มข้นของซีโฟแทคซึมต่ออัตราการเกิดต้นและจำนวนต้นต่อแคลลัสทุกคู่ โดยวิธี DMRT ที่ระดับนัยสำคัญ 0.05 พบว่าค่าเฉลี่ยที่กำกับด้วยตัวอักษรอังกฤษที่ต่างกันมีค่าทางสถิติที่แตกต่างกัน(ภาพที่ 16 และ 17)

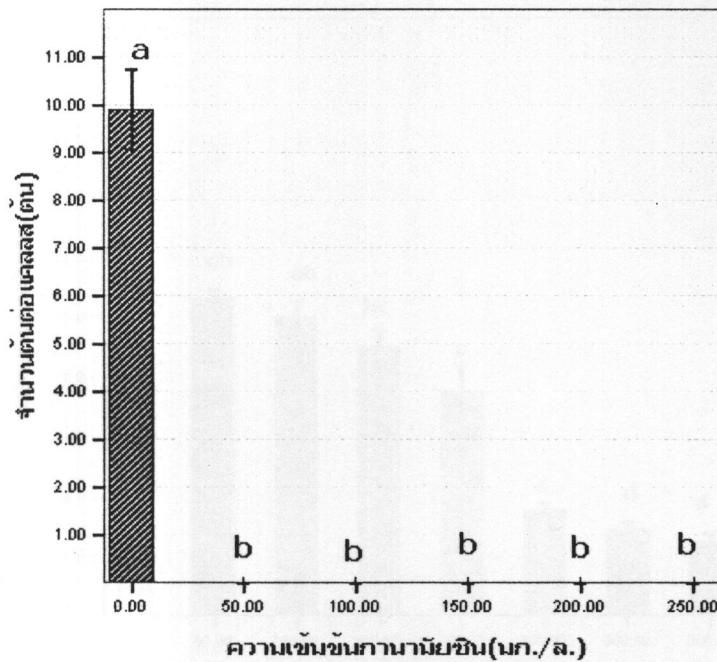
การเพาะเลี้ยงแคลลัสข้าวพันธุ์ชัยนาท 1 บนอาหารสูตรชักนำให้เกิดต้นที่ไม่เติมสารปฏิชีวนะพบว่า เมื่อเพาะเลี้ยงแคลลัสเป็นเวลา 10 วัน เริ่มน้ำดูดสีเขียวเกิดขึ้นบนแคลลัส และจุดสีเขียวเจริญเป็นต้นภาษาใน 30 วัน โดยมีการเจริญเป็นต้นเท่ากับ  $55.6 \pm 3.7\%$  และมีจำนวนต้นต่อแคลลัสเท่ากับ  $9.0 \pm 1.2$  ต้น



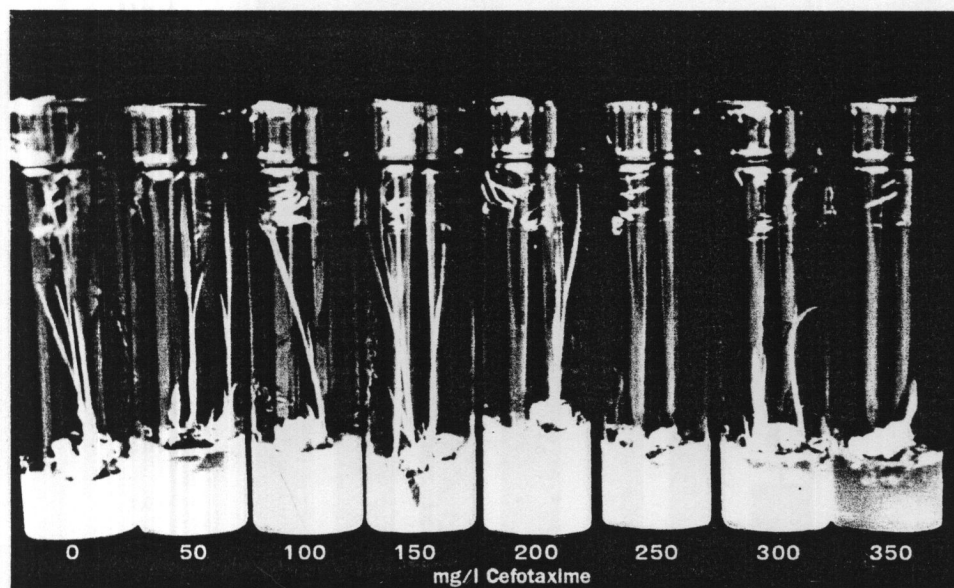
ภาพที่ 12 ลักษณะการเจริญเป็นต้นใหม่ของแคลลัสข้าวพันธุ์ชัยนาท 1 ที่เพาะเลี้ยงบนอาหารที่เติมการมั่ยขินความเข้มข้นต่าง ๆ



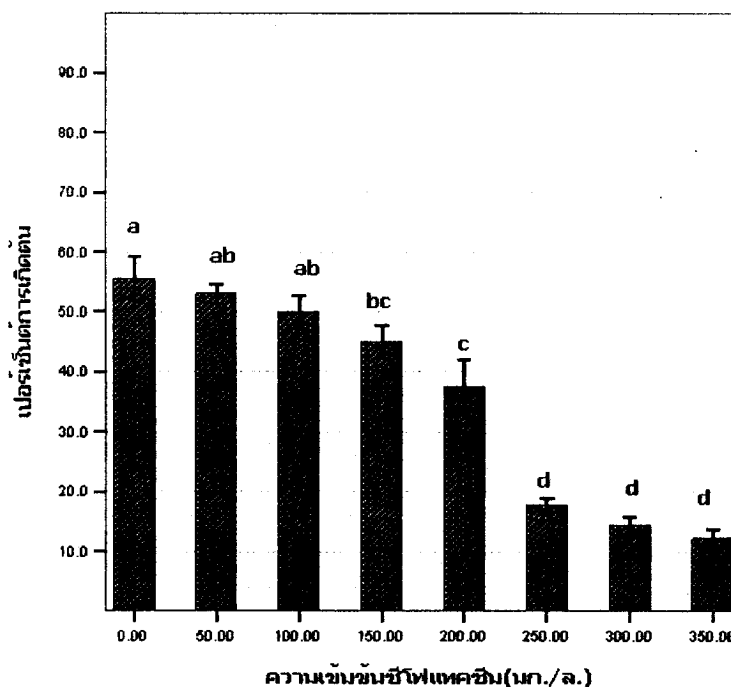
ภาพที่ 13 แผนภูมิแสดงเบอร์เซ็นต์การเกิดต้นของแคลลัสข้าวพันธุ์ชัยนาท 1 ที่เพาะเลี้ยงบนอาหารสูตรซักกนำให้เกิดต้นและเติมการมั่ยขินความเข้มข้นต่าง ๆ



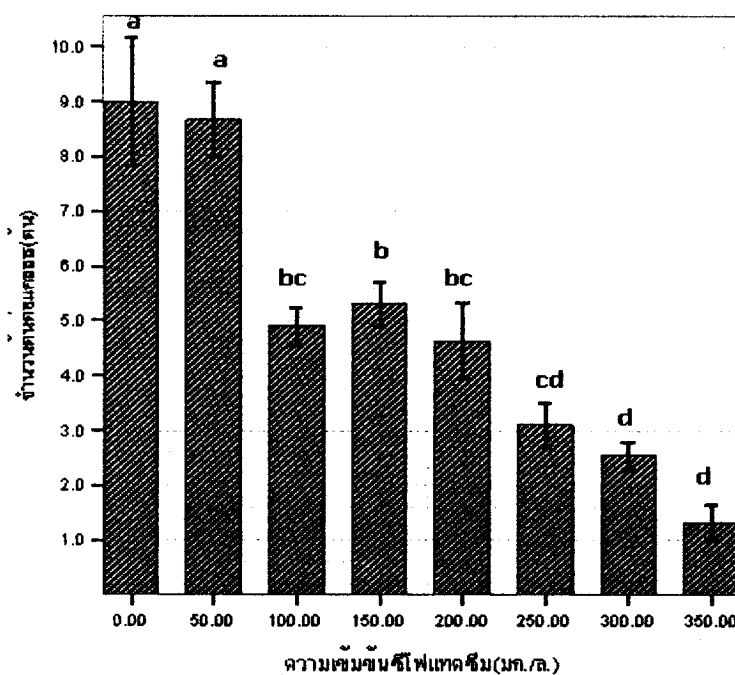
ภาพที่ 14 แผนภูมิแสดงจำนวนต้นต่อแคลลัสของแคลลัสข้าวพันธุ์ชัยนาท 1 ที่เพาะเลี้ยงบนอาหารสูตรซักน้ำให้เกิดต้นและเติมการน้ำมันยันความเข้มข้นต่าง ๆ



ภาพที่ 15 ลักษณะการเจริญเป็นต้นใหม่ของแคลลัสข้าวพันธุ์ชัยนาท 1 ที่เพาะเลี้ยงบนอาหารที่เติมซีโนฟแท็คซึมความเข้มข้นต่าง ๆ



ภาพที่ 16 แผนภูมิแสดงเปอร์เซ็นต์การเกิดตันของแคลลัสของพืชัยนาท 1 ที่เพาะเลี้ยงบนอาหารสูตรซักน้ำให้เกิดตันและเติมเชียโนฟีแทคซิมความเข้มข้นต่าง ๆ



ภาพที่ 17 แผนภูมิแสดงจำนวนตันต่อแคลลัสของพืชัยนาท 1 ที่เพาะเลี้ยงบนอาหารสูตรซักน้ำให้เกิดตันและเติมเชียโนฟีแทคซิมความเข้มข้นต่าง ๆ

### สรุปและวิจารณ์ผลการทดลอง

จากการศึกษาความเข้มข้นของสารละลายแคลเซียมไฮโปคลอไรต์และระยะเวลาที่เหมาะสมสำหรับการฟอกกำจัดเชื้อผิวเมล็ดข้าวพันธุ์ชัยนาท 1 และห้อมสุพรรณบุรี พบว่า สารละลายแคลเซียมไฮโปคลอไรต์ ความเข้มข้น 2% (w/v) และระยะเวลาฟอก 45 นาที มีประสิทธิภาพสูงที่สุดสำหรับการกำจัดสิ่งปนเปื้อนออกจากผิวของเมล็ดข้าวพันธุ์ชัยนาท 1 ส่วนความเข้มข้นของสารละลายแคลเซียมไฮโปคลอไรต์ที่เหมาะสมสำหรับการฟอกกำจัดเชื้อเมล็ดข้าวพันธุ์ห้อมสุพรรณบุรี คือ 1.5% (w/v) ระยะเวลาฟอก 45 นาที การปนเปื้อนของเชื้อจุลินทรีย์ (contamination) เป็นปัญหาสำคัญของการเพาะเลี้ยงเนื้อเยื่อพืช เนื่องจากทำให้พืชมีการเจริญลดลงและตาย (Leifert et al., 1989) การเลือกความเข้มข้นของสารฟอกกำจัดเชื้อและระยะเวลาฟอกที่เหมาะสมสำหรับการกำจัดเชื้อผิวภายนอกของเนื้อเยื่อพืชมีความสำคัญต่อประสิทธิภาพและความสำเร็จในการเพาะเลี้ยงเนื้อเยื่อพืช แคลเซียมไฮโปคลอไรต์เป็นสารเคมีที่นิยมใช้สำหรับการฟอกกำจัดเชื้อผิวภายนอก มีคุณสมบัติกำจัดแบคทีเรีย, ไวรัส และไขดูโพลามาได้อย่างมีประสิทธิภาพ การเพิ่มความเข้มข้นของสารฟอกกำจัดเชื้อและระยะเวลาฟอกจะทำให้ประสิทธิภาพในการกำจัดเชื้อเพิ่มขึ้น แต่อาจทำให้ความมีชีวิตของเซลล์พืชเกิดความเสียหายได้ จึงควรทดสอบหากความเข้มข้นและระยะเวลาที่เหมาะสมก่อน ความเข้มข้นของแคลเซียมไฮโปคลอไรต์ที่ใช้โดยทั่วไปคือ 9-10% ระยะเวลาฟอก 5-30 นาที สารเคมีอื่นๆ ที่นิยมใช้สำหรับการฟอกกำจัดเชื้อ ได้แก่ อัลกอโซล์ โซเดียมไฮโปคลอไรต์ ( $\text{Na(OCl}_2\text{)}$ ) และเมอคิวปริคลอไรต์ ( $\text{HgCl}_2$ ) (Bishnoi et al., 2000) การใช้น้ำยาฟอกกำจัดเชื้อมากกว่านึ่งชนิดในการฟอกกำจัดเชื้อสามารถเพิ่มประสิทธิภาพการกำจัดสิ่งปนเปื้อนได้ ซึ่งการศึกษารังนี้ได้แซ่เมล็ดข้าวในเอทานอล 70% เป็นเวลา 1 นาที ก่อนนำแซ่ในสารละลายแคลเซียมไฮโปคลอไรต์ Li et al. (1999) รายงานการฟอกกำจัดเชื้อผิวเมล็ดข้าวสาลีด้วยเอทานอล 70% (v/v) เป็นเวลา 1 นาที และสารละลายโซเดียมไฮโปคลอไรต์ 1% (w/v) เป็นเวลา 20 นาที Afza et al. (2000) ฟอกกำจัดเชื้อผิวของรวงข้าวด้วยเอทานอล 70% (v/v) เป็นเวลา 20 วินาที และสารละลายคลอรอกซ์ 10% (v/v) เป็นเวลา 10 นาที Chuenboonngarm et al. (2001) รายงานการฟอกกำจัดเชื้อปลาด้วยต้นมะลิโดยนำปลาด้วยตัวเองในสารละลายคลอรอกซ์ 15% (v/v) เป็นเวลา 10 นาที และสารละลายคลอรอกซ์ 10% (v/v) อีกเป็นเวลา 10 นาที

จากการศึกษาอิทธิพลของ 2,4-D ต่อการซักนำเมล็ดข้าวพันธุ์ชัยนาท 1 และห้อมสุพรรณบุรีให้เกิดแคลลัสพบว่า อาหารสูตร N<sub>6</sub> ดัดแปลงที่เติมน้ำตาลซูครอส 2% (w/v) ร่วมกับ 2,4-D ความเข้มข้น 22.5  $\mu\text{M}$  มีประสิทธิภาพสูงที่สุดในการซักนำเมล็ดข้าวพันธุ์ชัยนาท 1 ให้เจริญเป็นแคลลัส โดยเมล็ดมีการเกิดแคลลัสเท่ากับ 92.67% และมีน้ำหนักสดเฉลี่ยเท่ากับ 0.1 ก. สำหรับสูตรอาหารที่เหมาะสมต่อการซักนำเมล็ดข้าวพันธุ์ห้อมสุพรรณบุรีเจริญเป็นแคลลัสคืออาหารที่เติม 2,4-D ความเข้มข้น 18  $\mu\text{M}$  โดยเมล็ดมีการเกิดแคลลัสเท่ากับ 90.9% เนื้อเยื่อพืชที่เหมาะสมสำหรับนำมาเพาะเลี้ยงให้เกิดแคลลัสต้องเป็นเนื้อเยื่อที่มีเซลล์เจริญ

(meristematic cells) ได้แก่ ราก ปลายยอด และเนื้อเยื่อบริเวณข้อ (Bhaskaran and Smith, 1990) Maeda (1980) รายงานว่าคัพภะข้าวส่วนใหญ่สร้างแคลลัสจากเนื้อเยื่อ scutellum และจากการศึกษาพบว่าสามารถชักนำการสร้างแคลลัสข้าวพันธุ์ชัยนาท 1 และหอมสุพรรณบุรีให้เกิดแคลลัสได้จากบริเวณคัพภะ จึงกล่าวได้ว่าเนื้อเยื่อ scutellum เป็นเซลล์เจริญที่เหมาะสมต่อการชักนำให้เกิดแคลลัส มีรายงานการชักนำเนื้อเยื่อส่วนอื่นของข้าวให้เกิดแคลลัส Oinam and Kothari (1995) รายงานว่าการเพาะเลี้ยงในอ่อนของข้าวพันธุ์ CH1039 อายุ 3-7 วัน ให้เกิดแคลลัสบนอาหารสูตร MS ที่เติม 2,4-D ความเข้มข้น 2.5 mg./l. โดยแคลลัสมีลักษณะเป็น embryogenic callus และ non-embryogenic callus Davinder et al.(1993) รายงาน ความสำเร็จในการเพาะเลี้ยงคัพภะแก่ ช่อดอกอ่อน(immature panicle) และอับเรณูของข้าวพันธุ์ Basmati 370 และ Pusa Basmati ให้เกิดแคลลัสได้บนอาหารที่เติมไคโนร่วมกับสารประกอบอินทรีย์อื่น ๆ เช่น สารสกัดจากเยลล์ โรโบฟลาวิน(riboflavin) ทริปโตเฟน น้ำมะพร้าวและเคชีนไฮโดรไลส์ท

2,4-D เป็นสารควบคุมการเจริญเติบโตในกลุ่มออกซิน นิยมเติมในอาหารเพาะเลี้ยง แคลลัสเพื่อเพิ่มจำนวนแคลลัสและรักษาสภาพการเลี้ยงแคลลัส แต่อย่างไรก็ตามมีรายงานว่า 2,4-D มีคุณสมบัติยับยั้งการเกิดเป็นต้นใหม่จากแคลลัส และกระบวนการกำเนิดคัพภะของแคลลัส (Mitsuoka et al., 1994) กลไกการทำงานของ 2,4-D ใน embryogenic plant cell ยังไม่เป็นที่เข้าใจอย่างแน่ชัด แต่เชื่อว่า auxin carrier ทำหน้าที่ลำเลียง 2,4-D เข้าสู่เซลล์พิช (Debarre et al., 1996) ความเข้มข้นของ 2,4-D ในอาหารเพาะเลี้ยงที่เหมาะสมสำหรับชักนำ เมล็ดข้าวให้เกิดแคลลัสแตกต่างกันในข้าวแต่ละสายพันธุ์ Kunanuvatchaidach et al.(1995) ศึกษาการชักนำเมล็ดข้าวอินดิการจำนวน 6สายพันธุ์ คือ Kurkaruppan, FR13A, ข้าวดอกมะลิ 105, น้ำสะกุย และปั่นแก้ว 56 บนอาหารสูตร MS ที่เติม 2,4-D ความเข้มข้น 10 μM และรายงานว่าประสิทธิภาพของการชักนำเมล็ดข้าวให้เกิด embryogenic callus ขึ้นอยู่กับชนิดของพิช การศึกษาครั้นนี้พบว่าเมล็ดข้าวพันธุ์ชัยนาท 1 มีการการเกิดแคลลัสสูงที่สุดเท่ากับ 100% เมื่อเพาะเลี้ยงบนอาหารที่เติม 2,4-D ความเข้มข้น 22.5 μM ส่วนเมล็ดข้าวพันธุ์ หอมสุพรรณบุรีมีการการเกิดแคลลัสสูงที่สุดเท่ากับ 98% เมื่อเพาะเลี้ยงบนอาหารที่เติม 2,4-D ความเข้มข้น 18 μM ซึ่งใกล้เคียงกับผลการศึกษาของ Kucherenko(1993) รายงานเพาะเลี้ยง เมล็ดข้าวจาปอนิกจำนวน 6สายพันธุ์ บนอาหารที่เติมสารควบคุมการเจริญเติบโตชนิดต่าง ๆ และรายงานว่าเมล็ดข้าวมีการเกิดแคลลัสเท่ากับ 100% เมื่อเพาะเลี้ยงบนอาหารที่เติม 2,4-D ความเข้มข้น 4 mg./l. Yang et al.(1999) รายงานการเพาะเลี้ยงเมล็ดข้าวพันธุ์ Taipei 309 ให้สร้างแคลลัสบนอาหารสูตร N<sub>6</sub> ที่เติม 2,4-D ความเข้มข้น 9.05 μM ในที่มีด แต่แคลลัสที่เกิดขึ้นมีลักษณะไม่像个ตัวกัน และพัฒนาเป็น somatic embryo ได้น้อย จึงทำให้แคลลัสมีการเจริญเป็นต้นใหม่ได้ต่ำ Jose Pons et al.(2000) รายงานการเพาะเลี้ยงเมล็ดข้าวพันธุ์ Senia, Tebre และ Bahia ให้สร้างแคลลัสได้ในอาหารที่เติม 2,4-D ความเข้มข้น 2 mg./l. Zhang

*et al.* (1996) รายงานการเพาะเลี้ยงคัพภะข้าวจากไปนิการพันธุ์ Aikoku, Sen-ichi และ Moritatawase บนอาหารที่เติม 2,4-D ความเข้มข้น 3 มก./ล.

มีรายงานการซักน้ำคัพภะข้าวให้สร้างแคลลัสบนอาหารที่เติม 2,4-D ร่วมกับสารควบคุม การเจริญเติบโตบางชนิด Marassi *et al.* (1996) รายงานว่าอาหารสูตร MS ที่เติม 2,4-D ความเข้มข้น 0.5 มก./ล. ร่วมกับ 2ip ความเข้มข้น 0.1 มก./ล. เป็นสูตรอาหารที่เหมาะสม ต่อการซักน้ำเมล็ดข้าวพันธุ์ Basmati 370 ให้สร้างแคลลัส Lutts *et al.* (1999) รายงานการ เพาะเลี้ยงคัพภะข้าวจากไปนิการพันธุ์ I Kong และ Pao Aiwa และข้าวอินดิกาพันธุ์ IR2153 และ Nona Bokra บนอาหารที่เติม 2,4-D ความเข้มข้น 0.5 มก./ล., NAA ความเข้มข้น 1 มก./ล. และ BA ความเข้มข้น 1 มก./ล. โดยแคลลัสมีการเกิด embryogenic callus เท่ากับ 62.4-76.5%

จากการศึกษาอิทธิพลของสารควบคุมการเจริญเติบโต NAA และ BA ต่อแคลลัสข้าวพันธุ์ชัยนาท 1 และหอมสุพรรรณบุรีต่อการเกิดต้นใหม่พบว่า สูตรอาหารที่เหมาะสมต่อการซักน้ำแคลลัสข้าวพันธุ์ชัยนาท 1 ให้เจริญเป็นต้นใหม่คือ อาหารสูตร N<sub>6</sub> ที่เติมน้ำตาลซูโคโรส 2% (w/v), NAA 2.5 μM, BA 13.5 μM และผงวุ้น 0.8% (w/v) โดยแคลลัสมีการเกิดต้น เท่ากับ 46.76% และมีจำนวนต้นต่อแคลลัสเท่ากับ 9.7 ต้น และสูตรอาหารที่เหมาะสมต่อการ-ซักน้ำแคลลัสข้าวพันธุ์หอมสุพรรรณบุรีให้เจริญเป็นต้นใหม่คือ อาหารสูตร N<sub>6</sub> ที่เติมน้ำตาล ซูโคโรส 2% (w/v), NAA 2.5 μM, BA 18 μM และผงวุ้น 0.8% (w/v) โดยแคลลัสมีการ เกิดต้นเป็นต้นใหม่เท่ากับ 53.3% และมีจำนวนต้นต่อแคลลัสเท่ากับ 7.7 ต้น แต่แคลลัสข้าวทั้งสองพันธุ์ที่เพาะเลี้ยงบนอาหารที่ไม่เติมสารควบคุมการเจริญเติบโตไม่สามารถเจริญเป็นต้นได้ ซึ่งไม่สอดคล้องกับผลการศึกษาของ Rueb *et al.* (1994) ซึ่งรายงานว่าการซักน้ำแคลลัสข้าวพันธุ์ Taipei 309 ให้เกิดต้นใหม่ได้บนอาหารที่ไม่เติมสารควบคุมการเจริญเติบโต โดยแคลลัสมีการ เกิดเป็นต้นใหม่เท่ากับ 93%

ผลการศึกษาพบว่าแคลลัสมีเปอร์เซ็นต์การเจริญเป็นต้นเพิ่มขึ้นตามอัตราส่วนระหว่าง NAA และ BA ในอาหารเพาะเลี้ยงที่เพิ่มขึ้น ซึ่งสอดคล้องกับการศึกษาของ Skoog and Miller (1957) ซึ่งกล่าวว่าสัดส่วนของออกซินและไซโทโคนินในอาหารเพาะเลี้ยงที่แตกต่างกันมีผลต่อ กระบวนการกำเนิดอวัยวะได้ต่างกัน โดยเมื่อมีสัดส่วนออกซินต่อไซโทโคนินสูงจะซักน้ำให้ แคลลัสพัฒนาไปเป็นราก แต่เมื่อสัดส่วนออกซินต่อไซโทโคนินต่ำจะซักน้ำแคลลัสให้เจริญ เป็นต้น Oinam and Kothari (1993) รายงานความสำเร็จในการซักน้ำแคลลัสของข้าวอินดิกา พันธุ์ Chambal, Himhan และ CH1039 ได้ด้วยการนำไปเพาะเลี้ยงบนอาหารที่เติม NAA ความเข้มข้น 0.1 มก./ล. ร่วมกับ BA ความเข้มข้น 1.0 มก./ล. Zhang *et al.* (1996) รายงาน การเพาะเลี้ยงแคลลัสข้าวจากไปนิการพันธุ์ Aikoku และ Sen-ichi ให้เกิดต้นใหม่ได้บนอาหารที่ เติม NAA ความเข้มข้น 2.5 มก./ล. ร่วมกับ KI ความเข้มข้น 8 มก./ล. โดยแคลลัสมีการเกิด ต้นเท่ากับ 85%

จากการศึกษาอิทธิพลของสารปฏิชีวนะกามมัยชินต่อแคลลัสข้าวพันธุ์ชัยนาท 1 ในการเกิดต้นใหม่พบว่า กามมัยชินที่ความเข้มข้น 50 มก./ล. เป็นความเข้มข้นต่ำที่สุดที่มีผลยับยั้งการเจริญเป็นต้นใหม่ของแคลลัสข้าว หลักการคัดเลือกพืชแปลงพันธุ์คือยับยั้งการเจริญของพืชปกติ โดยไม่ทำให้เกิดอันตรายต่อพืชแปลงพันธุ์ (Vasil, 1994) ในการส่งถ่ายยืนสู่พืชนิยมน้ำยืนที่มีคุณสมบัติต้านทานต่อสารปฏิชีวนะหรือสารกำจัดวัชพืชมาใช้เพื่อเป็นยืนคัดเลือก เมื่อจากพืชโดยทั่วไปไม่มียืนเหล่านี้ วิธีการคัดเลือกพืชแปลงพันธุ์ทำได้โดยนำพืชมาเพาะเลี้ยงบนอาหารที่เติมสารปฏิชีวนะหรือสารกำจัดวัชพืชในความเข้มข้นที่เหมาะสม พืชปกติซึ่งไม่มียืนที่กำหนดการสร้างความต้านทานต่อสารจะไม่สามารถมีชีวิตตอบอยู่บนอาหารได้ ทำให้การคัดเลือกมีประสิทธิภาพกามมัยชินเป็นสารปฏิชีวนะประเภทอะมิโนไกลโคลไซด์มีฤทธิ์ต่อไม้โกคอนเดรียและคลอร์โพรลาสต์ของพืช โดยสามารถจับกับ 30S subunit ของไรโนโซม ทำให้เซลล์พืชไม่สามารถแปลงรหัสและลอกรหัสเพื่อสร้างโปรตีนได้ พืชที่ได้รับกามมัยชินจะแสดงอาการเหลืองชีด เมื่อจากไม่สามารถสังเคราะห์คลอร์โพรฟิล์และตายในที่สุด มีรายงานการทดลองที่ใช้กามมัยชินเป็น selective agent ในพืชใบเลี้ยงเดี่ยวหอยชนิด เช่น ข้าวโพด (Gould et al., 1991; Lyznik et al., 1989), ข้าวสาลี (Hauptmann et al., 1988) และข้าว (Dekeyser et al., 1989; Gould et al., 1991; Peng et al., 1992)

การทดลองที่ 4.2 ในบทที่ 4 เป็นการส่งถ่ายยืนเข้าสู่ข้าวพันธุ์ชัยนาท 1 โดย *A. tumefaciens* และเวกเตอร์ที่ใช้ในการศึกษามียืนต้านทานต่อสารปฏิชีวนะกามมัยชินเป็นยืนคัดเลือก จึงจำเป็นต้องศึกษาหากความเข้มข้นต่ำที่สุดของกามมัยชินที่มีผลยับยั้งการเกิดต้นใหม่ของข้าวพันธุ์ชัยนาท 1 เพื่อนำไปใช้ในขั้นตอนการคัดเลือกข้าวแปลงพันธุ์ออกจากข้าวปกติ และจากการศึกษาพบว่ากามมัยชินความเข้มข้น 50 มก./ล. เป็นความเข้มข้นที่เหมาะสมสำหรับการคัดเลือกแคลลัสและต้นข้าวพันธุ์ชัยนาท 1 แปลงพันธุ์ที่ต้านทานต่อกามมัยชิน มีรายงานการคัดเลือกข้าวแปลงพันธุ์สายพันธุ์ต่างๆ ในอาหารคัดเลือกที่เติมกามมัยชินความเข้มข้นแตกต่างจากผลการทดลองครั้งนี้ Chan et al.(1992) รายงานการส่งถ่ายยืนคัดเลือกกามมัยชินเข้าสู่แคลลัสของข้าวอินดิกาพันธุ์ Taichung Native1 โดย *A. tumefaciens* และคัดเลือกแคลลัสแปลงพันธุ์ออกจากแคลลัสปกติได้บนอาหารที่เติมกามมัยชินความเข้มข้น 20 มก./ล.

จากการศึกษาอิทธิพลของสารปฏิชีวนะชีไฟแทคซิมต่อแคลลัสข้าวพันธุ์ชัยนาท 1 ในการเกิดต้นใหม่พบว่าชีไฟแทคซิมที่ 250 มก./ล. เป็นความเข้มข้นต่ำที่สุดที่มีผลยับยั้งการเจริญเป็นต้นใหม่ของแคลลัส โดยแคลลัสเจริญเป็นต้นได้  $17.63 \pm 1.2\%$  ใน การส่งถ่ายยืนเข้าสู่พืชโดย *A. tumefaciens* ภายหลังการบ่มเนื้อเยื่อพืชร่วมกับ *A. tumefaciens* จำเป็นต้องกำจัด *A. tumefaciens* ออกจากเนื้อเยื่อพืช เนื่องจากการพืชที่ติดเชื้อ *A. tumefaciens* เป็นเวลานานจะมีการเจริญต่ำและตายในที่สุด ชีไฟแทคซิมเป็นสารปฏิชีวนะที่ใช้ในการกำจัด *A. tumefaciens* ที่มีประสิทธิภาพ แต่อย่างไรก็ตามการเติมสารปฏิชีวนะที่มีฤทธิ์ยับยั้งการเจริญของ

*A. tumefaciens* ในอาหารเพาะเลี้ยงอาจส่งผลเสียต่อการเจริญของเนื้อเยื่อได้เช่นกัน (Barrett and Cassells, 1994) ดังนั้นการเติมซีฟิแทคซีนในอาหารเพาะเลี้ยงเพื่อกำจัด *A. tumefaciens* ออกจากแคลลัสของข้าวพันธุ์ชัยนาท 1 จึงควรเลือกใช้ที่ความเข้มข้นต่ำกว่า 250 มก./ล. ซึ่งเป็นความเข้มข้นที่ไม่ส่งผลเสียต่อการเจริญของแคลลัสมากนัก แต่อย่างไรก็ตามจำเป็นต้องมีการศึกษาผลของสารปฏิชีวนะชนิดเดียวกันนี้ที่มีต่อการเจริญของ *A. tumefaciens* ด้วยเพื่อให้ทราบความเข้มข้นต่ำที่สุดที่สามารถกำจัด *A. tumefaciens* อย่างมีประสิทธิภาพและเป็นความเข้มข้นที่ไม่ยับยั้งการเจริญเป็นต้นใหม่ของแคลลัสข้าว ผลการทดลองในครั้งนี้สอดคล้องกับรายงานของ Nauerby et al.(1997) ที่รายงานว่าอาหารเพาะเลี้ยงที่เติมซีฟิแทคซีนและคาบินิชิลินความเข้มข้น 1000 มก./ล. มีผลยับยั้งการเกิดต้นและรากของแคลลัสยาสูบพันธุ์ Petit Havana แต่ Severin and Schoeffl (1990) รายงานการกำจัด *A. tumefaciens* ออกจากเนื้อเยื่อใบยาสูบโดยนำใบยาสูบไปเพาะเลี้ยงบนอาหารที่เติมซีฟิแทคซีนความเข้มข้น 500 มก./ล. พบร่วมสามารถกำจัด *A. tumefaciens* ได้อย่างมีประสิทธิภาพโดยไม่มีผลใด ๆ ต่อการเจริญของยาสูบ

## บทที่ 4

### การส่งถ่ายยีน

#### บทนำ

การส่งถ่ายยีนเข้าสู่พืชแบ่งออกได้ 2 วิธี คือการส่งถ่ายยีนโดยวิธีตรง และการส่งถ่ายยีนโดยใช้ *A. tumefaciens* (สุมนทิพย์ บุนนาค, 2541) รายงานความสำเร็จในการสร้างต้นข้าวแปลงพันธุ์ในระยะแรกเกิดจากการส่งถ่ายยีนโดยวิธีตรง เช่น การใช้สารเคมี PEG, การใช้กระรสไฟฟ้า และการใช้เครื่องยิง การใช้สารเคมี PEG และการใช้กระรสไฟฟ้าต้องนำโพโรไทพลาสต์มาใช้เป็นเป้าหมายสำหรับการส่งถ่ายยีน ทำให้ประสบปัญหาในขั้นตอนการซักนำโพโรไทพลาสต์ให้เกิดต้น และต้นที่ซักนำให้เกิดจากโพโรตอพลาสต์มักมีลักษณะผิดปกติ (Datta et al., 1992b) มีรายงานว่าพืชแปลงพันธุ์ที่ได้รับการส่งถ่ายยีนโดยการยิงกระสุนมีการสอดแทรกของยีนแปลก-ปลอมในจีโนมพืชหลายล้านเนาและมีการจัดเรียงตัวใหม่ของยีนแปลกปลอม ทำให้การแสดงออกของยีนในพืชแปลงพันธุ์มีความไม่เสถียร (Tada et al., 1990; Aldemita and Hodges, 1996)

*A. tumefaciens* เป็นแบคทีเรียแกรมลบ ก่อโรค crown gall ในพืชใบเลี้ยงคู่ได้ เนื่องจากภายในเซลล์มีพลาสมิดขนาดใหญ่ เรียกว่า tumor inducing(Ti) plasmid พลาสมิดชนิดนี้ประกอบด้วยบริเวณที่สำคัญ เรียกว่า T-DNA ซึ่งเป็นบริเวณที่มีรหัสสำหรับการสร้างยอร์โรมน์ออกซินและไซโทไนนิน T-DNA สามารถเคลื่อนย้ายเข้าสู่เซลล์พืชและสอดแทรกในโครโนมิซึ่งได้ จึงทำให้เซลล์พืชมีการแบ่งตัวอย่างผิดปกติและเกิดลักษณะปูมปุ่มขึ้น ความสามารถตามธรรมชาติของ *A. tumefaciens* ได้ถูกนำมาดัดแปลงใช้เพื่อการส่งถ่ายยีนในพืชอย่างแพร่หลาย มีรายงานว่าการส่งถ่ายยีนสู่พืชโดย *A. tumefaciens* เป็นเทคนิคทางพันธุวิศวกรรมที่มีประสิทธิภาพสูงกว่าการส่งถ่ายยีนโดยวิธีตรง เนื่องจากบริเวณ T-DNA มีขอบเขตที่แน่นอน ดังนั้นเมื่อ T-DNA สอดแทรกในจีโนมพืชจึงไม่มีการจัดเรียงตัวใหม่ของยีนแปลกปลอม (Dong et al., 1996) การศึกษาในบทนี้ได้ทำการทดลองเพื่อส่งถ่ายยีนเข้าสู่ข้าวพันธุ์ชัยนาท 1 และห้อมสุพรรณบุรี โดย *A. tumefaciens* และวิธียิงกระสุน และยืนยันผลการสอดแทรกของยีนแปลกปลอมในต้นข้าวแปลงพันธุ์ด้วยเทคนิค PCR รวมทั้งศึกษาการถ่ายทอดยีนแปลกปลอมจากต้นข้าวแปลงพันธุ์สู่รุ่นลูก

## อุปกรณ์และวิธีการทดลอง

### การทดลองที่ 4.1 การศึกษาอิทธิพลของสารปฏิชีวนะซีฟแทคซึมและคابินิชินลินต่อการเจริญของ *A. tumefaciens*

นาโคลอนีเดียวของ *A. tumefaciens* ทั้งสองสายพันธุ์มาเลี้ยงในขวดรูปทรงพู่ที่มีอาหารเหลว LB ปริมาตร 20 มล. โดยเลี้ยง *A. tumefaciens* LBA4404 (pBI121) ในอาหารที่เติมกานามัยชินความเข้มข้น 100 มล./ล. ร่วมกับสเตรปโตมัยชินความเข้มข้น 25 มล./ล. และเลี้ยง *A. tumefaciens* EHA105 (pCAMBIA1301) ในอาหารที่เติมไฮโกรมัยชินความเข้มข้น 50 มล./ล. ร่วมกับกานามัยชินความเข้มข้น 50 มล./ล. นำขวดรูปทรงพู่วางบนเครื่องเพาะที่ความเร็ว 100 rpm อุณหภูมิห้อง จนกระทั้งวัดค่าดูดกลืนแสงที่ 600 nm ได้เท่ากับ 1.0 ไปเปตเซ็อจำนวน 100 μl ใส่บนจานแก้วที่มีอาหารแข็ง LB (เติมสารปฏิชีวนะชนิดเดียวกัน) และใช้แท่งแก้วที่ดัดเป็นรูปสามเหลี่ยมปิดเชือให้กระจายทั่วจานเพาะเชือ ทิ้งไว้จนกระทั้งแห้งน้ำกระดาษกรอง Whatman No.1 ขนาดเส้นผ่านศูนย์กลาง 0.5 ซม. จุ่มลงในสารละลายซีฟแทคซึมและคابินิชินความเข้มข้น 0, 50, 100, 150, 200 และ 250 มก./ล. แล้ววางลงในจานเพาะเชือ นำไปเพาะเลี้ยงที่อุณหภูมิ 28°c. เป็นเวลาข้ามคืน บันทึกความยาวจากขอบกระดาษกรองถึงขอบของวงใส (zone of inhibition)

### การทดลองที่ 4.2 การส่งถ่ายยีนสู่ข้าว

#### 4.2.1 การส่งถ่ายยีนเข้าสู่ข้าวโดย *A. tumefaciens*

ในการศึกษานี้ใช้ *A. tumefaciens* สายพันธุ์สำหรับการส่งถ่ายยีนเข้าสู่พืชได้แก่ LBA4404 (pBI121) และ EHA105 (pCAMBIA1301) (ภาพที่ 18 และ 19) โดยนาโคลอนีเดียวของอะโกรเบคที่เริ่มทั้งสองสายพันธุ์มาเลี้ยงในขวดรูปทรงพู่ที่มีอาหารเหลว LB ปริมาตร 20 มล. โดยเลี้ยง LBA4404 (pBI121) ในอาหารที่เติมกานามัยชินความเข้มข้น 100 มล./ล. และ สเตรปโตมัยชินความเข้มข้น 25 มล./ล. และเลี้ยง EHA105 (pCAMBIA1301) ในอาหารที่เติมไฮโกรมัยชินความเข้มข้น 50 มล./ล. และกานามัยชินความเข้มข้น 50 มล./ล. นำขวดมาวางบนเครื่องเพาะที่ความเร็ว 100 rpm ที่อุณหภูมิห้อง จนกระทั้งวัดค่าดูดกลืนแสงที่ 600 nm ได้เท่ากับ 1.0 นำเมล็ดข้าวที่ผ่านการฟอกกำจัดเชือแล้ววางลงในจานเพาะเชือที่มีสารแ xenobiotic ที่เรีย เข่าจากเพาะเชือเบาๆ เป็นเวลา 1 นาทีแล้วแซเมล็ดทิ้งไว้ 60 นาที ที่อุณหภูมิห้อง ชับเมล็ดให้แห้งด้วยกระดาษกรอง Whatmann No.1 ฝ่าเชือ แล้วนำเมล็ดไปเพาะเลี้ยงบนอาหารสูตร N<sub>6</sub> ที่เติมน้ำตาลซูโครส 2%, 2,4-D ความเข้มข้น 22.5 μM และผงวุ้น 0.8% (w/v) (pH = 5.8) ภายใต้ความเข้มแสง 1,000 ลักซ์ ช่วงแสง 16 ชั่วโมงต่อวัน อุณหภูมิ 25°c. เป็นเวลา 3 วัน และกำจัด *A. tumefaciens* ออกจากเนื้อเยื่อพืชโดยนำเมล็ดไปแช่ในน้ำกลันฝ่าเชือที่เติมซีฟแทคซึม

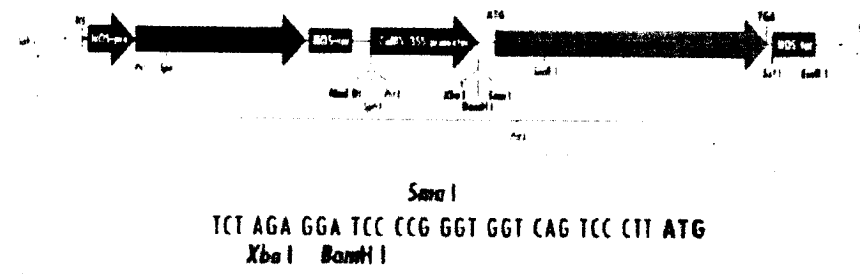
ความเข้มข้น 250 มล./ล. เป็นเวลา 15 นาที ซับเมล็ดให้แห้งด้วยกระดาษกรอง Whatmann No.1 ผ่าเชือกครึ่ง แล้วข้ายเมล็ดที่ได้รับการส่งถ่ายยืนผ่าน *A. tumefaciens* LBA4404 (pBI121) ไปเลี้ยงบนอาหารสูตรเดิมที่เติมชีฟォแทกซ์มความเข้มข้น 250 มล./ล. ร่วมกับการน้ำมายซินความเข้มข้น 50 มล./ล. ส่วนเมล็ดที่ได้รับการส่งถ่ายยืนผ่าน *A. tumefaciens* EHA105 (pCAMBIA1301) นำไปเลี้ยงบนอาหารสูตรเดียวกันที่เติมชีฟォแทกซ์มความเข้มข้น 250 มล./ล. ร่วมกับไขโกรมายซินเข้มข้น 20 มล./ล. เป็นเวลา 1 เดือน โดยเปลี่ยนอนาหารใหม่ทุก 2 สัปดาห์ จากนั้นนำแคลลัสที่รอดชีวิตไปเพาะเลี้ยงให้เจริญเป็นต้นใหม่บนอาหารสูตร N<sub>6</sub> ที่เติมน้ำตาลซูโคส 2% (w/v), NAA ความเข้มข้น 2.5 μM, BA ความเข้มข้น 13.5 μM และผงวุ่น 0.8% (w/v) (pH = 5.8) และเติมสารปฏิชีวนะเซ่นเดียวกับอาหารสูตรเดิม ภายใต้ความเข้มแสง 1,000 ลักซ์ ช่วงแสง 16 ชั่วโมง/วัน อุณหภูมิ 25°ช.

#### **4.2.2 การตรวจสอบการแสดงออกของยีน *gus* โดยวิธี *gus assay***

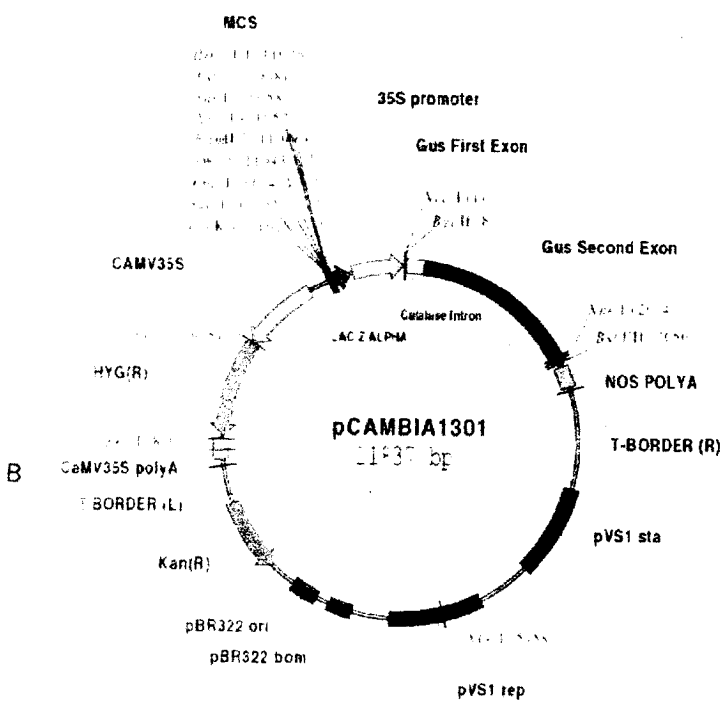
นำชิ้นเนื้อเยื่อที่ต้องการตรวจสอบ ซึ่งได้แก่ แคลลัสและใบข้าว มาซับด้วยกระดาษกรองให้แห้ง ใส่ในหลอดไมโครเซนติพิวต์ แล้วเติม X-gluc assay buffer ให้ท่วมเนื้อเยื่อ นำไปบ่มที่อุณหภูมิ 37°ช. เป็นเวลา 12 ชั่วโมง สำหรับใบข้าวให้นำแช่ในเอทานอล 95% จนกระทั่งไม่มีเสียงของคลอร์ฟิลล์ จึงตรวจสอบสีของเนื้อเยื่อ

#### **4.2.3 การตรวจสอบผลการส่งถ่ายยืนด้วยเทคนิค polymerase chain reaction (PCR)**

นำใบจากต้นข้าวพันธุ์ชัยนาท 1 แปลงพันธุ์ที่ต้านทานต่อการน้ำมายซิน และใบจากต้นข้าวพันธุ์ชัยนาท 1 ควบคุม มาสกัดดีเอ็นเอด้วยวิธี CTAB method เพื่อใช้เป็นต้นแบบสำหรับการตรวจสอบ ดีเอ็นเอเริ่มต้นที่ใช้สำหรับการทำ PCR คือ CaMV35S(5'-GCTCCTACAAATGCCATCA-3' และ 5'-GATAGTGGGATTGTGCGTCA-3') และ สภาวะของการทำ PCR คือ pre-denaturation ที่ 94°ช./3 นาที จำนวน 1 รอบ; denaturation 94°ช./20 วินาที, annealing ที่ 50°ช./40 วินาที, extension 72°ช./60 วินาที จำนวนรอบ 40 รอบ; final extension 72°ช./3 นาที จำนวน 1 รอบ และ cooling phase 4°ช./1 นาที ตรวจวิเคราะห์ผลการทำ PCR ด้วยเทคนิคอิเล็กโทรโฟรีซิส (electrophoresis)



ภาพที่ 18 โครงสร้างพลาสมิດ pBI121 (Clontech Laboratories, 1994)



ภาพที่ 19 โครงสร้าง T-DNA ของพลาสมิດ pCambia1301 (Clontech Laboratories, 1994)

## การทดลองที่ 4.3 การส่งถ่ายยีนสู่ข้าวโดยวิธียิงกระสุน

### 4.3.1 การสกัดพลาสมิด

เลี้ยง *A. tumefaciens* LBA4404(pBI121) ในอาหารเหลว LB ที่เติมก้านมั่ยชิน ความเข้มข้น 100 มก./ล และ สเตรปโตมัยชินความเข้มข้น 25 มก./ล. นานข้ามคืน ปีเปตเชื้อ ปริมาตร 1 มล. ใส่ในหลอดทดลองในโคลเรเซนทริฟิวจ์ แล้วนำไปปั่นเหวี่ยงด้วยความเร็วรอบ 3,000 rpm เป็นเวลา 10 นาที เพื่อให้แบคทีเรียแตกตัวก่อน ดูดของเหลวชั้นบนทึบไปแล้วลาก ตะกอน เชลแลค ที่เรียกว่า STB buffer ปริมาตร 100 μl เติมสารละลาย phenol:chloroform:isoamyl alcohol (25:24:1) ปริมาตร 100 μl และผสมให้เข้ากันด้วยเครื่อง vortex นำไปปั่นเหวี่ยงอีกครั้งที่ความเร็วรอบ 13,000 rpm เป็นเวลา 5 นาที ย้ายของเหลวชั้นบนใส่ในหลอดใหม่ แล้วเติมสารละลาย 10M ammonium acetate ลงไปให้มีความเข้มข้นสุดทั้งหมด 2M เติมเอทานอลเย็นจัด 2 เท่าของปริมาตรเดิม ผสมให้เข้ากัน แล้วนำไปแช่น้ำแข็งต่ออีก 15 นาที จึงนำไปปั่นเหวี่ยงที่ความเร็วรอบ 10,000 rpm เป็นเวลา 10 นาที เพื่อให้ตีเอนเอตกตะกอน ล้างตะกอนดีเอนเอด้วยเอทานอล 70% หลังผึ่งตะกอนดีเอนเอแห้งแล้ว ล้างตะกอนด้วย TE buffer 20 μl เติม RNase A (10 มก./ล.) 2 μl แล้วนำไปแช่อ่างน้ำอุ่นที่ 37°ช เป็นเวลา 30 นาที เก็บพลาสมิดตีเย็นเอาไว้ในตู้เย็น -20 °ช.

### 4.3.2 การเคลือบกระสุนด้วยตีเอนเอ

- ชั้นกระสุนทองคำขนาด 1 μm น้ำหนัก 30 มก. ใส่ในหลอดปั่นเหวี่ยงขนาด 1.5 มล. โดยเติมเอทานอล 70% ปริมาตร 1 มล. และผสมให้เข้ากันด้วยเครื่อง vortex เป็นเวลา 3-5 นาที ทิ้งกระสุนให้แห้งในเอทานอล 70% ต่อไปอีก 15 นาที แล้วนำไปปั่นเหวี่ยงอีก 5 วินาทีเพื่อให้กระสุนแตกตะกอน ดูดของเหลวชั้นบนทึบไป เติมน้ำกลั่นปริมาตร 1 มล. นำไปผสมให้เข้ากันด้วยเครื่อง vortex เป็นเวลา 1 นาที แล้วตั้งทึบไว้ 1 นาที จากนั้นนำไปปั่นเหวี่ยงเพื่อให้กระสุนแตกตะกอนดูดของเหลวชั้นบนทึบไป แล้วเติมกลีเซอรอล 50 % ปริมาตร 500 μl

- ดูดกระสุนทองคำที่อยู่ในสารละลายกลีเซอรอลปริมาตร 50 μl ใส่ในหลอดในโคลเรเซนทริฟิวจ์ แล้วเติมพลาสมิด (pBI121 และ pCAMBIA1301) ปริมาตร 5 μl, 2.5 M CaCl<sub>2</sub> ปริมาตร 50 μl และ 0.1 M spermidine ปริมาตร 20 μl โดยขณะเติมต้องให้หลอดวางบนเครื่อง vortex ตลอดเวลา หลังเติมสารครบแล้ว vortex หลอดต่อไปอีก 2-3 นาที แล้วตั้งทึบไว้อีก 1 นาที นำกระสุนไปปั่นเหวี่ยง 2 วินาที ดูดสารละลายชั้นบนทึบแล้วล้างกระสุนอีก 2 ครั้ง ด้วยเอทานอล 70% และเอทานอล 100% ละลายตะกอนกระสุนทองคำด้วยเอทานอล 70% ปริมาตร 140 μl แล้วนำไปเคลือบบน macrocarrier

- ยิงแคลลัสข้าวพันธุ์ชัยนาท 1 และหมอนสุพรรณบุรี ด้วยเครื่อง Biolistic PDS1000/He,BIO-RAD โดยใช้กระสุนทองคำขนาด 1 μm ที่เคลือบด้วยพลาสมิด pBI121 และ พลาสมิด pCAMBIA1301 ด้วย helium pressure 1,300 psi, vaccuum inches 28, target distance 9 ซม. นำแคลลัสที่ยิงด้วยกระสุนที่เคลือบด้วยพลาสมิด pBI121 ไปเลี้ยงบนอาหาร

สูตร N<sub>6</sub> ที่เติม 2,4-D ความเข้มข้น 22.5 μM และกานามัยชิน 50 มก./ล. และเลี้ยงแคลลัสที่ยังด้วยกระสุนที่เคลือบด้วยพลาสมิด pCAMBIA1301 บนอาหารสูตร N<sub>6</sub> ที่เติม 2,4-D ความเข้มข้น 18 μM ร่วมกับไฮโกรามัยชินความเข้มข้น 20 มก./ล.

#### การทดลองที่ 4.4 การศึกษาผลของสารปฏิชีวนะกานามัยชินต่อการออกของเมล็ดข้าวพันธุ์

##### ชัยนาท 1

นำเมล็ดข้าวพันธุ์ชัยนาท 1 มาแกะเปลือก ล้างด้วยผงซักฟอกและน้ำประปาให้สะอาด แซ่เมล็ดข้าวในเอทานอล 70%(v/v) เป็นเวลา 1 นาที แล้วนำไปในขวดรูปทรงพู่ที่มีแคลเซียม-ไฮโปคลอไรต์ 2%(w/v) และ Tween-20 2-3 หยด เขย่าเป็นเวลา 45 นาที จากนั้nl ล้างด้วยน้ำกลั่นผ่าเชื้อ 4 ครั้ง เป็นเวลา 5 นาทีต่อครั้ง โดยเขย่าขวดเป็นครั้งคราว ย้ายเมล็ดลงเลี้ยงบนอาหารสูตร N<sub>6</sub> ที่เติมน้ำตาลซูโครส 2%(w/v) และผงวุ้น 0.8%(w/v) และกานามัยชินที่ความเข้มข้น 0, 50, 100, 150, 200 และ 250 มก./ล. โดยเพาะเลี้ยงเมล็ดข้าวจำนวน 45 เมล็ดต่อความเข้มข้น นำเมล็ดไปเพาะเลี้ยงในที่อุณหภูมิ 25°ช. ความเข้มแสง 1000 ลักซ์, 16 ชั่วโมง/วัน เป็นเวลา 2 สัปดาห์ บันทึกเบอร์เซ็นต์การออก น้ำหนักสดตันและราก

#### การทดลองที่ 4.5 การศึกษาอัตราส่วนจำนวนเมล็ดที่ต้านทานต่อ กานามัยชินต่อจำนวนเมล็ดที่ไม่

##### ต้านทานต่อไฮโกรามัยชินในเมล็ดข้าวพันธุ์ชัยนาท 1 แปลงพันธุ์

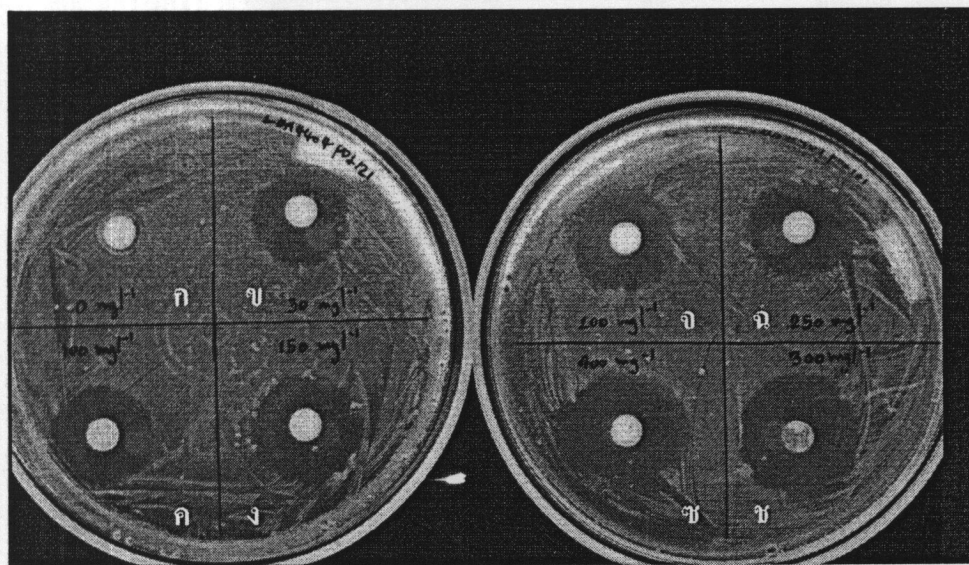
นำเมล็ดข้าวพันธุ์ชัยนาท 1 แปลงพันธุ์ที่ต้านทานต่อ กานามัยชินมาแกะเปลือก ล้างให้สะอาด ด้วยผงซักฟอกและน้ำสะอาด แซ่เมล็ดข้าวในเอทานอล 70%(v/v) เป็นเวลา 1 นาที แล้วนำไปในขวดรูปทรงพู่ที่มีแคลเซียม-ไฮโปคลอไรต์ 2%(w/v) และ Tween-20 2-3 หยด เขย่าเป็นเวลา 45 นาที จากนั้nl ล้างด้วยน้ำกลั่นผ่าเชื้อ 4 ครั้ง เป็นเวลา 5 นาทีต่อครั้ง โดยเขย่าขวดเป็นครั้งคราว ย้ายเมล็ดลงเลี้ยงบนอาหารสูตร N<sub>6</sub> ที่เติมน้ำตาลซูโครส 2%(w/v) และผงวุ้น 0.8%(w/v) และกานามัยชินที่ความเข้มข้น 50 มก./ล. นำเมล็ดไปเพาะเลี้ยงในที่อุณหภูมิ 25°ช. ความเข้มแสง 1000 ลักซ์, 16 ชั่วโมง/วัน เป็นเวลา 2 สัปดาห์

## ผลการทดลอง

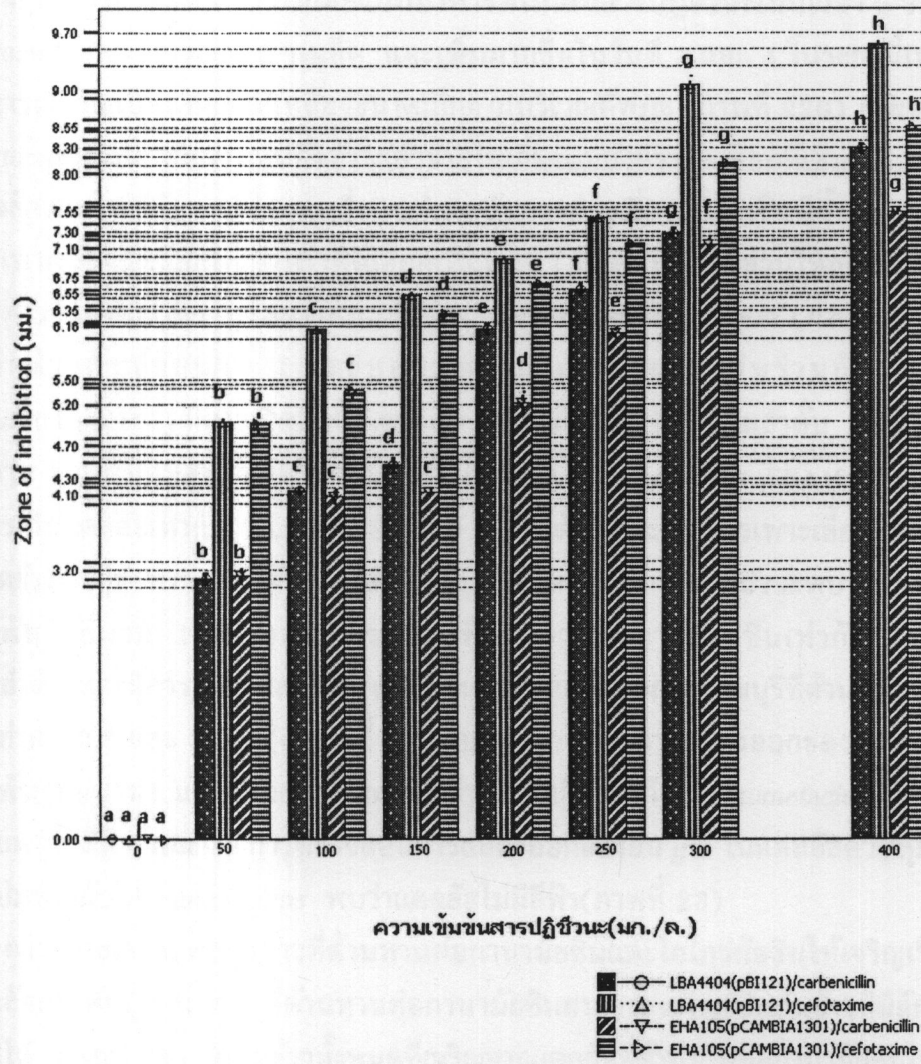
### ผลการทดลองที่ 4.1 การศึกษาอิทธิพลของสารปฎิชีวนะซีฟแทคซึมและคาบินิชินลินต่อการเจริญของ *A. tumefaciens*

จากการศึกษาอิทธิพลของสารปฎิชีวนะซีฟแทคซึมต่อการเจริญของ *A. tumefaciens* สายพันธุ์ LBA4404 (pBI121) และ EHA105 (pCAMBIA1301) พบว่า ภายหลังนำ *A. tumefaciens* บ่มที่อุณหภูมิ  $28^{\circ}\text{C}$ . เป็นเวลาข้ามคืน *A. tumefaciens* สามารถเจริญบนอาหารได้ และทำให้อาหารมีลักษณะเป็นผ้าขุ่น จากการสังเกตพบว่างใส่เกิดขึ้นรอบ ๆ กระดาษกรองที่วางในจานเลี้ยงเชื้อ ดังแสดงผลในภาพที่ 20 โดยกระดาษกรองที่จุ่มน้ำซีฟแทคซึมความเข้มข้น 50 มก./ล. ทำให้เกิดวงใส่ในจานเลี้ยงเชื้อ *A. tumefaciens* LBA4404 (pBI121) และ EHA105 (pCAMBIA1301) ที่มีระยะห่างจากขอบกระดาษกรองยาวเท่ากับ  $5.00 \pm 0.24$  และ  $4.97 \pm 0.36$  มม. ตามลำดับ วงใส่มีความกว้างเพิ่มขึ้นเมื่อความเข้มข้นของซีฟแทคซึมสูงขึ้น โดยวงใส่ในจานเลี้ยงเชื้อ *A. tumefaciens* LBA4404 (pBI121) และ EHA105 (pCAMBIA1301) มีระยะห่างจากขอบกระดาษกรองยาวที่สุดเท่ากับ  $8.54 \pm 0.11$  และ  $8.57 \pm 0.27$  มม. ตามลำดับ เมื่อความเข้มข้นของซีฟแทคซึมเท่ากับ 400 มก./ล. จากการทดสอบประสิทธิภาพระหว่างความเข้มข้นของซีฟแทคซึมทุกคู่ต่อการเกิดวงใส่รอบกระดาษกรอง โดยวิธี DMRT ที่ระดับนัยสำคัญ 0.05 พบว่าค่าเฉลี่ยที่กำกับบนคอลัมน์ชนิดเดียวกันด้วยตัวอักษรอังกฤษที่ต่างกัน มีค่าทางสถิติแตกต่างกัน ดังแสดงผลในภาพที่ 21

จากการศึกษาอิทธิพลของสารปฎิชีวนะคาบินิชินลินต่อการยั้งการเจริญของ *A. tumefaciens* สายพันธุ์ LBA4404 (pBI121) และ EHA105 (pCAMBIA1301) พบว่า กระดาษกรองที่จุ่มคาบินิชินลินความเข้มข้น 50 มก./ล. ทำให้เกิดวงใส่ในจานเลี้ยงเชื้อ *A. tumefaciens* LBA4404 (pBI121) และ EHA105 (pCAMBIA1301) ที่มีระยะห่างจากขอบกระดาษกรองยาวเท่ากับ  $3.10 \pm 0.18$  และ  $3.13 \pm 0.15$  มม. ตามลำดับ และวงใส่ในจานเลี้ยงเชื้อ *A. tumefaciens* LBA4404 (pBI121) และ EHA105 (pCAMBIA1301) มีระยะห่างจากขอบกระดาษกรองยาวที่สุดเท่ากับ  $8.30 \pm 0.16$  และ  $7.55 \pm 0.21$  มม. ตามลำดับ เมื่อความเข้มข้นของคาบินิชินลินเท่ากับ 400 มก./ล. และจากการทดสอบอิทธิพลระหว่างความเข้มข้นของคาบินิชินลินทุกคู่ต่อการเกิดวงใส่รอบกระดาษกรอง โดยวิธี DMRT ที่ระดับนัยสำคัญ 0.05 พบว่าค่าเฉลี่ยที่กำกับบนคอลัมน์ชนิดเดียวกันด้วยตัวอักษรอังกฤษที่ต่างกันมีค่าทางสถิติแตกต่างกัน ดังแสดงผลในภาพที่ 21



ภาพที่ 20 ลักษณะวงใส่ที่เกิดขึ้นรอบกระดาษกรองซึ่งเกิดจากอิทธิพลของสารปฏิชีวนะซีฟแทคซิม  
ความเข้มข้นต่างๆ บนจานเพาะเชื้อ *A. tumefaciens* LBA4404(pBI121)  
 ก. 0 มก./ล. ข. 50 มก./ล. ค. 100 มก./ล. ง. 150 มก./ล.  
 จ. 200 มก./ล. ฉ. 250 มก./ล. ช. 300 มก./ล. ช. 400 มก./ล.



ภาพที่ 21 แผนภูมิแสดงความยावจากขอบกระดาษกรองดึงของวงใส่ที่เกิดจากอิทธิพลของสารปฏิชีวนะซีฟแทคซีมและคาบินิชินลินบนจานเพาะเชื้อ *A. tumefaciens*

## ผลการทดลองที่ 4.2 การส่งถ่ายยืนสู่ข้าวพันธุ์ชัยนาท 1 และห้อมสุพรรณบุรีโดย

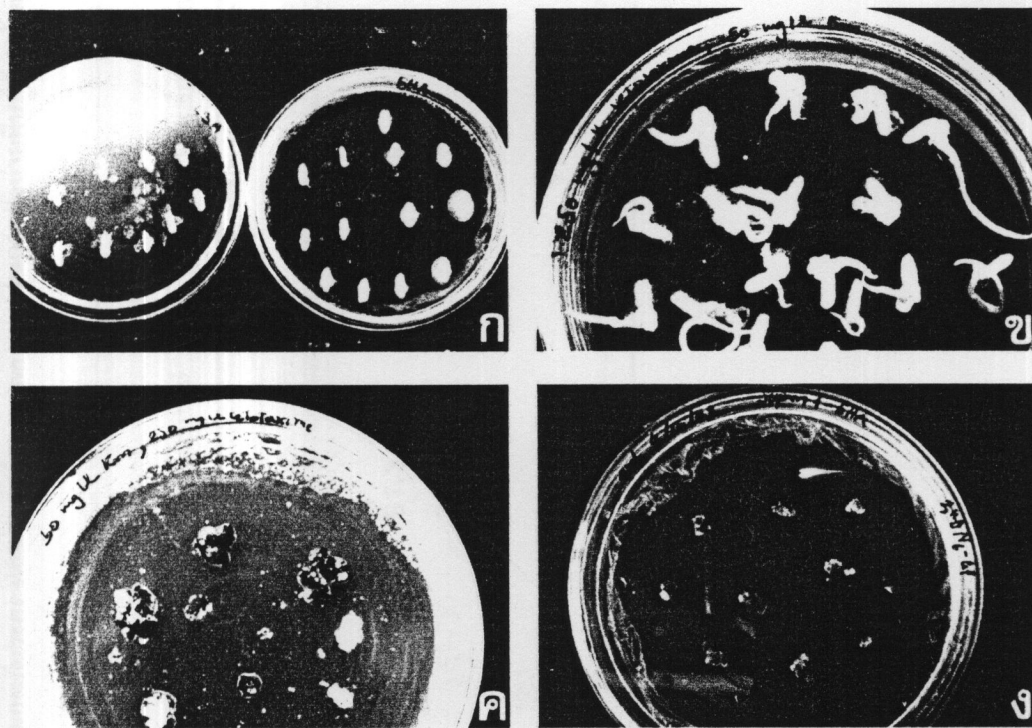
### *A. tumefaciens*

การส่งถ่ายยืนสู่เมล็ดข้าวพันธุ์ชัยนาท 1 โดย *A. tumefaciens* LBA4404(pBI121) และ EHA105(pCAMBIA1301) พบว่าภัยหลังการบ่มเมล็ดร่วมกับ *A. tumefaciens* เป็นเวลา 60 นาที แล้วย้ายเมล็ดข้าวไปเลี้ยงบนอาหารที่ไม่เติมสารปฏิชีวนะเป็นเวลา 2 วัน สังเกตพบ *A. tumefaciens* เจริญรอบ ๆ เมล็ด และเพิ่มมากขึ้นในวันที่ 3 และ 4 ในระยะนี้เมล็ดบางส่วนสามารถเจริญเป็นแคลลัสสีเหลืองขนาดเล็กจากบริเวณคัพภะ (ภาพที่ 22ก) ภัยหลังการทำจัด *A. tumefaciens* ออกจากเมล็ดข้าวแล้วย้ายไปเลี้ยงบนอาหารคัดเลือกที่เติมสารปฏิชีวนะพบว่า แคลลัสส่วนใหญ่ยังคงเพิ่มขนาดขึ้น แต่แคลลัสบางส่วนเริ่มเปลี่ยนเป็นสีน้ำตาล (ภาพที่ 22ข) เมื่อเพาะเลี้ยงแคลลัสบนอาหารคัดเลือกเป็นเวลา 1 เดือน แคลลัสส่วนใหญ่เปลี่ยนเป็นน้ำตาล และตาย แต่พบว่ามีแคลลัสบางส่วนเกิดขึ้นรอบ ๆ ก้อนแคลลัสเดิมที่ตาย (ภาพที่ 22ค และ 22ง) เมล็ดข้าวพันธุ์ชัยนาท 1 และห้อมสุพรรณบุรีที่ผ่านการทำบ่มร่วมกับ *A. tumefaciens* LBA4404(pBI121) มีการเกิดแคลลัสเท่ากับ 67.3 และ 74.6% ตามลำดับ ส่วนเมล็ดข้าวพันธุ์ชัยนาท 1 และห้อมสุพรรณบุรีที่ผ่านการทำบ่มร่วมกับ *A. tumefaciens* EHA105(pCAMBIA1301) มีการเกิดแคลลัสเท่ากับ 80.9 และ 82.7 % ตามลำดับ และจากการเพาะเลี้ยงแคลลัสที่เกิดจาก เมล็ดข้าวพันธุ์ชัยนาท 1 ที่ได้รับการส่งถ่ายยืนบนอาหารที่เติมสารปฏิชีวนะพบว่ามีการเกิดแคลลัส ข้าวพันธุ์ชัยนาท 1 และห้อมสุพรรณบุรีที่ต้านทานต่อภานามัยชินเท่ากับ 5.8 และ 3.7% ตามลำดับ และมีการเกิดแคลลัสข้าวพันธุ์ชัยนาท 1 และห้อมสุพรรณบุรีที่ต้านทานต่อไฮโกรมัย-ชินเท่ากับ 2.8 และ 3.5% (ตารางที่ 2) ผลการตรวจสอบการแสดงออกของยืน *gus* ในแคลลัส ข้าวพันธุ์ชัยนาท 1 และห้อมสุพรรณบุรีที่ผ่านการทำบ่มร่วมกับ *A. tumefaciens* พบว่าแคลลัสเปลี่ยนเป็นสีฟ้า และจากการตรวจสอบการแสดงออกของยืน *gus* ในแคลลัสควบคุมที่ไม่ได้ผ่านการทำบ่มร่วมกับ *A. tumefaciens* พบว่าแคลลัสไม่มีสีฟ้า(ภาพที่ 23)

การเพาะเลี้ยงแคลลัสข้าวที่ต้านทานต่อภานามัยชินและไฮโกรมัยชินให้เจริญเป็นต้นพบว่า แคลลัสข้าวพันธุ์ชัยนาท 1 ที่ต้านทานต่อภานามัยชินสามารถเจริญเป็นต้นข้าวที่มีลักษณะสีเขียว ปกติได้ (ภาพที่ 24) แต่ต้นข้าวทั้งหมดที่เจริญจากแคลลัสที่ต้านทานต่อภานามัยชินไม่มีการเจริญ ของราก และสามารถซักนำให้เกิดรากได้โดยนำไปเลี้ยงบนอาหารสูตร N<sub>6</sub> ที่ไม่เติมสารควบคุม การเจริญเติบโต(ภาพที่ 25) แคลลัสข้าวพันธุ์ชัยนาท 1 มีการเกิดต้นข้าวที่ต้านทานต่อภานามัย-ชินเท่ากับ 3.2% ผลการตรวจสอบการแสดงออกของยืน *gus* ในต้นข้าวพันธุ์ชัยนาท 1 แปลงพันธุ์ ที่ต้านทานต่อภานามัยชิน พบร่วมกับการแสดงออกของยืน *gus* ในส่วนต่าง ๆ ได้แก่ ใน ลำต้นและ ราก (ภาพที่ 26) จากการตรวจสอบการแสดงออกของยืน *gus* ในต้นข้าวควบคุมไม่พบมีการแสดงออกของยืน *gus* ภายในรากและแผ่นใบ (ภาพที่ 27)

การตรวจสอบดีเอ็นเอที่สกัดจากต้นข้าวพันธุ์ชัยนาท 1 แปลงพันธุ์ที่ต้านทานต่อภานามัยชินด้วยเทคนิค PCR โดยมี CaMV35S เป็นดีเอ็นเอเริ่มต้น และตรวจสอบผลด้วย

เทคนิคอิเล็กโทรโฟเลซพบว่ามีชิ้นส่วนดีเอ็นเอขนาด 189 คู่เบส ใน lane ที่มีดีเอ็นเอสกัดจากต้นข้าวพันธุ์ชัยนาท 1 แบลงพันธุ์ที่ต้านทานต่อภานามัยชินเป็นดีเอ็นเอต้นแบบ (ภาพที่ 28) และเมื่อนำต้นข้าวพันธุ์ชัยนาท 1 แบลงพันธุ์ที่ต้านทานต่อภานามัยชินลงปลูกในดินกระถาง พบว่าต้นข้าวแบลงพันธุ์สามารถเจริญเป็นต้นที่สมบูรณ์และออกวงไหเมล็ดข้าวได้ (ภาพที่ 29)



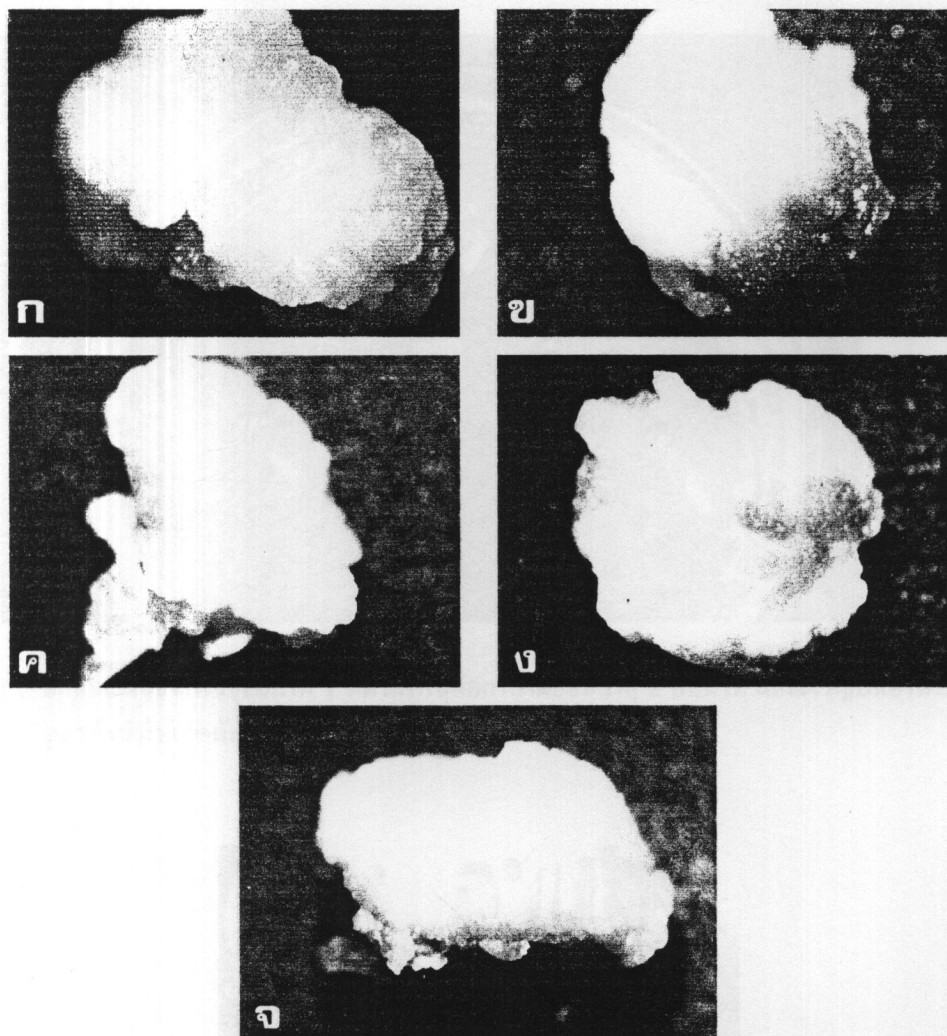
ภาพที่ 22 ก. ลักษณะเมล็ดข้าวภายหลังการบ่มร่วมกับ *A. tumefaciens* เป็นเวลา 3 วัน  
ข. ลักษณะแคลลัสที่เกิดจากเมล็ดข้าวพันธุ์ชัยนาท 1 ที่บ่มร่วมกับ *A. tumefaciens* LBA4404(pBI121) และเพาะเลี้ยงบนอาหารคัดเลือก เป็นเวลา 7 วัน  
ค. แคลลัสของข้าวพันธุ์ชัยนาท 1 ที่ต้านทานต่อภานามัยชิน  
จ. แคลลัสของข้าวพันธุ์หอมสุพรรณบุรีที่ต้านทานต่อไขโกรนัยชิน

**ตารางที่ 2 การเกิดแคลลัสจากเม็ดซักฟอกที่บ่มร่วมกับ *A. tumefaciens* และ transformation rate ในการส่งถ่ายน้ำพันธุ์ชั้นนำ 1 และห้องสูพริบูรี**

<i>A. tumefaciens</i> strains	จำนวนเม็ด	อัตราการเกิดแคลลัส* <sup>1</sup>	ปอร์เซ็นต์การเกิดแคลลัสและการเกิดต้น	
			ที่ต้านทานต่อภัยน้ำดื่มน้ำแข็งและไข่กรดแม่ชิน * <sup>2</sup>	แคลลัส(%) ต้น(%)
LBA4404(pBI121)	256	67.3	5.8	3.2
	245	74.6	3.7	0
EHA105(pCAMBIA1301)	260	80.9	2.8	0
	272	82.7	3.5	0

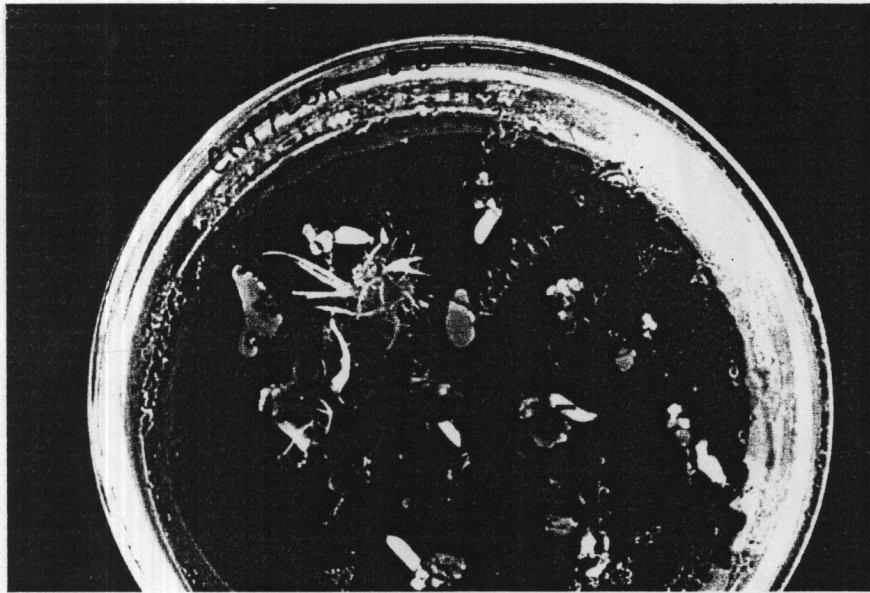
\*<sup>1</sup> อัตราการเกิดแคลลัสบนพื้นภัยหลังการบ่มเมล็ดร่วมกับ *A. tumefaciens* เป็นเวลา 2 สัปดาห์

\*<sup>2</sup> จำนวนแคลลัสหน่วยต้นที่เกิดต่อจำนวนเม็ดที่บ่มร่วมกับ *A. tumefaciens* ×100

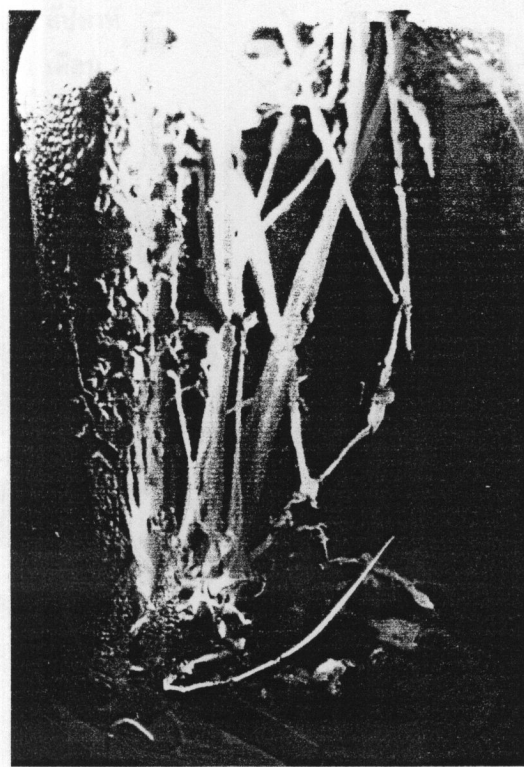


ภาพที่ 23 ก. ผลตรวจส่องการแสดงออกของยีน *gus* ในแคลลัสที่เกิดจากเมล็ดข้าวพันธุ์ชัยนาท 1 ที่ไม่ได้บ่มร่วมกับ *A. tumefaciens*

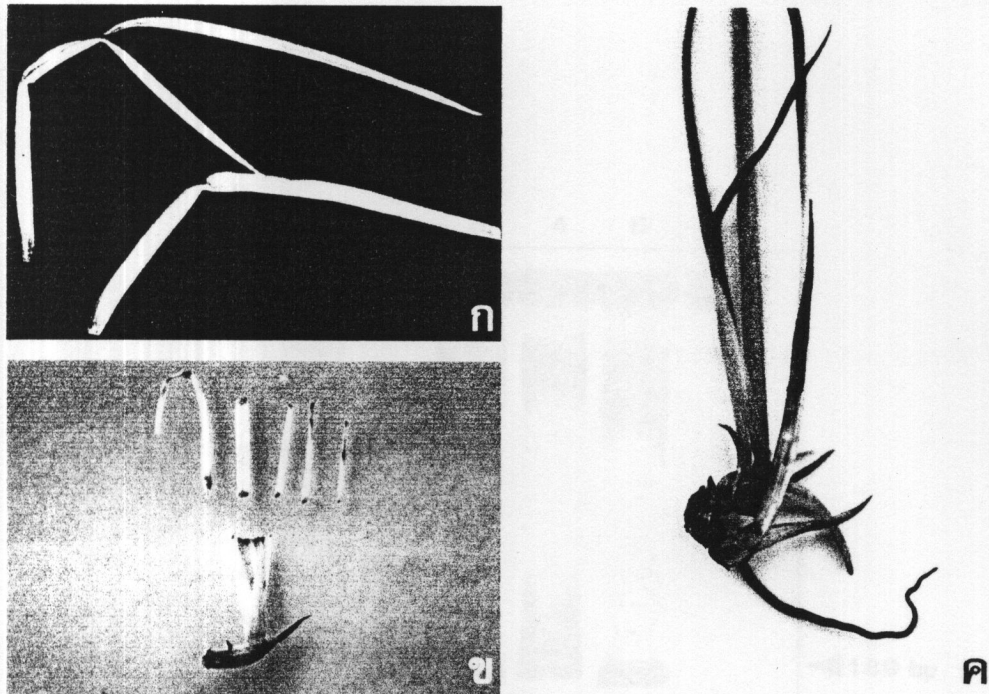
- ข. ผลตรวจส่องการแสดงออกของยีน *gus* ในแคลลัสที่เกิดจากเมล็ดข้าวพันธุ์ชัยนาท 1 ภายหลังการบ่มร่วมกับ *A. tumefaciens* LBA4404 pBI121 เป็นเวลา 5 วัน
- ค. ผลตรวจส่องการแสดงออกของยีน *gus* ในแคลลัสที่เกิดจากเมล็ดข้าวพันธุ์ชัยนาท 1 ภายหลังการบ่มร่วมกับ *A. tumefaciens* EHA105 pCAMBIA1301 เป็นเวลา 5 วัน
- ง. ผลตรวจส่องการแสดงออกของยีน *gus* ในแคลลัสที่เกิดจากเมล็ดข้าวพันธุ์หอมสุพรรรณบุรี ภายหลังการบ่มร่วมกับ *A. tumefaciens* LBA4404 pBI121 เป็นเวลา 5 วัน
- จ. ผลตรวจส่องการแสดงออกของยีน *gus* ในแคลลัสที่เกิดจากเมล็ดข้าวพันธุ์หอมสุพรรรณบุรี ภายหลังการบ่มร่วมกับ *A. tumefaciens* EHA105 pCAMBIA1301 เป็นเวลา 5 วัน



ภาพที่ 24 ลักษณะตันข้าวพันธุ์ชัยนาท 1 ที่ต้านทานต่อการมั่ยชินอายุ 2 สัปดาห์ และเจริญบนอาหารสูตรชักนำให้เกิดตันที่เติมกานามั่ยชินความเข้มข้น 50 มก./ล.

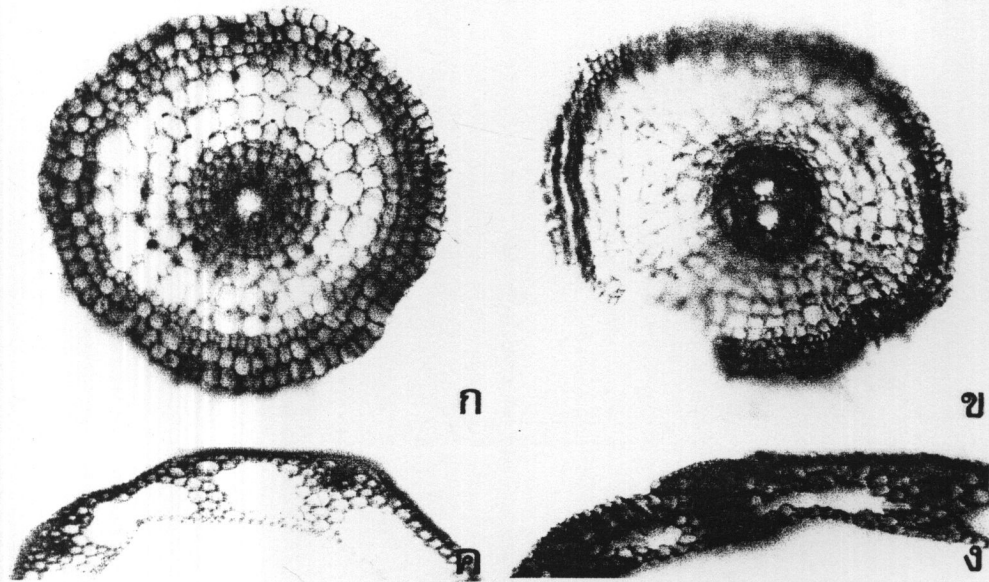


ภาพที่ 25 ลักษณะตันข้าวพันธุ์ชัยนาท 1 อายุ 45 วัน ที่ต้านทานต่อการมั่ยชินและเพาะเลี้ยงบนอาหารสูตร N<sub>6</sub> ที่ไม่เติมสารควบคุมการเจริญเติบโตและเติมกานามั่ยชินความเข้มข้น 50 มก./ล.

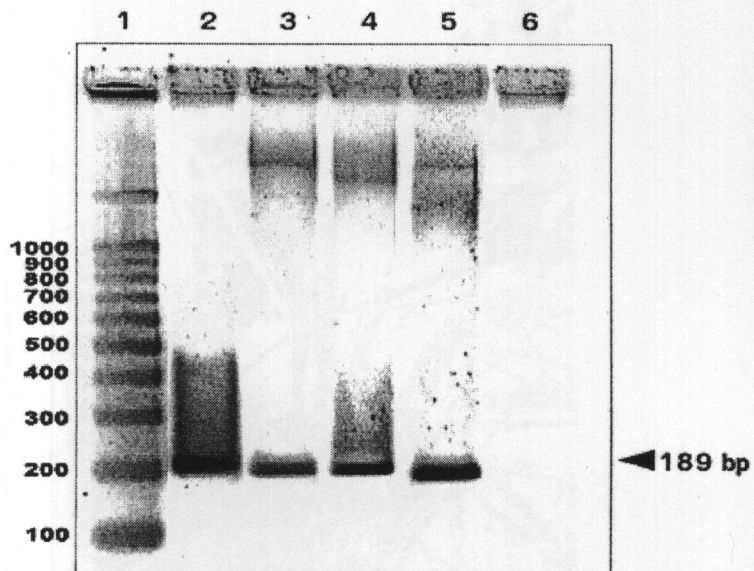


ภาพที่ 26 ผลตรวจสอบการแสดงออกของยีน gus ในต้นข้าวพันธุ์ชัยนาท 1 ที่ด้านหน้าต่อการนามัยชิน

- ก. ใบข้าวอายุ 2 สัปดาห์
- ข. ต้นข้าวอายุ 2 สัปดาห์
- ค. ต้นข้าวอายุ 1 เดือน



ภาพที่ 27 ผลการตรวจสอบการแสดงออกของยีน gus ในรากและแผ่นใบของข้าวพันธุ์ชัยนาท 1 ที่ด้านหน้าต่อ  
การนามัยชิน (ข และ ง) เปรียบเทียบกับรากและแผ่นใบของต้นข้าวควบคุม (ก และ ค)



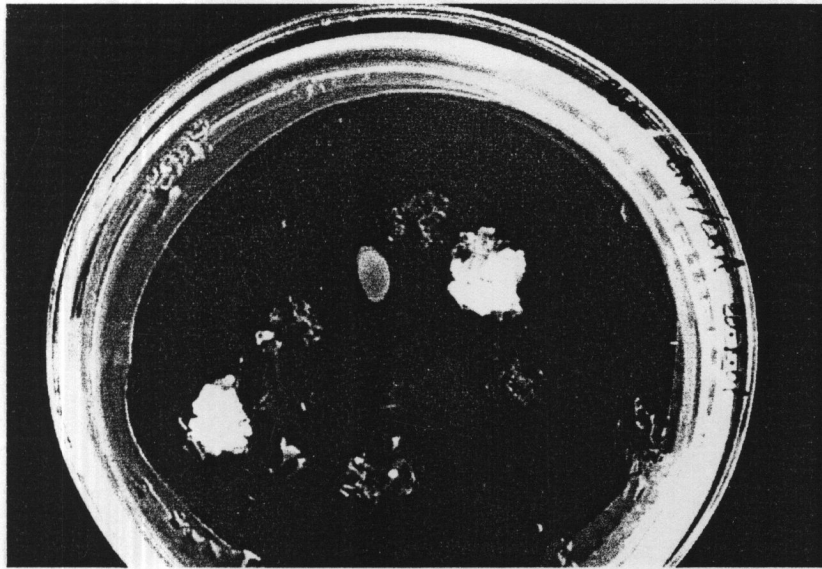
ภาพที่ 28 ผลการตรวจสอบการส่งถ่ายยีนด้วยเทคนิค PCR โดยมี CaMV35S เป็นดีเอ็นเอเริ่มต้น  
lane 1 : 100 bp, lane 2 : pCaMV35S, lane 3-5 : ดีเอ็นเอสกัดต้นข้าวพันธุ์ชัยนาท 1  
แปลงพันธุ์ที่ต้านทานต่อ Kannamycin, lane 6 : ดีเอ็นเอสกัดจากต้นข้าวพันธุ์ชัยนาท 1 ปกติ  
(ชุดควบคุม)



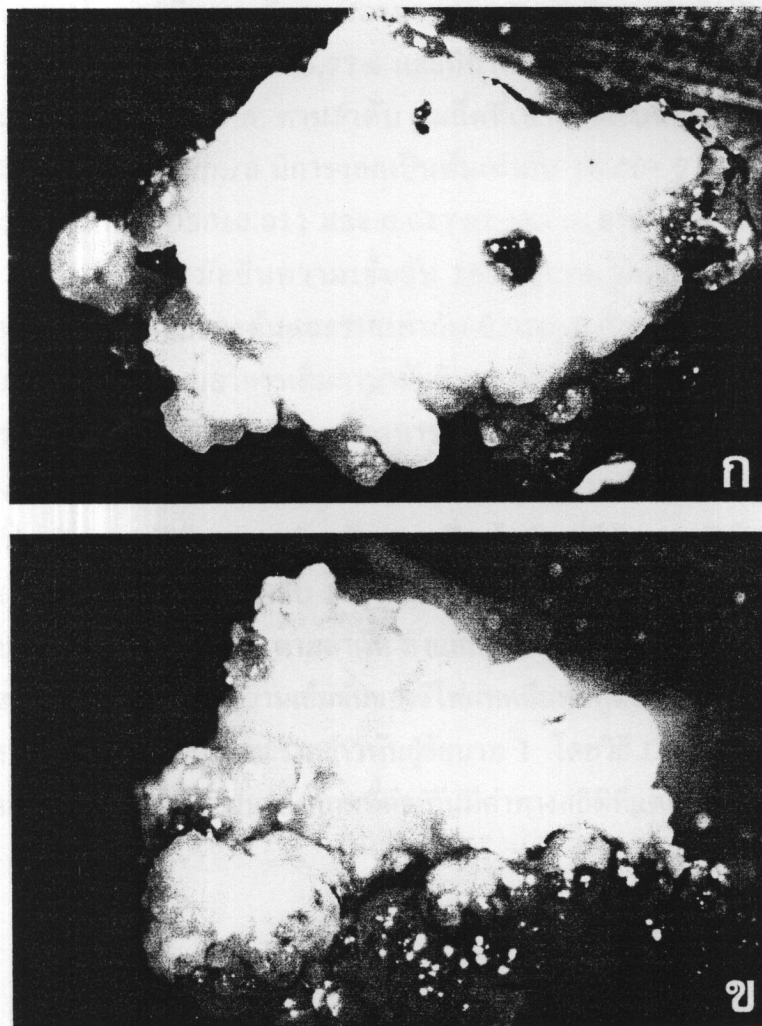
ภาพที่ 29 ลักษณะต้นข้าวพันธุ์ชัยนาท 1 แปลงพันธุ์ที่ด้านหน้าต่อการนัยซินระยะอกรวง

### ผลการทดลองที่ 4.3 การส่งถ่ายยีนโดยวิธียิงกระสุน

จากการส่งถ่ายยีนโดยวิธียิงกระสุนของคำขนาด  $1 \mu\text{m}$  ที่เคลือบด้วยพลาสมิด pBI 121 เข้าสู่แคลลัสข้าวพันธุ์ชัยนาท 1 และหอมสุพรรณบุรี ด้วยเครื่อง Biolistic PDS1000/He, BIO-RAD (helium pressure 1,300 psi , vaccuum inches 28 , target distance 9 ซม.) แล้วนำแคลลัสไปเลี้ยงบนอาหารคัดเลือกที่เติมสารปฏิชีวนะ พบว่าแคลลัสบางส่วนตายภายในเวลา 3 สัปดาห์ และแคลลัสบางส่วนสามารถเจริญบนอาหารคัดเลือกและเพิ่มขนาดได้ (ภาพที่ 30) ผลการตรวจสอบการแสดงออกของยีน gus ในแคลลัสข้าวพันธุ์ชัยนาท 1 และหอมสุพรรณบุรี หลังการยิงเป็นเวลา 10 วันพบว่า แคลลัสมีจุดสีฟ้า(ภาพที่ 31) และเมื่อย้ายแคลลัสที่ต้านทานต่อการมัยชินไปเลี้ยงบนอาหารสูตรชักนำให้เกิดต้นพบว่าแคลลัสไม่สามารถเจริญเป็นต้นได้



ภาพที่ 30 ลักษณะแคลลัสข้าวพันธุ์ชัยนาท 1 หลังจากยิงด้วยกระสุนที่เคลือบด้วยพลาสมิด pBI121 และเพาะเลี้ยงบนอาหารคัดเลือกที่เติมการมัยชิน 50 มก./ล.

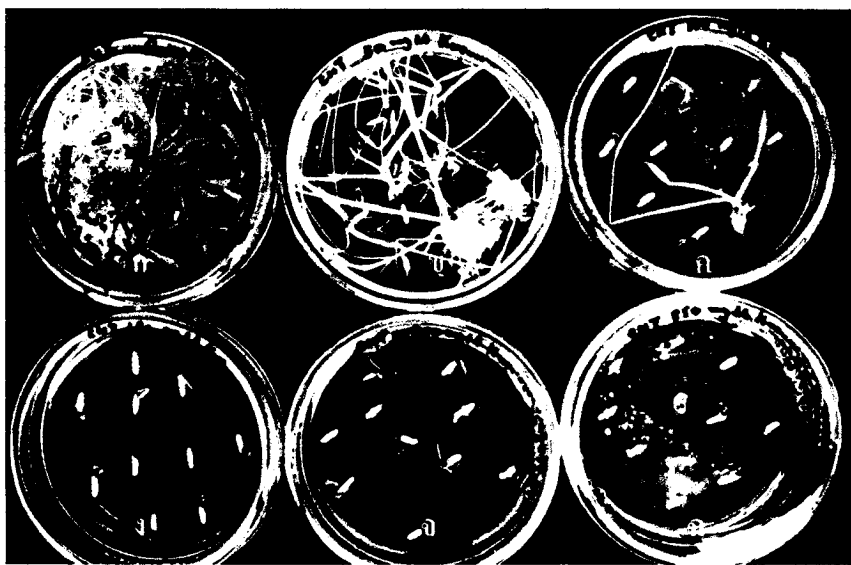


ภาพที่ 31 ผลการตรวจสอบกิจกรรมของยีน *gus* ในแคลลัสข้าวพันธุ์ชัยนาท 1 (ก) และ หอยสุพรรณบุรี(ข) ที่ได้รับการส่งถ่ายยีน pBI121 ด้วยวิธียิงกระสุน

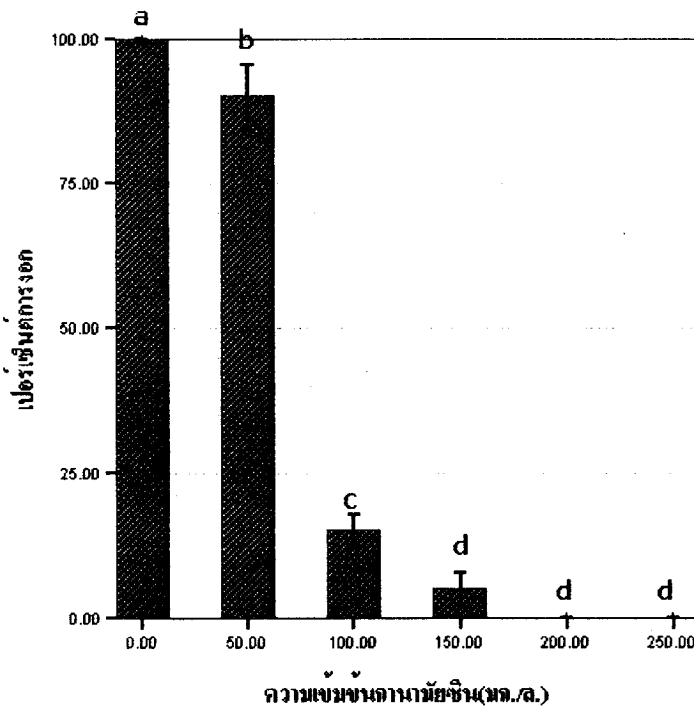
#### ผลการทดลองที่ 4.4 การศึกษาอิทธิพลของสารปฏิชีวนะก้านมัยชินต่อการออกของเมล็ดข้าว พันธุ์ชัยนาท 1

การศึกษาอิทธิพลของสารปฏิชีวนะก้านมัยชินต่อการออกของเมล็ดข้าวพันธุ์ชัยนาท 1 พบว่า เมล็ดข้า้มีอัตราการออก รวมทั้งน้ำหนักสดเฉลี่ยของใบและรากลดลงเมื่อความเข้มข้นของก้านมัยชินเพิ่มขึ้น โดยเมล็ดข้าวที่เพาะเลี้ยงบนอาหารสูตร N<sub>6</sub> ที่เติมก้านมัยชินความเข้มข้น 50 มก./ล. มีการออกเป็นตันเท่ากับ  $90 \pm 5.77\%$  และมีน้ำหนักสดเฉลี่ยของตันและรากเท่ากับ  $0.268 \pm 0.015$  และ  $0.067 \pm 0.004$  ก. ตามลำดับ เมล็ดที่เพาะเลี้ยงบนอาหารสูตร N<sub>6</sub> ที่เติมก้านมัยชิน ความเข้มข้น 100 มก./ล มีการออกเป็นตันเท่ากับ  $15.00 \pm 2.88\%$  มีน้ำหนักสดเฉลี่ยของตันและรากเท่ากับ  $0.058 \pm 0.011$  และ  $0.017 \pm 0.003$  ก. ตามลำดับ เมล็ดที่เพาะเลี้ยงบนอาหารสูตร N<sub>6</sub> ที่เติมก้านมัยชินความเข้มข้น 150 มก./ล. มีการออกเป็นตันเท่ากับ  $5.00 \pm 2.88\%$  มีน้ำหนักสดเฉลี่ยของตันและรากเท่ากับ  $0.020 \pm 0.001$  และ  $0.0019 \pm 0.0009$  ก. ตามลำดับ โดยต้นข้าวที่งอกบนอาหารเติมก้านมัยชินความเข้มข้น 50, 100 และ 150 มก./ล. มีลักษณะลีข้าว ส่วนเมล็ดที่เพาะเลี้ยงบนอาหารสูตร N<sub>6</sub> ที่เติม ก้านมัยชินความเข้มข้น 200 และ 250 มก./ล. ไม่สามารถเจริญเป็นตันได้ การเพาะเลี้ยงเมล็ดข้าวพันธุ์ชัยนาท 1 บนอาหารสูตร N<sub>6</sub> ที่ไม่เติมสารปฏิชีวนะพบว่าเมล็ดงอกเป็นตันข้าวที่มีลักษณะสีเขียวปักติ ภายในเวลา 3-4 วัน และมีการออกเป็นตันเท่ากับ 100% และมีน้ำหนักสดเฉลี่ยของตันและรากเท่ากับ  $0.372 \pm 0.016$  และ  $0.187 \pm 0.019$  ก. ตามลำดับ ดังแสดงผลในภาพที่ 32, 33 และ 34

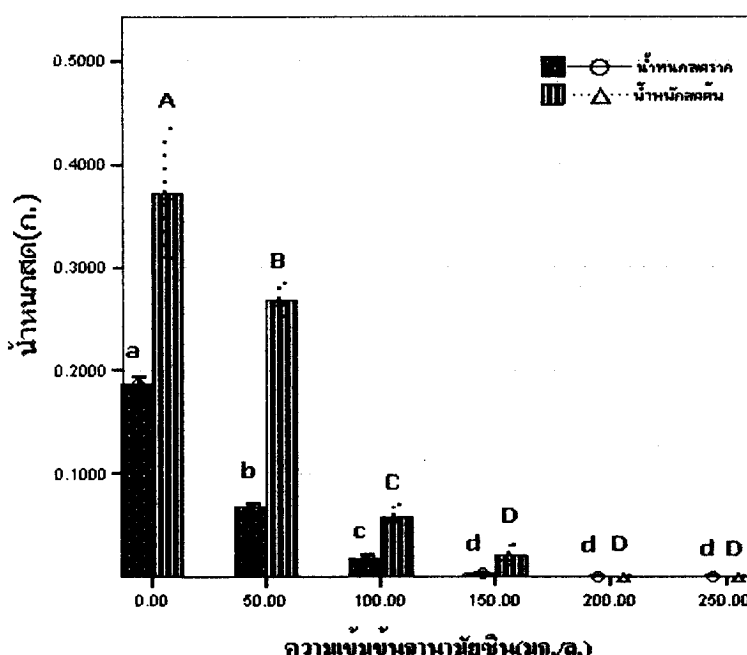
จากการทดสอบอิทธิพลระหว่างความเข้มข้นของซีฟอแทคซิมทุกคู่ต่อเปอร์เซ็นต์การออกของเมล็ดข้าว รวมทั้งน้ำหนักสดเฉลี่ยตันและรากข้าวพันธุ์ชัยนาท 1 โดยวิธี DMRT ที่ระดับนัยสำคัญ 0.05 พบว่าค่าเฉลี่ยที่กำกับด้วยตัวอักษรอังกฤษที่ต่างกันมีค่าทางสถิติที่แตกต่างกัน



ภาพที่ 32 ลักษณะการออกซของเม็ดข้าวพันธุ์ชัยนาท 1 ที่เพาะเลี้ยงบนอาหารสูตร  $N_6$  ที่เติมก้านมายชิน  
ความเข้มข้นต่างๆ (ก. 0 มก./ล., ข. 50 มก./ล., ค. 100 มก./ล., ง. 150 มก./ล., จ. 200  
มก./ล.)



ภาพที่ 33 แผนภูมิแสดงเปอร์เซ็นต์การอกรากเมล็ดข้าวพันธุ์ชัยนาท 1 บนอาหารสูตร N<sub>6</sub> ที่เติม  
กามามัยชินความเข้มข้นต่าง ๆ



ภาพที่ 34 แผนภูมิแสดงน้ำหนักสดเฉลี่ยของต้นและรากข้าวพันธุ์ชัยนาท 1 ที่เพาะเลี้ยงบนอาหาร  
สูตร N<sub>6</sub> ที่เติมกามามัยชินความเข้มข้นต่าง ๆ

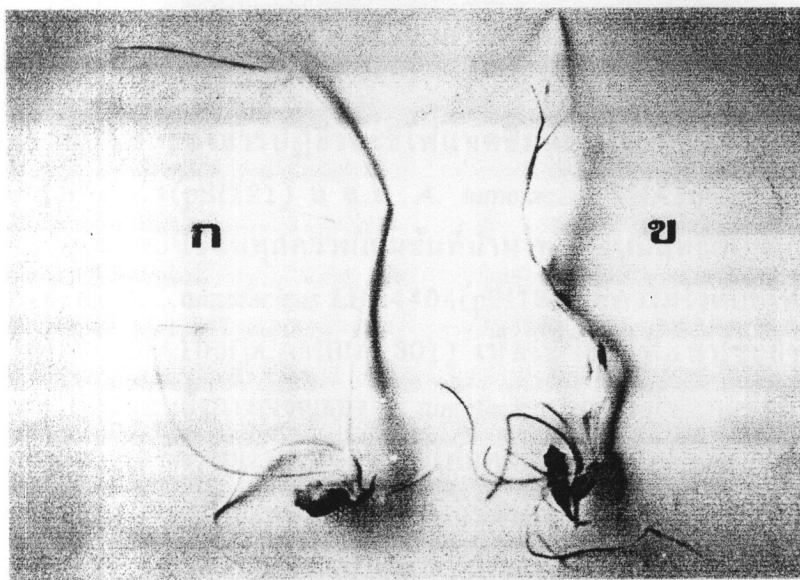
ผลการทดลองที่ 4.5 การศึกษาอัตราส่วนจำนวนเมล็ดที่ต้านทานต่อภานามัยชินต่อจำนวนเมล็ดที่ไม่ต้านทานต่อภานามัยชินในเมล็ดข้าวพันธุ์ชัยนาท 1 แปลงพันธุ์

การศึกษาผลของสารปฏิชีวนะภานามัยชินต่อการออกของเมล็ดข้าวพันธุ์ชัยนาท 1 แปลงพันธุ์ที่ต้านทานต่อภานามัยชิน พบว่าเมื่อเพาะเลี้ยงเมล็ดข้าวบนอาหารที่เติมภานามัยชินความเข้มข้น 50 มก./ล. เป็นเวลา 3-4 วัน เมล็ดข้าวสามารถเจริญเป็นตันที่มีลักษณะสีเขียวปักติ แต่เมล็ดบางส่วนเจริญเป็นตันที่มีลักษณะสีขาว การเพาะเลี้ยงเมล็ดข้าวพันธุ์ชัยนาท 1 ปักติ(ชุดควบคุม) บนอาหารที่เติมภานามัยชินความเข้มข้น 50 มก./ล. พบว่าเมล็ดข้าวออกเป็นตันที่มีลักษณะสีขาวทั้งหมด ดังแสดงผลในภาพที่ 35

การศึกษาอัตราส่วนระหว่างจำนวนเมล็ดข้าวที่ต้านทานต่อภานามัยชินต่อจำนวนเมล็ดข้าวที่ไม่ต้านทานต่อภานามัยชิน (segregation pattern) ในเมล็ดข้าวพันธุ์ชัยนาท 1 แปลงพันธุ์ที่ต้านทานต่อภานามัยชินรหัส CNT-NPT1 และ CNT-NPT2 พบร่วมอัตราส่วนเท่ากับ 3:1 ( $p<0.05$ ) ดังแสดงผลในตารางที่ 2 และจากการตรวจสอบการแสดงออกของยีน *gus* ในตันข้าวรุ่นลูกที่ออกเป็นตันสีเขียวทั้งหมดบนอาหารที่เติมภานามัยชินความเข้มข้น 50 มก./ล. พบว่าทุกตันมีสีฟ้า (ภาพที่ 36)



ภาพที่ 35 ลักษณะการออกของเมล็ดข้าวพันธุ์ชัยนาท 1 แปลงพันธุ์ที่ต้านทานต่อภานามัยชินเปรียบเทียบกับเมล็ดข้าวจากตันข้าวพันธุ์ชัยนาท 1 ปักติ บนอาหารสูตร N<sub>6</sub> ที่เติมภานามัยชินความเข้มข้น 50 มก./ล.



ภาพที่ 36 ผลตรวจสอบการแสดงออกของยีน *gus* ในต้นข้าวพันธุ์ชัยนาท 1 ปกติ(ชุดควบคุม) (ก)  
เปรียบเทียบกับต้นข้าวพันธุ์ชัยนาท 1 แปลงพันธุ์ ที่ถูกอนอาหารที่เติมภานมัยซินความเข้มข้น  
50 มก./ล. (ข)

ตารางที่ 3 Segregation pattern ในเมล็ดข้าวพันธุ์ชัยนาท 1 แปลงพันธุ์ที่ดำเนินงานต่อภานมัยซิน

รหัสพืช	จำนวนเมล็ดที่ ทดสอบ	อัตราส่วนระหว่าง R/S	$\chi^2$	$P$
			R/S	
CNT-NPT1	44	1:1	0.091	0.763
CNT-NPT2	35	1:1	0.725	0.395

## สรุปและวิจารณ์ผลการทดลอง

ผลการศึกษาอิทธิพลของสารปฏิชีวนะซีฟแทคซึมและคาบินิชลินต่อการเจริญของ *A. tumefaciens* LBA4404(pBI121) และ *A. tumefaciens* EHA105(pCAMBIA1301) พบว่าซีฟแทคซึมและคาบินิชลินทุกความเข้มข้นที่นำมาทดสอบมีฤทธิ์ยับยั้งการเจริญของ *A. tumefaciens* ได้ และ *A. tumefaciens* LBA4404(pBI121) มีความไวต่อซีฟแทคซึมและคาบินิชลินมากกว่า EHA105(pCAMBIA1301) เมื่อเปรียบเทียบประสิทธิภาพของสารปฏิชีวนะทั้งสองในการยับยั้งการเจริญของ *A. tumefaciens* พบว่าซีฟแทคซึมมีประสิทธิภาพสูงกว่าคาบินิชลิน เนื่องจากที่ความเข้มข้นเดียวกันซีฟแทคซึมทำให้เกิดพื้นที่ยับยั้งการเจริญของ *A. tumefaciens* ได้มากกว่า ซีฟแทคซึมและคาบินิชลินเป็นสารปฏิชีวนะที่ปัจจุบันนิยมใช้สำหรับกำจัด *A. tumefaciens* เป็นปฏิชีวนะประเภทเบต้าแลคแทน จัดอยู่ในกลุ่มเซฟาโลสปอร์-รินส์ สามารถจับกับ penicillin-binding proteins ซึ่งเป็นองค์ประกอบสำคัญของผนังเซลล์ แบคทีเรีย ส่งผลให้เกิดการยับยั้งกระบวนการสร้าง peptidoglycan และทำให้แบคทีเรียตายเนื่องจากเกิดการถลายน้ำของผนังเซลล์ (cell wall lysis) (สุวนิ สุกเวชย์และนาลัย วารจิตร, 2536) Shackelford and Chian (1996) ศึกษาอิทธิพลของสารปฏิชีวนะ 10 ชนิด ได้แก่ ซีฟแทคซึม คาบินิชลิน อิริโธนัคซิน สเปคตินมัคซิน โพลิมิชันบี คลอแรมเฟนิคอล เมธิชลิน augmentin500 augmentin250 และ moxalactam ต่อการเจริญของ *A. tumefaciens* LBA4404 และ EHA101 และรายงานว่า ซีฟแทคซึมและ moxalactam มีประสิทธิภาพสูงที่สุดในการยับยั้งการเจริญของ *A. tumefaciens* LBA4404 และ EHA101 ตามลำดับ Lin et al.(1995) ศึกษาผลของซีฟแทคซึมและคาบินิชลินต่อการเจริญของ *A. tumefaciens* LBA4404, C58 และ EHA101 ในอาหาร YM broth และรายงานว่าอาหารที่เติมซีฟแทคซึมและคาบินิชลินความเข้มข้น 50 µg/ml มีประสิทธิภาพสูงที่สุดในยับยั้งการเจริญของ C58 และ EHA101 และอาหารที่เติมซีฟแทคซึมความเข้มข้น 5 µg/ml และคาบินิชลินความเข้มข้น 10 µg/ml ยับยั้งการเจริญของ LBA4404 ได้ Nauerby et al.(1997) ทดสอบการเจริญของ *A. tumefaciens* GU3101(pMP90)(pMRK12) และ C58(pGU3850) บนอาหารสูตร MS ที่เติมซีฟแทคซึม คาบินิชลิน และไทเม็นทิน(timentin) และพบว่าอาหารที่เติมซีฟแทคซึมความเข้มข้น 500 mg./l. คาบินิชลินความเข้มข้น 1000 mg./l. และไทเม็นทินความเข้มข้น 150 mg./l. มีประสิทธิภาพสูงที่สุดในการยับยั้งการเจริญของ *A. tumefaciens* Cheng et al.(1998) ศึกษาการเพาะเลี้ยงเนื้อเยื่อในยาสูบที่ติดเชื้อ *A. tumefaciens* LBA4404(pBI121) และ EHA105(pBI121) บนอาหารสูตรชักนำให้เกิดต้นที่เติมไทเม็นทินความเข้มข้นต่างๆ และรายงานว่าไม่พบมีการติดเชื้อในเนื้อเยื่อในยาสูบที่ผ่านการย้ายลงอาหารใหม่ (sub-culture) 3 ครั้ง บนอาหารที่เติมไทเม็นทินความเข้มข้น 500 mg./l. อาหารที่เติมไทเม็นทินความเข้มข้น 500 mg./l. ร่วมกับคาบินิชลิน 250 mg./l. และเสนอว่าไทเม็นทินมีประสิทธิภาพในการยับยั้ง

การเจริญของ *A. tumefaciens* เทียบเท่ากับเชื้อไฟแทคซึมและคาบินิชลิน แต่มีผลเสียต่อการเจริญเป็นต้นใหม่ของยาสูบน้อยกว่าเชื้อไฟแทคซึมและคาบินิชลิน

ในการส่งถ่ายยืนสู่พืชโดย *A. tumefaciens* ขั้นตอนภายหลังการ co-cultivation เพื่อให้เนื้อเยื่อพืชติดเชื้อ *A. tumefaciens* คือการนำเนื้อเยื่อพืชไปเลี้ยงบนอาหารคัดเลือกที่เติมสารปฏิชีวนะเพื่อกำจัด *A. tumefaciens* ซึ่งเป็นขั้นตอนที่สำคัญ เนื่องจากการปนเปื้อนของ *A. tumefaciens* ระหว่างการเพาะเลี้ยงเนื้อเยื่อทำให้อัตราการเกิดตันและ rak ของพืชลดลงและทำให้พืชตายได้ แต่อย่างไรก็ตามการเติมสารปฏิชีวนะในอาหารเพาะเลี้ยงเนื้อเยื่อเพื่อกำจัด *A. tumefaciens* อาจมีผลยับยั้งการเจริญของเนื้อเยื่อพืชได้ เช่นกัน (Dodds and Robert, 1981) ดังนั้นจึงควรคำนึงถึงอิทธิพลของสารปฏิชีวนะนั้นต่อการเจริญของพืชเป้าหมายด้วย ในศึกษาบทที่ 3 การทดลองที่ 3.4 ผู้ทำการทดลองได้ศึกษาอิทธิพลของสารปฏิชีวนะเชื้อไฟแทคซึมต่อการเจริญเป็นต้นของแคลลัสข้าวพันธุ์ชัยนาท 1 ซึ่งเป็นพืชเป้าหมายสำหรับการส่งถ่ายยืนโดย *A. tumefaciens* และพบว่าเชื้อไฟแทคซึมความเข้มข้น 250 มก./ล. เป็นความเข้มข้นต่ำที่สุดที่มีผลยับยั้งการเจริญเป็นต้นของแคลลัสข้าว และจากผลการทดลองในบทนี้พบว่าเชื้อไฟแทคซึมความเข้มข้น 250 มก./ล. มียับยั้งการเจริญของ *A. tumefaciens* LBA4404(pBI121) และ EHA105(pCAMBIA1301) ได้อย่างมีประสิทธิภาพ เช่นกัน ดังนั้นการเติมเชื้อไฟแทคซึมความเข้มข้น 250 มก./ล. ในอาหารคัดเลือกเป็นความเข้มข้นที่เหมาะสมสำหรับกำจัด *A. tumefaciens* LBA4404(pBI121) และ EHA105(pCAMBIA1301) โดยมีผลเสียหายต่อการเกิดตันใหม่ของแคลลัสข้าวพันธุ์ชัยนาท 1 น้อยที่สุด

จากการศึกษาการส่งถ่ายยืนสู่เมล็ดข้าวพันธุ์ชัยนาท 1 และหอนสุพรรณบุรี โดย *A. tumefaciens* LBA4404(pBI121) และ EHA105(pCAMBIA1301) พบว่าสามารถสร้างแคลลัสข้าวที่ต้านทานต่อการนามัยชินและไอกอร์มัยชิน และแคลลัสพันธุ์ชัยนาท 1 ที่ต้านทานต่อการนามัยชินเจริญเป็นต้นข้าวแปลงพันธุ์ที่ต้านทานต่อการนามัยชินได้ โดยไม่ต้องใช้สารชักนำยืน vir (vir inducer) Vijayachanda et al. รายงานว่าแคลลัสที่ชักนำได้จากเนื้อเยื่อ scutellum ของเมล็ดข้าว และเนื้อเยื่อ scutellum ของต้นกล้าข้าวอายุ 5 วัน ที่เพาะเลี้ยงบนอาหารเติม 2,4-D กระตุ้นการแสดงออกของยืน vir E ได้ นอกจากนี้ยังมีส่วนในการสร้าง T-strand ใน *A. tumefaciens* ด้วย และเสนอว่าเนื้อเยื่อ scutellum และแคลลัสข้าวที่เกิดจากเนื้อเยื่อ scutellum เป็นเนื้อเยื่อที่เหมาะสมสำหรับการส่งถ่ายยืน ดังนั้นจึงผู้ทำการทดลองจึงตั้งสมมติฐานว่าเนื้อเยื่อ scutellum ของเมล็ดข้าวพันธุ์ชัยนาท 1 และหอนสุพรรณบุรี อาจมีสารชักนำยืน vir เช่นกัน อย่างไรก็ตาม Azhakanandam et al. (2000) ศึกษาการส่งถ่ายยืนเข้าสู่แคลลัสข้าวพันธุ์ Taipei309, Tinamen และ Pusa Basmati1 โดย *A. tumefaciens* ได้รายงานว่าภายหลังการ co-cultivation แคลลัสข้าวร่วมกับ *A. tumefaciens* โดยไม่ใช้สารชักนำยืน vir ทำให้ไม่พบมีการแสดงออกของยืน gus ในแคลลัสข้าว ถึงแม้ว่า *A. tumefaciens* ที่ใช้ในการทดลองจะเป็นสายพันธุ์แบบ super-virulent ก็ตาม มีรายงานการส่งถ่ายยืนสู่ข้าวและอัญพืชจำนวนมากใช้สาร

ชักนำยืน *vir* กระตุ้นการแสดงออกของยืน *vir* ใน *A. tumefaciens* ก่อนนำไปเป็นตัวกลางส่งถ่ายยืนสู่พืช เช่น *acetosyringone* และ *potato suspension*

การศึกษาครั้งนี้ประสบความสำเร็จในการส่งถ่ายยืนโดยมีเมล็ดข้าวเป็นเป้าหมายในการส่งถ่ายยืนเช่นเดียวกับการศึกษาของ Aldemita and Hodge(1996) ซึ่งรายงานการนำคัพกะอ่อนของข้าวจากอนิกาพันธุ์ Radon และข้าวอินดิคาพันธุ์ IR72 และพันธุ์ TCS10 บ่มร่วมกับ *A. tumefaciens* และมีประสิทธิภาพในการส่งถ่ายยืนสู่ข้าวจากอนิกาและข้าวอินดิคาเท่ากับ 27% และ 1-5% ตามลำดับ มีรายงานความสำเร็จในการส่งถ่ายยืนเข้าสู่เนื้อร่วนอื่น ๆ ของข้าว เช่น แคลลัส(Hiei et al., 1994; Lucca et al., 2001) และปลายยอด(shoot apex)(Park et al., 1996)

อาหารที่ใช้ในขั้นตอนการ co-cultivation เมล็ดข้าวพันธุ์ชัยนาท 1 และหอนสุพรรณบุรีร่วมกับ *A. tumefaciens* การศึกษาครั้งนี้คือ อาหารสูตร N<sub>6</sub> ที่เติมน้ำตาลซูโครสความเข้มข้น 2%(w/v), 2,4-D ความเข้มข้น 22.5 μM, เดชินไฮโดรไลส์ความเข้มข้น 300 มก./ล. และผงวุ้น 0.8%(w/v) (pH 5.7) และบ่มที่อุณหภูมิ 28°ช. สภาวะของการบ่มเนื้อร่วนร่วมกับ *A. tumefaciens* ครั้งนี้สอดคล้องกับรายงานของ Hiei et al.(1994) ซึ่งรายงานว่าการบ่มแคลลัสข้าวที่ชักนำให้เกิดจากเนื้อร่วน scutellum ร่วมกับ *A. tumefaciens* บนอาหารที่มี pH 4.8-6.2 ณ อุณหภูมิ 22-28°ช. ทำให้แคลลัสมีการแสดงออกของยืน *gus* สูง และเสนอว่าอาหารที่เติม 2,4-D ร่วมกับเดชินไฮโดรไลเซทเป็นอาหารที่เหมาะสมสำหรับการบ่มเนื้อร่วนข้าวร่วมกับ *A. tumefaciens* มีรายงานความสำเร็จในการส่งถ่ายยืนโดย *A. tumefaciens* ที่สภาวะอุณหภูมิแตกต่างจากการศึกษาในครั้งนี้โดย Alt-Morbe et al.(1989) ศึกษาอิทธิพลของอุณหภูมิที่เหมาะสมสำหรับชักนำการแสดงออกของยืน *virG* และ *virD* ใน *A. tumefaciens* และรายงานว่า อุณหภูมิต่ำกว่า 28°ช. ทำให้ยืน *virG* มีการแสดงออกได้ดี แต่การ co-cultivation ที่อุณหภูมิสูงขึ้นยังคงการแสดงออกของยืน *virG* Salas et al.(2001) รายงานว่าการบ่มเนื้อร่วนใบยาสูบร่วมกับ *A. tumefaciens* LBA4404 ที่อุณหภูมิ 25°ช. ทำให้เนื้อร่วนพืชตอบสนองต่อ *A. tumefaciens* มากขึ้น และทำให้การสอดแทรกของ T-DNA ในจีโนมยาสูบมีความเสถียรมากขึ้นด้วย

สายพันธุ์ของ *A. tumefaciens* ที่ใช้ในการศึกษาครั้งนี้คือ LBA4404(pBI121) และ EHA105(pCAMBIA1301) ซึ่งเป็นเวกเตอร์แบบ binary vector ซึ่ง Chan et al. (1992) รายงานความสำเร็จในการใช้ *A. tumefaciens* LBA4404(pBI121) ส่งถ่ายยืนต้านทานต่อภานามัยชินเข้าสู่ข้าวอินดิคาพันธุ์ Taichung Native1 และสามารถสร้างแคลลัสข้าวที่ต้านทานต่อภานามัยชินได้ ผลการศึกษาครั้งนี้สนับสนุนรายงานของ Datta et al.(2000) ซึ่งรายงานการส่งถ่ายยืนสู่แคลลัสข้าวพันธุ์ Basmati122 และ Tulsi ที่ต้านทานต่อไข่โกรมมัยชิน *A. tumefaciens* LBA4404(pNO1) และชักนำแคลลัสให้เจริญเป็นต้นได้ และเสนอว่าไม่มีความจำเป็นในการใช้สายพันธุ์ *A. tumefaciens* แบบ supervirulent strain ในการส่งถ่ายยืนสู่ข้าว Cheng et al.(1998) ประสบความสำเร็จในการส่งถ่ายยืน *cryIA* และ *cryIB* เข้าสู่ข้าวโดย

*A. tumefaciens* LBA4404(pKUB) และ EHA105(pKUC) (pKUB) และต้นข้าวแปลงพันธุ์ มีลักษณะด้านท่านต่อแมลงศัตรูพืชได้

เวคเตอร์ที่ใช้ในการส่งถ่ายยีนครั้งนี้มี CaMV35S เป็นโพรโมเตอร์ควบคุมการแสดงออกของยีนคัดเลือก (*nptII* และ *hptII*) และยีนรายงานผล (*gus*) CaMV35S เป็นโพรโมเตอร์ที่ทำงานได้อย่างมีประสิทธิภาพในพืชส่วนใหญ่ และนำมาใช้เพื่อควบคุมการแสดงออกของยีนที่ส่งถ่ายสู่ข้าว และอัญพืชหลายชนิด ผลการตรวจสอบการแสดงออกของยีน *gus* ในแคลลัสและต้นข้าวพันธุ์ชัยนาท 1 แปลงพันธุ์แสดงให้เห็นว่า CaMV35S ควบคุมการแสดงออกของยีนที่สนใจในแคลลัส และต้นข้าวแปลงพันธุ์ได้อย่างมีประสิทธิภาพ ซึ่งสอดคล้องกับรายงานของ Hiei et al. (1994) ที่รายงานว่า CaMV35S ควบคุมการแสดงออกของยีนที่สนใจในข้าวแปลงพันธุ์ได้อย่างมีประสิทธิภาพ Chan et al. (1992), Dong et al. (1996), Park et al. (1996) และ Cheng et al. (1998) รายงานความสำเร็จในการส่งถ่ายยีนสู่ข้าวโดย *A. tumefaciens* โดยมีโพรโมเตอร์ CaMV35S ควบคุมการแสดงออกของยีนคัดเลือกและยีนรายงานผล

ผลการศึกษาการส่งถ่ายยีนเข้าสู่เมล็ดข้าวโดย *A. tumefaciens* LBA4404(pBI121) และ EHA105(pCAMBIA1301) พบร่วมกับ *A. tumefaciens* LBA4404(pBI121) พบว่าเมล็ดข้าวพันธุ์ชัยนาท 1 และหอนสุพรรณบุรี ที่ผ่านการบ่มร่วมกับ *A. tumefaciens* LBA4404(pBI121) มีการเกิดแคลลัสเท่ากับ 67.3 และ 74.6% ตามลำดับ และเมล็ดข้าวพันธุ์ชัยนาท 1 และหอนสุพรรณบุรีที่ผ่านการบ่มร่วมกับ EHA105(pCAMBIA1301) มีการเกิดแคลลัสเท่ากับ 80.6 และ 82.7% ตามลำดับ การเกิดแคลลัสจากเมล็ดดังกล่าวมีค่าลดลงจากการเกิดแคลลัสจากเมล็ดข้าวปกติที่ไม่ติดเชื้อ *A. tumefaciens* (ผลการทดลองที่ 3.2) ซึ่งอาจมีสาเหตุจากการบ่มเมล็ดข้าวร่วมกับ *A. tumefaciens* เป็นเวลา 3 วัน ซึ่งในระยะเวลาดังกล่าวแบคทีเรียอาจทำให้สร้างความเสียหายให้แก่เนื้อเยื่อเจริญและส่งผลให้เมล็ดมีอัตราการเกิดแคลลัสลดลง แต่อย่างไรก็ตามการทดลองครั้งนี้สามารถคัดเลือกแคลลัสและต้นข้าวแปลงพันธุ์ที่ด้านท่านต่อภานามัยชินและไฮโกรมัยชินบนอาหารคัดเลือกที่เติมภานามัยชินความเข้มข้น 50 มก./ล. และไฮโกรมัยชินความเข้มข้น 20 มก./ล. ตามลำดับ ผลการทดลองพบว่าการเกิดแคลลัสข้าวพันธุ์ชัยนาท 1 และหอนสุพรรณบุรีที่ด้านท่านต่อภานามัยชินมีค่าเท่ากับ 5.8 และ 3.7% ตามลำดับ และการเกิดแคลลัสข้าวพันธุ์ชัยนาท 1 และหอนสุพรรณบุรีที่ด้านท่านต่อไฮโกรมัยชินมีค่าเท่ากับ 2.8 และ 3.5% ตามลำดับ แต่มีเพียงแคลลัสข้าวพันธุ์ชัยนาท 1 ที่ด้านท่านต่อภานามัยชินที่สามารถเจริญเป็นต้นได้ และมีการเกิดต้นเท่ากับ 3.2% โดยต้นข้าวแปลงพันธุ์ทั้งหมดมีลักษณะสีเขียวปกติ Ayes and Park (1994) รายงานว่าแคลลัสข้าวที่เพาะเลี้ยงบนอาหารที่เติมภานามัยชินส่วนใหญ่เจริญเป็นต้นที่มีลักษณะเผือก เช่นเดียวกับ ทศพร พิพัฒน์ภานุกูล(2542) ที่รายงานการซักนำแคลลัสข้าวพันธุ์ กข 6 ที่ด้านท่านต่อภานามัยชินให้เกิดต้นบนอาหารสูตรซักนำให้เกิดต้นที่เติมภานามัยชินความเข้มข้น 50 มก./ล. โดยต้นข้าวแปลงพันธุ์ส่วนใหญ่มีลักษณะเผือก และต้นข้าวเผือกดังกล่าวมีการแสดงออกของยีน *gus*

การตรวจสอบการแสดงออกของยีน *gus* ในต้นข้าวพันธุ์ชั้นนาท 1 ที่เจริญบนอาหารคัดเลือกที่เติมก้านมัยชินแบบสุ่มตัวอย่างตามวิธีทางสถิติ พบว่าทุกต้นที่นำมาตรวจสอบมีการแสดงออกของยีน *gus* ในลำต้น ใน และราก โดยไม่พบมีพีซ escape จึงอาจกล่าวได้ว่ายีน *npvII* เป็นยีนคัดเลือกที่มีประสิทธิภาพสำหรับการส่งถ่ายยีนในข้าว ผลการทดลองนี้ไม่สอดคล้องกับรายงานของ Hauptmann et al. (1988) ที่รายงานว่าสารปฏิชีวนะก้านมัยชินไม่เหมาะสมใช้เป็น selective agent สำหรับการคัดเลือกแคลลัสข้าวแปลงพันธุ์ เนื่องจากแคลลัสข้าวมีความต้านทานตามธรรมชาติต่อ ก้านมัยชินได้ในปริมาณสูง มีรายงานการความสำเร็จในการใช้ก้านมัยชินเป็น selective agent สำหรับการส่งถ่ายยีนในอัญพืชหล่ายชนิด ได้แก่ ข้าวโพด (Gould et al., 1991; Llyznik et al., 1989), ข้าวสาลี (Hauptmann et al., 1988) และข้าว (Dekeyser et al., 1989; Gould et al., 1991; Peng et al., 1992)

การตรวจสอบผลการส่งถ่ายยีนโดยเทคนิค PCR โดยมี CaMV35S เป็นดีเอ็นเอเริ่มต้น และดีเอ็นเอสกัดจากใบข้าวเป็นดีเอ็นเอต้นแบบพบว่ามีดีเอ็นเอขนาด 189 bp ในทุกตัวอย่างที่นำมาทดสอบ ดังนั้นจึงมีการสอดแทรกของ CaMV35S ในจีโนมของข้าวทุกต้นที่นำมาทดสอบ การนำต้นข้าวพันธุ์ชั้นนาท 1 แปลงพันธุ์ที่ต้านทานต่อ ก้านมัยชินลงปลูกพบว่าต้นข้าวแปลงพันธุ์สามารถเจริญเติบโตและออกวงให้ผลผลิตรุ่นลูก( $T_1$ )ได้

ผลการทดสอบอิทธิพลของก้านมัยชินต่อการออกของเมล็ดข้าวพันธุ์ชั้นนาท 1 พบว่าอาหารสูตร N<sub>6</sub> ที่เติมน้ำตาลซูโครส 2%, ผงวุ้น 0.8% ร่วมกับก้านมัยชินความเข้มข้น 50 mg./l. เป็นอาหารคัดเลือกที่เหมาะสมสำหรับการคัดเลือกเมล็ดข้าวพันธุ์ชั้นนาท 1 แปลงพันธุ์ที่ต้านทานต่อ ก้านมัยชิน เนื่องจากการก้านมัยชินที่ความเข้มข้นดังกล่าวมีผลทำให้เมล็ดข้าวพันธุ์ชั้นนาท 1 ปกติ เจริญเป็นต้นที่มีลักษณะสีขาว ซึ่งเป็นลักษณะที่แตกต่างจากต้นข้าวที่เจริญบนอาหารที่ไม่เติม ก้านมัยชินอย่างชัดเจน การเพาะเลี้ยงเมล็ดข้าวพันธุ์ชั้นนาท 1 แปลงพันธุ์ที่ต้านทานต่อ ก้านมัยชินบนอาหารคัดเลือกที่เติมก้านมัยชินความเข้มข้น 50 mg./l. พบว่าเมล็ดข้าวมีอัตราส่วนจำนวนเมล็ดที่ต้านทานต่อ ก้านมัยชินต่อจำนวนเมล็ดที่ไม่ต้านทานต่อ ก้านมัยชิน เท่ากับ 1:1 ซึ่งเป็นอัตราส่วนที่ตรงตามกฎของเมนเดลและแสดงให้เห็นว่ามีการถ่ายทอดลักษณะต้านทานต่อ ก้านมัยชินจากต้นพ่อแม่ไปสู่รุ่นลูกได้ รวมทั้งอธิบายได้ว่าการแทรกตัวของ T-DNA ในจีโนม ข้าวเกิดขึ้น ณ ตำแหน่งโลคัสเดียว(single locus) Dai et al. (2001) รายงานการเพาะเลี้ยงเมล็ด ข้าวรุ่นลูกของข้าวพันธุ์ Taipei309 แปลงพันธุ์ที่มีการแสดงออกของยีน *codA* โดยนำไปเพาะเลี้ยงบนอาหารคัดเลือกที่เติม 5-FU และพบมีอัตราส่วนจำนวนเมล็ดที่ต้านทานต่อ 5-FU ต่อจำนวนเมล็ดที่ไม่ต้านทานต่อ 5-FU เท่ากับ 3:1

## บทที่ 5

### การศึกษาเซลล์พันธุศาสตร์ สปรีวิทยาและสัณฐานวิทยา ในข้าวแปลงพันธุ์

#### บทนำ

ในการศึกษาวิทยานิพนธ์ระดับปริญญาโท ผู้ทำการทดลองสามารถส่งถ่ายยืนต้านทานต่อไฮโกรมัยชินเข้าสู่แคลลัสข้าวพันธุ์ กช 6 แปลงพันธุ์โดย *A. tumefaciens* และซักนำให้แคลลัสนั้นเจริญเป็นต้นข้าวแปลงพันธุ์ที่ต้านทานต่อไฮโกรมัยชินได้ และเพื่อให้กระบวนการศึกษาการส่งถ่ายยืนมีความสมบูรณ์มากยิ่งขึ้น จึงออกแบบการทดลองให้นำต้นข้าวพันธุ์ กช 6 แปลงพันธุ์ ดังกล่าวลงปลูกเพื่อศึกษาลักษณะทางเซลล์พันธุศาสตร์ สปรีวิทยา และสัณฐานวิทยาในต้นข้าวแปลงพันธุ์รุ่น  $T_0$ ,  $T_1$  และ  $T_2$  เปรียบเทียบกับต้นข้าวพันธุ์ กช 6 ปกติ และยืนยันการสอดแทรกของ T-DNA ใน จีโนมข้าวรุ่น  $T_0$ ,  $T_1$  และ  $T_2$  ด้วยเทคนิค PCR นอกจากนี้ยังศึกษาการถ่ายทอดลักษณะต้านทานต่อไฮโกรมัยชินไปสู่รุ่น  $T_1$  และ  $T_2$  อีกด้วย โดยคาดว่า การศึกษาในครั้นนี้จะเป็นข้อมูลพื้นฐานสำหรับการปรับปรุงพันธุ์ข้าว กช 6 ในอนาคตต่อไป

#### อุปกรณ์และวิธีการทดลอง

##### การทดลองที่ 5.1 การนำข้าวพันธุ์ กช 6 แปลงพันธุ์ที่ต้านทานต่อไฮโกรมัยชินลงปลูก

นำต้นข้าวพันธุ์ กช 6 แปลงพันธุ์ที่ต้านทานต่อไฮโกรมัยชินรุ่น  $T_0$  และมีการเจริญของต้นและรากที่สมบูรณ์ออกจากขวดทดลอง ลังอาหารวุ่นออกจากรากด้วยน้ำสะอาด แล้วผึ่งให้แห้งเล็กน้อย นำต้นข้าวลงปลูกในกระถางดิน โดยจัดวางกระถางให้อยู่ในที่ร่มเป็นเวลา 1 สัปดาห์ จนกระถั้งต้นข้าวตั้งตัวได้จึงย้ายไปไว้ในเรือนเพาะชำที่มีแสงแดดร่องถึงทั้งวัน ปลูกต้นข้าวต่อไปจนกระถั้งออกใบ แล้วเก็บเมล็ดข้าวรุ่นลูกไสวสำหรับปลูกในปีถัดไป ดังแสดงในภาพที่ 37

###### 5.1.1 การตรวจสอบการแสดงออกของยีน *gus* โดยวิธี *gus assay*

นำชิ้นเนื้อเยื่อที่ต้องการตรวจสอบ ซึ่งได้แก่ เมล็ดข้าวแปลงพันธุ์ แคลลัสที่เกิดจากเมล็ดข้าวแปลงพันธุ์ และใบข้าวแปลงพันธุ์ มาซับด้วยกระดาษกรองให้แห้ง นำไปใส่ในหลอดในโคลเซนตրิฟิวส์แล้วเติม X-gluc assay buffer ให้ท่วมเนื้อเยื่อ บ่มที่อุณหภูมิ 37°C. เป็นเวลา 12 ชั่วโมง สำหรับใบข้าวให้นำแซ่ในเอทานอล 95% (v/v) จนกระถั้งไม่มีสีเขียวของคลอร์โฟิลล์ จึงตรวจสอบสีของเนื้อเยื่อ

###### 5.1.2 การตรวจสอบผลการส่งถ่ายยืนด้วยเทคนิค PCR

นำไปข้าวจากต้นข้าวพันธุ์ กช 6 แปลงพันธุ์ และต้นข้าวพันธุ์ กช 6 ปกติมาสักดีเอนเออ ด้วยวิธี CTAB method เพื่อใช้เป็นต้นแบบสำหรับการตรวจสอบและดีเอนเออเริ่มต้นที่ใช้

สำหรับการทำ PCR คือ CaMV35S( $5'-GCTCCTACAAATGCCATCA-3'$  และ  $5'-GATA GTGGGATTGTGGTCA-3'$ ) สภาวะของการทำ PCR คือ pre-denaturation ที่  $94^{\circ}\text{ช.}/3$  นาที จำนวน 1 รอบ; denaturation  $94^{\circ}\text{ช.}/20$  วินาที, annealing ที่  $50^{\circ}\text{ช.}/40$  วินาที, extension  $72^{\circ}\text{ช.}/60$  วินาที จำนวนรอบ 40 รอบ; final extension  $72^{\circ}\text{ช.}/3$  นาที จำนวน 1 รอบ และ cooling phase  $4^{\circ}\text{ช.}/1$  นาที ตรวจวิเคราะห์ผลการทำ PCR ด้วยเทคนิคอิเล็กโทรโฟเรซิส (electrophoresis)

#### การทดลองที่ 5.2 การศึกษาอิทธิพลของสารปฏิชีวนะไฮโกรมัยชินต่อการออกของเมล็ดข้าวพันธุ์ กข6

นำเมล็ดข้าวพันธุ์ กข6 มาแกะเปลือก ล้างให้สะอาดด้วยผงซักฟอกและน้ำประปา แซ่เมล็ดข้าวในเอทานอล 70%(v/v) เป็นเวลา 1 นาที แล้วนำไปในขวดรูปชามพู่ที่มีแคลเซียม-ไฮโปคลอไรต์ความเข้มข้น 2%(w/v) และ Tween-20 จำนวน 2-3 หยด เช่นเดียวกันเป็นเวลา 45 นาที จากนั้nl ล้างด้วยน้ำกลั่นผ่านเชือ 4 ครั้ง เป็นเวลา 5 นาทีต่อครั้ง โดยเช่นเดียวกันเป็นครั้งคราว ย้ายเมล็ดลงเลี้ยงบนอาหารสูตร N<sub>6</sub> ที่เติมน้ำตาลซูโครส 2%(w/v), ผงวุน 0.8%(w/v) และไฮโกรมัยชินความเข้มข้น 0, 5, 10, 15, 20 และ 25 mg./l. โดยเพาะเลี้ยงเมล็ดจำนวน 45 เมล็ดต่อความเข้มข้น นำเมล็ดไปเพาะเลี้ยงในที่อุณหภูมิ  $25^{\circ}\text{ช.}$  ความชื้นคงที่ 1000 ลักษณะ, 16 ชั่วโมง/วัน เป็นเวลา 2 สัปดาห์ บันทึกอัตราการออก น้ำหนักสดตันและราก

#### การทดลองที่ 5.3 การศึกษาอัตราส่วนจำนวนเมล็ดที่ต้านทานไฮโกรมัยชินต่อจำนวนเมล็ดที่ไม่ต้านทานไฮโกรมัยชินในเมล็ดข้าวพันธุ์ กข6 แปลงพันธุ์ที่ต้านทานต่อไฮโกรมัยชินรุ่น T<sub>0</sub> และ T<sub>1</sub>

นำเมล็ดข้าวพันธุ์ กข6 แปลงพันธุ์ที่ต้านทานต่อไฮโกรมัยชินรุ่น T<sub>0</sub> และ T<sub>1</sub> มาแกะเปลือก ล้างให้สะอาดด้วยผงซักฟอกและน้ำประปา แซ่เมล็ดข้าวในเอทานอล 70%(v/v) เป็นเวลา 1 นาที แล้วนำไปในขวดรูปชามพู่ที่มีแคลเซียม-ไฮโปคลอไรต์ 2%(w/v) และ Tween-20 จำนวน 2-3 หยด เช่นเดียวกันเป็นเวลา 45 นาที จากนั้nl ล้างด้วยน้ำกลั่นผ่านเชือ 4 ครั้ง เป็นเวลา 5 นาทีต่อครั้ง โดยเช่นเดียวกันเป็นครั้งคราว ย้ายเมล็ดลงเลี้ยงบนอาหารสูตร N<sub>6</sub> ที่เติมน้ำตาลซูโครส 2%(w/v) และผงวุน 0.8%(w/v) และไฮโกรมัยชินที่ความเข้มข้น 20 mg./l. นำเมล็ดไปเพาะเลี้ยงในที่อุณหภูมิ  $25^{\circ}\text{ช.}$  ความชื้นคงที่ 1000 ลักษณะ, 16 ชั่วโมง/วัน เป็นเวลา 2 สัปดาห์

**การทดลองที่ 5.4 การศึกษาเปรียบเทียบลักษณะทางสัณฐานวิทยาของข้าวพันธุ์ กข6 ปกติและข้าวพันธุ์ กข6 แปลงพันธุ์**

**5.4.1 การวัดค่าคักย์օสโนมิชส์ของน้ำคั้นจากใน**

นำเนื้อเยื่อในข้าวพันธุ์ กข6 ปกติ และข้าวพันธุ์ กข6 แปลงพันธุ์แซ่แข็งมาบด ตัวอย่างละ 1 g. จากนั้นนำน้ำคั้นที่ได้ใส่ในหลอดในโครเรเซนทริฟิวจ์ นำหลอดไปปั่นเหวี่ยงด้วยเครื่องปั่นเหวี่ยงที่ความเร็วรอบ 13,000 rpm เป็นเวลา 10 นาที จากนั้นดูดของเหลวส่วนบนปริมาตร 0.15 ml. ไปวัดค่าคักย์օสโนมิชส์ด้วยเครื่อง osmometer (automatic semi-micro osmometer รุ่น A0300 version 0291) มีหน่วยเป็น m Osmol/kg H<sub>2</sub>O

**5.4.2 การหาปริมาณคลอโรฟิลล์**

นำไปข้าวพันธุ์ กข6 ปกติ และในข้าวพันธุ์ กข6 แปลงพันธุ์ น้ำหนัก 1 g. บดในโกร่งให้ละเอียด โดยใช้ acetone ความเข้มข้น 80%(v/v) ปริมาณ 6 ml. ลงในโกร่ง จนกระทั่งสีเขียวของใบข้าวละลายออกมากนิด จากนั้นกรองเอากรอกใบออกด้วยกระดาษกรอง Whatman No.1 เติมอะซิโตนความเข้มข้น 80%(v/v) ลงไปในสารละลายสีเขียวที่กรองได้ จนกระทั่งสารละลายมีปริมาตรครบ 10 ml. นำสารละลายไปวัดค่าดูดกลืนแสงด้วยเครื่อง Spectronic 20 ที่ 645 nm และ 663 nm ตามลำดับ โดยมีอะซิโตนความเข้มข้น 80%(v/v) เป็น blank และนำค่าที่วัดได้ไปคำนวณหาปริมาณคลอโรฟิลล์จากสูตรคำนวณ

$$\text{คลอโรฟิลล์}(mg/g \text{ tissue}) = [12.7(A663)-2.69(A645)] \times [V \div (1000 \times W)]$$

$$\text{คลอโรฟิลล์บี}(mg/g \text{ tissue}) = [22.9(A645)-4.68(A663)] \times [V \div (1000 \times W)]$$

$$\text{คลอโรฟิลล์รวม}(mg/g \text{ tissue}) = [20.2(A645)+8.02(A663)] \times [V \div (1000 \times W)]$$

เมื่อ A663 = ค่าดูดกลืนแสงที่ 663 nm

A645 = ค่าดูดกลืนแสงที่ 645 nm

V = ปริมาตรทั้งหมดของสารละลาย

W = น้ำหนักใบ

**การทดลองที่ 5.5 การศึกษาเปรียบเทียบลักษณะทางสัณฐานวิทยาของข้าวพันธุ์ กข6 และข้าวพันธุ์ กข6 แปลงพันธุ์**

ศึกษาเปรียบเทียบลักษณะทางสัณฐานวิทยาของข้าวพันธุ์ กข6 ปกติ และข้าวพันธุ์ กข6 แปลงพันธุ์ ดังต่อไปนี้ ลักษณะต้นกล้าอายุ 4 วัน ความสูงเฉลี่ยต้นกล้าอายุ 10 วัน ความสูงเฉลี่ยต้นข้าวอายุ 3 เดือน ลักษณะใบธง(ความยาวเฉลี่ย ความกว้างเฉลี่ย ความยาวเฉลี่ยต่อความกว้างเฉลี่ย) ลักษณะเมล็ด(ความยาวเฉลี่ย ความกว้างเฉลี่ย ความยาวเฉลี่ยต่อความกว้างเฉลี่ย) และลักษณะรากข้าว (จำนวนรากต่อต้น จำนวนกิ่งปฐมภูมิ(primary branch)ต่อราก จำนวนเมล็ดต่อราก ความยาวราก)

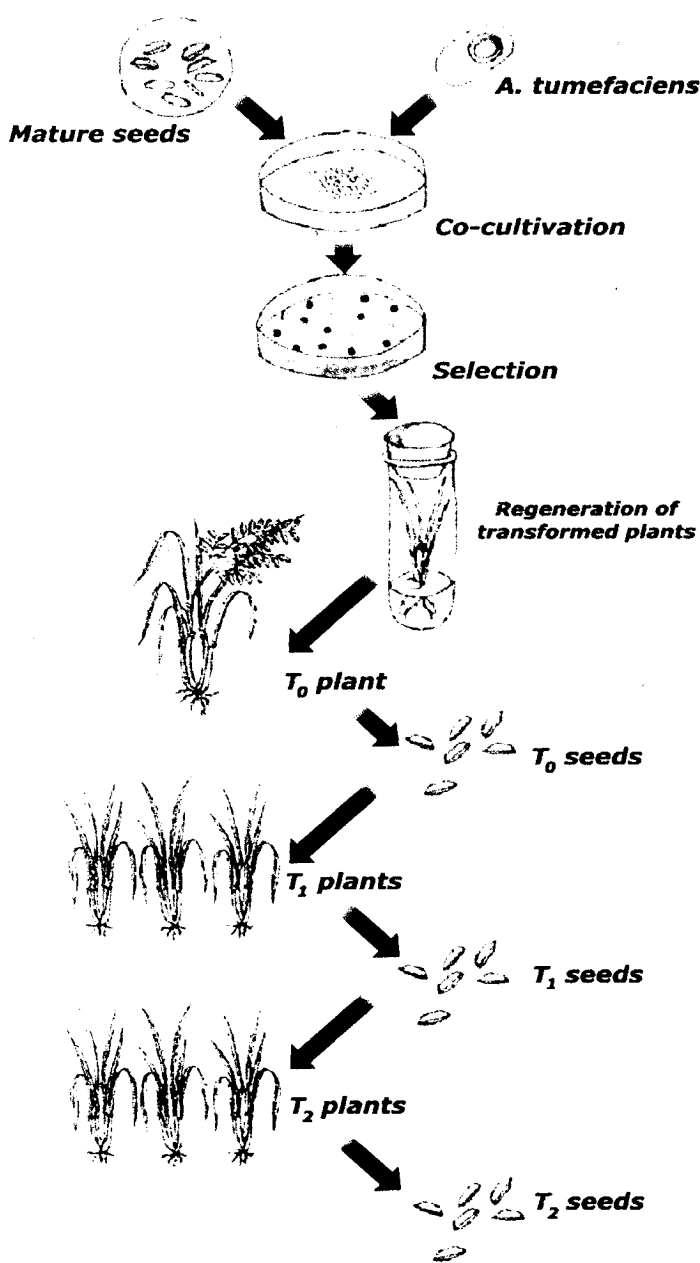
### การทดลองที่ 5.6 การศึกษาเซลล์พันธุศาสตร์

วางแผนดัดข้าวพันธุ์ กช 6 และพันธุ์ชัยนาท 1 ในงานแก้วที่รองด้วยกระดาษกรองชั้มน้ำ นำงานแก้วไปเก็บในที่มีด อุณหภูมิ 30°ช. เป็นเวลา 2-3 วัน จนกระหงนีรากออกจากเมล็ด ใช้ใบมีดโกนตัดปลายรากยาว 1 ซม. แล้วนำไปล้างให้สะอาดด้วยน้ำกลั่น ชับรากให้แห้งด้วย กระดาษทิชชูแล้วนำแซ่ในสาร pre-treatment 3 ชนิด ตามระยะเวลาและอุณหภูมิ ดังต่อไปนี้

Pre-treatment	ระยะเวลา	อุณหภูมิ
0.002 M 8-hydroxyquinoline	2.5 ชม.	28°ช.
0.2% colchicine	4 ชม.	4°ช.
1% $\alpha$ -bromonaphthalene	2 ชม.	28°ช.

เมื่อครบระยะเวลาที่กำหนดนำปลายรากข้าวแซ่ในน้ำกลั่น 2 ครั้ง เป็นเวลา 5 นาทีต่อครั้ง เพื่อล้างสาร pre-treatment ชับปลายรากให้แห้งด้วยกระดาษทิชชูแล้วนำไปแซ่ในสารละลาย Camoy's solution อีกเป็นเวลา 24 ชม. ที่อุณหภูมิ 4°ช. เมื่อครบกำหนดล้างรากข้าวด้วยเอทานอล 70%(v/v) ก่อนนำไปเก็บรักษาในเอทานอล 70%(v/v) ที่อุณหภูมิ 4°ช. เมื่อต้องการศึกษา นำล้างรากข้าวให้สะอาดด้วยน้ำกลั่น ตัดเฉพาะบริเวณปลายรากที่มีสีขาวชุ่นวางแผนบนแผ่นสไลด์ หยด 1N HCl ให้ท่วมปลายรากแล้วนำไปผ่านเปลวไฟจนกระหงน้ำกลั่นอ่อนนุ่ม ชี้ปลายรากด้วยปลายเข็มเชี่ย แล้วข้อมด้วยสี orcein เป็นเวลา 5 นาที ปิดแผ่นสไลด์ด้วยกระจะกปิดสไลด์ นำไปตรวจด้วยกล้องจุลทรรศน์เพื่อนับจำนวนเซลล์ในระยะเมตาเฟส

ศึกษาจำนวนโครโนไซม์ปลายรากข้าวพันธุ์ กช 6 ที่ต้านทานต่อไฮโกรมัยซินและปลายรากข้าวพันธุ์ชัยนาท 1 ที่ต้านทานต่อก้านมายซินด้วยวิธีการดึงกล้ามมาแล้ว และเปรียบเทียบกับจำนวนโครโนไซม์ปลายรากข้าวพันธุ์ กช 6 และพันธุ์ชัยนาท 1 ปกติ



ภาพที่ 37 แผนผังแสดงขั้นตอนการนำข้าวพันธุ์ กข 6 แปลงพันธุ์ที่ดำเนินงานต่อไข่กรมพัฒนาชีวนิจลปลูก

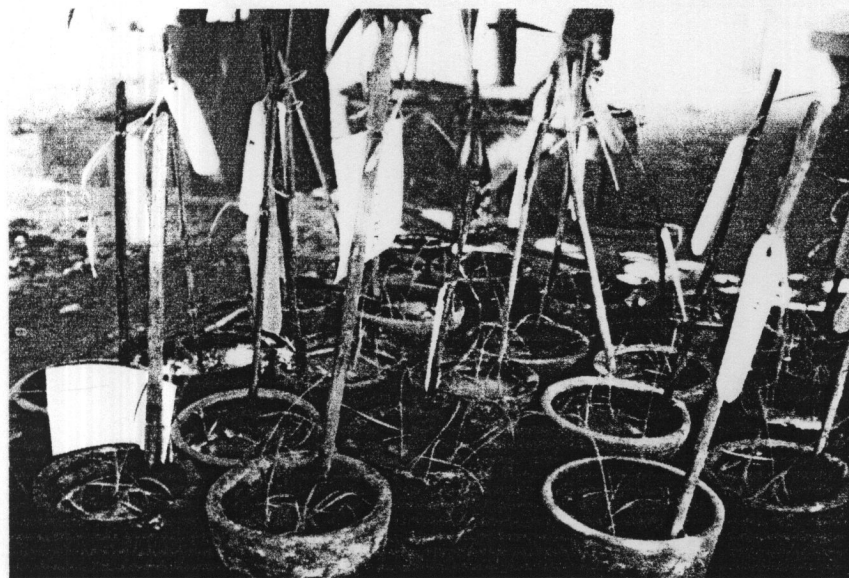
## ผลการทดลอง

### ผลการทดลองที่ 5.1 การนำข้าวพันธุ์ กช 6 แปลงพันธุ์ที่ต้านทานต่อไฮโกรมัยซินลงปลูก

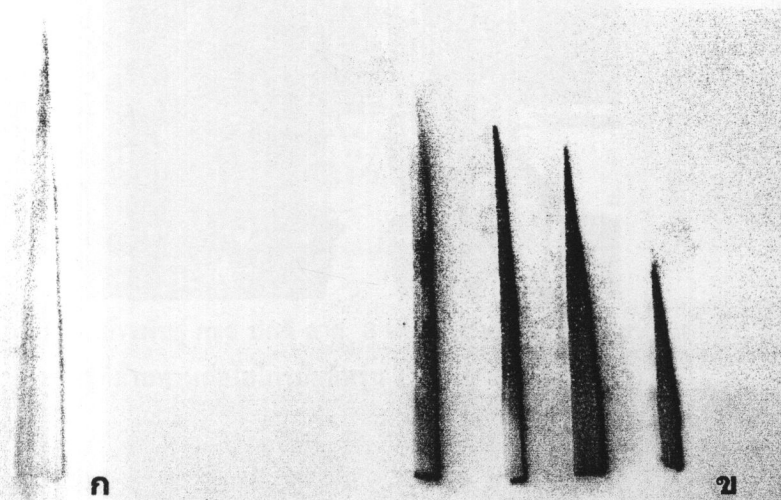
จากการนำข้าวพันธุ์ กช 6 แปลงพันธุ์ที่ต้านทานต่อไฮโกรมัยซินลงปลูกในดินกระถาง พบว่าต้นข้าวส่วนใหญ่มีชีวิตрод และตั้งตัวได้เมื่อนำไปปลูกในที่ร่มเป็นเวลา 1 สัปดาห์ (ภาพที่ 38) ผลตรวจสอบการแสดงออกของยีน *gus* ในใบข้าวรุ่น  $T_0$  ที่นำลงปลูกพบว่าทุกใบมีสีฟ้า (ภาพที่ 39) ต้นข้าวพันธุ์ กช 6 แปลงพันธุ์สามารถเจริญเติบโตจนกระทั่งออกวงให้ผลผลิต เช่นเดียวกับต้นข้าวปกติ ได้ดังแสดงผลในภาพที่ 40, 41 และ 42

ผลการนำเมล็ดข้าวพันธุ์ กช 6 แปลงพันธุ์ที่ต้านทานต่อไฮโกรมัยซินรุ่น  $T_0$  และ  $T_1$  ลงปลูกพบว่าต้นข้าวเจริญเติบโตและออกวงในระยะเวลาใกล้เคียงกับต้นข้าวพันธุ์ กช 6 ปกติ (ภาพที่ 43 และ 44) ผลการตรวจสอบการแสดงออกของยีน *gus* ในเมล็ดข้าวพันธุ์ กช 6 แปลงพันธุ์ที่ต้านทานต่อไฮโกรมัยซิน รุ่น  $T_0$  และ  $T_1$  พบว่าบริเวณดีพะ楷และเอโนโดสเปิร์มของเมล็ดมีการแสดงออกของยีน *gus* (ภาพที่ 45, 46) และแคลลัสที่เกิดจากเมล็ดข้าวแปลงพันธุ์รุ่น  $T_0$  และใบข้าวแปลงพันธุ์รุ่น  $T_1$  มีการแสดงออกของยีน *gus* เช่นกัน (ภาพที่ 47 และ 48)

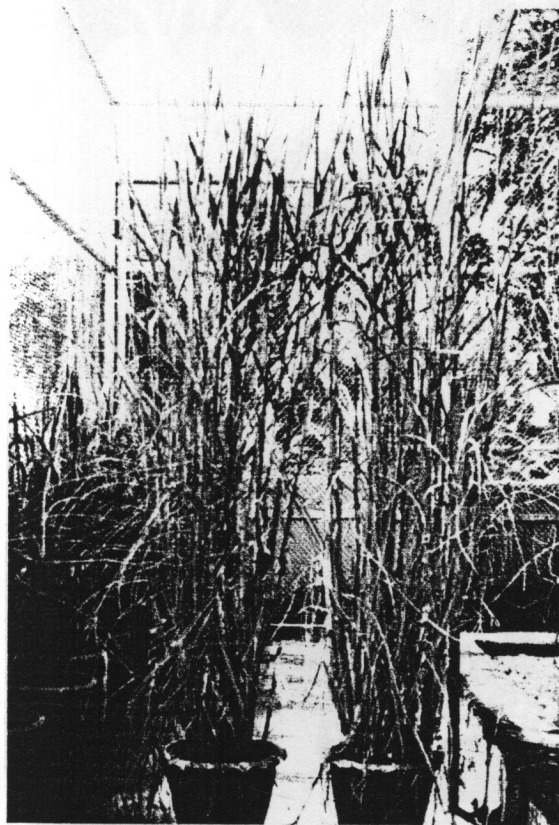
การตรวจสอบดีเอนเอที่สกัดจากต้นข้าวรุ่น  $T_0$  รหัส RD6-htp1, RD6-htp2, RD6-htp3, RD6-htp4, RD6-htp5, RD6-htp6, RD6-htp7, RD6-htp8 และ RD6-htp9 และดีเอนเอที่สกัดจากต้นข้าวแปลงพันธุ์รุ่น  $T_1$  รหัส RD6-htp2-3, RD6-htp3-3, RD6-htp4-5, RD6-htp5-1 รวมทั้งดีเอนเอที่สกัดจากต้นข้าวแปลงพันธุ์รุ่น  $T_2$  รหัส RD6-htp2-3-3, RD6-htp3-3-1, RD6-htp4-2-5, RD6-htp9-7-1 ด้วยเทคนิค PCR โดยมี CaMV35S เป็นดีเอนเอเริ่มต้น และตรวจวิเคราะห์ผลด้วยเทคนิคอิเล็กโทรโฟเรซิสพบว่ามีดีเอนเอขนาด 189 คู่เบสในทุกตัวอย่างที่นำมาตรวจสอบ(ภาพที่ 49, 50 และ 51)



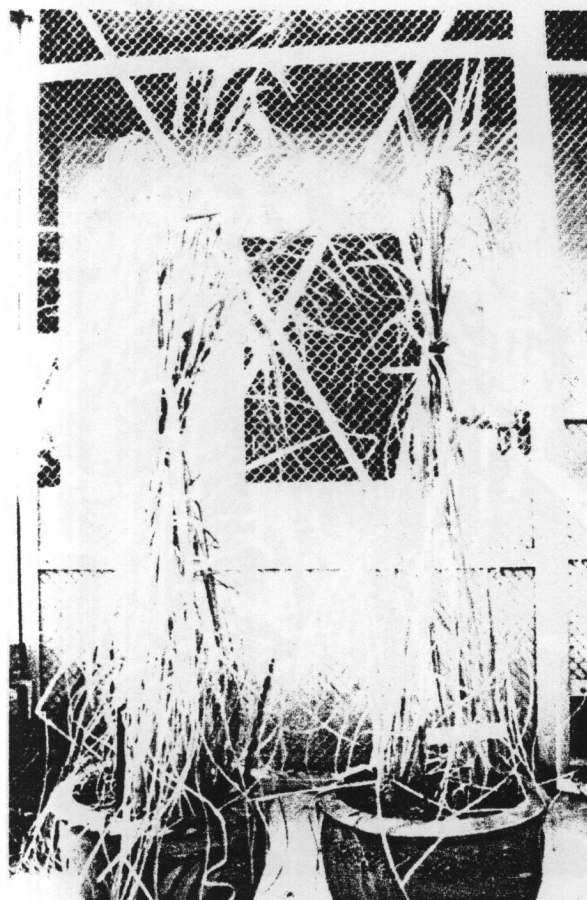
ภาพที่ 38 ลักษณะต้นข้าวพันธุ์ กข6 แปลงพันธุ์ที่ด้านหน้าต่อไฮโกรมัยชินรุ่น  $T_0$  อายุ 1 เดือน เมื่อนำลงปลูกในดินกระถาง



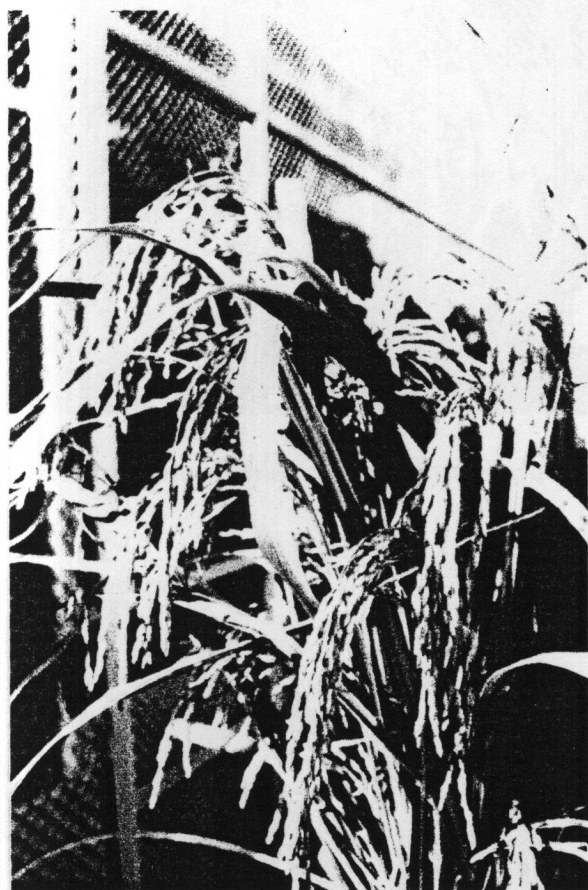
ภาพที่ 39 ผลตรวจสอบการแสดงออกของยีน gus ในใบข้าวพันธุ์ กข6 ปกติ (ก) และใบข้าวพันธุ์ กข6 ที่ด้านหน้าต่อไฮโกรมัยชินรุ่น  $T_0$  (ข)



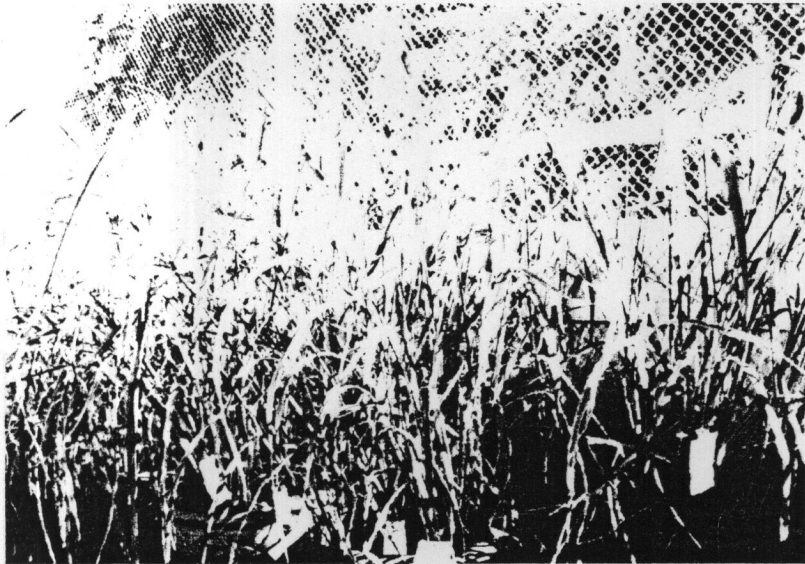
ภาพที่ 40 ลักษณะต้นข้าวพันธุ์ กช6 ปกติ อายุ 3 เดือน (ซ้าย) เปรียบเทียบกับต้นข้าวพันธุ์ กช6 แปลงพันธุ์ที่ต้านทานต่อไฮโกรมัยซินรุ่น  $T_0$  อายุ 3 เดือน (ขวา)



ภาพที่ 41 ลักษณะต้นข้าวพันธุ์ กข6 ปกติระยะอกรวง (ซ้าย) เปรียบเทียบกับต้นข้าวพันธุ์ กข6 แปลงพันธุ์ที่ด้านหน้าต่อไข่โกรนัยชินรุ่น  $T_0$  ระยะอกรวง (ขวา)



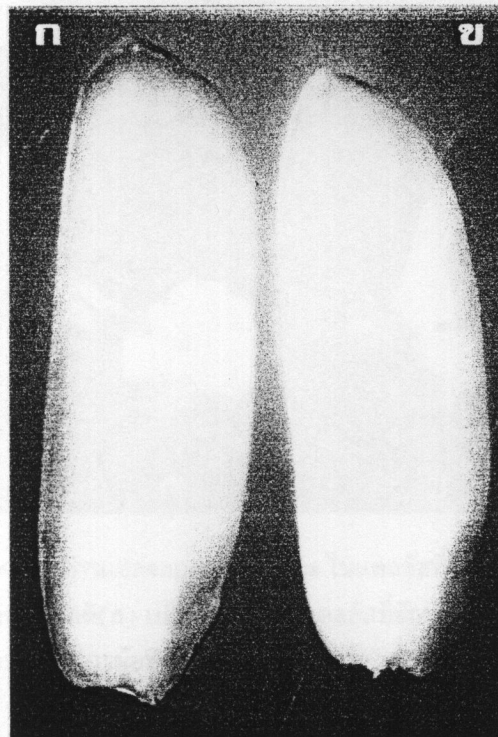
ภาพที่ 42 ลักษณะรวงข้าวพันธุ์ กข 6 แปลงพันธุ์ที่ด้านหนานต่อไข่โกรมัยชินรุ่น  $T_0$



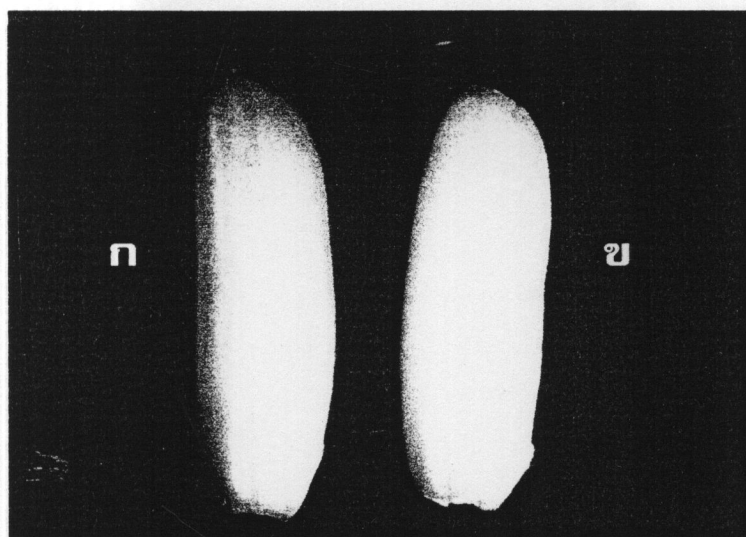
ภาพที่ 43 ลักษณะต้นข้าวพันธุ์ กข6 แปลงพันธุ์ที่ด้านหน้าต่อไฮโกรมัยชินรุ่น T<sub>1</sub> ระยะออกวาง



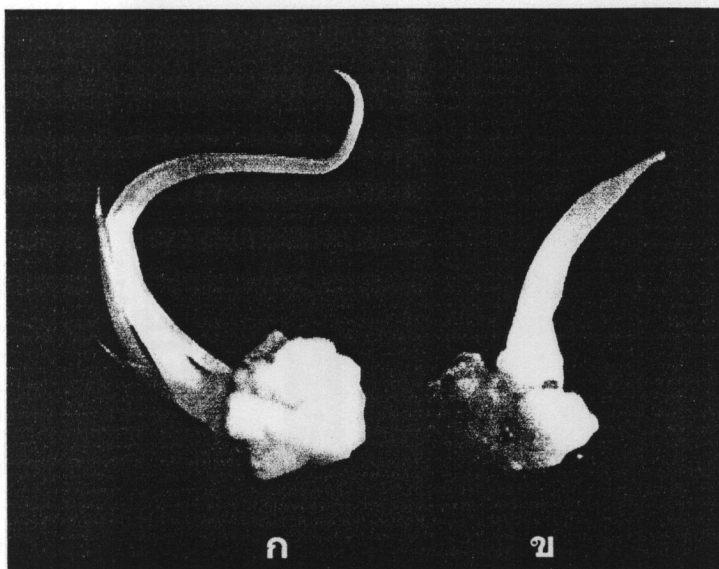
ภาพที่ 44 ลักษณะต้นข้าวพันธุ์ กข6 ปกดตระยะออกวาง(ก) เปรียบเทียบกับต้นข้าวพันธุ์ กข6 แปลงพันธุ์ ที่ด้านหน้าต่อไฮโกรมัยชินรุ่น T<sub>2</sub> (ข)



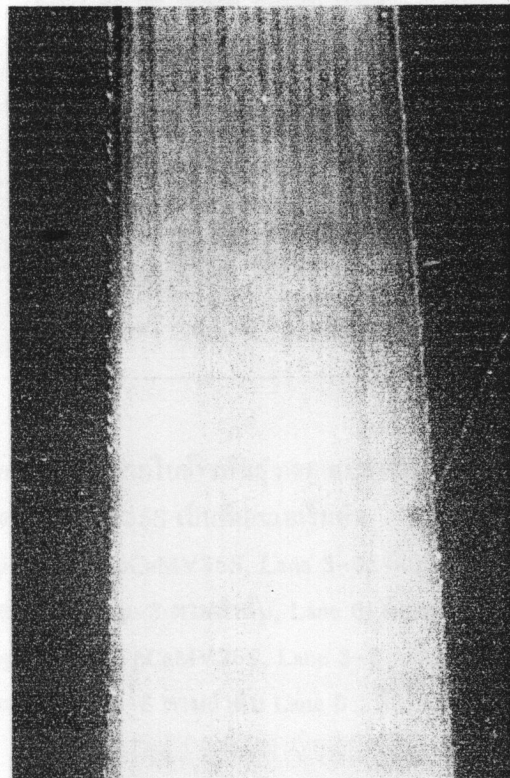
ภาพที่ 45 ผลตรวจสอบการแสดงออกของยีน *gus* ในเมล็ดข้าวพันธุ์ กข6 แปลงพันธุ์ที่ต้านทานต่อไข่โกรนัยชินรุ่น  $T_0$ (ก) เปรียบเทียบกับเมล็ดข้าวพันธุ์ กข6 ปกติ (ข)



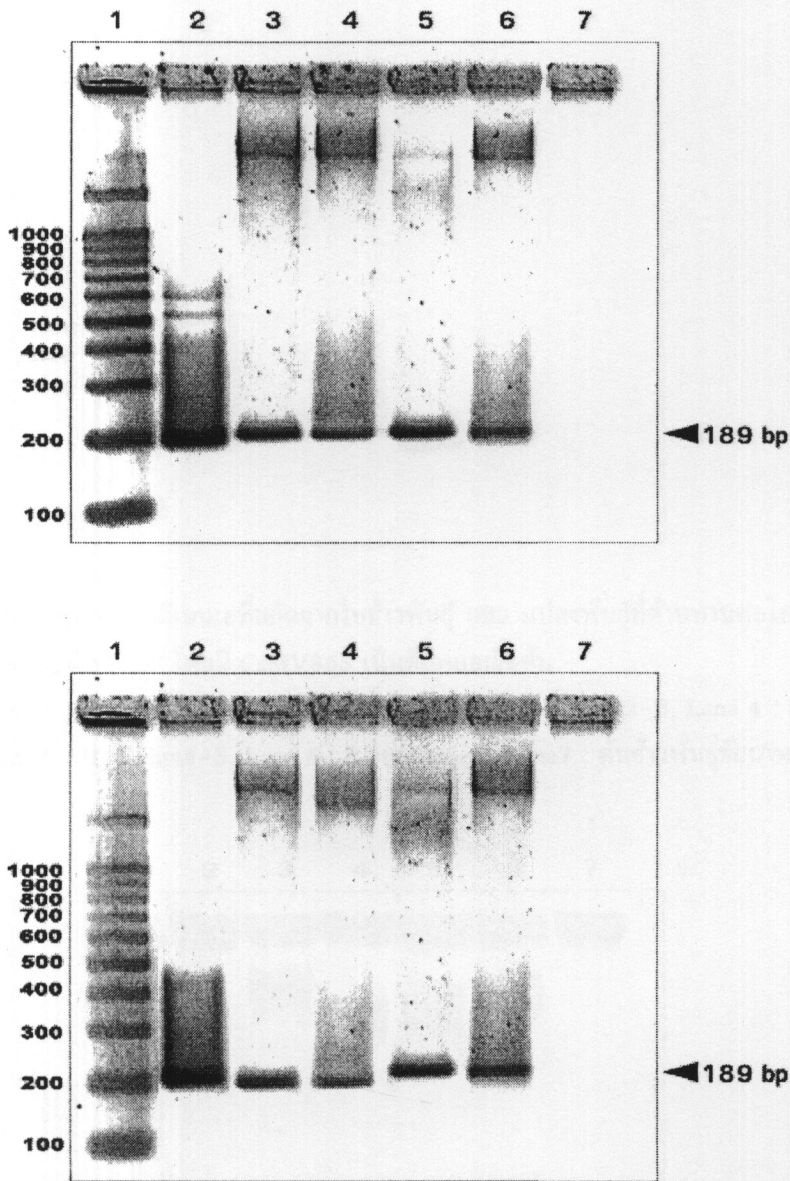
ภาพที่ 46 ผลตรวจสอบการแสดงออกของยีน *gus* ในเมล็ดข้าวพันธุ์ กข6 แปลงพันธุ์ที่ต้านทานต่อไข่โกรนัยชินรุ่น  $T_1$ (ก) เปรียบเทียบกับเมล็ดข้าวพันธุ์ กข6 ปกติ (ข)



ภาพที่ 47 ผลตรวจสอบการแสดงออกของยีน *gus* ในแคลลัสที่ซักนำให้เกิดจากเมล็ดข้าวพันธุ์ กข 6 ปกติ(ก) เปรียบเทียบกับแคลลัสที่ซักนำให้เกิดจากเมล็ดข้าวแปลงพันธุ์ที่ต้านทานต่อไข่ไกرمัยชินรุ่น  $T_0$ (ข)

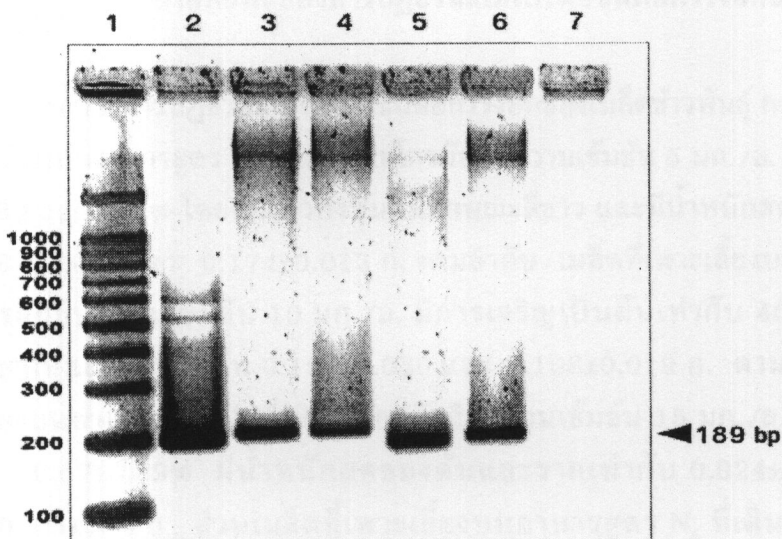


ภาพที่ 48 การแสดงออกของยีน *gus* ในใบข้าวจากต้นข้าวพันธุ์ กข 6 แปลงพันธุ์ที่ต้านทานต่อไข่ไกرمัยชินรุ่น  $T_0$



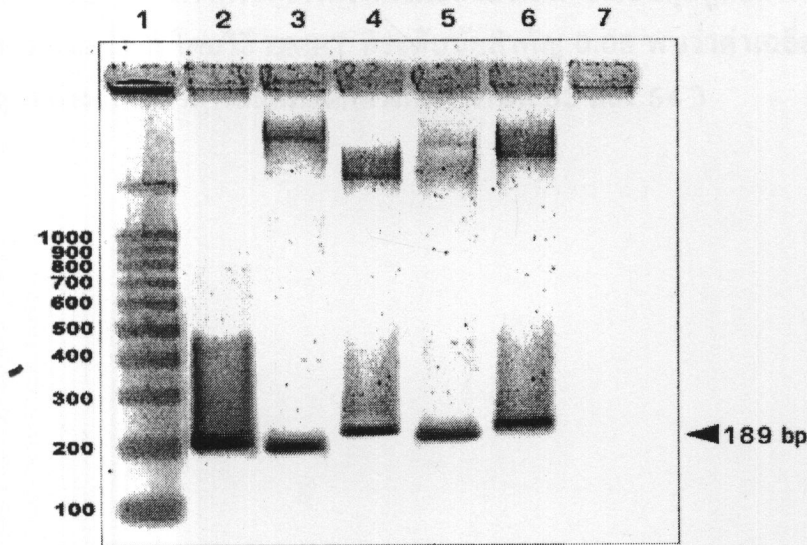
ภาพที่ 49 ผลการตรวจสอบดีเอ็นเอที่สกัดจากใบข้าวพันธุ์ กข6 แปลงพันธุ์ที่ต้านทานต่อไข่โกรมยชินรุ่น  $T_0$  ด้วยเทคนิค PCR โดยมี CaMV35S เป็นดีเอ็นเอเริ่มต้น

- ก. Lane 1: 100 bp, Lane 2: pCaMV35S, Lane 3-5: ดีเอ็นเอจากใบข้าวหัส RD6-htp-1, RD6-htp-2 และ RD6-htp-3 ตามลำดับ, Lane 6: ดีเอ็นเอจากต้นข้าวพันธุ์ กข 6 (ชุดควบคุม)
- ข. Lane 1 : 100 bp, Lane 2 : pCaMV35S, Lane 3-5 : ดีเอ็นเอจากใบข้าวหัส RD6-htp-4, RD6-htp-5 และ RD6-htp-6 ตามลำดับ Lane 6 : ดีเอ็นเอจากต้นข้าวพันธุ์ กข 6 (ชุดควบคุม)



ภาพที่ 50 ผลการตรวจสอบดีเอ็นเอที่สกัดจากใบข้าวพันธุ์ กข6 แปลงพันธุ์ที่ต้านทานต่อไข่กรอมัยชินรุ่น T<sub>1</sub> ด้วยเทคนิค PCR โดยมี CaMV35S เป็นดีเอ็นเอเริ่มต้น

Lane 1 : 100 bp, Lane 2 : pCaMV35S, Lane 3 : RD6-hpt2-3, Lane 4 : RD6-hpt4-4,  
Lane 3 : RD6-hpt4-5, Lane 6 : RD6-hpt5-1, Lane 7 : ต้นข้าวพันธุ์ชัยนาท 1(ชุดควบคุม)



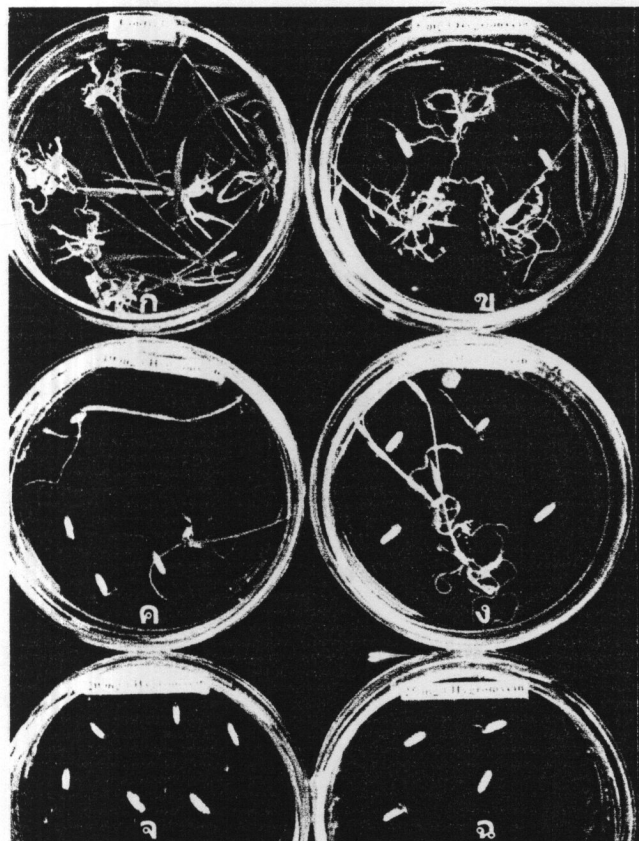
ภาพที่ 51 ผลการตรวจสอบดีเอ็นเอที่สกัดจากใบข้าวพันธุ์ กข6 แปลงพันธุ์ที่ต้านทานต่อไข่กรอมัยชินรุ่น T<sub>2</sub> ด้วยเทคนิค PCR โดยมี CaMV35S เป็นดีเอ็นเอเริ่มต้น

Lane 1 : 100 bp, Lane 2 : pCaMV35S, Lane 3 : RD6-hpt2-3-3, Lane 4 : RD6-hpt3-3-1,  
Lane 5 : RD6-hpt4-2-5, Lane 6 : RD6-hpt9-7-1, Lane 7 : ต้นข้าวพันธุ์ กข6 (ชุดควบคุม)

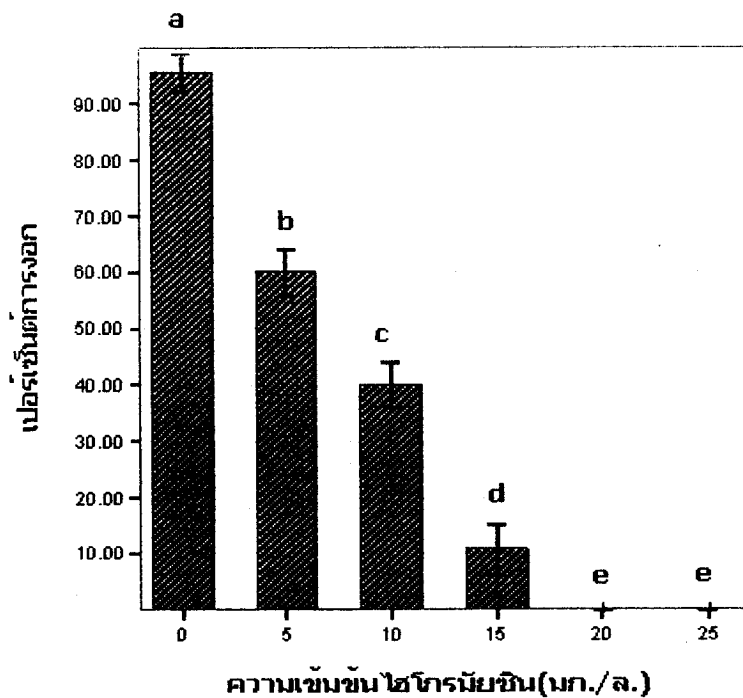
## การทดลองที่ 5.2 การศึกษาอิทธิพลของสารปฏิชีวนะไอกอรมัยคินต่อการออกของเมล็ดข้าวพันธุ์ กข6

การศึกษาอิทธิพลของสารปฏิชีวนะไอกอรมัยคินต่อการออกของเมล็ดข้าวพันธุ์ กข6 พบว่า เมล็ดข้าวที่เพาะเลี้ยงบนอาหารสูตร N<sub>6</sub> และเติมไอกอรมัยคินความเข้มข้น 5 มก./ล. มีการเจริญเป็นตันเท่ากับ  $60.02 \pm 4.09\%$  โดยตันข้าวทั้งหมดมีลักษณะสีขาว และมีน้ำหนักสดของตันและراكเท่ากับ  $0.267 \pm 0.021$  และ  $0.174 \pm 0.013$  ก. ตามลำดับ เมล็ดที่เพาะเลี้ยงบนอาหารสูตร N<sub>6</sub> ที่เติมไอกอรมัยคินความเข้มข้น 10 มก./ล. มีการเจริญเป็นตันเท่ากับ  $40.04 \pm 4.06\%$  มีน้ำหนักสดของตันและراكเท่ากับ  $0.164 \pm 0.030$  และ  $0.108 \pm 0.019$  ก. ตามลำดับ และเมล็ดที่เพาะเลี้ยงบนอาหารสูตร N<sub>6</sub> ที่เติมไอกอรมัยคินความเข้มข้น 15 มก./ล. มีการเจริญเป็นตันเท่ากับ  $10.67 \pm 4.39\%$  มีน้ำหนักสดของตันและراكเท่ากับ  $0.024 \pm 0.014$  และ  $0.052 \pm 0.034$  ก. ตามลำดับ ส่วนเมล็ดที่เพาะเลี้ยงบนอาหารสูตร N<sub>6</sub> ที่เติมกามามัยคินความเข้มข้น 20 และ 25 มก./ล. ไม่สามารถเจริญเป็นตันได้ การเพาะเลี้ยงเมล็ดข้าวพันธุ์ กข6 บนอาหารสูตร N<sub>6</sub> ที่ไม่เติมไอกอรมัยคินพบว่าเมล็ดข้าวสามารถเจริญเป็นตันที่มีลักษณะสีเขียวภายในเวลา 3-4 วัน และมีการเจริญเป็นตันเท่ากับ  $96.66 \pm 3.23\%$  มีน้ำหนักสดของตันและراكเท่ากับ  $0.272 \pm 0.014$  และ  $0.157 \pm 0.013$  ก. ตามลำดับ ดังแสดงผลในภาพที่ 52, 53 และ 54

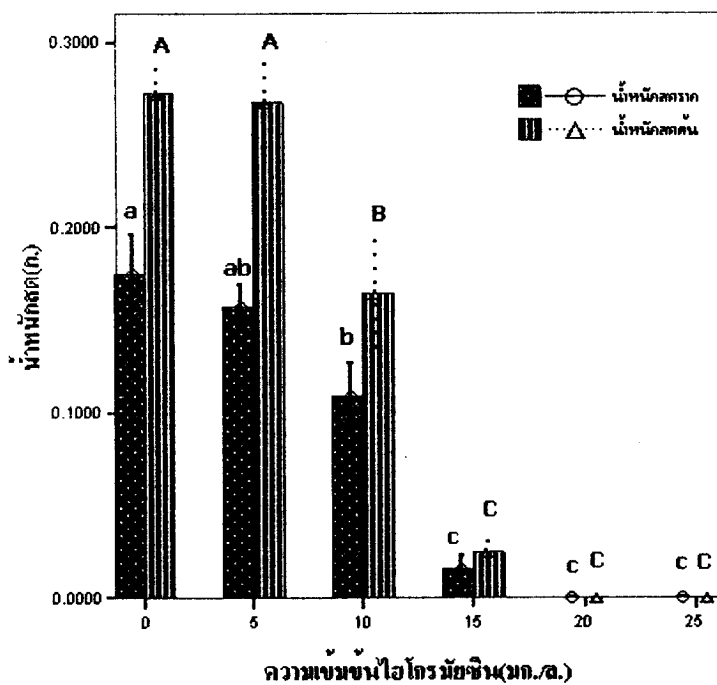
จากการทดสอบประสิทธิภาพระหว่างความเข้มข้นของไอกอรมัยคินทุกคู่ต่อการออกของเมล็ด และน้ำหนักสดตันและراك โดยวิธี DMRT ที่ระดับนัยสำคัญ 0.05 พบว่าค่าเฉลี่ยที่กำกับด้วยตัวอักษรอังกฤษที่ต่างกัน มีค่าทางสถิติที่แตกต่างกัน (ภาพที่ 53 และ 54 )



ภาพที่ 52 ลักษณะการออกของเมล็ดข้าวพันธุ์ กข6 บนอาหารสูตร  $N_6$  ที่เติมไฮโกรมัยชินความเข้มข้นต่างๆ  
(ก. 0 มก./ล., ข. 5 มก./ล., ค. 10 มก./ล., ง. 15 มก./ล., จ. 20 มก./ล., ฉ. 25 มก./ล.)



ภาพที่ 53 แผนภูมิแสดงเปอร์เซ็นต์การออกของเมล็ดข้าวพันธุ์ กช 6 บนอาหารสูตร N<sub>6</sub> ที่เติมไฮโกรมัยซิน ความเข้มข้นต่างๆ



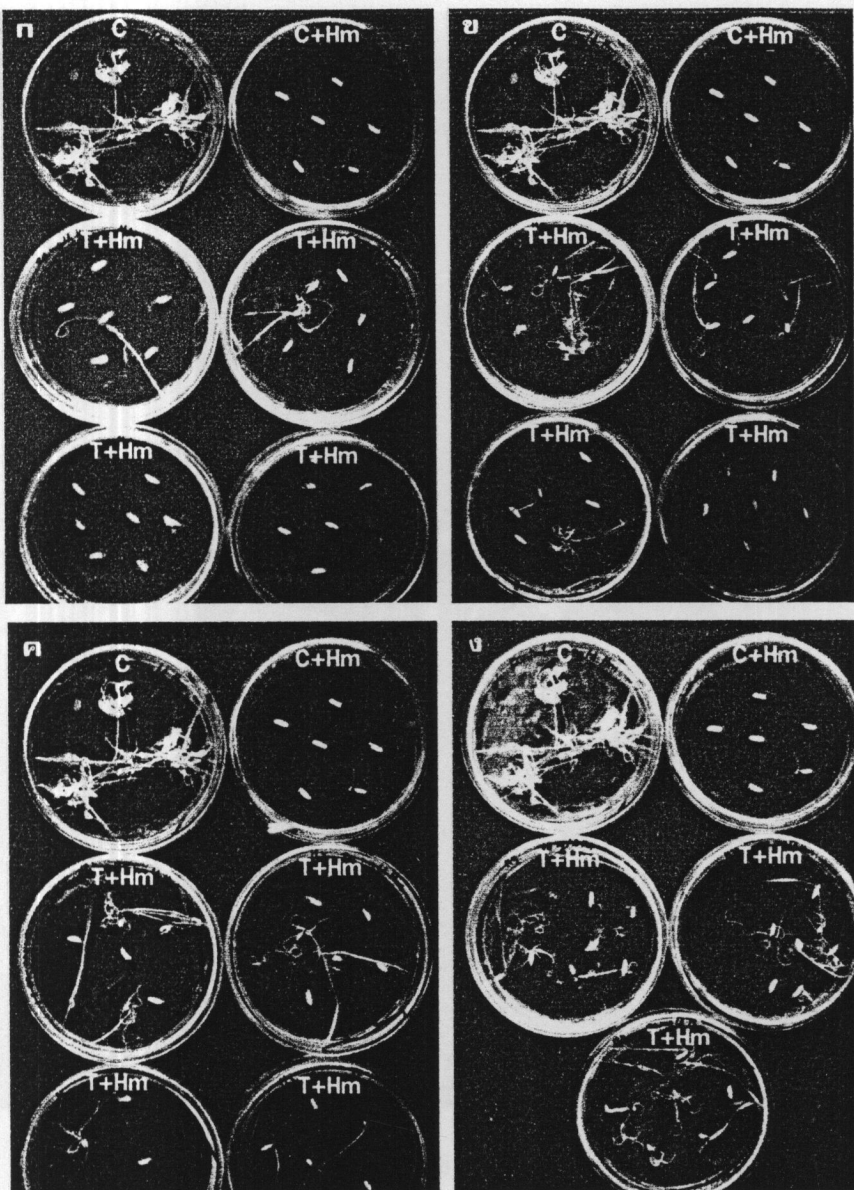
ภาพที่ 54 แผนภูมิแสดงน้ำหนักสตูลเฉลี่ยของตันและรากของตันข้าวพันธุ์ กช 6 ที่เพาะเลี้ยงบนอาหาร สูตร N<sub>6</sub> ที่เติมไฮโกรมัยซินความเข้มข้นต่างๆ

ผลการทดลองที่ 5.3 การศึกษาอัตราส่วนจำนวนเมล็ดที่ต้านทานไฮโกรมัยชินต่อจำนวนเมล็ดที่ไม่ต้านทานไฮโกรมัยชินในเมล็ดข้าวพันธุ์ กข6 แปลงพันธุ์ที่ต้านทานต่อไฮโกรมัยชินรุ่น  $T_0$  และ  $T_1$

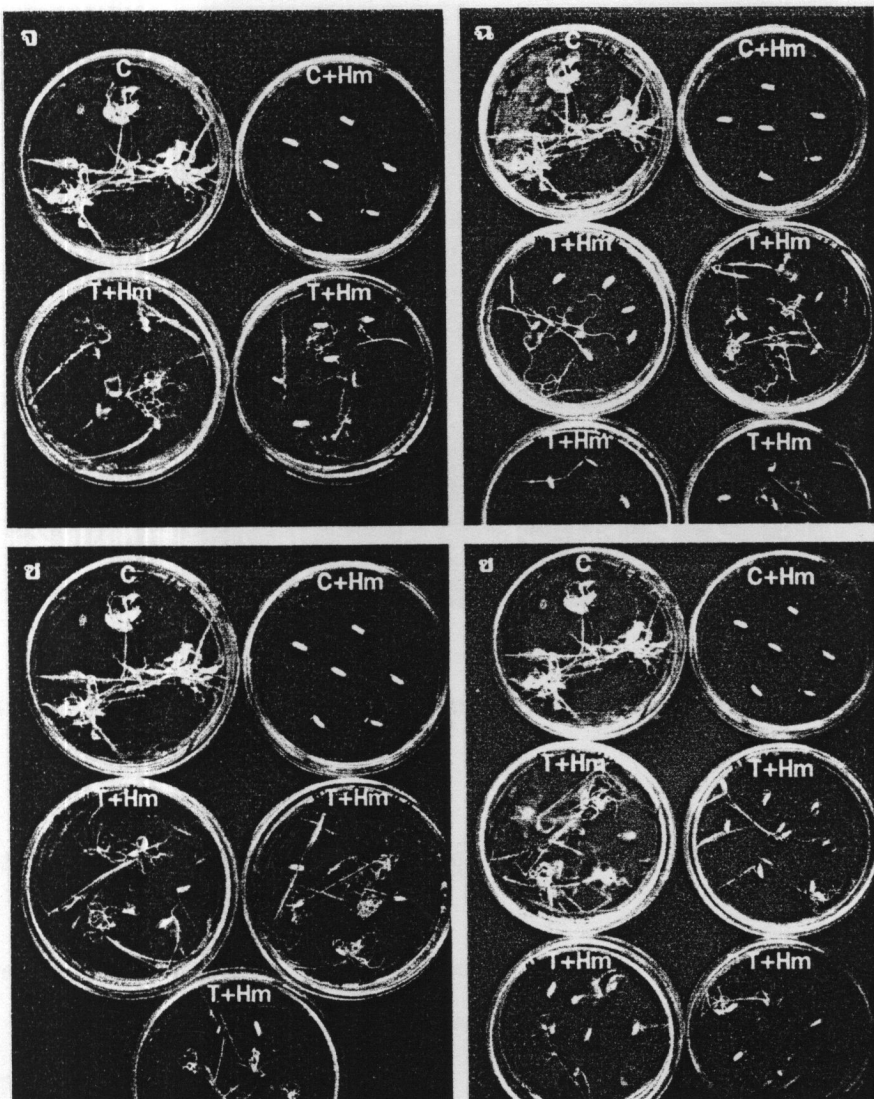
การศึกษาอิทธิพลของสารปฏิชีวนะไฮโกรมัยชินต่อการออกของเมล็ดข้าวพันธุ์ กข6 แปลงพันธุ์ที่ต้านทานต่อไฮโกรมัยชินพบว่าเมื่อเพาะเลี้ยงเมล็ดข้าวแปลงพันธุ์บันอาหารสูตร N<sub>6</sub> ที่เติมไฮโกรมัยชินความเข้มข้น 20 มก./ล. เป็นเวลา 3-4 วัน มียอดอ่อนสีเขียวเจริญจากบริเวณคัพภะ และยอดอ่อนเจริญเป็นตันที่มีลักษณะสีเขียวในเวลาต่อมา แต่ยอดอ่อนของเมล็ดบางส่วนเปลี่ยนเป็นสีน้ำตาลดำ และไม่สามารถเจริญเป็นตันได้ ส่วนเมล็ดข้าวพันธุ์ กข6 ปกติไม่สามารถเจริญเป็นตันได้ ดังแสดงผลในภาพที่ 55 และ 56

การศึกษาอัตราส่วนจำนวนเมล็ดที่ต้านทานไฮโกรมัยชินต่อจำนวนเมล็ดที่ไม่ต้านทานไฮโกรมัยชินในเมล็ดข้าวพันธุ์ กข6 แปลงพันธุ์ที่ต้านทานต่อไฮโกรมัยชิน รุ่น  $T_0$  พบว่าเมล็ดข้าวพันธุ์ กข6 แปลงพันธุ์ รหัส RD6-htp2, RD6-htp4, RD6-htp5 และ RD6-htp7 มีอัตราส่วนจำนวนเมล็ดที่ต้านทานไฮโกรมัยชินต่อจำนวนเมล็ดที่ไม่ต้านทานไฮโกรมัยชินเท่ากับ 3:1 ( $p<0.05$ ) ส่วนเมล็ดข้าวพันธุ์ กข6 แปลงพันธุ์ รหัส RD6-htp3, RD6-htp6, RD6-htp8 และ RD6-htp9 มีอัตราส่วนจำนวนเมล็ดที่ต้านทานไฮโกรมัยชินต่อจำนวนเมล็ดที่ไม่ต้านทานไฮโกรมัยชินเท่ากับ 1:1 ( $p<0.05$ ) ดังแสดงผลในตารางที่ 4

การศึกษาอัตราส่วนจำนวนเมล็ดที่ต้านทานไฮโกรมัยชินต่อจำนวนเมล็ดที่ไม่ต้านทานไฮโกรมัยชินในเมล็ดข้าวพันธุ์ กข6 แปลงพันธุ์ที่ต้านทานต่อไฮโกรมัยชินรุ่น  $T_1$  พบว่า เมล็ดข้าวพันธุ์ กข6 แปลงพันธุ์รหัส RD6-htp2-3, RD6-htp4-4, RD6-htp4-5 และ RD6-htp5-1 มีอัตราส่วนจำนวนเมล็ดที่ต้านทานไฮโกรมัยชินต่อจำนวนเมล็ดที่ไม่ต้านทานไฮโกรมัยชิน เท่ากับ 3:1 ( $p<0.05$ ) ดังแสดงผลในตารางที่ 5



ภาพที่ 55 ลักษณะการออกของเมล็ดข้าวพันธุ์ กข 6 แปลงพันธุ์ที่ต้านทานต่อไฮโกรมัยชินรุ่น  $T_0$  เปรียบเทียบกับเมล็ดข้าวพันธุ์ กข 6 ปกติ บนอาหารสูตร  $N_6$  ที่เติมไฮโกรมัยชินความเข้มข้น 20 มก./ล. ก. RD6-hpt1, ข. RD6-hpt2, ค. RD6-hpt3, ง. RD6-hpt4  
 ( $C$ =เมล็ดข้าวพันธุ์ กข 6 ปกติบนอาหารไม่เติมไฮโกรมัยชิน,  $C+Hm$ =เมล็ดข้าวพันธุ์ กข 6 ปกติ บนอาหารเติมไฮโกรมัยชิน 20 มก./ล.,  $T+Hm$ = เมล็ดข้าวพันธุ์ กข 6 แปลงพันธุ์บนอาหารเติมไฮโกรมัยชิน 20 มก./ล.)



ภาพที่ 56 ลักษณะการออกของเมล็ดข้าวพันธุ์ กข 6 แปลงพันธุ์ที่ด้านหน้าต่อไฮโกรมัยชินรุ่น  $T_0$  เปรียบเทียบกับเมล็ดข้าวพันธุ์ กข 6 ปกติ บนอาหารสูตร  $N_6$  ที่เติมไฮโกรมัยชิน

ความเข้มข้น 20 มก./ล. ก. RD6-hpt5, ข. RD6-hpt6, ค. RD6-hpt7 , จ. RD6-hpt8  
 ( $C$ =เมล็ดข้าวพันธุ์ กข 6 ปกติบนอาหารไม่เติมไฮโกรมัยชิน,  $C+Hm$ =เมล็ดข้าวพันธุ์ กข 6 ปกติ  
 บนอาหารเติมไฮโกรมัยชิน 20 มก./ล.,  $T+Hm$ = เมล็ดข้าวพันธุ์ กข แปลงพันธุ์บนอาหารเติม  
 ไฮโกรมัยชิน 20 มก./ล.)



ภาพที่ 57 ผลตรวจสอบการแสดงออกของยีน *gus* ในต้นข้าวพันธุ์ กช 6 แปลงพันธุ์ที่ต้านทานต่อไฮโกรมัยซินรุ่น  $T_1$  อายุ 7 วัน

ตารางที่ 4 Segregation pattern ในเมล็ดข้าวพันธุ์ กช 6 แปลงพันธุ์ที่ต้านทานต่อไฮโกรมัยซินรุ่น  $T_0$

$T_0$ parent	จำนวนเมล็ดที่ทดสอบ	Ratio resistance/sensitive	$\chi^2$	$P$
RD6-htp 2	40	3:1	0.167	0.683
RD6-htp 3	40	1:1	1.084	0.297
RD6-htp 4	40	3:1	0.025	0.755
RD6-htp 5	40	3:1	0.026	0.873
RD6-htp 6	40	1:1	0.043	0.835
RD6-htp 7	40	3:1	0.710	0.399
RD6-htp 8	45	1:1	0.04	0.841
RD6-htp 9	50	1:1	0.00	1.0

ตารางที่ 5 Segregation pattern ของเมล็ดข้าวพันธุ์ กข6 แปลงพันธุ์ที่ต้านทานต่อไฮโกรนัยชิน รุ่น T<sub>1</sub>

T <sub>1</sub> parent	จำนวนเมล็ดที่ทดสอบ	Ratio of	$\chi^2$	$\rho$
		resistance/sensitive		
RD6-htp 2-3	45	3:1	2.57	0.108
RD6-htp 4-4	39	3:1	0.667	0.414
RD6-htp 4-5	45	3:1	0.014	0.904
RD6-htp 5-1	45	3:1	3.57	0.059

ผลการทดลองที่ 5.4 การศึกษาเปรียบเทียบค่าศักย์อสโนซิสของข้าวพันธุ์ กข6 ปกติและข้าวพันธุ์ กข6 แปลงพันธุ์ที่ต้านทานต่อไฮโกรนัยชิน

#### 5.5.1 การวัดค่าศักย์อสโนซิสของน้ำคั้นจากใบ

การวัดค่าศักย์อสโนซิสของน้ำคั้นจากใบข้าวพันธุ์ กข 6 แปลงพันธุ์ที่ต้านทานต่อไฮโกรนัยชิน รุ่น T<sub>2</sub> พบว่าค่าศักย์อสโนซิสของน้ำคั้นจากใบข้าวแปลงพันธุ์ที่ต้านทานต่อไฮโกรนัยชิน อายุ 1 เดือน รหัส RD6-hpt3-3-1, RD6-hpt4-2-5, RD6-hpt5-1-4, RD6-hpt9-7-1 และ RD6-hpt2-3-3 มีค่าเท่ากับ  $-1.172 \pm 0.482$ ,  $-1.183 \pm 0.320$ ,  $-1.182 \pm 0.851$ ,  $-1.176 \pm 0.119$  และ  $-1.168 \pm 0.122$  ตามลำดับ และค่าศักย์อสโนซิสมีค่าลดลงในใบข้าวอายุ 2 เดือนโดยมีค่าเท่ากับ  $-1.263 \pm 0.159$ ,  $-1.292 \pm 0.101$ ,  $-1.271 \pm 0.087$ ,  $-1.298 \pm 0.129$ ,  $-1.268 \pm 0.187$  ตามลำดับ และค่าศักย์อสโนซิสของน้ำคั้นจากใบข้าวพันธุ์ กข 6 ปกติอายุ 1 เดือนและ 2 เดือน มีค่าเท่ากับ  $-1.18 \pm 0.055$  และ  $1.268 \pm 0.938$  ตามลำดับ (ภาพที่ 58)

จากการวิเคราะห์ผลทางสถิติพบว่าค่าศักย์อสโนซิสของน้ำคั้นจากใบข้าวควบคุมและค่าศักย์อสโนซิสของน้ำคั้นจากใบข้าวแปลงพันธุ์ที่ต้านทานต่อไฮโกรนัยชินรุ่น T<sub>2</sub> อายุ 1 เดือน ไม่แตกต่างกันที่ระดับนัยสำคัญ 0.05 สำหรับค่าศักย์อสโนซิสของน้ำคั้นจากใบข้าวควบคุมและค่าศักย์อสโนซิสของน้ำคั้นจากใบข้าวแปลงพันธุ์ที่ต้านทานต่อไฮโกรนัยชินรุ่น T<sub>2</sub> อายุ 2 เดือนไม่แตกต่างกันที่ระดับนัยสำคัญ 0.05 เช่นเดียวกัน

#### 5.5.2 การวัดปริมาณคลอโรฟิลล์

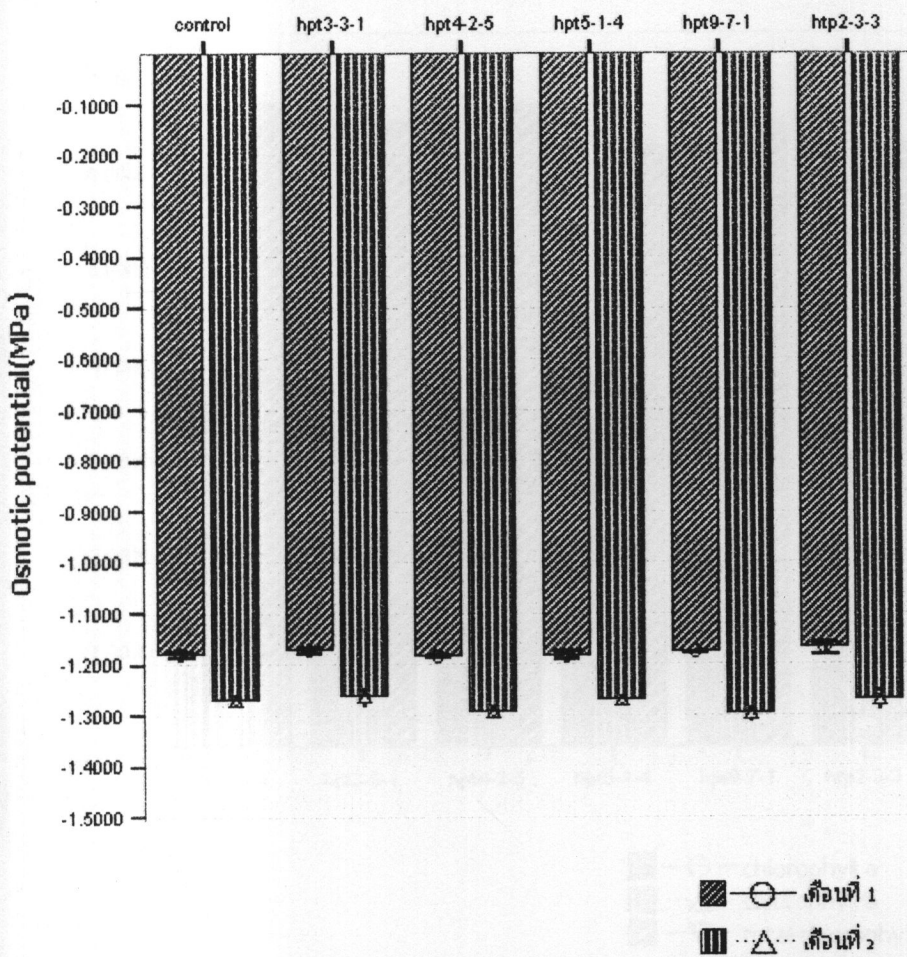
การวัดปริมาณคลอโรฟิลล์จากใบข้าวอายุ 3 เดือนของข้าวพันธุ์ กข 6 แปลงพันธุ์ที่ต้านทานต่อไฮโกรนัยชินรุ่น T<sub>2</sub> พบว่าปริมาณคลอโรฟิลล์จากใบข้าวแปลงพันธุ์ที่ต้านทานต่อไฮโกรนัยชินรหัส RD6-hpt3-3-1, RD6-hpt4-2-5, RD6-hpt5-1-4, RD6-hpt9-7-1 และ RD6-hpt2-3-3 มีค่าเท่ากับ  $3.46 \pm 0.39$ ,  $3.55 \pm 0.19$ ,  $3.33 \pm 0.26$ ,  $3.42 \pm 0.27$  และ  $3.26 \pm 0.11$  ตามลำดับ ปริมาณคลอโรฟิลล์จากใบข้าวพันธุ์ กข 6 ปกติมีค่าเท่ากับ  $3.67 \pm 0.19$

การวัดปริมาณคลอโรฟิลล์บีจากใบข้าวอายุ 3 เดือนของข้าวพันธุ์ กช 6 แปลงพันธุ์ที่ต้านทานต่อไฮโกรมัยซินรุ่น  $T_2$  พบว่าปริมาณคลอโรฟิลล์บีจากใบข้าวแปลงพันธุ์ที่ต้านทานต่อไฮโกรมัยซินรหัส RD6-hpt3-3-1, RD6-hpt4-2-5, RD6-hpt5-1-4, RD6-hpt9-7-1 และ RD6-hpt2-3-3 มีค่าเท่ากับ  $3.07 \pm 0.14$ ,  $3.16 \pm 0.05$ ,  $3.03 \pm 0.19$ ,  $3.10 \pm 0.08$  และ  $3.06 \pm 0.13$  ตามลำดับ ปริมาณคลอโรฟิลล์บีจากใบข้าวพันธุ์ กช 6 ปกติ มีค่าเท่ากับ  $3.07 \pm 0.08$

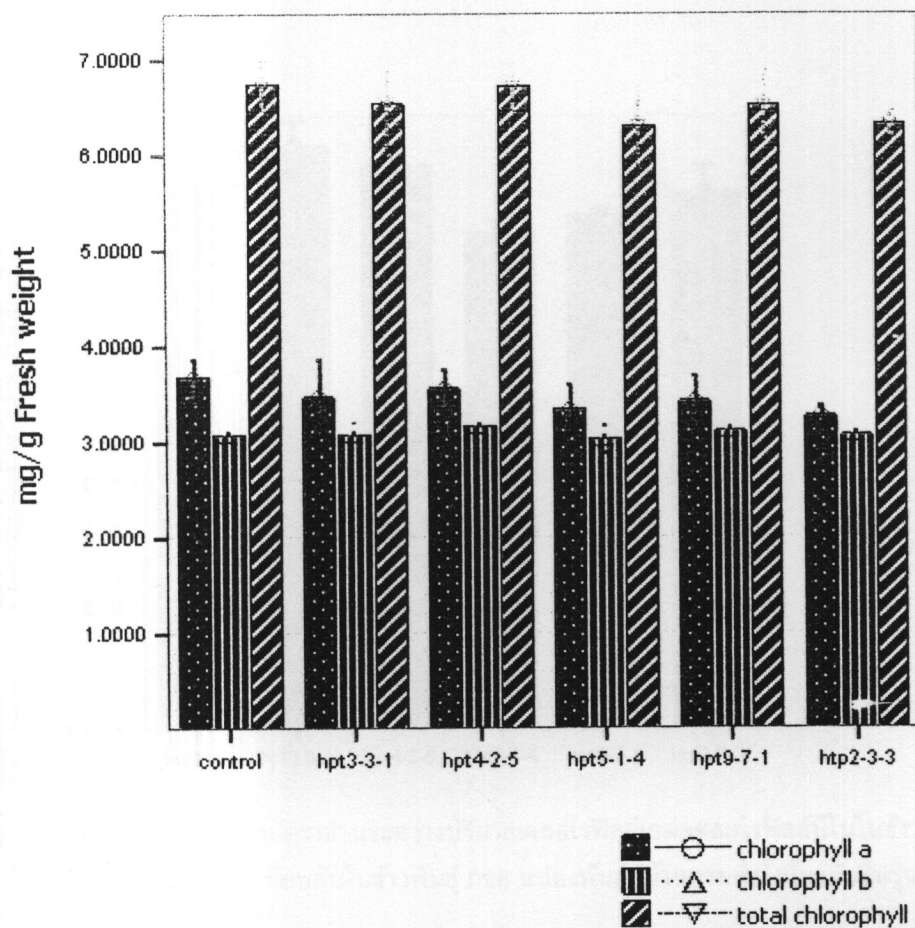
การวัดปริมาณคลอโรฟิลล์รวมจากใบข้าวอายุ 3 เดือนของข้าวพันธุ์ กช 6 แปลงพันธุ์ที่ต้านทานต่อไฮโกรมัยซินรุ่น  $T_2$  พบว่าปริมาณคลอโรฟิลล์รวมจากใบข้าวแปลงพันธุ์ที่ต้านทานต่อไฮโกรมัยซินรหัส RD6-hpt3-3-1, RD6-hpt4-2-5, RD6-hpt5-1-4, RD6-hpt9-7-1 และ RD6-hpt2-3-3 มีค่าเท่ากับ  $6.54 \pm 0.54$ ,  $6.71 \pm 0.25$ ,  $6.29 \pm 0.43$ ,  $6.52 \pm 0.36$  และ  $6.32 \pm 0.13$  ตามลำดับ ปริมาณคลอโรฟิลล์รวมจากใบข้าวพันธุ์ กช 6 ปกติ มีค่าเท่ากับ  $6.74 \pm 0.25$  (ภาพที่ 59)

อัตราส่วนระหว่างคลอโรฟิลล์เอตอคลอโรฟิลล์บีในใบข้าวแปลงพันธุ์ที่ต้านทานต่อไฮโกรมัยซินรหัส RD6-hpt3-3-1, RD6-hpt4-2-5, RD6-hpt5-1-4, RD6-hpt9-7-1 และ RD6-hpt2-3-3 มีค่าเท่ากับ  $1.18 \pm 0.51$ ,  $1.12 \pm 0.37$ ,  $1.00 \pm 0.39$ ,  $1.04 \pm 0.17$  และ  $1.08 \pm 0.52$  ตามลำดับ ปริมาณคลอโรฟิลล์รวมจากใบข้าวพันธุ์ กช 6 ปกติ มีค่าเท่ากับ  $1.09 \pm 0.24$  (ภาพที่ 60)

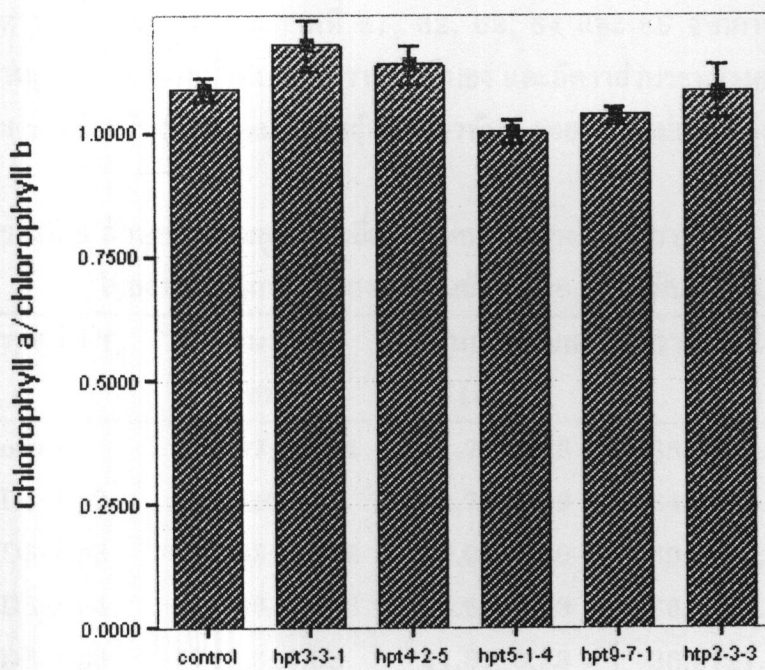
จากการวิเคราะห์ผลทางสถิติพบว่าค่าเฉลี่ยคลอโรฟิลล์เอ คลอโรฟิลล์บี คลอโรฟิลล์รวม และอัตราส่วนระหว่างคลอโรฟิลล์เอตอคลอโรฟิลล์บีในใบข้าวพันธุ์ กช 6 ปกติและใบข้าวพันธุ์ กช 6 แปลงพันธุ์ที่ต้านทานต่อไฮโกรมัยซินรุ่น  $T_2$  ไม่แตกต่างกันที่ระดับนัยสำคัญ 0.05



ภาพที่ 58 แผนภูมิแสดงค่าตักษ์อสโนดิสของน้ำดันจากใบข้าวพันธุ์ กข 6 ปกติเปรียบเทียบกับใบข้าวพันธุ์ กข 6 แปลงพันธุ์ที่ต้านทานต่อไข่โกรมัยชินรุ่น  $T_2$  อายุ 1 เดือน และ 2 เดือน



ภาพที่ 59 แผนภูมิแสดงปริมาณคลอโรฟิลล์ a คลอโรฟิลล์ b และคลอโรฟิลล์รวมของใบข้าวพันธุ์ กข6 ปกติเปรียบเทียบกับใบข้าวพันธุ์ กข6 แปลงพันธุ์ที่ด้านหน้าต่อไอกرومัยชินรุ่น T<sub>2</sub>



ภาพที่ 60 แผนภูมิแสดงอัตราส่วนระหว่างปริมาณคลอโรฟิลล์เอต่อคลอโรฟิลล์บในข้าวพันธุ์ กข 6  
ปกติ เปรียบเทียบกับในข้าวพันธุ์ กข 6 แปลงพันธุ์ที่ต้านทานต่อไข่โกรนัยชินรุ่น  $T_2$

ผลการทดลองที่ 5.5 การศึกษาเปรียบเทียบลักษณะทางสัณฐานวิทยาของข้าวพันธุ์ กข 6 ปกติ และข้าวพันธุ์ กข 6 แปลงพันธุ์ที่ต้านทานต่อไข่โกรนัยซิน

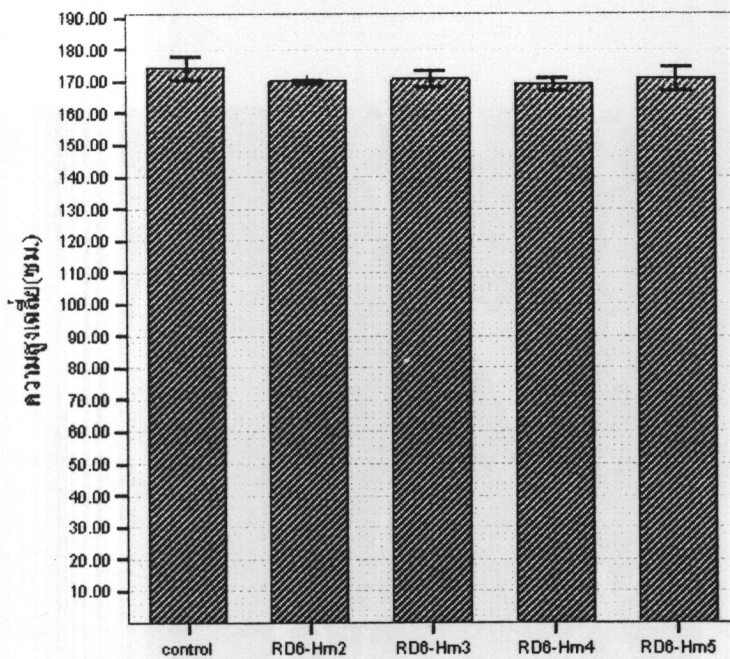
การศึกษาความสูงต้น และลักษณะทางสัณฐานวิทยาของใบธงข้าวพันธุ์ กข 6 ปกติและใบธงข้าวพันธุ์ กข 6 แปลงพันธุ์ที่ต้านทานต่อไข่โกรนัยซินรุ่น  $T_0$  และ  $T_1$  พบมีลักษณะต่างๆ ดังแสดงในตารางที่ 6 และภาพที่ 61, 62, 63, 64 และ 65 จากการวิเคราะห์ผลทางสถิติพบว่า ความสูงต้น ความกว้างใบธง ความยาวใบธง และอัตราส่วนระหว่างความยาวใบธงต่อความกว้างใบธงของข้าวพันธุ์ กข 6 แปลงพันธุ์ และข้าวพันธุ์ กข 6 ปกติไม่แตกต่างกันที่ระดับนัยสำคัญ 0.05

ตารางที่ 6 ลักษณะความสูงต้นเฉลี่ย ความกว้างใบธง ความยาวใบธง อัตราส่วนระหว่างความยาวใบธงต่อความกว้างใบธงของต้นข้าว กข 6 แปลงพันธุ์ที่ต้านทานต่อไข่โกรนัยซินรุ่น  $T_0$

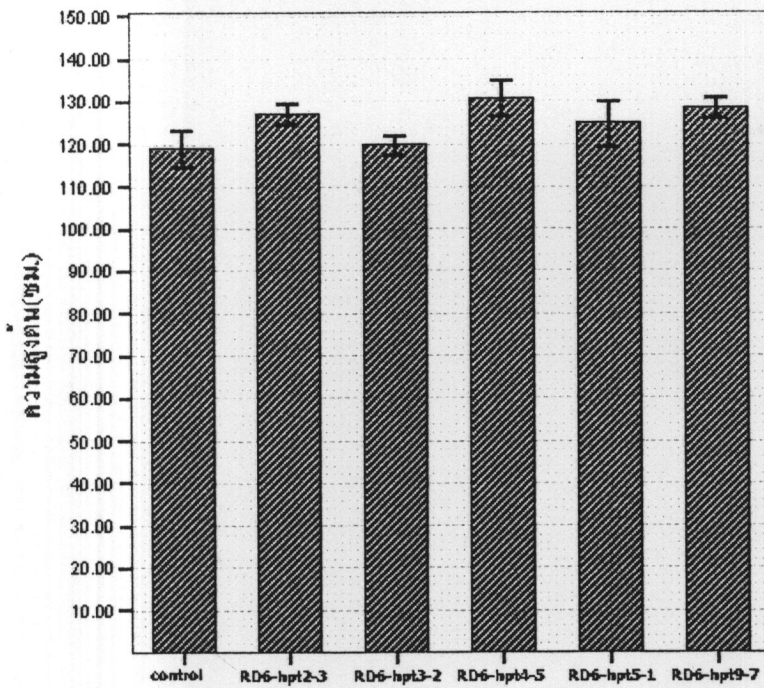
รหัสพืช $T_0$	ความสูงต้น (ซม.)	ความกว้างใบธง (มม.)	ความยาวใบธง (ซม.)	ความยาวใบธง/ ความกว้างใบธง
Control	169.97±3.661	21.76±1.36	35.06±1.56	16.85±0.14
RD6-htp2	170.5±0.768	22.76±1.49	34.80±1.54	15.44±4.08
RD6-htp3	169.13±2.532	22.03±1.00	30.53±2.33	15.77±3.48
RD6-htp4	170.86±2.168	23.67±0.93	36.40±1.16	12.92±5.66
RD6-htp5	174.36±3.66	21.33±0.58	36.37±1.59	17.10±0.11

ตารางที่ 7 ลักษณะความสูงต้นเฉลี่ย ความกว้างใบธง ความยาวใบธง อัตราส่วนระหว่างความยาวต่อความกว้างใบธงของต้นข้าว กข 6 แปลงพันธุ์ที่ต้านทานต่อไข่โกรนัยซินรุ่น  $T_1$

รหัสพืช $T_1$	ความสูงต้น (ซม.)	ความกว้างใบธง (มม.)	ความยาวใบธง (ซม.)	ความยาวใบธง/ ความกว้างใบธง
Control	119.00±2.51	23.40±1.21	33.56±3.21	14.34±1.12
RD6-htp2-3	127.00±2.33	22.63±1.48	33.33±2.99	14.95±2.13
RD6-htp3-2	119.67±4.37	22.40±0.61	33.73±1.65	15.10±1.51
RD6-htp4-5	130.67±5.36	21.33±0.64	35.03±1.78	16.42±1.64
RD6-htp5-1	124.67±2.60	22.67±0.99	35.86±2.21	15.87±1.12
RD6-htp9-7	128.33±4.35	24.96±0.85	36.56±0.56	14.66±1.46



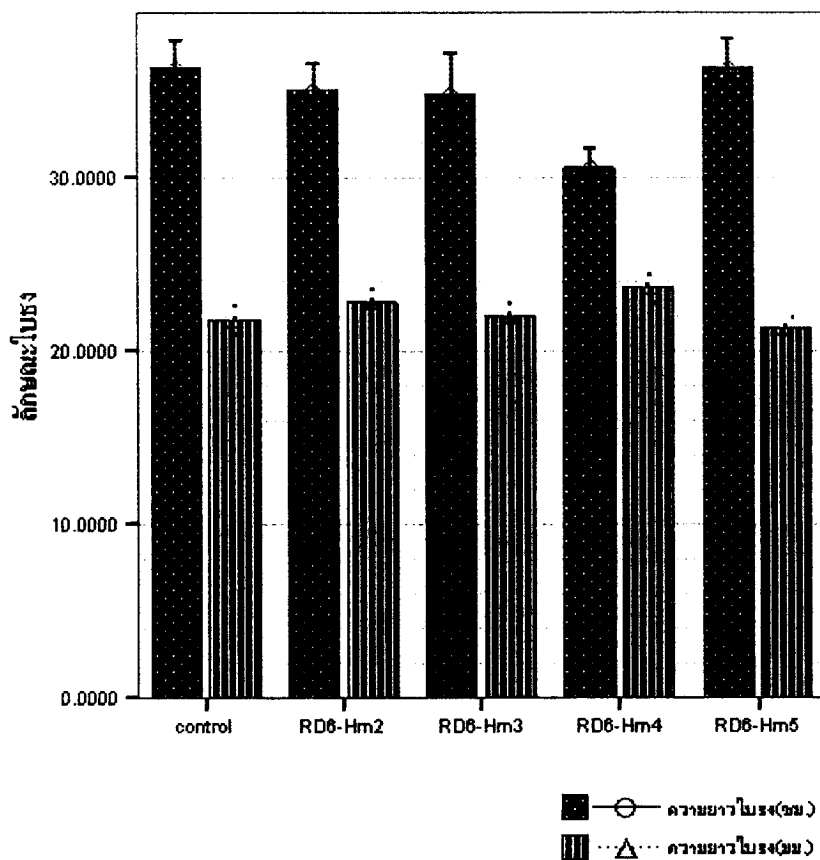
ภาพที่ 61 แผนภูมิแสดงความสูงเฉลี่ยของต้นข้าวพันธุ์ กข6 ปกติ เปรียบเทียบกับข้าวพันธุ์ กข6 แปลงพันธุ์ที่ต้านทานต่อไฮโกรมัยชินรุ่น  $T_0$



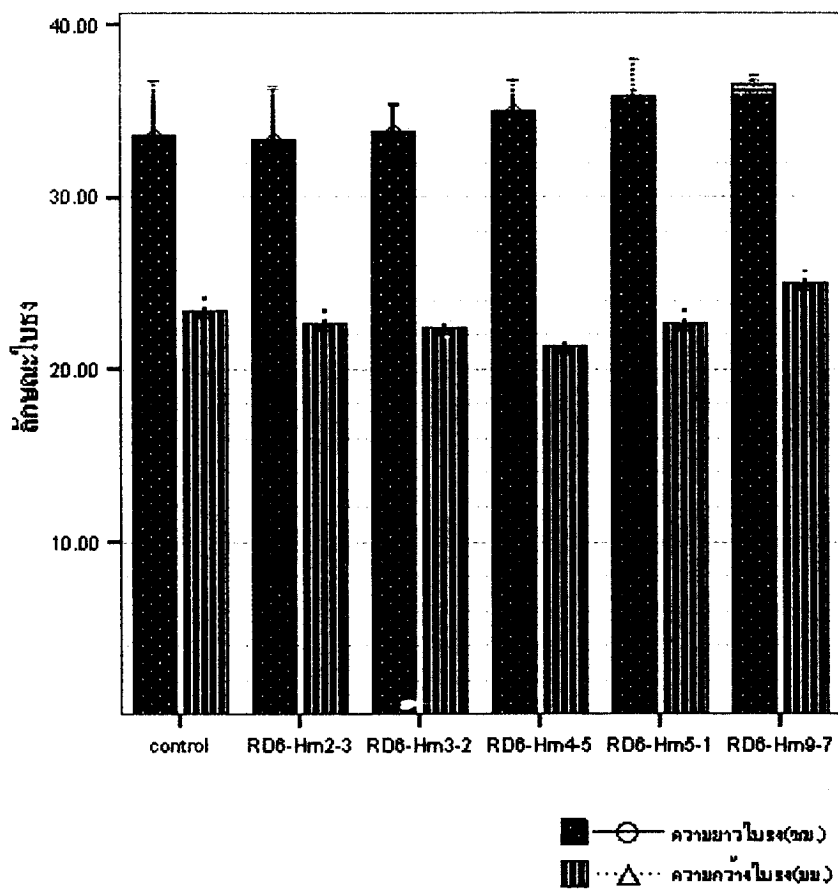
ภาพที่ 62 แผนภูมิแสดงความสูงเฉลี่ยของต้นข้าวพันธุ์ กข6 ปกติ เปรียบเทียบกับข้าวพันธุ์ กข6 แปลงพันธุ์ที่ต้านทานต่อไฮโกรมัยชินรุ่น  $T_1$



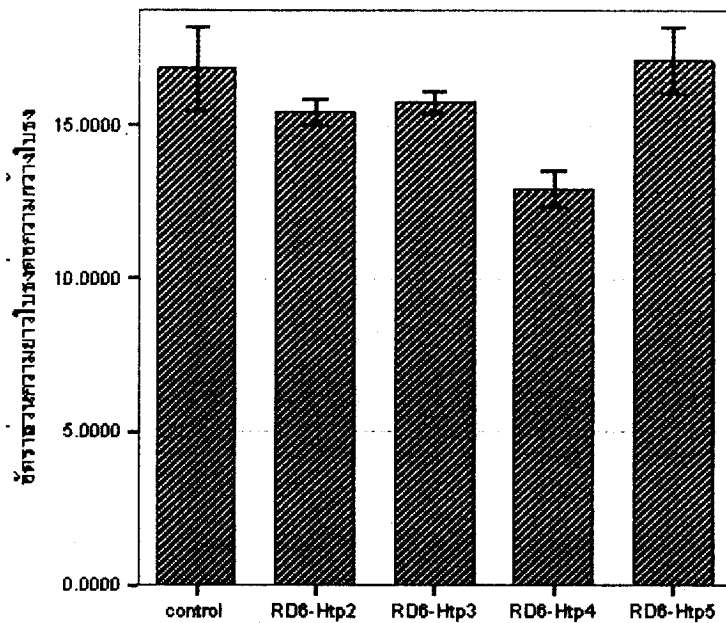
ภาพที่ 63 ลักษณะในร่องของต้นข้าวพันธุ์ กช 6 ปกติ(ก) เปรียบเทียบกับในร่องของต้นข้าวพันธุ์ กช 6 แปลงพันธุ์ รุ่น T<sub>1</sub>(ข)



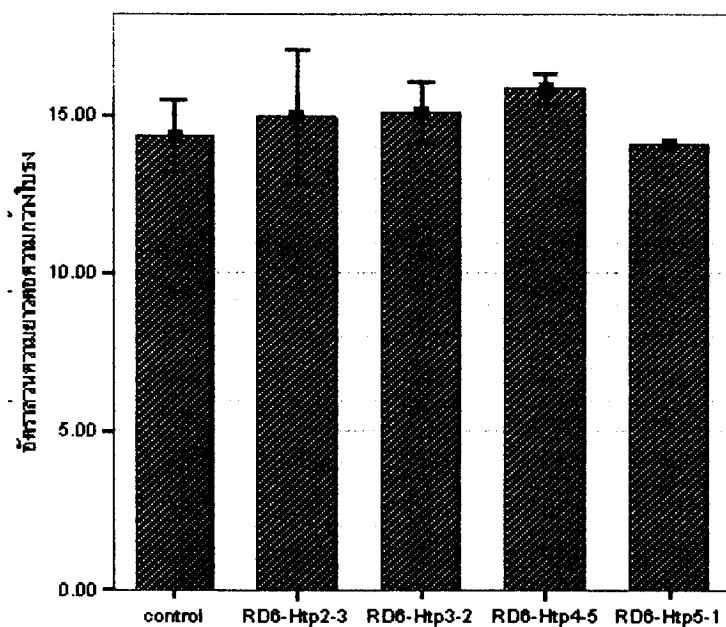
ภาพที่ 64 แผนภูมิแสดงความกว้างใบสัง และความยาวในองของข้าวพันธุ์ กข6 ปกติ เปรียบเทียบกับ ข้าวพันธุ์ กข6 แปลงพันธุ์ที่ต้านทานต่อไข่โกรนัยซินรุ่น  $T_0$



ภาพที่ 65 แผนภูมิแสดงความกว้างในสิ่ง และความยาวในสิ่งของข้าวพันธุ์ กช 6 ปกติ เปรียบเทียบกับ ข้าวพันธุ์ กช 6 แปลงพันธุ์ที่ต้านทานต่อไข่ไกรมัยชินรุ่น T<sub>1</sub>



ภาพที่ 66 แผนภูมิแสดงอัตราส่วนระหว่างความยาวใบธงต่อความกว้างใบธงของข้าวพันธุ์ กช 6 ปกติ เปรียบเทียบกับข้าวพันธุ์ กช 6 แปลงพันธุ์ที่ต้านทานต่อไข่โกรมัยชินรุ่น  $T_0$



ภาพที่ 67 แผนภูมิแสดงอัตราส่วนระหว่างความยาวใบธงต่อความกว้างใบธงของข้าวพันธุ์ กช 6 ปกติ เปรียบเทียบกับข้าวพันธุ์ กช 6 แปลงพันธุ์ที่ต้านทานต่อไข่โกรมัยชินรุ่น  $T_1$

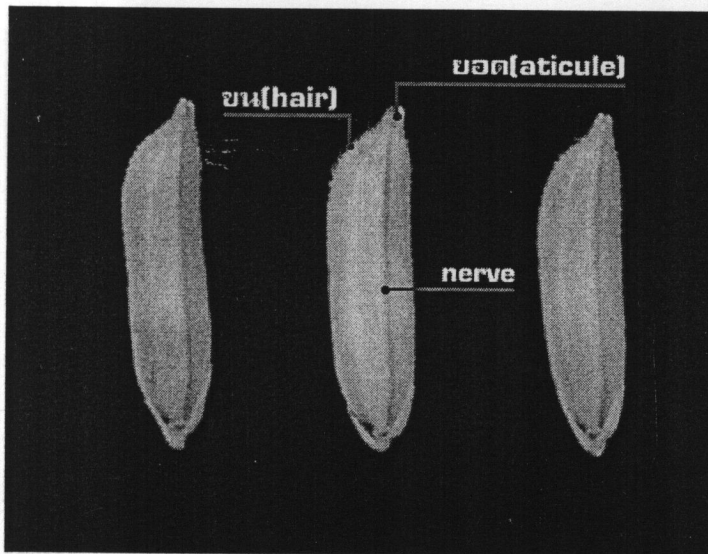
การศึกษาลักษณะทางสัณฐานวิทยาของเม็ดข้าวพันธุ์ กช 6 แปลงพันธุ์ที่ต้านทานต่อไฮโกรมัยชินรุ่น  $T_0$  และ  $T_1$  เปรียบเทียบกับเม็ดข้าวพันธุ์ กช 6 ปกติ พบร่วมเม็ดข้าวทั้งสองชนิดมี สีเหลืองทอง และมีขน(hair)หัวทั้งเปลือก และสังเกตพบส่วนยอด(apicule) และ nerve เมื่อ แกะเม็ดข้าวออกพบเม็ดข้าวกล้องที่มีคัพภะและเอนโดสเปริมเป็นองค์ประกอบ โดยคัพภะและ เอนโดสเปริมมีสีขาวขุ่น และมี nerve ชัดเจน (ภาพที่ 68, 69, 70 และ 71) และแสดงผลความ กว้างเม็ด ความยาวเม็ด และอัตราส่วนความยาวต่อกว้างเม็ดในตารางที่ 8 และ 9 และ ภาพที่ 72 และ 73 จากการวิเคราะห์ผลทางสถิติพบว่าความกว้างเม็ด ความยาวเม็ด และ อัตราส่วนระหว่างความยาวเม็ดต่อกว้างเม็ดของข้าวพันธุ์ กช 6 แปลงพันธุ์ และข้าวพันธุ์ กช 6 ปกติ ไม่แตกต่างกันที่ระดับนัยสำคัญ 0.05

ตารางที่ 8 ลักษณะความกว้างเม็ด ความยาวเม็ด และอัตราส่วนระหว่างความยาวเม็ดต่อ ความกว้างเม็ดของข้าวพันธุ์ กช 6 แปลงพันธุ์ที่ต้านทานต่อไฮโกรมัยชินรุ่น  $T_0$

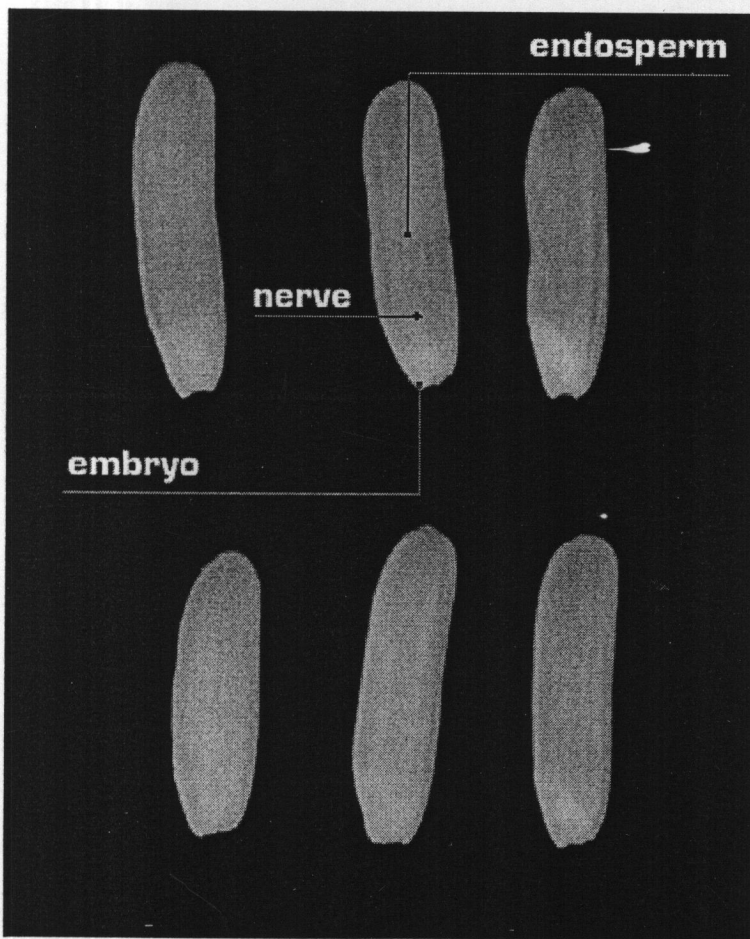
รหัสพืช $T_0$	ความกว้างเม็ด (มม.)	ความยาวเม็ด (มม.)	ความยาวเม็ด/ ความกว้างเม็ด
Control	2.276±0.202	7.230±0.115	3.176±0.341
RD6-htp2	2.284±0.881	7.233±0.166	3.168±0.192
RD6-htp3	2.293±0.120	7.256±0.348	3.164±0.301
RD6-htp4	2.283±0.153	7.196±0.167	3.156±0.174
RD6-htp5	2.283±0.120	7.240±0.577	3.170±0.143
RD6-htp7	2.303±0.186	7.233±0.120	3.140±0.303

ตารางที่ 9 ลักษณะความกว้างเม็ด ความยาวเม็ด และอัตราส่วนระหว่างความยาวเม็ดต่อ ความกว้างเม็ดของข้าวพันธุ์ กช 6 แปลงพันธุ์ที่ต้านทานต่อไฮโกรมัยชินรุ่น  $T_1$

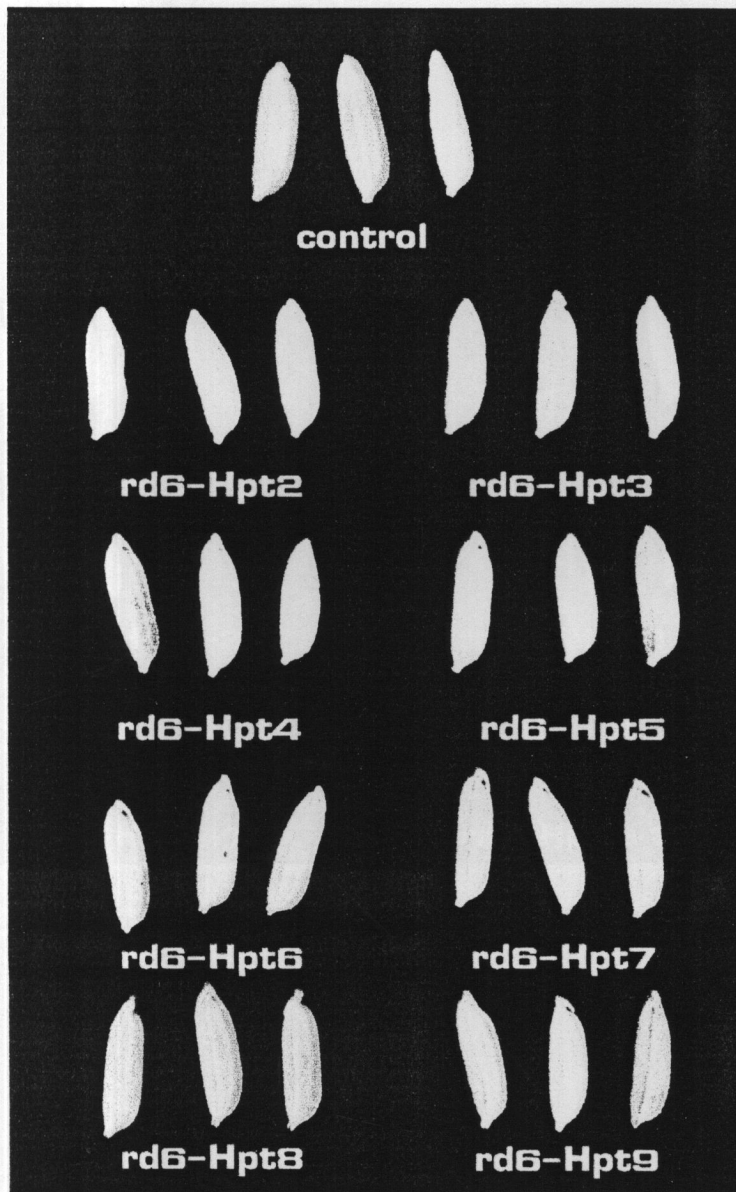
รหัสพืช $T_1$	ความกว้างเม็ด (มม.)	ความยาวเม็ด (มม.)	ความยาวเม็ด/ ความกว้างเม็ด
Control	2.213±0.441	7.243±0.233	3.207±0.165
RD6-htp2-3	2.210±0.458	7.230±0.435	3.020±0.129
RD6-htp3-2	2.223±0.371	7.236±0.348	3.229±0.598
RD6-htp4-5	2.230±0.178	7.240±0.881	3.221±0.440
RD6-htp5-1	2.270±0.252	7.266±0.360	3.217±0.317
RD6-htp9-7	2.270±0.264	7.210±0.116	3.192±0.144



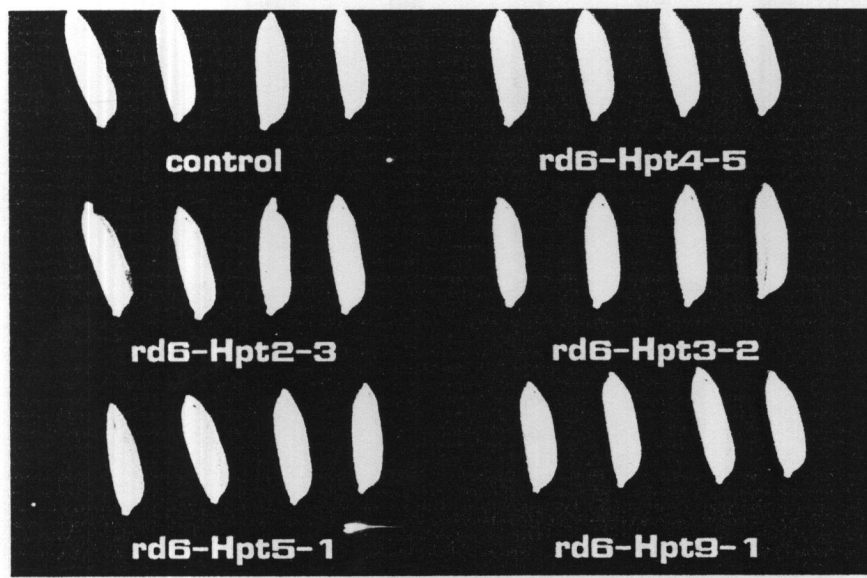
ภาพที่ 68 ลักษณะเมล็ดข้าวพันธุ์ กช 6 ปกติ (ซ้าย) เปรียบเทียบกับเมล็ดข้าวพันธุ์ กช 6 แปลงพันธุ์ที่ต้านทานต่อไข่โกรมัยชิน (กลางและขวา)



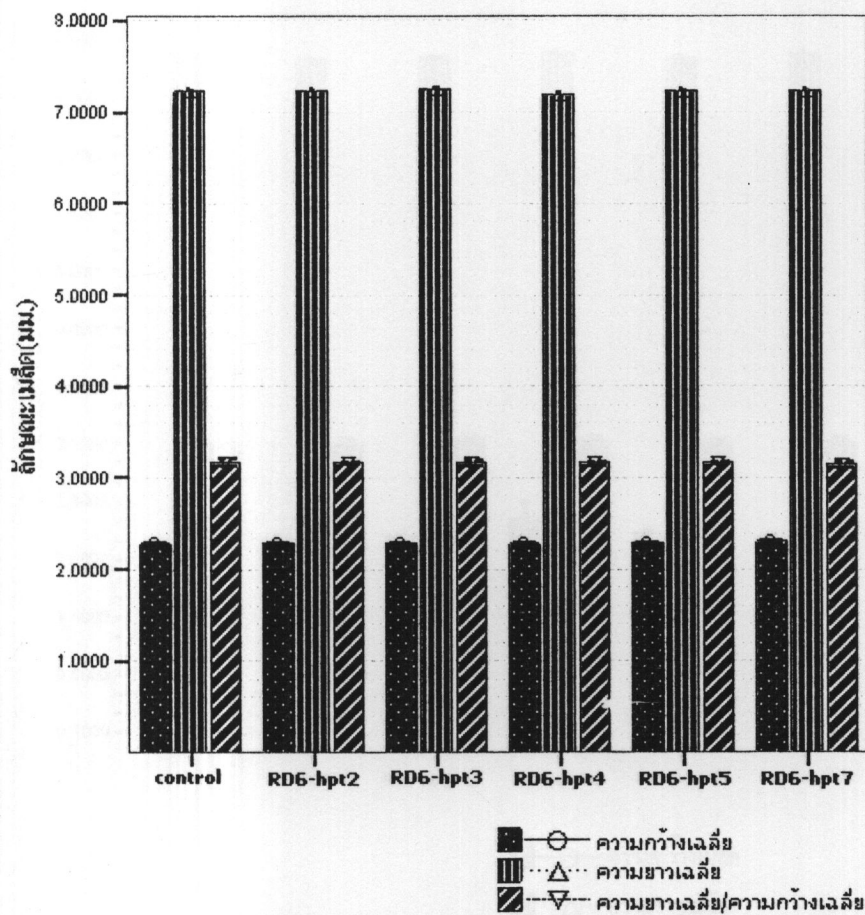
ภาพที่ 69 ลักษณะเมล็ดข้าวกล้องของข้าวพันธุ์ กช 6 ปกติ (ແຕບນ) เปรียบเทียบกับเมล็ดข้าว กล้องของข้าวพันธุ์ กช 6 แปลงพันธุ์ที่ต้านทานต่อไข่โกรมัยชิน (ແຕບล่าง)



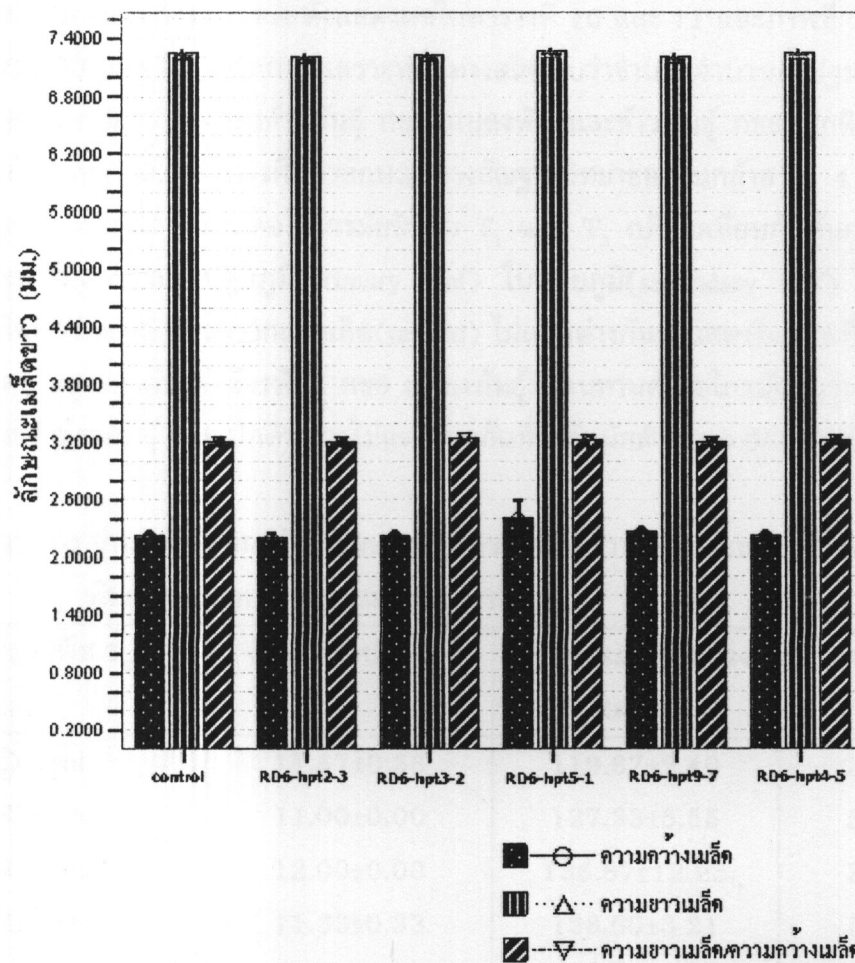
ภาพที่ 70 ลักษณะเมล็ดข้าวพันธุ์ กข 6 ปกติ เปรียบเทียบกับเมล็ดข้าวพันธุ์ กข 6 แบล็งพันธุ์ที่ต้านทานต่อไข่ไกรมัยชินรุ่น  $T_0$



ภาพที่ 71 ลักษณะเมล็ดข้าวพันธุ์ กข 6 ปกติ เปรียบเทียบกับเมล็ดข้าวพันธุ์ กข 6 แปลงพันธุ์ที่  
ด้านท่านต่อໄอกรมัยซินรุ่น T<sub>1</sub>



ภาพที่ 72 แผนภูมิแสดงความกว้างเมล็ด ความยาวเมล็ด และอัตราส่วนระหว่างความยาวเมล็ดต่อความกว้าง เมล็ดข้าวพันธุ์ กข6 ปกติ เปรียบเทียบกับเมล็ดข้าวพันธุ์ กข6 แปลงพันธุ์ที่ต้านทานต่อ ไข้โกรมยชันรุ่น  $T_0$



ภาพที่ 73 แผนภูมิแสดงความกว้างเมล็ด ความยาวเมล็ด และอัตราส่วนระหว่างความยาวเมล็ดต่อความกว้างของเมล็ดข้าวพันธุ์ กช 6 ปกติ เปรียบเทียบกับเมล็ดข้าวพันธุ์ กช 6 แปลงพันธุ์ที่ด้านหน้าต่อไออกรมัยซินรุ่น  $T_1$

การศึกษาลักษณะทางสัณฐานวิทยาของรากข้าวพันธุ์ กช 6 แปลงพันธุ์ที่ต้านทานต่อไฮโกรมัยชินรุ่น  $T_0$  และ  $T_1$  เปรียบเทียบกับรากข้าวพันธุ์ กช 6 ปกติพบว่ามีจำนวนกิ่งปฐมภูมิ จำนวน เมล็ดต่อราก และความยาวราก ดังแสดงผลในตารางที่ 10 และ 11 และภาพที่ 74, 75, 76, 77, 78, 79, 80 และ 81 จากการวิเคราะห์ผลทางสถิติพบว่าจำนวนจำนวนกิ่งปฐมภูมิ จำนวนเมล็ด ต่อรากและความยาวรากของข้าวพันธุ์ กช 6 แปลงพันธุ์และข้าวพันธุ์ กช 6 ปกติ ไม่แตกต่างกันที่ระดับนัยสำคัญ 0.05 การศึกษาลักษณะทางสัณฐานวิทยาของต้นกล้าอายุ 4 วันของข้าวพันธุ์ กช 6 แปลงพันธุ์ที่ต้านทานต่อไฮโกรมัยชินรุ่น  $T_1$  และ  $T_2$  เปรียบเทียบกับต้นกล้าข้าวพันธุ์ กช 6 ปกติพบว่ามีลักษณะใบปฐมภูมิ(primary leaf) ในทุติยภูมิ(secondary leaf) เนื้อเยื่อหุ้มยอด-แรกเกิด(coleoptile) และรากแรกเกิด(radical) ไม่แตกต่างกันดังแสดงในภาพที่ 82 การ-เปรียบเทียบความสูงของต้นกล้าข้าวพันธุ์ กช 6 แปลงพันธุ์ที่ต้านทานต่อไฮโกรมัยชินรุ่น  $T_1$  อายุ 10 วัน กับต้นกล้าข้าวพันธุ์ กช 6 ปกติพบว่าไม่แตกต่างกันที่ระดับนัยสำคัญ 0.05(ภาพที่ 83 และ 84)

ตารางที่ 10 จำนวนกิ่งปฐมภูมิ จำนวนเมล็ดต่อราก และความยาวรากของข้าวพันธุ์ กช 6 แปลง-พันธุ์ที่ต้านทานต่อไฮโกรมัยชินรุ่น  $T_0$

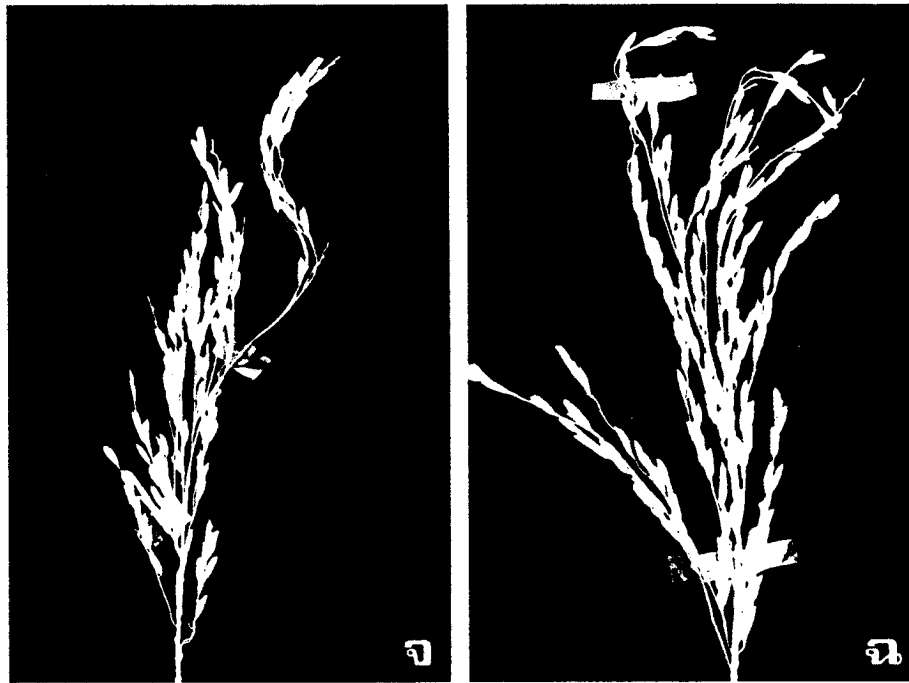
รหัสพืช $T_0$	จำนวนกิ่งปฐมภูมิ	จำนวนเมล็ดต่อราก (เมล็ด)	ความยาวราก (ซม.)
Control	11.67±0.33	119.67±2.40	32.10±0.98
RD6-htp2	11.00±0.00	127.33±5.55	37.26±1.49
RD6-htp3	12.00±0.00	136.67±12.25	32.63±2.18
RD6-htp4	11.33±0.33	128.00±3.21	36.73±2.32
RD6-htp5	11.00±0.00	130.00±5.29	34.70±0.91
RD6-htp7	11.67±0.33	129.67±5.24	33.50±1.12

ตารางที่ 11 จำนวนกิ่งปฐมภูมิ จำนวนเมล็ดต่อราก และความยาวรากของข้าวพันธุ์ กช 6 แปลง-พันธุ์ที่ต้านทานต่อไฮโกรมัยชินรุ่น  $T_1$

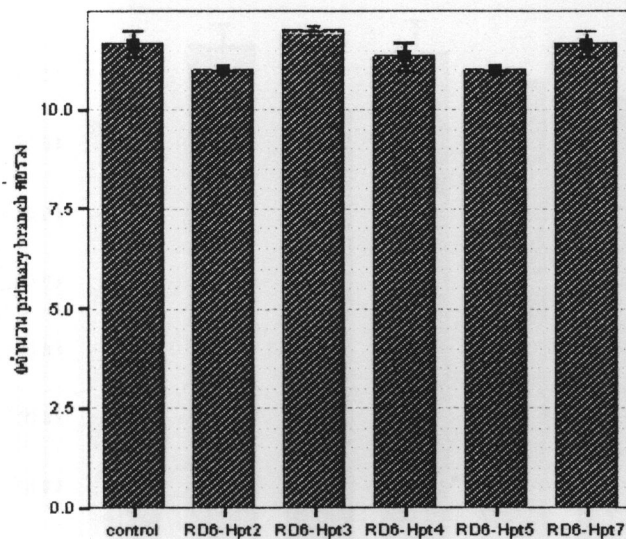
รหัสพืช $T_1$	จำนวนกิ่งปฐมภูมิ	จำนวนเมล็ดต่อราก (เมล็ด)	ความยาวราก (ซม.)
Control	11.33±0.33	128.67±23.31	30.67±1.58
RD6-htp2-3	11.67±0.33	119.68±4.33	31.42±1.43
RD6-htp3-2	11.00±0.00	124.33±4.1	29.03±0.77
RD6-htp4-5	11.33±0.33	123.00±3.21	29.91±1.82
RD6-htp5-1	11.00±0.58	115.00±4.16	27.43±0.92
RD6-htp9-7	11.67±0.33	134.33±11.98	29.70±1.19



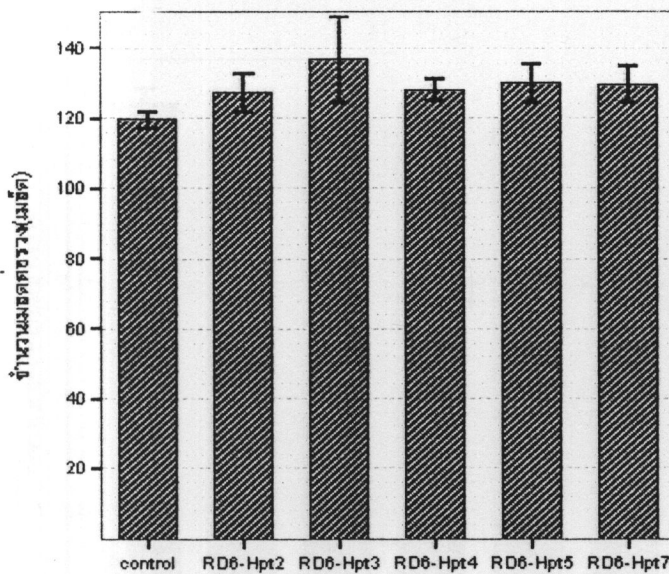
ภาพที่ 74 ลักษณะของรากหัวพันธุ์ กช6 ปกติ(ก) เปรียบเทียบกับรากหัวพันธุ์ กช6 แปลงพันธุ์ที่ต้านทานต่อ  
ไขโกรนัยซิน รุ่น T<sub>1</sub> (ข. RD6-Hpt2-3, ค. RD6-Hpt3-2 และ ง. RD6-Hpt4-5)



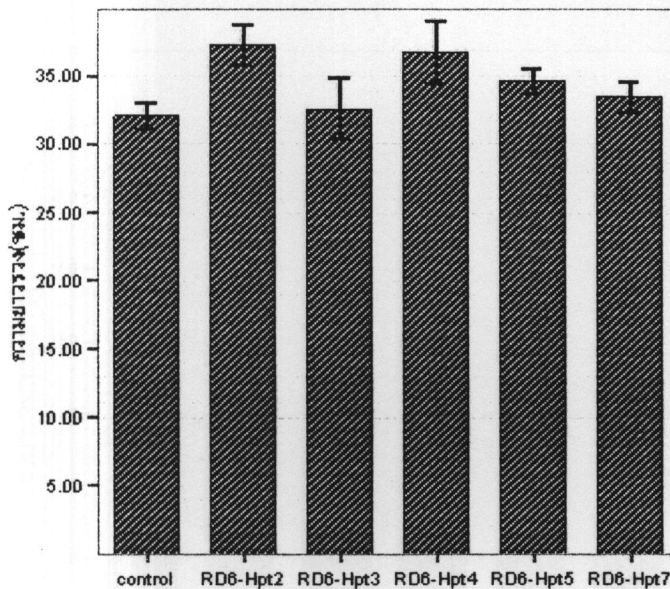
ภาพที่ 75 ลักษณะรากข้าวพันธุ์ กช 6 แปลงพันธุ์ที่ดำเนินการต่อไข่ไกรมัยขิน รุ่น T<sub>1</sub>(ก. RD6-Hpt5-1,  
ก. RD6-Hpt9-7)



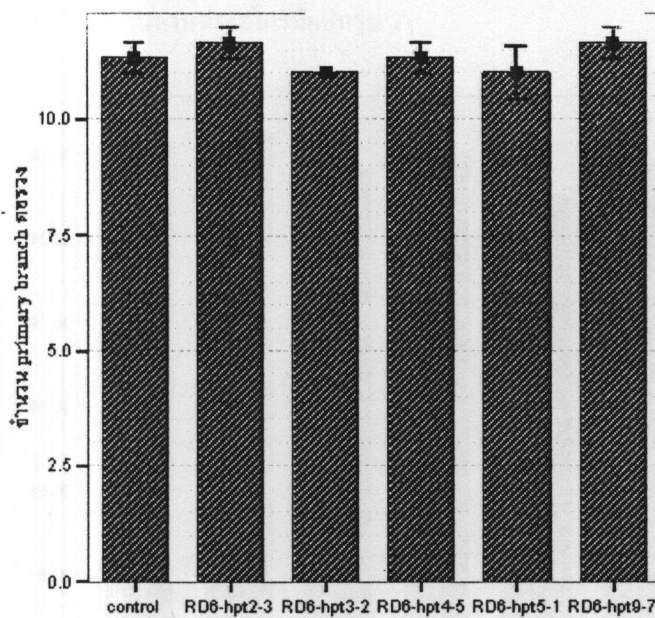
ภาพที่ 76 แผนภูมิแสดงจำนวนกิ่งปฐมภูมิต่อรากของข้าวพันธุ์ กข 6 ปกติเปรียบเทียบกับข้าวพันธุ์ กข 6 แปลงพันธุ์ที่ต้านทานต่อไข่โกรนัยซินรุ่น  $T_0$



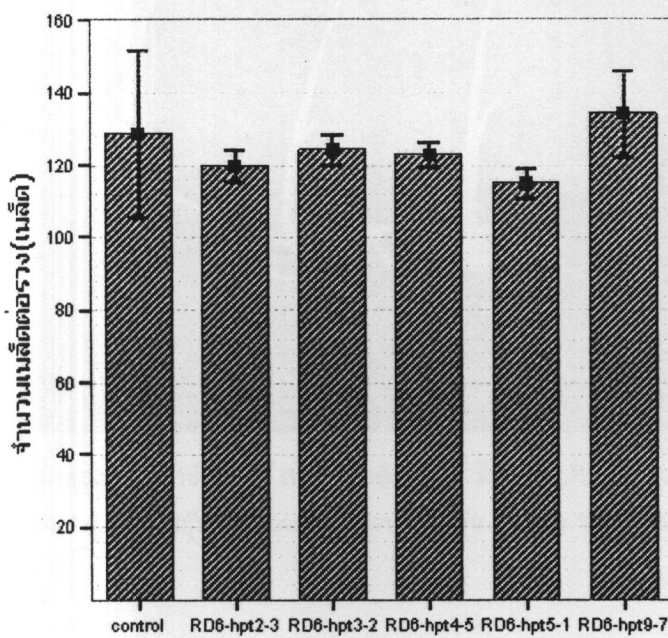
ภาพที่ 77 แผนภูมิแสดงจำนวนเมล็ดต่อรากของข้าวพันธุ์ กข 6 ปกติเปรียบเทียบกับข้าวพันธุ์ กข 6 แปลงพันธุ์ที่ต้านทานต่อไข่โกรนัยซินรุ่น  $T_0$



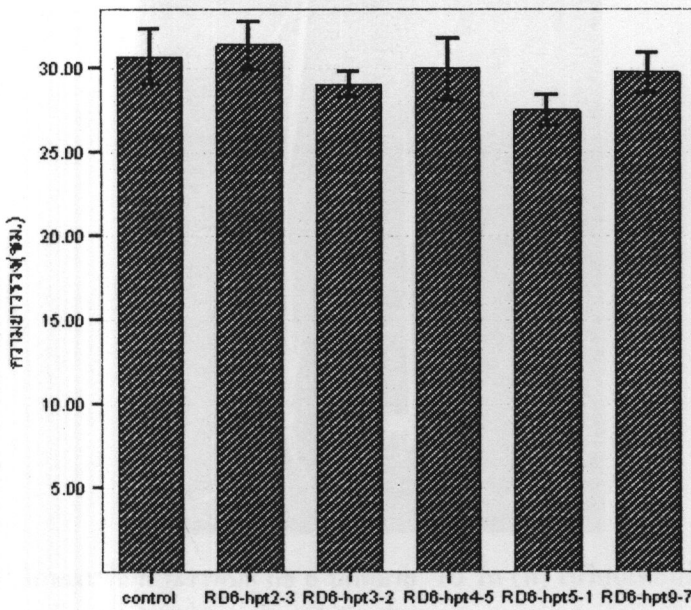
ภาพที่ 78 แผนภูมิแสดงความยาวของข้าวพันธุ์ กข6 ปกติเปรียบเทียบกับข้าวพันธุ์ กข6 แปลงพันธุ์ที่ต้านทานต่อไฮโกรมัยซินรุ่น  $T_0$



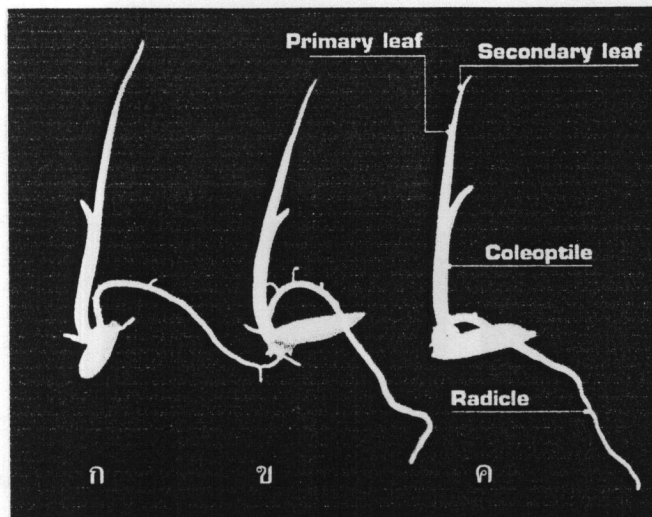
ภาพที่ 79 แผนภูมิแสดงจำนวนกิ่งปฐมภูมิต่อรากของข้าวพันธุ์ กข6 ปกติเปรียบเทียบกับข้าวพันธุ์ กข6 แปลงพันธุ์ที่ต้านทานต่อไฮโกรมัยซินรุ่น  $T_1$



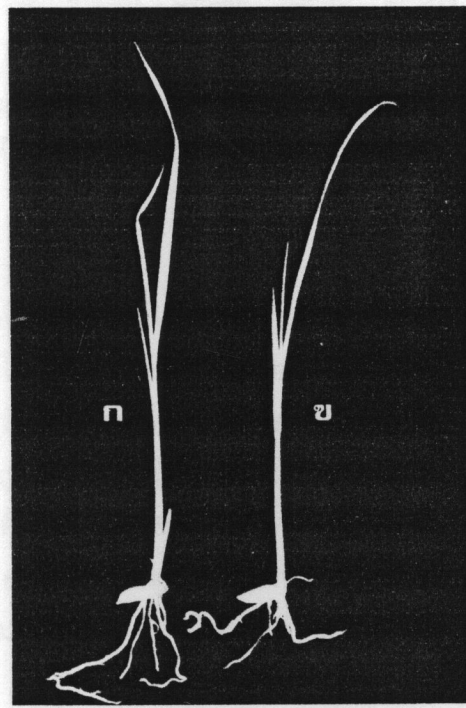
ภาพที่ 80 แผนภูมิแสดงจำนวนเม็ดต่อรวมของข้าวพันธุ์ กข6 ปักติเปรียบเทียบกับข้าวพันธุ์ กข6 แปลงพันธุ์ที่ต้านทานต่อไฮโกรมายชินรุ่น T<sub>1</sub>



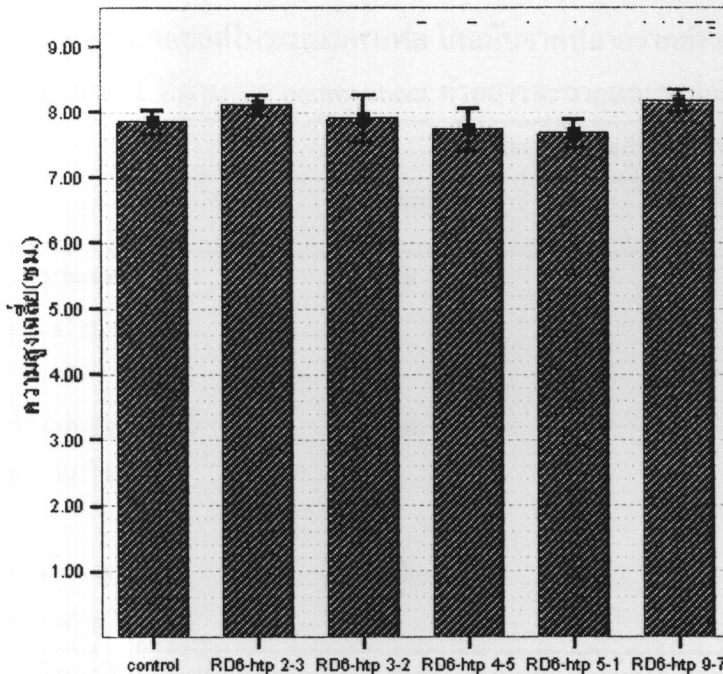
ภาพที่ 81 แผนภูมิแสดงความยาวรวมของข้าวพันธุ์ กข6 ปักติเปรียบเทียบกับข้าวพันธุ์ กข6 แปลงพันธุ์ที่ต้านทานต่อไฮโกรมายชินรุ่น T<sub>1</sub>



ภาพที่ 82 ลักษณะต้นกล้าข้าวพันธุ์ กข 6 ปักติอายุ 4 วัน (ก)เปรียบเทียบกับต้นกล้าข้าวพันธุ์ กข 6 แปลงพันธุ์ที่ต้านทานต่อไฮโกรมัยชินรุ่น T<sub>1</sub> และ T<sub>2</sub> (ข และ ค)



ภาพที่ 83 ลักษณะต้นกล้าข้าวพันธุ์ กข 6 ปักติอายุ 10 วัน (ก) เปรียบเทียบกับต้นกล้าข้าวพันธุ์ กข 6 แปลงพันธุ์ที่ต้านทานต่อไฮโกรมัยชิน (ข)



ภาพที่ 84 แผนภูมิแสดงความสูงต้นข้าวพันธุ์ กข 6 ปกติ อายุ 10 วัน เปรียบเทียบกับต้นข้าวพันธุ์ กข 6 แปลงพันธุ์ที่ต้านทานต่อไฮโกรมัยชินรุ่น  $T_1$

#### ผลการทดลองที่ 5.6 การศึกษาเชลล์พันธุศาสตร์

จากการศึกษาจำนวนโครโนไซมจากเชลล์เนื้อเยื่อปลายรากข้าว ที่ผ่านการแซในสาร pre-treatment 3 ชนิด ที่อุณหภูมิและระยะเวลาต่าง ๆ พบร่วมปลายรากข้าวพันธุ์ กข 6 และชั้ยนาท 1 ที่แซใน 0.002M 8-hydroxyquinoline เป็นเวลา 2.5 ชม. ณ อุณหภูมิ 28°ช. มีจำนวนเชลล์ในระยะเมตาเฟสสูงที่สุด คือ 35 และ 30 เชลล์ตามลำดับ จากการวิเคราะห์ผลทางสถิติพบว่า ค่าเฉลี่ยจำนวนเชลล์ในระยะเมตาเฟสของข้าวแต่ละพันธุ์มีความแตกต่างกันที่ระดับนัยสำคัญ 0.05 โดยค่าเฉลี่ยในคอลัมน์เดียวกันที่กำกับด้วยตัวอักษรอังกฤษที่ต่างกันมีความแตกต่างกันทางสถิติ (ตารางที่ 12)

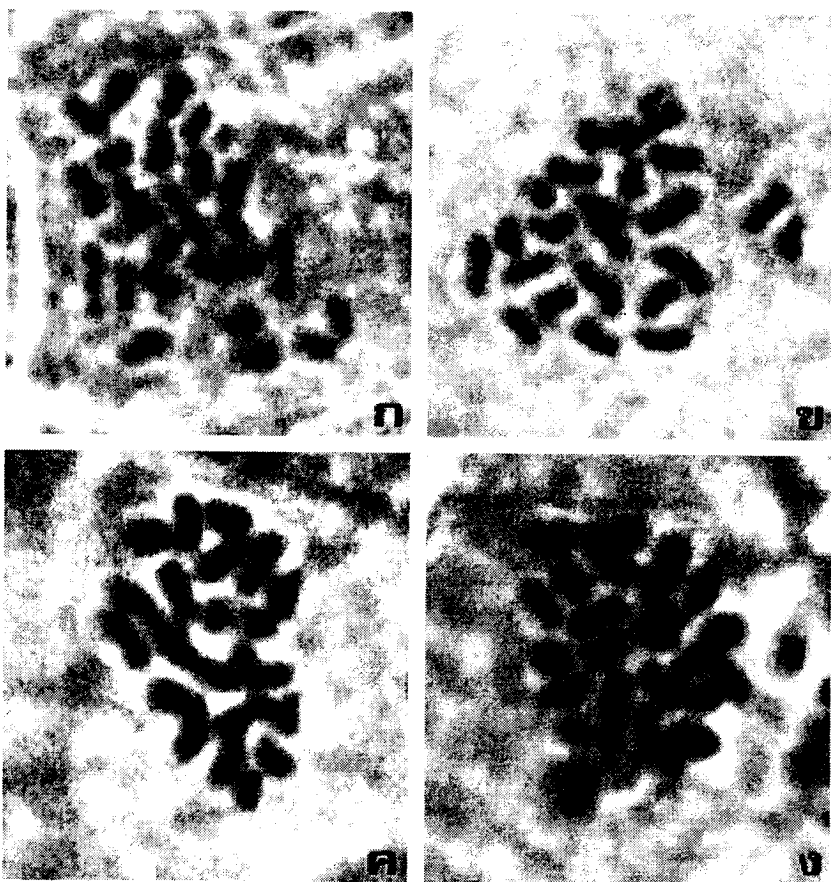
การตรวจนับจำนวนโครโนไซมของเชลล์ปลายรากในระยะเมตาเฟสพบว่าข้าวพันธุ์ กข 6 ปกติมีจำนวนโครโนไซม 2n=24 และเมื่อเปรียบเทียบกับจำนวนโครโนไซมของเชลล์ปลายรากข้าวพันธุ์ กข 6 แปลงพันธุ์ที่ต้านทานต่อไฮโกรมัยชินรุ่น  $T_0$ ,  $T_1$  และ  $T_2$  พบร่วมจำนวนโครโนไซม 2n=24 เช่นเดียวกัน (ภาพที่ 85) สำหรับการตรวจนับจำนวนโครโนไซมของเชลล์ปลายรากข้าว

พันธุ์ชัยนาท 1 เปรียบเทียบกับจำนวนโครโนโซมของเซลล์ปลายรากข้าวพันธุ์ชัยนาท 1 แปลง-พันธุ์ที่ต้านทานต่อการมัยชิน พบว่ามีจำนวนโครโนโซมเท่ากัน คือ  $2n=24$  (ภาพที่ 86)

ตารางที่ 12 ค่าเฉลี่ยจำนวนเซลล์ในระยะเมตาเฟส โดยนับจากปลายรากข้าวพันธุ์ กช 6 และ พันธุ์ชัยนาท 1 ที่ผ่านการ pretreatment ด้วยสารละลายและระยะเวลาต่าง ๆ

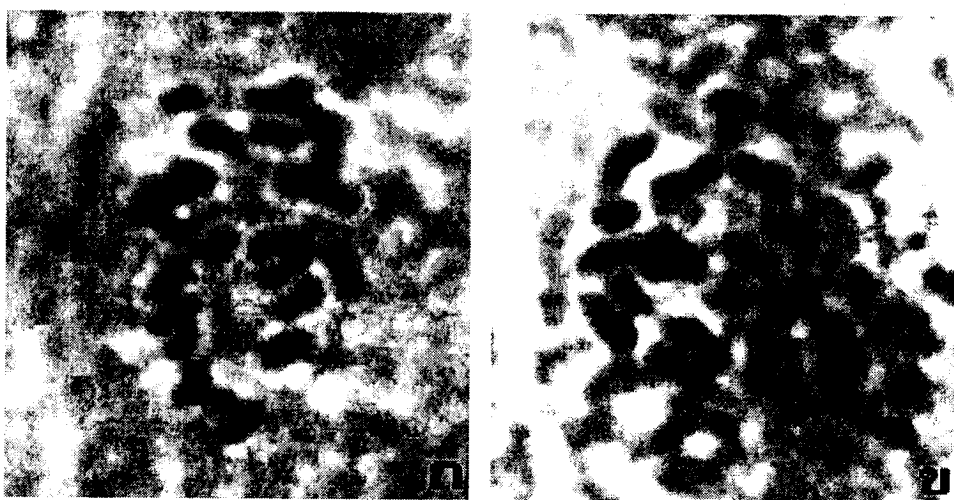
	จำนวนเซลล์ในระยะเมตาเฟส	
	พันธุ์ กช 6	พันธุ์ชัยนาท 1
0.2% colchicine 4 ชม., 4°ช.	12b	15B
0.002 M 8-hydroxyquinoline 2.5 ชม., 28°ช.	35a	30A
1% $\alpha$ -bromonaphthalene 2 ชม., 28°ช.	10b	16B

หมายเหตุ ค่าเฉลี่ยในคอลัมน์เดียวกันที่กำกับด้วยตัวอักษรภาษาอังกฤษที่ต่างกันมีความแตกต่างกันทางสถิติ ที่ระดับนัยสำคัญ 0.05 เมื่อทดสอบโดยวิธี DMRT



ภาพที่ 85 ก. โครโน่ไซม์ระยะเมตาเฟสของข้าวพันธุ์ กข 6 ปกติ ( $2n=24$ )

- ข. โครโน่ไซม์ระยะเมตาเฟสของข้าวพันธุ์ กข 6 แปลงพันธุ์ที่ต้านทานต่อไฮโกรมัยซินรุ่น  $T_0$  ( $2n=24$ )
- ค. โครโน่ไซม์ระยะเมตาเฟสของข้าวพันธุ์ กข 6 แปลงพันธุ์ที่ต้านทานต่อไฮโกรมัยซินรุ่น  $T_1$  ( $2n=24$ )
- ง. โครโน่ไซม์ระยะเมตาเฟสของข้าวพันธุ์ กข 6 แปลงพันธุ์ที่ต้านทานต่อไฮโกรมัยซินรุ่น  $T_2$  ( $2n=24$ )



ภาพที่ 86 ก. โครโน่ไซม์ระยะเมตาเฟสของข้าวพันธุ์ชัยนาท 1 ปกติ ( $2n=24$ )

- ข. โครโน่ไซม์ระยะเมตาเฟสของข้าวพันธุ์ชัยนาท 1 แปลงพันธุ์ที่ต้านทานต่อภานามัยซิน ( $2n=24$ )

## สรุปและวิจารณ์ผลการทดลอง

ผลการนำต้นข้าวพันธุ์ กข6 แปลงพันธุ์ที่ต้านทานต่อไฮโกรนัยชินรุ่น  $T_0$  และ  $T_1$  ลงปลูกในดินกระถาง พบร่วมต้นข้าวแปลงพันธุ์สามารถเจริญเติบโตได้เช่นเดียวกับต้นข้าวพันธุ์ กข6 ปกติ โดยมีการเจริญเติบโตให้กำเนิดซ้อดอก และออกรวงในเวลาใกล้เคียงกัน และสามารถเก็บเมล็ด-ข้าวรุ่นลูกของต้นข้าวแปลงพันธุ์ได้

การตรวจสอบการแสดงออกของยีน *gus* ในใบข้าวจากต้นข้าวพันธุ์ กข6 แปลงพันธุ์ที่ต้านทานต่อไฮโกรนัยชินรุ่น  $T_0$  ที่นำปลูกในดินกระถางเป็นเวลา 2 สัปดาห์พบว่าใบข้าวมีการแสดงออกของยีน *gus* ค่อนข้างมาก โดยสังเกตเห็นสีฟ้าตลอดทั้งใบเมื่อเปรียบเทียบกับใบข้าวปกติ การตรวจสอบการแสดงออกของยีน *gus* ในเมล็ดข้าวแปลงพันธุ์พบมีการแสดงออกของยีน *gus* บริเวณคัพภะและเออนโดสเปร์มของเมล็ด และพบมีการแสดงออกของยีน *gus* ในต้นข้าวพันธุ์ กข6 แปลงพันธุ์ที่ต้านทานต่อไฮโกรนัยชินรุ่น  $T_1$  และ  $T_2$  อายุ 7 วัน ผลการตรวจสอบดีเอ็นเอที่สกัดจากใบข้าวแปลงพันธุ์ที่ต้านทานต่อไฮโกรนัยชินรุ่น  $T_0$  ด้วยเทคนิค PCR โดยมี CaMV35S เป็นดีเอนเอต้นแบบ พบรีบบันด์ขนาด 189 bp ซึ่งตรงกับขนาดที่คาดหวังในทุกตัวอย่างที่นำมาตรวจสอบ ดังนั้นต้นข้าวแปลงพันธุ์ที่นำมาตรวจสอบจึงมีการแสดงออกแทรกของ T-DNA ในจีโนม

ผลการทดสอบอิทธิพลของไฮโกรนัยชินต่อการออกของเมล็ดข้าวพันธุ์ กข6 ปกติพบว่า อาหารสูตร  $N_6$  ที่เติมน้ำตาลซูโครสความเข้มข้น 2%, ผงรุน 0.8% ร่วมกับไฮโกรนัยชินความเข้มข้น 20 มก./ล. เป็นอาหารคัดเลือกที่เหมาะสมสำหรับการคัดเลือกเมล็ดข้าวพันธุ์ กข6 แปลงพันธุ์ที่ต้านทานต่อไฮโกรนัยชิน เนื่องจากอาหารที่เติมไฮโกรนัยชินความเข้มข้นดังกล่าวเป็นความเข้มข้นต่ำที่สุดที่มีผลให้เมล็ดข้าวปกติไม่สามารถเจริญเป็นต้นได้ การศึกษา segregation pattern ในเมล็ดข้าวพันธุ์ กข6 แปลงพันธุ์ที่ต้านทานต่อไฮโกรนัยชิน รุ่น  $T_0$  และ  $T_1$  โดยสุ่มเลือกเมล็ดข้าวแปลงพันธุ์มาทดสอบการออกบนอาหารสูตร  $N_6$  ที่เติมไฮโกรนัยชินความเข้มข้น 20 มก./ล. พบร่วมกับเมล็ดข้าวแปลงพันธุ์รุ่น  $T_0$  รหัส RD6-hpt2, RD6-hpt4, RD6-hpt5 และ RD6-hpt7 และเมล็ดข้าวแปลงพันธุ์รุ่น  $T_1$  รหัส RD6-hpt 2-3, RD6-hpt 4-4, RD6-hpt4-5 และ RD6-hpt 5-1 มีอัตราส่วนจำนวนเมล็ดที่ต้านทานต่อไฮโกรนัยชิน/จำนวนเมล็ดที่ไม่ต้านทานต่อไฮโกรนัยชิน เท่ากับ 3:1 ส่วนเมล็ดข้าวแปลงพันธุ์รุ่น  $T_0$  รหัส RD6-hpt3, RD6-hpt6 และ RD6-hpt9 มีอัตราส่วนจำนวนเมล็ดที่ต้านทานไฮโกรนัยชินต่อจำนวนเมล็ดที่ไม่ต้านทานไฮโกรนัยชินเท่ากับ 1:1 อัตราส่วน 3:1 เป็นอัตราส่วนที่เป็นไปตามกฎของเมนเดล และแสดงให้เห็นว่าการแทรกตัวของ T-DNA ในจีโนมข้าวเกิดขึ้น ณ ตำแหน่งโลคัสเดียว (single locus) และต้นข้าวแปลงพันธุ์รุ่นพ่อแม่ของเมล็ดเหล่านี้มียีนที่มีลักษณะเป็นลูกผสม *Rr* (heterozygote) ดังนั้นเมื่อมีการผสมตัวเองเกิดขึ้น รุ่นลูกจะมีลักษณะแตกต่างกันออกไปคือ *RR, 2Rr, 1rr = 3:1* โดยมี *R* เป็นยีนข่ม (dominance gene) และ *r* เป็นยีนแห้ง (recessive gene)

Chen et al.(1998) รายงานการทดสอบความต้านทานต่อ *bialaphos* ในเมล็ดข้าวรุ่นลูกของข้าวสาลีแปลงพันธุ์ และพบว่าเมล็ดมี segregation pattern เท่ากับ 3:1 และ 15:1 และอธิบายว่าอัตราส่วน 3:1 เกิดจากการแทรกตัวของ T-DNA ในจีโนมพีช ณ ตำแหน่ง single locus แต่ต้นข้าวที่มี segregation pattern เท่ากับ 15:1 เกิดจากการแทรกตัวของ T-DNA เข้าสู่จีโนมพีช ในโลคัสที่แตกต่าง 2 โลคัส

อัตราส่วน 1:1 ที่พบใน RD6-hpt3, RD6-hpt6 และ RD6-hpt9 ไม่เป็นไปตามที่ได้อธิบายมาแล้ว ซึ่งมีรายงานพบอัตราส่วนเดียวกันนี้ในเมล็ดรุ่นลูกในข้าวแปลงพันธุ์หลายชนิด ได้แก่ Zhang et al.(1996) รายงานว่า segregation pattern ของเมล็ดรุ่นลูกที่ไม่เป็นไปตามกฎของเมนเดลนั้น เกิดจากความไม่สมบูรณ์ของลักษณะของเรณูข้าว และส่งผลให้การผสมเกสรเกิดขึ้นต่ำอย่างผิดปกติตัว ซึ่งสอดคล้องกับรายงานของ Wu et al.(1997) ที่ศึกษาการส่งถ่ายยีน *cry1Ab* เข้าสู่ข้าวอินดิกาทางลายชนิด และรายงานการแสดงออกของยีน *gus* ในต้นข้าวรุ่นลูกซึ่งเกิดจากการผสมตัวเองของข้าวรุ่น  $T_1$  ว่ามีอัตราส่วนจำนวนต้นที่มีการแสดงออกของยีน *gus* ต่อจำนวนต้นไม่มีการแสดงออกของยีน *gus* แตกต่างไปจากกฎของเมนเดล และอธิบายว่าการเกิด segregation ที่ผิดปกตินี้มีสาเหตุจากความไม่สมบูรณ์ของลักษณะของเรณูของข้าวแปลงพันธุ์มากกว่า จะมีสาเหตุมาจากการแทรกตัว (integration pattern) ของ T-DNA ในจีโนมพีช Bradshaw and Stettler (1994) ศึกษา phenotypic segregation ในเมล็ดข้าวพันธุ์ปกติ หลายชนิดและรายงานพบ segregation pattern ที่แตกต่างไปจากกฎของเมนเดล เช่นเดียวกัน Christou et al.(1989) รายงานว่าการเกิด segregation pattern ในลักษณะที่แตกต่างไปจากกฎของเมนเดล อาจเกิดจากความเป็นหมันของเซลล์แคนธีต มีรายงานการพบ segregation ของเมล็ดข้าวแปลงพันธุ์ในลักษณะเดียวกับการศึกษาครั้งนี้ได้แก่ Mohanty et al.(1995) รายงานการส่งถ่ายยีนต้านทานต่อไฮโกรมัยชินเข้าสู่ข้าวพันธุ์ *Pusa Basmati1* โดย *A. tumefaciens* และทดสอบลักษณะต้านทานต่อไฮโกรมัยชินในเมล็ดข้าวรุ่นลูกโดยนำเมล็ดข้าวเพาะเลี้ยงบนอาหารที่เติมไฮโกรมัยชินความเข้มข้น 50 mg./l. และพบว่าอัตราส่วนจำนวนเมล็ดที่ต้านทานไฮโกรมัยชินความเข้มข้น 50 mg./l. และพบว่าอัตราส่วนจำนวนเมล็ดที่ต้านทานไฮโกรมัยชินต่อจำนวนเมล็ดที่ไม่ต้านทานไฮโกรมัยชิน 3 แบบ คือ 1:1, 3:1 และ 15:1 Uze et al.(1997) ทดสอบการแสดงออกของยีน *gus* ในเมล็ดข้าวรุ่นลูกของข้าวพันธุ์ TP309 ที่ต้านทานต่อไฮโกรมัยชินพบว่าพืชแปลงพันธุ์มีอัตราส่วนจำนวนเมล็ดที่ต้านทานไฮโกรมัยชินต่อจำนวนเมล็ดที่ไม่ต้านทานไฮโกรมัย 2 แบบ คือ 3:1 และ 1:1

ผลการศึกษาลักษณะทางสรีรวิทยาของข้าวพันธุ์ กข 6 แปลงพันธุ์เปรียบเทียบกับข้าวพันธุ์ กข 6 ปกติ พบร่วมค่าคักก์อ่อนโนติส คลอรอฟิลล์เอ คลอรอฟิลล์บี คลอรอฟิลล์รวม และอัตราส่วนระหว่างคลอรอฟิลล์เอต่อคลอรอฟิลล์บีในข้าวแปลงพันธุ์และในข้าวปกติมีค่าไม่แตกต่างกันทางสถิติ ที่ระดับนัยสำคัญ 0.05 และผลการศึกษาลักษณะทางสัณฐานวิทยาของข้าวพันธุ์ กข 6 แปลงพันธุ์เปรียบเทียบกับข้าวพันธุ์ กข 6 ปกติ พบร่วมลักษณะต้นกล้าอายุ 4 วัน ความสูงเฉลี่ยต้นกล้าอายุ 10 วัน ความสูงเฉลี่ยต้นข้าวอายุ 3 เดือน ลักษณะใบลง(ความยาวเฉลี่ย ความ

กว้างเฉลี่ย ความยาวเฉลี่ย/ความกว้างเฉลี่ย) ลักษณะเมล็ด(ความยาวเฉลี่ย ความกว้างเฉลี่ย ความยาวเฉลี่ย/ความกว้างเฉลี่ย) และลักษณะร่องข้าว(จำนวนรวงต่อต้น จำนวนกิ่งปฐมภูมิต่อ รวง จำนวนเมล็ด/รวง ความยาวรวง) ไม่แตกต่างกันทางสถิติที่ระดับนัยสำคัญ 0.05 แต่จากการเปรียบเทียบค่าความสูงเฉลี่ยของต้นข้าวพันธุ์ กข 6 แปลงพันธุ์รุ่น  $T_0$  และต้นข้าวพันธุ์ กข 6 แปลงพันธุ์รุ่น  $T_1$  พบว่าความสูงของ ต้นข้าวรุ่น  $T_0$  มีความสูงเฉลี่ยมากกว่าต้นข้าวรุ่น  $T_1$  ประมาณ 30-40 ซม. ทั้งนี้เนื่องจากข้าว พันธุ์ กข 6 เป็นพันธุ์ข้าวที่มีความไวต่อช่วงแสงซึ่งจะเปลี่ยนแปลงการเจริญเติบโตจากระยะเติบโต (vegetative phase) ไปเป็นระยะเจริญพันธุ์ (reproductive phase) เพื่อกำเนิดช่อดอก เมื่อได้รับช่วงแสงน้อยกว่าช่วงแสงวิกฤติ (critical day length) หรือประมาณเดือนสิงหาคม แต่ในการทดลองได้นำข้าวพันธุ์ กข 6 แปลงพันธุ์รุ่น  $T_0$  ลงปลูกตั้งแต่เดือนมิถุนายน จึงทำให้ต้นข้า้มีการเจริญเติบโตระยะเจริญพันธุ์มากกว่าต้นข้าวรุ่น  $T_1$  ที่ปลูกตามฤดูกาล ส่งผลให้มีความสูงผิดปกติ แต่อย่างไรก็ตามความสูงดังกล่าวไม่แตกต่างกับความสูงของต้นข้าวพันธุ์ กข 6 ปกติที่ปลูกในระยะเวลาเดียวกัน ที่ระดับนัยสำคัญ 0.05 ดังนั้น การสอดแทรกของ T-DNA ในจีโนมของข้าวพันธุ์ กข 6 แปลงพันธุ์จากการส่งถ่ายยืนโดย *A. tumefaciens* EHA105(pCAMBIA1301) ไม่ทำให้ลักษณะทางสรีรวิทยาและสัณฐานวิทยาของต้นข้าวแปลงพันธุ์เปลี่ยนแปลง ผลการทดลองนี้สอดคล้องกับรายงานของ Tu et al.(2002) ซึ่งประสบความสำเร็จในการสร้างข้าวพันธุ์ IR72 แปลงพันธุ์ที่ต้านทานต่อโรคใหม่ โดยต้นข้าวแปลงพันธุ์ ดังกล่าวสามารถเจริญเติบโตและให้ผลผลิตรุ่นลูกได้ และจากการศึกษาลักษณะต่างๆ ทางสัณฐานวิทยาได้แก่ ความสูงต้นข้าว จำนวนรวงต่อต้น จำนวนเมล็ดต่อรวง น้ำหนักเมล็ด และผลผลิตต่อไร่ของข้าวพันธุ์ IR72 แปลงพันธุ์เปรียบเทียบกับข้าวพันธุ์ IR72 ปกติ พบว่าไม่มีความแตกต่างกันอย่างมีนัยสำคัญ Yuan et al.(2002) ศึกษาชั้นน้ำหนักต้นกล้าชั้งเป็นรุ่น  $T_1$  ของต้นข้าวแปลงพันธุ์ที่มีคุณสมบัติต้านทานต่อโรคใหม่ และพบว่าน้ำหนักสดเฉลี่ยของต้นกล้าไม่แตกต่างกับน้ำหนักสดเฉลี่ยของต้นกล้าปกติอย่างมีนัยสำคัญ และเสนอว่าการแสดงออกของยีนต้านทานต่อโรคใหม่ในข้าวแปลงพันธุ์ไม่ก่อให้เกิดอันตรายต่อเซลล์ข้าว และไม่มีผลกระทบต่อการเจริญของต้นข้าว อย่างไรก็ตามรายงานของ Maddaloni et al.(1997) กล่าวว่าได้ทำการสังเคราะห์รับการสังเคราะห์ ribosome-inactivating protein(RIP) ในยาสูบเพื่อทำให้ยาสูบมีลักษณะต้านทานต่อเชื้อ *Rhizoctonia solani* แต่พบในภายหลังว่าการแสดงออกของยีน RIP ในเซลล์ยาสูบทำให้โรบินโซมได้รับอันตราย Kisaka et al.(1998) ศึกษาเปรียบเทียบลักษณะการเจริญของต้นข้าวพันธุ์ Yamahushi ปกติกับต้นข้าวพันธุ์ Yamahushi แปลงพันธุ์ที่ได้รับยีน *rgp1* ซึ่งมีรหัสสังเคราะห์ GTP-binding protein รุ่น  $T_0$  และ  $T_1$  และพบว่าต้นข้าวแปลงพันธุ์รุ่น  $T_0$  มีจำนวนรวงเฉลี่ยมากกว่าต้นข้าวปกติ 3 เท่า และมีความสูงเฉลี่ยน้อยกว่าต้นข้าวปกติ 20 ซม. รวมทั้งการออกดอกเกิดขึ้นเร็วกว่าต้นข้าวปกติ แต่อย่างไรก็ตามพบว่าเมล็ดข้าวแปลงพันธุ์มีลักษณะทางสัณฐานวิทยาไม่แตกต่างจากเมล็ดข้าวปกติ และต้นข้าวแปลงพันธุ์รุ่น  $T_1$  มีจำนวนรวงมากกว่าต้นข้าวปกติ 2.6 เท่า

ผลการศึกษาเซลล์พันธุศาสตร์ของข้าวพันธุ์ กช 6 และชั้ยนาท 1 พบว่าสาร pre-treatment ทั้ง 3 ชนิดซักน้ำเซลล์ปลایரากข้าวให้เข้าสู่ระยะเมตาเฟสได้แตกต่างกัน โดยการ pre-treatment ปล라이รากข้าวด้วย 0.002M 8-hydroxyquinoline เป็นเวลา 2.5 ชม. ณ อุณหภูมิ 28°ช. ซักน้ำให้เซลล์เข้าสู่ระยะเมตาเฟสได้ดีที่สุด ผลการศึกษาจำนวนโครโนไซมของเซลล์ปลัยรากข้าวพันธุ์ กช 6 เปรียบเทียบกับจำนวนโครโนไซมของเซลล์ปลัยรากข้าวพันธุ์ กช 6 แปลงพันธุ์ที่ต้านทานต่อภานามัยชินรุ่น  $T_0$ ,  $T_1$  และ  $T_2$  พบว่ามีจำนวนโครโนไซม  $2n=24$  เท่ากัน ผลการศึกษาจำนวนโครโนไซมของเซลล์ปลัยรากข้าวพันธุ์ชั้ยนาท 1 เปรียบเทียบกับจำนวนโครโนไซมของเซลล์ปลัยรากข้าวพันธุ์ชั้ยนาท 1 แปลงพันธุ์ที่ต้านทานต่อภานามัยชินรุ่น  $T_1$  พบว่ามีจำนวนโครโนไซม  $2n=24$  เท่ากัน ดังนั้น การส่งถ่ายยีนเข้าสู่ข้าวพันธุ์ กช 6 โดย *A. tumefaciens* EHA105(pCAMBIA1301) และการส่งถ่ายยีนเข้าสู่ข้าวพันธุ์ชั้ยนาท 1 โดย *A. tumefaciens* LBA4404(pBI121) ไม่ทำให้จำนวนโครโนไซมของข้าวเปลี่ยนแปลง ผลการทดลองครั้งนี้ สอดคล้องกับรายงานของ Azhankanandam et al.(2000) ซึ่งศึกษาการส่งถ่ายยีนเข้าสู่แคลลัสข้าวพันธุ์ Pusa Basmati 1, Taipei309 และ Tiwana โดย *A. tumefaciens* และสามารถซักน้ำแคลลัสให้เจริญเป็นต้นข้าวแปลงพันธุ์ที่มีลักษณะทางสัณฐานวิทยาเช่นเดียวกับต้นข้าวปกติได้ และการศึกษาจำนวนโครโนไซมของเซลล์ปลัยรากข้าวแปลงพันธุ์พบว่ามีจำนวนโครโนไซม เท่ากับข้าวปกติคือ  $2n=24$

## เอกสารอ้างอิง

- กรมวิชาการเกษตร. 2546. ข้อมูลเรื่องข้าว. <http://www.disc.doa.go.th>. 15 เมษายน 2547.
- ประภา ศรีพิจิตต์. 2532. การซักนำให้เกิดยอดจำนวนมากจากการเพาะเลี้ยงเมล็ดข้าวหอมในสภาพปลดเชื้อ. วารสารเกษตรศาสตร์. 23: 324-330.
- ประภา ศรีพิจิตต์ และ พรหิพย์ ชีวะเศรษฐธรรม. 2537. การพัฒนาไปเป็นต้นของแคลลัสที่เจริญมาจากพวงของข้าวหอม (*Oryza sativa L.*) พันธุ์ข้าวดอกมะลิ 105. วารสารเกษตรศาสตร์. 28: 27-37.
- ประภา ศรีพิจิตต์, อรอนงค์ นัยวิกุล และ วิทยา แสงแก้วสุข. 2537. การปรับปรุงข้าวหอม (*Oryza sativa L.*) พันธุ์ข้าวดอกมะลิ 105 โดยซักนำให้คัพพะสร้างยอดจำนวนมากร่วมกับรังสีแกมมา. วารสารเกษตรศาสตร์. 28: 180-192.
- ประดิษฐ์ พงษ์ทองคำ, รัตนา เลิศวิชัย, สมศักดิ์ อภิสิทธิวนิช, สุรินทร์ ปิยะโชคณากุล, กาญจน์ กล้าแห้ง, ประภา ศรีพิจิตต์, ณรงค์ ลิงห์บุรุษอุดม, สุพจน์ เพื่องฟูงค์ และพิรศักดิ์ ศรีนิเวศน์. 2538. การเพาะเลี้ยงอันเกสรของข้าวลูกผสม (ข้าวดอกมะลิ 105/สไคบอนเนท). วารสารเกษตรศาสตร์. 29: 158-166.
- ทศพร พิพัฒน์ภานุกุล. 2541. การศึกษาเบื้องต้นในการส่งถ่ายยืนสู่ข้าวพันธุ์ กข 6 โดย *A. tumefaciens*. วิทยานิพนธ์ปริญญาวิทยาศาสตรมหาบัณฑิต สาขาวิชาชีววิทยา บัณฑิตวิทยาลัย มหาวิทยาลัยขอนแก่น
- ระรื่น บุญดวง และ สมพล อุชชิน. 2533. เอกสารแนะนำข้าวและอัญพืชเมืองหนาว. งานเอกสารวิชาการฝ่ายอบรม สถาบันวิจัยข้าว. กรุงเทพฯ
- สำลี บุญวัฒนา. 2537. พันธุ์ข้าว กข ของไทย. ฝ่ายฝึกอบรม สถาบันวิจัยข้าว, กรุงเทพฯ.
- สุรินทร์ ปิยะโชคณากุล, ประดิษฐ์ พงศ์ทองคำ, แพdim ระติสุนทร, เสาวนีย์ สุพุทธิada, เลิศลักษณ์ เงินศิริ และ พรรณณี รอดแรงบุญ. 2537. การเพาะเลี้ยงข้าวพันธุ์ข้าว-ดอกมะลิ 105 ในสภาพปลดเชื้อ. วารสารเกษตรศาสตร์. 28: 92-98.
- สุวนิชพย์ บุนนาค. 2541. การส่งถ่ายยืนในพืชชั้นสูง. ภาควิชาชีววิทยา คณะวิทยาศาสตร์ มหาวิทยาลัยขอนแก่น. ขอนแก่น.
- Afza, R., Shen, M., Zapata-Arias, F. J., Xie, J., Fundi, H. K., Lee, K.-S., Bobadilla-Mucino, E., and Kodym, A. 2000. Effect of spikelet position on rice anther culture efficiency. *Plant Science*. 153: 155-159.
- Aldemita, R. R., and Hodge, T. K. 1996. Agrobacterium-mediated transformation of japonica and indica rice varieties. *Planta*. 199: 612-617.

- Alfonso-Rubi, J., Carbonero, P., and Diaz, I. 1999. Parameters influencing the regeneration capacity of calluses derived from mature indica and tile japonica rice seeds after microprojectile bombardment. *Euphytica.* 107: 115-122.
- Alt-Morbe, J., Kuhlmann, H., and Schroder, J. 1989. Differences in induction of Ti plasmid virulence gene *virG* and *virD* and continued control of *virD* expression by four external factors. *Molecular Plant-Microbe Interactions.* 2: 301-308.
- Ansari, A., and Gartenberg, and M. R. 1999. Persistence of an alternate chromatin structure at silenced loci *in vitro*. *Proceedings of the National Academy of Sciences of the United States of America.* 96: 343-348.
- Ayres, N. M., and Park, W. D. Genetic transformation of rice. 1994. *Critical Review in Plant Science.* 13: 219-239.
- Azhakanandam, K., Mc Cabe, M. S., Power, J. B., Lowe, K. C., Cocking, E. C., and Davey, M. R. 2000. T-DNA transfer, integration, expression and inheritance in rice: effect of plant genotype and *Agrobacterium* super-virulence. *Journal of Plant Physiology.* 157: 429-439.
- Bako, L., Umeda, M., Tiburcio, A. F., Schell, J., and Koncz, C. 2003. The VirD2 pilot protein of *Agrobacterium*-transferred DNA interacts with the TATA box-binding protein and a nuclear protein kinase in plants. *Proceedings of the National Academy of Sciences of the United States of America.* 100: 10108-10113.
- Barker, R., Idler K., Thomson, D., and Kemp, J. 1983. Nucleotide sequence of the T-DNA region of the *Agrobacterium tumefaciens* octopine Ti plasmid pTi 15955. *Plant Molecular Biology.* 2: 335-350.
- Barrett, C., and Cassells, A. C. 1994. An evaluation of antibiotics for the elimination of *Xanthomonas campestris* pv. *Pelargonii* (Brown) from *Pelargonium domesticum* cv. "Grand Slam" explant *in vitro*. *Plant Cell Tissue and Organ Culture.* 36: 169-175.
- Baruah-Wolff, J., Harwood, W. A., and Lonadale, D. A. 1999. Luciferase as a reporter gene for transformation studies in rice (*Oryza sativa* L.). *Plant Cell Reports.* 18: 715-720.
- Bhaskaran, S., and Smith, R. H.. 1990. Regeneration in cereal tissue culture, a review. *Crop Sciences.* 30: 1328-1336.

- Bidney, D., Sacelunge, C., Martich, J., Burrus, M., Sims, L., and Huffman, G. 1992. Microprojectile bombardment of plant tissues increase transformation frequency by *Agrobacterium tumefaciens*. *Plant Molecular Biology*. 18: 301-313.
- Bishnoi, U., Jain, R. K., Rohilla, J. S., Chowdhury, V. K., Gupta, K. R., and Chowdhury, J. B. 2000. Anther culture of recalcitrant indica×Basmati rice hybrids. *Euphytica*. 114: 93-101.
- Biswas, G. C. G. 1994. Transgenic indica rice (*Oryza sativa* L.) plants obtained by direct gene transfer to protoplasts. *Journal of Biotechnology*. 32: 1-10.
- Biswas, G. C. G., Chen, D.-F., and Elliott, M. 1998. A routine system for generation of transgenic rice (*Oryza sativa* L.) plants by microprojectile bombardment of embryogenic cell clusters. *Plant Science*. 133: 203-210.
- Bradshaw, H. D., and Stettler, R. F. 1994. Molecular genetic of growth and development in *Populus*. 2. Segregation distortion due to genetic load. *Theoretical and Applied Genetics*. 89: 551-558.
- Braun, A. C. 1958. A physiologycal basis for autonomous growth of crown gall tumor cell. *Proceedings of the National Academy of Sciences of the United States of America*. 44: 344-349.
- Breitler, J.-C., Labeyrie, A., Meynard, D., and Legavre, T. 2002. Efficient microprojectile bombardment-mediated transformation of rice using gene cassettes. *Theoretical and Applied Genetics*. 104: 709-719.
- Brunaud, V., Balzergue, S., Dubreucq, B., Aubourg, S., Samson, F., Chauvin,S., Bechtold, N., Cruaud, C., DeRose,R., Pelletier, G., Lepiniec, L., Caboche, M., and Lecharny, A. 2002. T-DNA integration into the *Arabidopsis* genome depends on sequences of pre-insertion sites. *EMBO Reports*. 3: 1152-1157.
- Buchanan-Wollaston, V., Passatore, J. E., and Cannon, F. 1987. The *mob* and *oriT* mobilization functions of a bacterial plasmid promote its transfer to plants. *Nature*. 328: 172-175.
- Canglossi, G. A., Martinett, G., Leigh, J. A., Lee, C. C., Theines, C., and Nester, E. W. 1989. Role of *Agrobacterium tumefaciens* *ChvA* protein in export of  $\beta$ -1,2 glucan. *Journal of Bacteriology*. 171: 1609-1615.
- Chan, M. T., Lee, T. M., and Chang, H. H. 1992. Transformation of indica rice (*Oryza sativa* L.) mediated by *Agrobacterium tumefaciens*. *Plant Cell Physiology*. 33: 577-583.

- Chan, M. T., Chang, H. H., Ho., S.L., Tong, W. F., and Yu, S. M. 1993. *Agrobacterium*-mediated production of transgenic rice plants expressing a chimeric alpha-amylase promotor/beta-glucuronidase gene. **Plant Molecular Biology.** 22: 491-506.
- Chaudhury, A., Maheshwari, S. C., and Tyagi, A. K. 1995. Transient expression of *gus* gene in intact seed embryos of indica rice after electroporation-mediated gene delivery. **Plant Cell Reports.** 14: 215-220.
- Chen, W. P., Gu, X., Liang, G. H., and Muthukrishnan, S. 1998. Introduction and constitutive expression of rice chitinase gene in bread wheat using biolistic bombardment and the bar gene as a selectable marker. **Theoretical and Applied Genetics.** 97: 1296-1306
- Cheng, Z.-M., Schnurr, J. A., and Kapaun, J. A. 1998. Timentin as an alternative antibiotic for suppression of *Agrobacterium tumefaciens* in genetic transformation. **Plant Cell Reports.** 17: 646-649.
- Chia, T., Chan, Y., and Chua, N. 1994. The firefly luciferase gene as a non-invasive reporter for *Dendrobium* transformation. **Plant Journal.** 6: 441-446.
- Chilton, M. D., Drummond, M. H., Mrelo, D. J., Montoya, A. L., Gordon, M. P., and Nester, E. W. 1997. Stable incorporation of plasmid DNA into higher plant cells: the molecular basis of crown gall and tumorigenesis. **Cell.** 11: 263-271.
- Cho, M. J., Jiang, W., and Lemieux, P. G. 1998. Transformation of recalcitrant barley cultivars through improvement of regenerability and decreased albinism. **Plant Science.** 138: 229-244.
- Christensen, A. H., Sharrock, R. A., and Quail, P. H. 1992. Maize polyubiquitin gene: structure, thermal perturbation of expression and transcript splicing, and promotor activity following transfer to protoplasts by electroporation. **Plant Molecular Biology.** 18: 675-689.
- Christou, P., Swain, W. F., Yang, N.-S., and McCabe, D. E. 1989. Inheritance and expression of foreign genes in transgenic soybean plants. **Proceedings of the National Academy of Sciences of the United States of America.** 86: 1991-1995.
- Chuenboonngarm, N., Charoontote, S., and Bhamaraprabhat, S. 2001. Effect of BA and 2iP on shoot proliferation and somaclonal variation of *Gardenia jasminoides* Ellii *in vitro* culture. **Science Asia.** 27:137-141

- Citovsky, V., De Vos, G., and Zambryski, P. 1988. Single-stranded DNA binding protein encoded by the *virE* locus of *Agrobacterium tumefaciens*. *Science.* 240: 501-504.
- Clontech Laboratories. *Clontech 94/95.* USA.: n.p., 1994.
- Cornejo, M.J., Luth, D., Blankenship, K.M., Anderson, O.D., and Blechl, A.E. 1993. Activity of a maize ubiquitin promotor in transgenic rice. *Plant Molecular Biology.* 23: 567-581.
- Dai, S., Carcamo, R., Zhang, Z., and Chen, S. 2001. The bacterial cytosine deaminase gene used as a conditional negative selection marker in transgenic rice plants. *Plant Cell Reports.* 20: 738-743.
- Dale, E. C., and Ow, D. W. 1991. Gene transfer with subsequent removal of the selection gene from the host genome. *Proceedings of the National Academy of Sciences of the United States of America.* 88: 10558-10562.
- Datta, S. K., Datta, K., Soltanifar, N., Donn, G., and Potrykus, I. 1992(a). Herbicide-resistance indica rice plants from IRRI breeding line IR72 after PEG-mediated transformation of protoplasts. *Plant Molecular Biology.* 20: 619-629.
- Datta, K., Potrykus, I., and Datta, S. K. 1992(b). Efficient fertile plant regeneration from protoplasts of indica rice breeding line IR72 (*Oryza sativa* L.). *Plant Cell Reports.* 11: 229-233.
- Datta, K., Koukolikova-Nicola, Z., and Baisakh, N. 2000. *Agrobacterium*-mediated engineering for sheath blight resistance of indica rice cultivars from different ecosystem. *Theoretical and Applied Genetics.* 100: 822-839.
- Davey, M. R., Curtis, I. S., Gartland, K. M. A., and Power, J. B. 1994. *Plant galls.* Michele A.J. Williams(Ed.). Systematic Association Special Volume No. 49. Clarendon Press, Oxford.
- Davinder, S., Minocha, J. L., and Singh, D. 1993. Efficiency of different explants and media for callus induction and plant regeneration in Basmati rice. *Crop Improvement.* 20: 139-142.
- Dekeyser, R., Claes, B., Marichal, M., Montagu, M. V., and Caplan, A. 1989. Evaluation of selectable marker for rice transformation. *Plant Physiology.* 90: 217-223.
- Delbarre, A., Muller, P., Imhoff, V., and Guern, J. 1996. Comparison of mechanism controlling uptake and accumulation of 2,4-D, naphthalene-1-acetic acid, and

- indole-3-acetic acid in suspension-cultured tobacco cells. *Planta.* 198: 532-541.
- Deng, W., Chen, L., Wood, D. W., Metcalfe, T., Liang, X., Gordon, M. P., Comai, L., and Nester, E. W. 1998. *Agrobacterium VirD2* protein interacts with plant host cyclophilins. *Proceedings of the National Academy of Sciences of the United States of America.* 95: 7040-7045.
- Dillen, W., DeClercq, J., Kapila, J., Zambre, M., Van Montagu, M., and Angenon, G. 1997. The effect of temperature on *Agrobacterium tumefaciens*-mediated gene transfer to plants. *Plant Journal.* 12: 1459-1463.
- Ditt, R. F., Nester, E. W., and Comai, L. 2001. Plant gene expression response to *Agrobacterium tumefaciens*. *Proceedings of the National Academy of Sciences of the United States of America.* 98: 10954-10959.
- Dodds, J. H., and Robert, L. W. 1981. Some inhibitory effects of gentamycin on plant tissue culture. *In Vitro.* 17: 467-470.
- Dong, J., Teng, W., Buchholz, W. G., and Hall, T. C. 1996. *Agrobacterium*-mediated transformation of javanica rice. *Molecular Breeding.* 2: 267-276.
- Douglas, C. J., Staneloni, R. J., Rubin, R. A., and Nester, E. W. 1985. Identification and genetic analysis of an *Agrobacterium tumefaciens* chromosomal virulence region. *Journal of Bacteriology.* 161: 850-860.
- Ebinuma, H., Sugita, K., Matsunaga, E., and Endo, S. 2001. Systems for the removal of a selectable marker and their combination with a positive marker. *Plant Cell Reports.* 20: 383-392.
- Endo, S., Sugita, K., Sakai, M., Tanaka, H., and Ebinuma, H. 2002. Single-step transformation for generating marker-free transgenic rice using the *ipt*-type MAT vector system. *Plant Journal.* 30: 115-122.
- Enriquez-Obregon, G. A., Prieto-Samsonov, D. L., de la Riva, G. A., Perez, M., Selman-Housein, G., and Vazquez-Padron, R. I. 1999. *Agrobacterium*-mediated japonica rice transformation: a procedure assisted by an antinecrotic treatment. *Plant Cell Tissue and Organ Culture.* 59: 159-168.
- Frame, B. R., Shou, H., Chikwamba, R. K., Zhang, Z., and Xiang, C. 2002. *Agrobacterium tumefaciens*-mediated transformation of maize embryos using a standard binary vector system. *Plant Physiology.* 129: 13-22.

- Ghorbel, R., and Juarez, J. 1999. Green fluorescent protein as a screenable marker to increase the efficiency of generating transgenic woody fruit plants. **Theoretical and Applied Genetics.** 99: 350-358.
- Godwin, I., Todd, G., Ford-Lloyd, B., and Newbury, H. J. 1991. The effect of acetosyringone and pH on *Agrobacterium*-mediated transformation vary according to plant species. **Plant Cell Reports.** 9: 671-675.
- Gould, J., Devey, M., Hasegawa, O., and Ulian, E. C., Peterson, G., and Smith, R. H. 1991. Transformation of *Zea mays* L. using *Agrobacterium tumefaciens* and the shoot apex. **Plant Physiology.** 65: 426-434.
- Gupta, H. S., and Pattanayak, A. 1993. Plant regeneration from mesophyll protoplasts of rice (*Oryza sativa* L.). **Bio/Technology.** 11: 90-94.
- Hauptmann, R. M., Vasil, V., Ozias-Akin, P., Tabaeizadeh, Z., Rogers, G., Fraley, R. T., Horch, R. B., and Vasil, I. K. 1988. Evaluation of selectable markers for obtaining stable transformants in the Gramineae. **Plant Physiology.** 86: 602-606.
- Havey, A., Moisan, L., Lindup, S., and Lonsdale, D. 1999. Wheat regenerated from scutellum callus as a source of material for transformation. **Plant Cell Tissue and Organ Culture.** 57: 153-156.
- Hayashimoto, A., Li, Z., and Murai, N. 1990. A polyethylene glycol-mediated protoplast transformation system for production of fertile transgenic rice plants. **Plant Physiology.** 93: 857-863.
- Hernalsteens, J.-P., Thai-tong, L., Schell, J., and Van Montagu, M. 1984. An *Agrobacterium* transformed cell culture from the monocot *Asparagus officinalis*. **EMBO Journal.** 3: 3039-3041.
- Herrera-Estrella, L. 1999. Transgenic plants for tropical regions: some considerations about their development and their transfer to the small farmer. **Proceedings of the National Academy of Sciences of the United States of America.** 96: 5978-5981.
- Hiei, Y., Ohta, S., Komari, T., and Kumashiro, T. 1994. Efficiency transformation of rice (*Oryza sativa* L.) mediated by *Agrobacterium* and sequence analysis of the boundaries of T-DNA. 1994. **Plant Journal.** 6: 271-282.
- Higo, K., and Higo, H. 1996. Cloning and characterization of the rice *cat A* catalase gene, a homologue of the maize *cat3* gene. **Plant Molecular Biology.** 30: 505-521.

- Hoa, T. T. C., Al-Babili, S., Schaub, P., Potrykus, I., and Beyer, P. 2003. Golden indica and japonica rice lines amenable to deregulation. **Plant Physiology.** 133: 161-169.
- Holm, P. B., Knudsen, S., Mouritzen, P., Negri, P., Olsen, F. L., Roue, C. 1994. Regeneration of fertile barley plant from mechanically isolated protoplasts of the fertilized egg cell. **Plant Cell.** 6: 531-543.
- Hooykaas, P. J. J. 1989. Transformation of plant cells via *Agrobacterium*. **Plant Molecular Biology.** 13: 327-336.
- Hooykaas, P. J. J., and Schilperoot, R. A. 1992. *Agrobacterium* and plant genetic engineering. **Plant Molecular Biology.** 19: 15-38.
- Hooykaas-Van Slooteren, G. M. S., Hooykaas, P. J. J., and Schilperoot, R. A. 1984. Expression of Ti plasmid gene in monocotyledonous plant infected with *Agrobacterium tumefaciens*. **Nature.** 311: 763-764.
- Hoshida, H., Tanaka, Y., Hibino, T., Hayashi, Y., Tanaka, A., Takabe, A., and Takabe, T. 2000. Enhanced tolerance to salt stressed in transgenic rice that overexpresses chloroplast glutamine synthetase. **Plant Molecular Biology.** 43: 103-111.
- Hossain, B., Hirata, N., Nagatomo, Y., Akashi, R., and Takaki, H. 1997. Internal zinc accumulation is correlated with increased growth in rice suspension culture. **Journal of Plant Growth Regulation.** 16: 239-243.
- Howard, E., Zupan, J., Citovsky, V., and Zambriskiy, P. 1992. The VirD2 protein of *A. tumefaciens* contains a C-terminal bipartite nuclear localization signal: implications for nuclear uptake of DNA in plant cells. **Cell.** 68: 109-118.
- Horvath, H., Rostocks, N., Brueggeman, R., Steffenson, B., and von Wettstein, D. 2003. Genetically engineered stem rust resistance in barley using the *Rpg1* gene. **Proceedings of the National Academy of Sciences of the United States of America.** 100: 364-369.
- Hu, C. Y., Chee, P. P., Chesney, R. H., Zhou, J. H., Miller, P. D., and O'Brien, W. T. 1990. Intrinsic GUS-like activities in seed plants. **Plant Cell Reports.** 9: 1-5.
- Hwang, Y.-S., Nichol, S., Nandi, S., and Jernstedt, J. A. 2001. Aleurone-and embryo-specific expression of the beta-glucuronidase gene controlled by the barley *Chi26* and *Ltp1* promotors in transgenic rice. **Plant Cell Reports.** 20: 647-654.

- Hwang, Y.-S., Yang, D., and McCullar, C. 2002. Analysis of the rice endosperm-specific globulin promotor in transformed rice cells. **Plant Cell Reports.** 20: 842-847.
- Iglesias, V., Moscone, E., Papp, I., Neuhuber, F., and Michalowski, S. 1997. Molecular and cytogenetic analyses of stable and unstably expressed transgene loci in tobacco. **Plant Cell.** 9: 1251-1264.
- Ingram, H. M., Power, J. B., Lowe, K. C., and Davey, M. R. 1999. Optimisation of procedures for microprojectile bombardment of microspore-derived embryo in wheat. **Plant Cell Tissue and Organ Culture.** 57: 207-210.
- Iyer, L. M., Kumpatla, S. P., Chandrasekharan, M. B., and Hall, T. C. 2000. Transgene silencing in monocots. **Plant Molecular Biology.** 43: 323-346.
- Jahne, A., and Lorz, H. 1995. Cereal microspore culture. **Plant Science.** 109: 1-12.
- Jain, R. K., Jain, S., and Wu, R. 1996. Stimulatory effect of water stress on plant regeneration in aromatic indica rice varieties. **Plant Cell Reports.** 15: 449-454.
- James, D. J., Uratsu, S., Cheng, J., Negri, P., Viss, P., and Dandekar, A. M. 1993. Acetosyringone and osmoprotectants betain-like or proline synergistically enhance *Agrobacterium*-mediated transformation of apple. **Plant Cell Reports.** 12: 559-563.
- Jefferson, R. A., Burgess, S. M., and Hirsh, D. 1986.  $\beta$ -Glucuronidase from *Escherichia coli* as a gene-fusion marker. **Proceedings of the National Academy of Sciences of the United States of America.** 83: 8447-8451.
- Jefferson, R. A., Kavanagh, T. A., and Bevan, M. W. 1987. Gus fusion:  $\beta$ -glucuronidase as a sensitive and versatile gene marker in higher plants. **EMBO Journal.** 6: 3901-3907.
- Jin, S., Roitsch, T., Christie, P. J., and Nester, W. 1990. The regulation VirG protein specifically binds to a *cis*-acting regulatory sequence involved in transcriptional activation of *Agrobacterium tumefaciens* virulence genes. **Journal of Bacteriology.** 172: 531-537.
- Jin, W.-W., Li, Z.-Y., Fang, Q., Altosaar, I., Liu, L.-H., and Song, Y.-C. 2002. Fluorescence *in situ* hybridization analysis of alien genes in *Agrobacterium* mediated *cryA(b)*-transformed rice. **Annals of Botany.** 90: 31-36.

- Jose Pons, M., Marfa, V., Mele, E., and Messeguer, J. 2000. Regeneration and transformation of Spanish rice cultivars using mature embryos. *Euphytica.* 114: 117-122.
- Kranz, E., von Wiegen, P., and Lorz, H. 1995. Early cytological events after induction of cell division in egg cells and zygote development following in vitro fertilization with angiosperm gametes. *Plant Journal.* 8:9-23.
- Ke, J., Khan, R., and Johnson, T. 2001. High-efficiency gene transfer to recalcitrant plants by *Agrobacterium tumefaciens*. *Plant Cell Reports.* 20: 150-156.
- Kisaka, H., Sano, H., and Kameya, T. 1998. Characterization of transgenic rice plants that express rpg1, the gene for a small GTP-binding protein from rice. *Theoretical Applied Genetics.* 97: 810-815.
- Komamine, A., Kawahara, R., Matsumoto, M., Sunabori, S., Toya, T., Fujiwara, A., Tsukahara, M., Smith, J., Ito, M., Fukuda, H., Nomura, K., and Fujimura, T. 1992. Mechanisms of somatic embryogenesis in cell cultures: physiology, biochemistry, and molecular biology. *In Vitro Cellular & Developmental Biology.* 28: 11-14.
- Komari, T., Hiei, Y., Saito, Y., Murai, N., and Kumashiro, T. 1996. Vectors carrying two separate T-DNAs for co-transformation of higher plants mediated by *Agrobacterium tumefaciens* and segregation of transformants free from selection markers. *Plant Journal.* 10: 165-174.
- Kucherenko, L. A. 1993. Callusogenesis, yield and characteristics of rice plants regenerants in tissue culture as related to hormonal composition of inducting media. *Soviet Agricultural Science.* 4: 1-5.
- Kunanuvatchaidach, R., Godwin, I. D., and Adkins, S. W. 1995. High efficiency plant regeneration form callus induced on mature indica rice caryopses. *Australian Journal of Botany.* 43: 337-348.
- Lee, S.-H., Shon, Y. G., Kim, C. Y., Chun, H. J., Cheong, Y. H., Kim, Z. H., Choe, Z. R., Choi, Y. J., and Cho, M. J. 1999. Variations in the morphology of rice plants regenerated from protoplasts using different culture procedure. *Plant Cell Tissue and Organ Culture.* 57: 179-187.
- Leifert, C., Waites, W. M., and Nicholas, J. R. 1989. Bacterial contamination of micropropagation plant cultures. *Journal of Applied Bacteriology.* 67: 353-361.

- Leifert, C., Waites, B., Keetley, J. W., Wright, S. M., Nicholas, J. R., and Waites, W. M. 1994. Effect of medium acidification on filamentous fungi, yeasts and bacterial contaminations in *Delphinium* tissue cultures. **Plant Cell Tissue and Organ Culture.** 36: 149-155.
- Lentini, Z., Reyes, P., Martinez, C. P., and Roca, W. M. 1995. Androgenesis of highly recalcitrant rice genotypes with maltose and silver nitrate. **Plant Science.** 110: 127-138.
- Lewin, B. 1990. **Gene IV.** Oxford University Press, Oxford.
- Li, X. Q., Liu, C. N., Ritchie, S. W., Peng, J. Y., Gelvin, S. B., and Hodges, T. K. 1992. Factor influencing *Agrobacterium*-mediated transient expression of *gusA* in rice. **Plant Molecular Biology.** 20: 1037-1048.
- Li, H., Machii, H., Hagio, T., Takezaki, A., and Hirabayashi, T. 1999. Plant regeneration from protoplasts of *Triticum aestivum* L. cv. Nakasoushu. **Plant Cell Tissue and Organ Culture.** 58: 119-125.
- Libiakova, G., Jorgensen, B., and Palmgren, G. 2001. Efficacy of an intron-containing kanamycin resistance gene as a selectable marker in plant transformation. **Plant Cell Reports.** 20: 610-615.
- Lin, J.-J., Assad-Garcia, N., and Kuo, J. 1995. Plant hormone effect of antibiotics on the transformation efficiency of plant tissues by *Agrobacterium tumefaciens* cells. **Plant Science.** 109: 171-177.
- Liu, C. N., Li, X. Q., and Gelvin, S. B. 1992. Multiple copies of virG enhance the transient transformation of celery, carrot and rice tissue by *Agrobacterium tumefaciens*. **Plant Molecular Biology.** 20: 1071-1087.
- Lucca, R., Hurrell, R., and Potrykus, I. 2001. Genetic engineering approaches to improve the bioavailability and the level of iron in rice grain. **Theoretical and Applied Genetics.** 102: 392-397.
- Lutts, S., Kinet, J. M., and Bouharmont, J. 1999. Improvement of rice callus regeneration in the presence of NaCl. **Plant Cell Tissue and Organ Culture.** 57: 3-11.
- Lyznik, A. L., Ryan, R. D., Ritchie, S. W., and Hodges, K. 1989. Stable co-transformation of maize protoplast with *gusA* neo genes. **Plant Molecular Biology.** 13: 151-161.

- Maddaloni, M., Forlani, F., Balmas, V., Donini, G., Stasse, L., Corazza, L., and Motto, M. 1997. Tolerance to the fungal pathogen *Rhizoctonia solani* AG4 of transgenic tobacco expressing the maize ribosome-inactivating protein b-32. *Transgenic Research.* 6: 393-402.
- Maeda, E. 1980. Organogenesis and cell culture in rice plants under sterile condition (part I). *Japan Association for Quaternary Research.* 14: 4-8.
- Mandal, A., Lang, V., and Palva, E. T. 1993. Improved efficiency for T-DNA-mediated transformation and plasmid rescue in *Arabidopsis thaliana*. *Theoretical and Applied Genetics.* 86: 621-628.
- Mandal, A., Sandgren, M., and Palva, E. T. 1994. Inhibition of cytosine methylation allows efficient cloning of T-DNA tagged plant DNA of *Arabidopsis thaliana* by plasmid rescue. *In Vitro Cellular & Developmental Biology.* 30: 204-209.
- Mandal, N., and Gupta, S. 1995. Effect of genotype and culture medium on androgenic callus formation and green plant regeneration in indica rice. *Indian Journal of Experiment Biology.* 33: 761-765.
- Marassi, M. A., Bovo, O. A., Scoccihi, A., and Mroginski, L. A. 1996. Cytokinins in the callus induction medium for plant regeneration of rice (*Oryza sativa* L. ssp. indica) var. Basmati 370. *Phyton Buenos Aires.* 59: 155-160.
- Mayerhofer, R., Koncz-Kalman, Z., Nawrath, C., Bakkeren, G., Cramer, A., Angelis, K., Redel, G. P., Schell, J., Hohn, B., and Koncz, C. 1991. T-DNA integration: a mode of illegitimate recombination in plants. *EMBO Journal.* 10: 697-704.
- McCormac, A. C., Wu, H., Bao, M., Wang, Y., Xu, R., Elliot, M. C., and Chen, D.-F. 1998. The use of visual marker gene as a cell-specific reporter of *Agrobacterium*-mediated T-DNA delivery to wheat (*Triticum aestivum* L.) and barley (*Hordeum vulgaris* L.). *Euphytica.* 99: 17-25.
- Mitsuoka, K., Honda, H., Xing, X. H., and Unno, H. 1994. Effect of intracellular 2,4-D concentration on plantlet regeneration of rice (*Oryza sativa* L.) callus. *Applied Microbiology and Biotechnology.* 42: 364-366.
- Mohanty, A., Sarma, N. P., and Tyagi, A. K. 1999. *Agrobacterium*-mediated high frequency transformation of an elite indica rice variety Pusa Basmati 1 and transmission of the transgenes to R2 progeny. *Plant Science.* 147: 127-137.

- Morita, M., Xing, X. H., and Unno, H. 1999. Synchronized shoot regeneration of rice (*Oryza sativa L.*) calli on solid medium by adjustment of intracellular 2,4-dichlorophenoxyacetic acid concentration. *Plant Cell Reports.* 18: 633-639.
- Nandadeva, Y. L., Lupi, C. G., and Meyer, C. 1999. Microprojectile-mediated transient and integrative transformation of rice embryogenic suspension cells: effect of osmotic cell conditioning and of the physical configuration of plasmid DNA. *Plant Cell Reports.* 18: 500-504.
- Narashihulu, S. B., Deng, X. B., Sarria, R., and Gelvin, S. B. 1996. Early transcription of *Agrobacterium* T-DNA genes in tobacco and maize. *The Plant Cell.* 8: 873-886.
- Nauerby, B., Billing, K., and Wyndaele, R. 1997. Influence of the antibiotic timentin on plant regeneration compared to carbenicillin and cefotaxime in concentrations suitable for elimination of *Agrobacterium tumefaciens*. *Plant Science Limerick.* 123: 169-177.
- Negrotto, D., Jolley, M., Beer, S., Wenck, A. R. 2000. The use of phosphomannose-isomerase as a selectable marker to recover transgenic maize plants (*Zea mays L.*) via *Agrobacterium* transformation. *Plant Cell Reports.* 19: 798-803.
- Nisch, J. P., and Nisch, C. 1969. Haploid plants from pollen grain. *Science.* 163: 85-87.
- Nishizawa, Y., Nishio, Z., Nakazono, K., Soma, M., Nakajima, E., Ugaki, M., and Hibi, T. 1999. Enhanced resistance to blast (*Magnaporthe grisea*) in transgenic japonica rice by constitutive expression of rice chitinase. *Theoretical and Applied Genetics.* 99: 383-390.
- Nuutila, A. M., Villiger, C., and Oksman-Caldentey, K. M. 2002. Embryogenesis and regeneration of green plantlets from oat (*Avena sativa L.*) leaf-base segments: influence of nitrogen balance, sugar and auxin. *Plant Cell Reports.* 20: 1156-1161.
- Oinam, G. S., and Kothari, S. L. 1933. Genotypic differences in embryogenic callus formation and plant regeneration in indica rice. *International Rice Research Notes.* 18: 9-10.
- Palmgren, G., Mattson, O., and Okkels, F. T. 1993. Treatment of *Agrobacterium* or leaf disks with 5-azacytidine increases transgene expression in tobacco. *Plant Molecular Biology.* 21: 429-435.

- Pande, H., and Bhojwani, S. S. 1999. Promotion of androgenesis in rice anther cultures by substitution of sucrose with maltose and manitol. **Biologia Plantarum.** 42: 125-128.
- Pandey, S. K., Ramesh, B., and Gupta, P. K. 1994. Study on effect of genotype and culture medium on callus formation and plant regeneration in rice(*Oryza sativa L.*). **Indian Journal of Genetics and Plant Breeding.** 54: 293-299.
- Park, S. H., Pinson, S. M. R., and Smith, R. H. 1996. T-DNA integration into genomic DNA of rice following *A. tumefaciens* inoculation of isolated shoot apices. **Plant Molecular Biology.** 32: 1135-1148.
- Pawloski, P. W., and Somer, D. 1998. Transgenic DNA integrated into the oat genome is frequently interspersed by host DNA. **Proceedings of the National Academy of Sciences of the United States of America.** 95: 12106-12110.
- Pellegrineschi, A., Brito, R. M., and Velazquez, L. 2002. The effect of pre-treatment with mild heat and drought stresses on the explant and biotic transformation frequency of three durum wheat cultivars. **Plant Cell Reports.** 20: 955-960.
- Peng, J., Kononowicz, H., and Hodges, T. K. 1992. Transgenic indica rice plants. **Theoretical and Applied Genetics.** 83: 855-863.
- Peng, J. Y., Wen, F. J., Lister, R. L., and Hodge, T. K. 1995. Inheritance of neo gene in transgenic rice. **Plant Molecular Biology.** 27: 91-104.
- Peralta, E. G., Hellmiss, R., and Ream, W. 1986. Overdrive, a T-DNA transmission enhancer on the *A. tumefaciens* tumor-inducing plasmid. **EMBO Journal.** 5: 1137-1142.
- Pih, K. T., Yoo, J. H., Fosket, D. E., and Han, I. S. 1996. A comparison of the activity of three cauliflower mosaic virus 35S promoters in rice seedlings and tobacco (BY-2) protoplasts by analysis of *gus* reporter gene transient expression. **Plant Science Limerick.** 114: 141-148.
- Ponappa, T., Brzozowski, A. E., and Finer, J. J. 2000. Transient expression and stable transformation of soybean using jellyfish green fluorescent protein (GFP). **Plant Cell Reports.** 19: 6-12.
- Pons, M. J., Marfa, V., Mele, E., and Messeguer, J. 2000. Regeneration and genetic transformation of spanish rice cultivars using mature embryos. **Euphytica.** 114: 117-122.

- Pullman, G. S., Zhang, Y., and Phan, B. H. 2003. Brassinolide improves embryogenic tissue initiation in conifers and rice. *Plant Cell Reports.* 22: 96-104.
- Raineri, D. M., Bottino, P., Gordon, M. P., and Nester, E. W. 1990. *Agrobacterium* mediated transformation of rice (*Oryza sativa L.*). *Biotechnology.* 8: 33-38.
- Raman, R., Chahal, G. S., and Dhalwal, H. S. 1994. Screening of genotype for callus induction and plant regeneration in rice. *Journal of Plant Physiology.* 21: 30-36.
- Ramanathan, V., and Veluthambi, K. 1995. Transfer of non-T-DNA portions of the *Agrobactrium tumefaciens* Ti plasmid pTiA6 from the left terminus of T<sub>L</sub>-DNA. *Plant Molecular Biology.* 28: 1149-1154.
- Ramanathan, V., and Veluthambi, K. 1996. Analysis of octopine left border-directed DNA transfer from *Agrobacterium* to plants. *Journal of Bioscience.* 21: 45-46.
- Rance, I. M., Tian, W., Mathew, H., Kochko, A., Beachy, R. N., and Fauquet, C. 1994. Partial dessication of mature embryo-derived calli, a simple treatment that dramatically enhances the regeneration ability of indica rice. *Plant Cell Reports.* 13: 647-651.
- Rao, K. V. 1995. Transient gene expression in electroporated immature embryo of rice (*Oryza sativa L.*). *Journal of Plant Physiology.* 147: 71-74.
- Rathor, K. S., Chowdhury, V. K., and Hodge, T. K. 1993. Use of bar as a selectable marker gene and for the production of herbicide resistance rice plants from protoplasts. *Plant Molecular Biology.* 21: 871-884.
- Rueb, S., Lenemana, M., Schilperoort, R. A., and Hengsens-Lam. 1994. Efficient plant regeneration through somatic embryogenesis from callus induced on mature rice embryos(*Oryza sativa L.*). *Plant Cell Tissue and Organ Culture.* 32: 259-264.
- Salas, M. G., Park, S. H., Srivatanakul, M., and Smith, R. H. 2001. Temperature influence on stable T-DNA integration in plant cells. *Plant Cell Reports.* 20: 701-705.
- Sahasrabudhe, N. A., Nandi, M., and Bahulikar, R. A. 1999. Influence of boric acid on somatic embryogenesis of a cytophore sterile line of indica rice. *Plant Cell Tissue and Organ Culture.* 58: 73-75.
- Schackelford, N. J., and Chian, C. A. 1996. Identification of antibiotics that are effective in eliminating *Agrobacterium tumefaciens*. *Plant Molecular Biology Report.* 14: 50-57.

- Schafer, W., Gorz, A., and Kahl, G. 1987. T-DNA integration and expression in monocot crop plant after induction of *Agrobacterium*. *Nature*. 327: 529-532.
- Scott, P., and Lyne, R. L. 1994. The effect of different carbohydrate source upon the initiation of embryogenesis from barley microspores. *Plant Cell Tissue and Organ Culture*. 36: 129-133.
- Severin K., and Schoeffl. 1990. Heat-inducible hygromycin-resistance in transgenic tobacco cell culture transformation using *Agrobacterium tumefaciens*. *Plant Molecular Biology*. 15: 827-833.
- Sheng, J., and Citovsky, V. 1996. *Agrobacterium*-plant cell DNA transport: have virulence proteins, will travel. *The Plant Cell*. 8: 1699-1710.
- Shimanoto, K., Terada, R., and Izawa, T. 1989. Fertile transgenic rice plants regenerated from transformed protoplasts. *Nature*. 338: 274-276.
- Skoog, F., and Miller, C. O. 1957. Chemical regulation of growth and organ formation in plant tissue cultured *in vitro*. In **The Biological Action of Growth Substance**. Porter, H.K.(Ed.). 118-131.
- Sporlein, B. 1991. Lipofectin: direct gene transfer to higher plants using cationic liposome. *Theoretical and Applied Genetics*. 83: 1-5.
- Stachel, S. E., Messens, E., Montagu, M. V., and Zambriski, P. 1985. Identification of the single molecules produced by wounded plant cells that activate T-DNA transfer in *Agrobacterium tumefaciens*. *Nature*. 318: 624-629.
- Stahl, R., Horvath, H., Van Fleet, J., Voetz, M., von Wettstein, D., and Wolf, N. 2002. T-DNA integration into the barley genome from single and double cassette vectors. *Proceedings of the National Academy of Sciences of the United States of America*. 99: 2146-2151.
- Stark-Lorenzen, P., Nelke, B., and HanBler, G. 1997. Transfer of a grapevine stilbene gene to rice(*Oryza sativa* L.). *Plant Cell Reports*. 16: 668-673.
- Stewart Jr., C. N. 2001. The utility of green fluorescent protein in transgenic plants. *Plant Cell Reports*. 20: 376-382.
- Su, R. C., Rugert, M. L., and Hodges, T. K. 1992. Fertile indica and japonica rice plants regenerated from embryogenic haploid suspension cultures. *Plant Cell Reports*. 12: 45-49.

- Sun, Z. X., Si, H. M., Zhan, X. Y., Chen, S. H., You, C. B., Chen, Z. L., and Ding, Y. 1992. The effect of thermo-photo period for donor plant growth on anther culture of indica rice. In: **Biotechnology in Agriculture Proceedings of the First Asia-Pacific Conference on Agricultural Biotechnology.** pp. 361-364. Beijing.
- Sun, Z. X., Si, H. M., Chen, S. H., and Zhan, X. Y. 1993. Effect of maltose on efficiency of anther culture of rice. **Chineses Journal of Rice Science.** 7: 227-231.
- Tada, Y., Sakamoto, M., and Fujimura, T. 1990. Efficient gene introduction into rice by electroporation and analysis of transgenic plants: use of lectroporation buffer lacking chloride ions. **Theoretical and Applied Genetics.** 80: 475-480.
- Tang, K., Sun, X., An, D., Power, J. B., Cocking, E. C., and Davey, M. R. 2000. Plant regeneration from protoplasts of a commercial Asian long-grain javanica rice. **Plant Cell Tissue and Organ Culture.** 60: 79-82.
- Tinland, B., Hohn, B., and Puchta, H. 1994. *Agrobacterium tumefaciens* transfer single stranded transferred DNA (T-DNA) into the plant cell nucleus. **Proceedings of the National Academy of Sciences of the United States of America.** 91: 8000-8004.
- Toki, S., Takamatsu, S., Nojiri, C., Ooba, S., Anzai, H., Iwata, M., Christensen, A. H., Quail, P. H., and Uchimiya, H. 1992. Expression of a maize ubiquitin gene promotor-bar chimeric gene in transgenic rice plants. **Plant Physiology.** 100: 1503-1507.
- Tsugawa, H., and Suzuki, M. 2000. A low-temperature method for maintaining plant regeneration activity in embryogenic callus of rice(*Oryza sativa* L.). **Plant Cell Reports.** 19: 371-375.
- Tsugawa, H., Otsuki, Y., and Suzuki, M. 1998. Efficient transformation of rice protoplasts mediated by synthetic polycationic amino polymer. **Theoretical and Applied Genetics.** 97: 1019-1026.
- Tu, J., Datta, K., Khush, G. S., Zhang, Q., and Datta, S. K. 2000. Field performance of Xa21 transgenic indica rice (*Oryza sativa* L.), IR72. **Theoretical and Applied Genetics.** 101: 15-20.
- Umoto, H. S., Croughan, S. S., and Croughan, T. P. 1995. Suspension and protoplast culture of U.S. rice cultivars. **Plant Cell Reports.** 15: 34-37.

- Uze, M., Wunn, J., Puonti-Kaerlas, J., Potrykus, I., and Sautter, C. 1997. Plasmolysis of precultured immature embryos improves *Agrobacterium*-mediated gene transfer to rice (*Oryza sativa L.*). *Plant Science*. 130: 87-95.
- Vain, P., Finer, K. R., Engler, D. E., Pratt, R. C., and Finer, J. J. 1996. Intron mediated enhancement of gene expression in maize (*Zea may*) and bluegrass (*Poa pratensis L.*). *Plant Cell Reports*. 15: 489-494.
- Vain, P., Worland, B., Kohli, A., Snape, J., Christou, P. 2000. The green fluorescent protein (GFP) as a vital screenable marker in rice transformation. *Theoretical and Applied Genetics*. 96: 164-169.
- Van Haaren, M. J. J., Sedee, N. J. A., Schilperoort, R. A., and Hooykaas, P. J. J. 1987. Overdrive is a T-region transfer enhancer which stimulates T-strand production in *Agrobacterium tumefaciens*. *Nucleic Acids Research*. 15: 8983-8997.
- Vasil, I. K. 1994. Molecular improvement of cereals. *Plant Molecular Biology*. 25: 925-937.
- Vijayachandra, K., Palanichelvam, K., and Veluthambi, K. 1995. Rice scutellum induces *Agrobacterium tumefaciens vir* genes and T-strand generation. *Plant Molecular Biology*. 29: 125-133.
- Wang, A. S., Evans, R. A., Altendorf, P. R., Hanten, J. A., Doyle, M. C., and Rosichan, J. L. 2000. A mannose selection system for production of fertile transgenic maize plants from protoplasts. *Plant Cell Reports*. 19: 654-660.
- Ward, E. R., and Barnest, W. M. 1988. VirD2 protein of *Agrobacterium tumefaciens* very tightly linked to the 5' end of T-strand DNA. *Science*. 242: 927-930.
- Wassom, J. J., Mei, C., Rocheford, T. R., and Widholm, J. M. 2001. Interaction of environment and ABA and GA treatments on the maize anther culture response. *Plant Cell Tissue and Organ Culture*. 64: 69-72.
- Wu, C., Fan, Y., Zhang, C., Oliva, N., and Datta, S. K. 1997. Transgenic fertile japonica rice plants expressing a modified *cryIA(b)* gene resistant to yellow stem borer. *Plant Cell Reports*. 17: 129-132.
- Xu, D. P., McElroy, D., Thornburg, R. W., and Wu, R. 1993. Systemic induction of a potato *pin2* promotor by wounding, methyl jasmonate, and abscisic acid in transgenic rice plants. *Plant Molecular Biology*. 22: 573-588.

- Xue, Q. Z., Farle, E. D., and Xue, Q. Z. 1995. Plant regeneration from protoplasts of plasmic male sterile line of rice (*Oryza sativa L.*). **Plant Cell Reports.** 15: 76-81.
- Yang, Y. S., Zheng, Y. D., Chen, Y. L., and Jian, Y. Y. 1999. Improvement of plant regeneration from long-term cultured calluses of Taipei309, a model rice variety in *in vitro* studies. **Plant Cell Tissue and Organ Culture.** 57: 199-206.
- Yara, A., Otani, M., Kusumi, K., Matsuda, O., Shimada, T., and Iba, K. 2001. Production of transgenic japonica rice(*Oryza sativa*) cultivar, Taichung 65, by the *Agrobacterium*-mediated method. **Plant Biotechnology.** 18: 305-310.
- Yokoi, S., Tsuchiya, T., Toriyama, K., and Hinata, K. 1997. Tapetum-specific expression of the *Osg6B* promotor-beta-glucuronidase gene in transgenic rice. **Plant Cell Reports.** 16: 363-367.
- Yuan, H., Ming, X., Wang, L., Hu, P., An, C., and Chen, Z. 2002. Expression of a gene encoding trichosanthin in transgenic rice plants enhances resistance to fungus blast disease. **Plant Cell Reports.** 2002: 992-998.
- Zambryski, P.C. 1992. Chronicles from the *A. tumefaciens*-plant cell DNA story. **Annual Review of Plant Molecular Biology.** 43: 465-490.
- Zapata, F. J., Aldemita, R. R., Ella, E. S., and Cho, M. S. 1990. Isolate microspore culture of rice at the International Rice Reserch Institute. In: **Proceeding of the Second International Rice Genetics Symposium.** pp. 311-319.
- Zhang, S. P., and Zhang, S. P. 1995. Efficiency plant regeneration from indica (group1) rice protoplasts of one advanced breeding line and three varities. **Plant Cell Reports.** 15: 68-71.
- Zhang, L., Hattori, K., and Zhang, L. 1996. Genetic analysis of regeneration ability in rice seed-callus. **Gene & Genetics System.** 71: 313-317.
- Zhang, J., Dong, W. H., Galli, A., and Potrykus, I. 1999. Regeneration of fertile plants from isolated zygotes of rice(*Oryza sativa L.*). **Plant Cell Reports.** 19: 128-132.
- Zheng, M. Y., Weng, Y., Liu, W., and Konzak, C. F. 2002. The effect of ovary-conditioned medium on microspore embryogenesis in common wheat(*Triticum aestivum L.*). **Plant Cell Reports.** 20: 802-807.

- Zhoa, J., Zhou, C, and Yang, H.-Y. 1999. *In vitro* development of early proembryos and plant regeneration via microculture in *Oryza sativa*. **Plant Cell Tissue and Organ Culture.** 55: 167-174.
- Zhoa, J., Zhou, C, and Yang, H.-Y. 2000. Isolation and *in vitro* culture of zygotes and central cells of *Oryza sativa L.*. **Plant Cell Reports.** 19: 321-326.
- Ziemienowicz, A., Tinland, B., Bryant, J., Gloeckler, V., and Hohn, B. 2000. Plant enzymes but not *Agrobacterium* VirD2 mediated T-DNA ligation *in vitro*. **Molecular and Cellular Biology.** 20: 6317-6322.
- Zupan, J.R., and Zambriski, P. 1995. Transfer of T-DNA from *Agrobacterium* to the plant cell. **Plant Physiology.** 107: 1041-1047.

## **ภาคผนวก**

ภาคผนวก ก  
การเตรียมสารเคมี

**สูตรอาหาร N<sub>6</sub> (Nisch and Nisch, 1969)**

สารประกอบ	Final concentration (มก./ล.)
KNO <sub>3</sub>	950
NH <sub>4</sub> NO <sub>3</sub>	720
MgSO <sub>4</sub> .7H <sub>2</sub> O	185
CaCl <sub>2</sub> .2H <sub>2</sub> O	166
KH <sub>2</sub> PO <sub>4</sub>	68
MnSO <sub>4</sub> .4H <sub>2</sub> O	25
H <sub>3</sub> BO <sub>3</sub>	10
ZnSO <sub>4</sub> .7H <sub>2</sub> O	10
Na <sub>2</sub> MoO <sub>4</sub> .2H <sub>2</sub> O	0.25
CuSO <sub>4</sub> .5H <sub>2</sub> O	0.025
FeSO <sub>4</sub> .7H <sub>2</sub> O	27.8
Na <sub>2</sub> EDTA.2H <sub>2</sub> O	37.3
Inositol	100
Nicotinic acid	5.0
Thiamin.HCl	0.5
Pyridoxin.HCl	0.5
Glycine	5.0
Biotin	0.05
Sucrose	20000
Agar	8000

สารควบคุมการเจริญเติบโต	น้ำหนักโมเลกุล	1,000 μM	ตัวทำละลาย
2,4-Dichloroacetic acid(2,4-D)	221.7	0.0221 ก./ล.	เอทานอล 70%, 1N KOH
Naphthalenacetic acid (NAA)	186.21	0.0186 ก./ล.	1N KOH
Benzyladenine(BA)	225.26	0.0225 ก./ล	1N KOH

**แคลเซียมไฮโปคลอไรต์ความเข้มข้น 2%**

ชั้งแคลเซียมไฮโปคลอไรต์น้ำหนัก 3.34 ก. ละลายในน้ำกลั่นปริมาตร 100 มล. และกรองสารละลายน้ำด้วยกระดาษกรอง Whatman no.1 เก็บสารละลายน้ำที่ได้ไว้ใช้

**LB medium**

Bacto tryptone	10 g./ล.
Bacto-yeast extract	5 g./ล.
NaCl	10 g./ล.
ปรับ pH เท่ากับ 7.2	
สำหรับการเตรียมอาหารแข็งให้เติม bacto agar 18 g./ล.	

**GUS assay buffer (1 มล.)**

0.5M EDTA	20 µl
0.1M K <sub>3</sub> Fe(CN) <sub>6</sub>	5 µl
0.1M K <sub>4</sub> Fe(CN) <sub>6</sub>	5 µl
10% X-gluc in DMF	1 µl
0.2 M NaH <sub>2</sub> PO <sub>4</sub>	500 µl
dH <sub>2</sub> O	469 µl

**Carnoy's solution**

เอทานอลสัมบูรณ์	300	มล.
คลอโรฟอร์ม (CHCl <sub>3</sub> )	150	มล.
Glacial acetic acid(CH <sub>3</sub> COOH)	50	มล.

**1N HCl**

Glacial hydrochloric acid(HCl)	10 มล.
น้ำกลั่น	90 มล.

**Aceto-orcein**

ผงสี orcein	2.2	ก.
Glacial acetic acid(CH <sub>3</sub> COOH)	100	มล.
น้ำกลั่น	55	มล.

เทผงสีใน glacial acetic acid และนำไปอุ่นจนกระพี้ผงสีละลายหมด ทิ้งไว้ให้เย็น แล้วกรองด้วยกระดาษกรอง Whatman no.1 เก็บสารละลายที่กรองได้เป็น stock โดยเก็บในขวดสีชา เมื่อต้องการใช้ให้นำ stock สีปริมาตร 45 มล. มาเติมน้ำกลั่นให้มีปริมาตรครบ 100 มล.

**ภาคผนวก ช**  
**การวิเคราะห์ผลทางสถิติ**

**การทดลองที่ 3.1 การศึกษาความเข้มข้นของสารละลายน้ำแคลเซียมไฮเปอร์คลอไรด์ ( $\text{Ca}(\text{OCl}_2)$ ) ที่เหมาะสมสำหรับการฟอกกำจัดเชื้อผิวเมล็ดข้าว**

ANOVA

		Sum of Squares	df	Mean Square	F	Sig.
CHAINAT1	Between Groups	1838.972	11	167.179	42.684	.000
	Within Groups	94.000	24	3.917		
	Total	1932.972	35			
HOMSUPANBUREE	Between Groups	1870.667	11	170.061	36.660	.000
	Within Groups	111.333	24	4.639		
	Total	1982.000	35			

**Post Hoc Tests****CHAINAT 1**

Duncan

N	Subset for	alpha =	.05	1	2	3	4	5	6	7
condition										
0.5%,15 min	3		9.66							
0.5%,30 min	3		11.66	11.66						
0.5%,45 min	3			13.33						
1%,15 min	3				18.66					
1%,30 min	3					20.00	20.00			
1%,45 min	3						23.33	23.33		
1.5%,15 min	3							23.66		
1.5%,30 min	3								24.00	
1.5%,45 min	3									27.66
2%,15 min	3									29.33
2%,30 min	3									30.33
2%,45 min	3									32.00
Sig.				.228	.313	.417	.050	.701	.131	.131

Means for groups in homogeneous subsets are displayed.

a Uses Harmonic Mean Sample Size = 3.000.

## HOMSUPANBUREE

## Duncan

N Subset for

alpha = .05

condition		1	2	3	4	5
0.5%,15 min	3	14.0000				
0.5%,30 min	3	16.6667	16.6667			
0.5%,45 min	3		18.0000			
1%,15 min	3			24.6667		
1%,30 min	3			26.0000		
1%,45 min	3				29.6667	
1.5%,15 min	3				30.0000	
1.5%,30 min	3				30.6667	
1.5%,45 min	3				33.3333	33.3333
condition		1	2	3	4	5
2%,15 min	3					35.0000
2%,30 min	3					35.0000
2%,45 min	3					35.0000
Sig.		.142	.456	.456	.067	.396

Means for groups in homogeneous subsets are displayed.

a Uses Harmonic Mean Sample Size = 3.000.

การทดลองที่ 3.2 การศึกษาอิทธิพลของสารควบคุมการเจริญเติบโต 2,4-D ในการชักนำเมล็ดข้าวพันธุ์ชั้นนาท 1 และห้อมสุพรรณบุรีให้เกิดแผลลักษณะ

## ANOVA

		Sum of Squares	df	Mean Square	F	Sig.
Rate of induction of Chainat 1	Between Groups	3178.729	4	794.682	17.551	.000
	Within Groups	452.793	10	45.279		
	Total	3631.522	14			
Callus fresh weight Of Chainat 1	Between Groups	8.946E-03	4	2.237E-03	6.108	.009
	Within Groups	3.662E-03	10	3.662E-04		

			<b>Sum of Squares</b>	<b>df</b>	<b>Mean Square</b>	<b>F</b>	<b>Sig.</b>
		Total	1.261E-02	14			
RATE OF INDUCTION	Between Groups	3511.228	4	877.807	31.556	.000	
OF HOMSUPANBUREE	Within Groups	278.177	10	27.818			
	Total	3789.404	14				
CALLUS FRESH WEIGHT	Between Groups	1.347E-03	4	3.367E-04	11.585	.001	
OF HOMSUPANBUREE	Within Groups	2.907E-04	10	2.907E-05			
	Total	1.638E-03	14				

**Post Hoc Tests****Induction of Chainat 1**

<b>Duncan</b>			
	<b>N</b>	<b>Subset for alpha = .05</b>	
2,4-D concentration			1
4.50	3	54.4833	2
13.50	3		86.7667
18.00	3		90.7667
9.00	3		91.8833
22.50	3		92.6667
Sig.		1.000	.340

Means for groups in homogeneous subsets are displayed.

a Uses Harmonic Mean Sample Size = 3.000.

**Fresh weight of Chainat 1**

<b>Duncan</b>			
N    Subset for alpha =			
.05			
2,4-D concentration		1	2
13.50	3	7.10000E-02	
9.00	3	8.00000E-02	8.00000E-02
4.50	3	8.73333E-02	8.73333E-02
22.50	3		.110000
18.00	3		.138900
Sig.		.342	.096
			.094

Means for groups in homogeneous subsets are displayed.

a Uses Harmonic Mean Sample Size = 3.000.

**Induction rate of Homsupanburee****Duncan**

N    Subset for			
alpha = .05			
2,4-D conc	1	2	3
4.50	3	48.1833	
22.50	3	77.5667	
9.00	3	84.1667	84.1667
13.50	3	86.8000	86.8000
18.00	3		90.9167
Sig.	1.000	.067	.165

Means for groups in homogeneous subsets are displayed.

a Uses Harmonic Mean Sample Size = 3.000.

**Fresh weight of Homsupanburee****Duncan**

		N Subset for alpha = .05			
		1	2	3	4
2,4-D conc	1				
4.50		3 5.60000E-			
		02			
18.00		3 6.26667E-	6.26667E-		
		02	02		
9.00	3	6.93333E-	6.93333E-		
		02	02		
13.50	3		7.63333E-	7.63333E-	
			02	02	
22.50	3			8.26667E-	
				02	
Sig.		.161	.161	.143	.181

Means for groups in homogeneous subsets are displayed.

a Uses Harmonic Mean Sample Size = 3.000.

ผลการทดลองที่ 3.3 การศึกษาอิทธิพลของสารควบคุมการเจริญเติบโต NAA และ BA ในการซักน้ำแคลลัสข้าวพันธุ์ชั้นนาท 1 และ homosupranburee ให้เกิดต้นใหม่

**ANOVA**

		Sum of Squares	df	Mean Square	F	Sig.
REGENERATION RATE	Between Groups	4193.107	8	524.138	14.228	.000
	Within Groups	663.100	18	36.839		
	Total	4856.207	26			
NO. OF SHOOTS	Between Groups	215.380	8	26.923	16.357	.000
	Within Groups	29.627	18	1.646		
	Total	245.007	26			

**REGENERATION RATE OF CHAINAT 1****Post Hoc Tests****Duncan**

medium	N Subset for				
	alpha = .05				
	1	2	3	4	5
1	3 .000				
6	3 17.367				
2	3 22.900	22.900			
5	3 28.600	28.600	28.600		
7	3 28.733	28.733	28.733		
8	3 31.633	31.633	31.633		
3	3 32.133	32.133	32.133		
9	3 37.767	37.767	37.767		
4	3 46.767				
Sig.	1.000	.279	.109	.112	.086

Means for groups in homogeneous subsets are displayed.

a Uses Harmonic Mean Sample Size = 3.000.

**NUMBER OF SHOOTS****Duncan**

medium	N Subset for				
	alpha = .05				
	1	2	3	4	5
1	3 .000				
6	3 2.700				
8	3 4.300				
7	3 4.667				
5	3 4.900	4.900			
2	3 5.033	5.033	5.033		
3	3 7.167	7.167	7.167		
9	3 8.833	8.833	8.833		
4	3 9.700				
Sig.	1.000	.059	.054	.129	.419

Means for groups in homogeneous subsets are displayed.

a Uses Harmonic Mean Sample Size = 3.000.

1= no growth regulator

2= NAA 2.5  $\mu$ M +BA 4.5  $\mu$ M

3= NAA 2.5  $\mu$ M +BA 9  $\mu$ M

4= NAA 2.5  $\mu$ M +BA 13.5  $\mu$ M

5= NAA 2.5  $\mu\text{M}$  +BA 18  $\mu\text{M}$ 6= NAA 5  $\mu\text{M}$  +BA 4.5  $\mu\text{M}$ 7= NAA 5  $\mu\text{M}$  +BA 9  $\mu\text{M}$ 8= NAA 5  $\mu\text{M}$  +BA 13.5  $\mu\text{M}$ 9= NAA 5  $\mu\text{M}$  + BA 18  $\mu\text{M}$ **Regeneration of Homsupanburee**

ANOVA						
		Sum of Squares	df	Mean Square	F	Sig.
RATE	Between Groups	4804.871	4	1201.218	131.443	.000
	Within Groups	91.387	10	9.139		
	Total	4896.257	14			
SHOOT	Between Groups	110.793	4	27.698	19.956	.000
	Within Groups	13.880	10	1.388		
	Total	124.673	14			

**REGENERATION RATE****Duncan**

VAR00001	N Subset for alpha = .05				
	1	2	3	4	5
1	3	.0000			
2	3	22.2000			
3	3		32.0000		
4	3			39.7667	
5	3				53.3000
Sig.	1.000	1.000	1.000	1.000	1.000

Means for groups in homogeneous subsets are displayed.

a Uses Harmonic Mean Sample Size = 3.000.

**NUMBER OF SHOOTS****Duncan**

Medium	N Subset for			
	alpha = .05	1	2	3
1	3	.000		
2	3		5.233	
3	3		6.000	6.000
4	3		6.833	6.833
5	3			7.767
Sig.		1.000	.143	.110

Means for groups in homogeneous subsets are displayed.

a Uses Harmonic Mean Sample Size = 3.000.

- 1= no growth regulator  
 3=NAA 2.5  $\mu\text{M}$  +BA 9  $\mu\text{M}$   
 5=NAA 2.5  $\mu\text{M}$  +BA 18  $\mu\text{M}$

- 2=NAA 2.5  $\mu\text{M}$  +BA 4.5  $\mu\text{M}$   
 4=NAA 2.5  $\mu\text{M}$  +BA 13.5  $\mu\text{M}$

### ผลการทดลองที่ 3.4 การศึกษาอิทธิพลของสารปฏิชีวนะก้านมัยชินและซีฟอแทคซีนต่อแคลลัสข้าวพันธุ์ชัยนาท 1 ในการเกิดต้นใหม่

**KANAMYCIN****ANOVA**

		Sum of Squares	df	Mean Square	F	Sig.
Regeneration rate	Between Groups	7120.003	5	1424.001	623.498	.000
	Within Groups	27.407	12	2.284		
	Total	7147.409	17			
No. of shoots	Between Groups	245.025	5	49.005	141.361	.000
	Within Groups	4.160	12	.347		
	Total	249.185	17			

**Post Hoc Tests****REGENERATION RATE****Duncan**

	N	Subset for alpha = .05	
Kanmycin concentration		1	2
50.00	3	.0000	
100.00	3	.0000	
150.00	3	.0000	
200.00	3	.0000	
250.00	3	.0000	
.00	3		53.3667
Sig.		1.000	1.000

Means for groups in homogeneous subsets are displayed.

a Uses Harmonic Mean Sample Size = 3.000.

**NUMBER OF SHOOTS****Duncan**

	N	Subset for alpha = .05	
Kanmycin concentration		1	2
50.00	3	.0000	
100.00	3	.0000	
150.00	3	.0000	
200.00	3	.0000	
250.00	3	.0000	
.00	3		9.9000
Sig.		1.000	1.000

Means for groups in homogeneous subsets are displayed.

a Uses Harmonic Mean Sample Size = 3.000.

**CEFOTAXIME****ANOVA**

		<b>Sum of Squares</b>	<b>df</b>	<b>Mean Square</b>	<b>F</b>	<b>Sig.</b>
Regeneration rate	Between Groups	6997.518	7	999.645	47.798	.000
	Within Groups	334.620	16	20.914		
	Total	7332.138	23			
No. of shoots	Between Groups	158.347	7	22.621	20.865	.000
	Within Groups	17.347	16	1.084		
	Total	175.693	23			

**REGENERATION RATE****Duncan**

<b>N Subset for alpha</b>						
<b>= .05</b>						
Cefotaxime concentration		1	2	3	4	
350.00	3	12.133				
300.00	3	14.267				
250.00	3	17.633				
200.00	3		37.533			
150.00	3			45.100	45.100	
<b>N Subset for alpha</b>						
<b>= .05</b>						
Cefotaxime concentration		1	2	3	4	
100.00	3			50.000	50.000	
50.00	3			53.033	53.033	
.00	3				55.567	
Sig.		.181	.060	.060	.176	

Means for groups in homogeneous subsets are displayed.

a Uses Harmonic Mean Sample Size = 3.000.

**NUMBER OF SHOOTS****Duncan****N Subset for alpha****= .05**

Cefotaximen concentration	1	2	3	4
350.00	3	1.333		
300.00	3	2.533		
250.00	3	3.100	3.100	
200.00	3		4.633	4.633
100.00	3		4.900	4.900
150.00	3			5.300
50.00	3			8.667
.00	3			9.000
Sig.		.065	.061	.469
				.700

Means for groups in homogeneous subsets are displayed.

a Uses Harmonic Mean Sample Size = 3.000.

ผลการทดลองที่ 4.1 การศึกษาอิทธิพลของสารปฏิชีวนะซีฟแทคซิมและคารบินิลินลินต่อการเจริญของ *A. tumefaciens*

ANOVA						
		Sum of Squares	df	Mean Square	F	Sig.
Carbinicillin	Between	148.543	7	21.220	1950.550	.000
VS	Groups					
LBA4404						
	Within	.174		161.088E-02		
	Groups					
	Total	148.717	23			
Cefotaxime	Between	184.873	7	26.410	1280.508	.000
VS	Groups					
EHA105						
	Within	.330		162.063E-02		
	Groups					
	Total	185.203	23			
Carbinicillin	Between	124.490	7	17.784	1080.564	.000
VS	Groups					
LBA4404						

	Within Groups	.263	16	1.646E-02
	Total	124.753	23	
Cefotaxime	Between VS	151.368	7	21.624 1186.233 .000
EHA105	Groups			
	Within Groups	.292	16	1.823E-02
	Total	151.660	23	

**Post Hoc Tests****Carbinicillin/ *A. tumefaciens* LBA4404****Duncan**

NSubset for

alpha =

.05

CONC		1	2	3	4	5	6	7	8
0	3	.0000							
50	3		3.1000						
100	3			4.1667					
150	3				4.4667				
200	3					6.1233			
250	3						6.6000		
300	3							7.2833	
400	3								8.3000
Sig.		1.000	1.000	1.000	1.000	1.000	1.000	1.000	1.000

Means for groups in homogeneous subsets are displayed.

a Uses Harmonic Mean Sample Size = 3.000.

**cefotaxime/ *A. tumefaciens* LBA4404****Duncan****N Subset for****alpha =****.05**

CONC		1	2	3	4	5	6	7	8
0	3	.0000							
50	3		5.0000						
100	3			6.1167					
150	3				6.5333				
200	3					6.9667			
250	3						7.4833		
300	3							9.0667	
400	3								9.5667
Sig.		1.000	1.000	1.000	1.000	1.000	1.000	1.000	1.000

Means for groups in homogeneous subsets are displayed.

a Uses Harmonic Mean Sample Size = 3.000.

**carbinillin/ *A. tumefaciens* EHA105****Duncan****N Subset for****alpha =****.05**

CONC		1	2	3	4	5	6	7
0	3	.0000						
50	3		3.1333					
100	3			4.0833				
150	3				4.1333			
200	3					5.2167		
250	3						6.0667	
300	3							7.1500
400	3							7.5500
Sig.		1.000	1.000	.640	1.000	1.000	1.000	1.000

Means for groups in homogeneous subsets are displayed.

a Uses Harmonic Mean Sample Size = 3.000.

**cefotaxime/ *A. tumefaciens* EHA105****Duncan****NSubset for****alpha =****.05**

CONC	1	2	3	4	5	6	7	8
0	3 .0000							
50	3 4.9667							
100	3 5.3667							
150	3 6.3167							
200	3 6.6833							
250	3 7.1667							
300	3 8.1333							
400	3 8.5667							
Sig.	1.000 1.000 1.000 1.000 1.000 1.000 1.000 1.000							

Means for groups in homogeneous subsets are displayed.

a Uses Harmonic Mean Sample Size = 3.000.

**ผลการทดลองที่ 4.4 การศึกษาผลของสารปฏิชีวนะการนามัยชินต่อการอกรากของเมล็ดข้าวพันธุ์ชัยนาท 1****ANOVA**

		Sum of Squares	df	Mean Square	F	Sig.
Regeneration rate	Between Groups	44000.000	5	8800.000	264.000	.000
	Within Groups	600.000	18	33.333		
	Total	44600.000	23			
Root fresh weight	Between Groups	.109	5	2.186E-02	422.419	.000
	Within Groups	9.316E-04	18	5.175E-05		
	Total	.110	23			
Shoot fresh weight	Between Groups	.512	5	.102	34.805	.000
	Within Groups	5.299E-02	18	2.944E-03		
	Total	.565	23			

**Post Hoc Tests****Regeneration rate****Duncan**

		<b>N Subset for alpha</b>			
		<b>= .05</b>			
Kanamycin concentration		1	2	3	4
200.00	4	.0000			
250.00	4	.0000			
150.00	4	5.0000			
100.00	4		15.0000		
50.00	4			90.0000	
.00	4				100.0000
Sig.		.261	1.000	1.000	1.000

Means for groups in homogeneous subsets are displayed.

a Uses Harmonic Mean Sample Size = 4.000.

**Root fresh weight****Duncan**

		<b>N Subset for alpha</b>			
		<b>= .05</b>			
Kanamycin concentration		1	2	3	4
200.00	4	.000000			
250.00	4	.000000			
150.00	4	1.95000E-03			
100.00	4		1.73750E-02		
50.00	4			6.68500E-02	
.00	4				.187075
Sig.		.722	1.000	1.000	1.000

Means for groups in homogeneous subsets are displayed.

a Uses Harmonic Mean Sample Size = 4.000.

**Shoot fresh weight**

Duncan

N Subset for alpha = .05			
Kanamycin concentration	1	2	3
200.00	4	.000000	
250.00	4	.000000	
150.00	4	2.01250E-02	
100.00	4	5.79750E-02	
50.00	4		.268500
.00	4		.371800
Sig.		.182	1.000
			1.000

Means for groups in homogeneous subsets are displayed.

a Uses Harmonic Mean Sample Size = 4.000.

**การทดลองที่ 5.2 การศึกษาอิทธิพลของสารปฏิชีวนะไอกромัยซินต่อการออกของเมล็ดข้าวพันธุ์ กข 6****ANOVA**

		Sum of Squares	df	Mean Square	F	Sig.
Regeneration rate	Between Groups	36854.547	5	7370.909	140.196	.000
	Within Groups	1261.814	24	52.576		
	Total	38116.361	29			
Root fresh weight	Between Groups	.146	5	2.917E-02	16.105	.000
	Within Groups	4.346E-02	24	1.811E-03		
	Total	.189	29			
Shoot fresh weight	Between Groups	.423	5	8.461E-02	44.573	.000
	Within Groups	4.556E-02	24	1.898E-03		
	Total	.469	29			

**Regeneration rate****Duncan**

Hygromycin concentration	N	Subset for alpha = .05				
		1	2	3	4	5
20	5	.0000				
25	5	.0000				
15	5		10.6680			
10	5			40.0400		
5	5				60.0200	
0	5					95.6600
Sig.		1.000	1.000	1.000	1.000	1.000

Means for groups in homogeneous subsets are displayed.

a Uses Harmonic Mean Sample Size = 5.000.

**Root fresh weight****Duncan**

Hygromycin concentration	N	Subset for alpha = .05		
		1	2	3
20	5	.000000		
25	5	.000000		
15	5	5.17600E-02		
10	5		.108140	
5	5			.156760
0	5			.174360
Sig.		.080	.083	.519

Means for groups in homogeneous subsets are displayed.

a Uses Harmonic Mean Sample Size = 5.000.

**Shoot fresh weight****Duncan**

		N Subset for alpha = .05		
		1	2	3
Hygromycin concentration				
20	5	.000000		
25	5	.000000		
15	5	2.37600E-02		
10	5		.164180	
5	5			.266920
0	5			.271720
Sig.		.424	1.000	.863

Means for groups in homogeneous subsets are displayed.

a Uses Harmonic Mean Sample Size = 5.000.

**การทดลองที่ 5.4 การศึกษาเปรียบเทียบลักษณะทางสัณฐานวิทยาของข้าวพันธุ์ กข6 ปกติและข้าวพันธุ์ กข6 แปลงพันธุ์**

**Chlorophyll A, B, Total chlorophyll, A/B****ANOVA**

		Sum of Squares	df	Mean Square	F	Sig.
chlorophyll A	Between Groups	.110	5	2.205E-02	.979	.469
	Within Groups	.270	12	2.253E-02		
	Total	.381	17			
chlorophyll B	Between Groups	1.184	5	.237	2.938	.059
	Within Groups	.967	12	8.060E-02		
	Total	2.151	17			
TOTAL chlorophyll	Between Groups	1.823	5	.365	2.455	.094
	Within Groups	1.782	12	.149		
	Total	3.605	17			

		Sum of Squares	df	Mean Square	F	Sig.
chlorophyll	Between	5.860E-02		5 1.172E-02	5.941	.065
A /B	Groups					
	Within	2.367E-02		12 1.973E-03		
	Groups					
	Total	8.227E-02	17			

**Osmotic Potential of T<sub>2</sub>****ANOVA**

		Sum of Squares	df	Mean Square	F	Sig.
1 month	Between	4.982E-04		5 9.963E-05	.697	.636
	Groups					
	Within	1.716E-03		12 1.430E-04		
	Groups					
	Total	2.214E-03	17			

		Sum of Squares	df	Mean Square	F	Sig.
2 months	Between	3.165E-03		5 6.329E-04	1.211	.362
	Groups					
	Within	6.272E-03		12 5.227E-04		
	Groups					
	Total	9.437E-03	17			

**Seed of T<sub>0</sub> plants****ANOVA**

		Sum of Squares	df	Mean Square	F	Sig.
WIDTH	Between	1.467E-03		5 2.933E-04	.433	.817
	Groups					
	Within	8.133E-03		12 6.778E-04		
	Groups					
	Total	9.600E-03	17			
LENGTH	Between	5.783E-03		5 1.157E-03	1.113	.404
	Groups					

		Sum of Squares	df	Mean Square	F	Sig.
	Within Groups	1.247E-02		121.039E-03		
	Total	1.825E-02	17			
RATIO	Between Groups	2.393E-03		54.787E-04	.251	.932
	Within Groups	2.293E-02		121.911E-03		
	Total	2.532E-02	17			

**Seed of T<sub>1</sub> plant**

		Sum of Squares	df	Mean Square	F	Sig.
WIDTH	Between Groups	8.856E-02		51.771E-02	.923	.499
	Within Groups	.230		121.919E-02		
	Total	.319	17			
LENGTH	Between Groups	5.111E-03		51.022E-03	.396	.843

		Sum of Squares	df	Mean Square	F	Sig.
	Within Groups	3.100E-02		122.583E-03		
	Total	3.611E-02	17			
RATIO	Between Groups	2.799E-03		55.598E-04	.160	.973
	Within Groups	4.204E-02		123.503E-03		
	Total	4.484E-02	17			

**Panicle of T<sub>0</sub>****ANOVA**

		Sum of Squares	df	Mean Square	F	Sig.
1°BRANCH	Between Groups	2.444	5	.489	2.933	.059
	Within Groups	2.000	12	.167		
	Total	4.444	17			
No. of SEED	Between Groups	449.778	5	89.956	.713	.626
	Within Groups	1514.667	12	126.222		
	Total	1964.444	17			
LENGTH	Between Groups	68.778	5	13.756	1.777	.192
	Within Groups	92.880	12	7.740		
	Total	161.658	17			

**Panicle of T<sub>1</sub>****ANOVA**

		Sum of Squares	df	Mean Square	F	Sig.
1°BRANCH	Between Groups	1.333	5	.267	.686	.643
	Within Groups	4.667	12	.389		
	Total	6.000	17			
No. of SEED	Between Groups	687.833	5	137.567	.367	.862
	Within Groups	4500.667	12	375.056		
	Total	5188.500	17			
LENGTH	Between Groups	27.687	5	5.537	1.025	.446
	Within Groups	64.828	12	5.402		
	Total	92.516	17			

**T<sub>0</sub> height and flag leaf****ANOVA**

		<b>Sum of Squares</b>	<b>df</b>	<b>Mean Square</b>	<b>F</b>	<b>Sig.</b>
height	Between Groups	48.447	4	12.112	.519	.724
	Within Groups	233.567	10	23.357		
	Total	282.013	14			
length	Between Groups	69.489	4	17.372	2.044	.164
	Within Groups	84.987	10	8.499		
	Total	154.476	14			
wide	Between Groups	10.124	4	2.531	.665	.630
	Within Groups	38.053	10	3.805		
	Total	48.177	14			
length/wide ratio	Between Groups	.331		48.280E-02	3.797	.050

		<b>Sum of Squares</b>	<b>df</b>	<b>Mean Square</b>	<b>F</b>	<b>Sig.</b>
height	Between Groups	.218		102.181E-02		
	Within Groups					
	Total	.549	14			

**T<sub>1</sub> height and flag leaf****ANOVA**

		<b>Sum of Squares</b>	<b>df</b>	<b>Mean Square</b>	<b>F</b>	<b>Sig.</b>
height	Between Groups	335.111	5	67.022	1.569	.242
	Within Groups	512.667	12	42.722		
	Total	847.778	17			
length	Between Groups	27.125	5	5.425	.356	.869

		<b>Sum of Squares</b>	<b>df</b>	<b>Mean Square</b>	<b>F</b>	<b>Sig.</b>
	Within Groups	182.780	12	15.232		
	Total	209.905	17			
wide	Between Groups	22.053	5	4.411	1.429	.283
	Within Groups	37.047	12	3.087		
	Total	59.100	17			
length/wide ratio	Between Groups	9.066E-02		51.813E-02	.424	.823
	Within Groups	.513		124.273E-02		
	Total	.603	17			

## ประวัติผู้เขียน

นางสาวศศพร พิพัฒน์กานุกูล เกิดเมื่อวันที่ 18 กันยายน พ.ศ. 2515 จบการศึกษา ระดับปริญญาตรี สาขาวิชาภาษา จากคณะวิทยาศาสตร์ มหาวิทยาลัยขอนแก่น เมื่อ พ.ศ. 2537 ระหว่างปี พ.ศ. 2538-2541 ศึกษาในหลักสูตรวิทยาศาสตร์บัณฑิต สาขาวิชาภาษา คณะบัณฑิตวิทยาลัย มหาวิทยาลัยขอนแก่น และปี พ.ศ. 2542-2546 ศึกษาต่อในหลักสูตรปรัชญาดุษฎีบัณฑิต สาขาวิชาภาษา คณะบัณฑิตวิทยาลัย มหาวิทยาลัยขอนแก่น ปัจจุบันทำงานที่ คณะวิทยาศาสตร์และเทคโนโลยี สถาบันราชภัฏนครปฐม จ. นครปฐม